

(19)日本国特許庁(JP)

(12)特許公報(B2)

(11)特許番号
特許第7260170号
(P7260170)

(45)発行日 令和5年4月18日(2023.4.18)

(24)登録日 令和5年4月10日(2023.4.10)

(51)国際特許分類

C 1 2 N	15/86 (2006.01)	F I	C 1 2 N	15/86	Z
C 1 2 N	15/867(2006.01)		C 1 2 N	15/867	Z
C 1 2 N	15/113(2010.01)		C 1 2 N	15/113	1 0 2 Z
C 1 2 N	5/10 (2006.01)		C 1 2 N	15/113	1 4 0 Z
C 1 2 N	5/078(2010.01)		C 1 2 N	5/10	

請求項の数 30 (全157頁) 最終頁に続く

(21)出願番号 特願2019-536901(P2019-536901)

(86)(22)出願日 平成30年1月9日(2018.1.9)

(65)公表番号 特表2020-515234(P2020-515234 A)

(43)公表日 令和2年5月28日(2020.5.28)

(86)国際出願番号 PCT/US2018/012998

(87)国際公開番号 WO2018/129540

(87)国際公開日 平成30年7月12日(2018.7.12)

審査請求日 令和2年12月17日(2020.12.17)

(31)優先権主張番号 62/444,147

(32)優先日 平成29年1月9日(2017.1.9)

(33)優先権主張国・地域又は機関

米国(US)

前置審査

(73)特許権者 517428713

アメリカン ジーン テクノロジーズ インターナショナル インコーポレイテッド アメリカ合衆国 メリーランド 20850, ロックビル, キー ウエスト アベニュー 9713, フィフス フロア

(74)代理人 100078282

弁理士 山本 秀策

(74)代理人 100113413

弁理士 森下 夏樹

(74)代理人 100181674

弁理士 飯田 貴敏

(74)代理人 100181641

弁理士 石川 大輔

(74)代理人 230113332

最終頁に続く

(54)【発明の名称】 事前の免疫化ステップのないHIV免疫療法

(57)【特許請求の範囲】**【請求項1】**

形質導入した末梢血単核細胞 (PBM C) を產生する方法であって、前記細胞は、HIVワクチンで以前に免疫化されていない対象から単離されたものであり、

(a) HIVに感染し、HIVワクチンで以前に免疫化されていない対象から単離されたPBM Cを、治療有効量の刺激性作用剤と接觸させるステップであって、前記接觸がex vivoで実施されるステップ；

(b) ex vivoにおいて、遺伝子エレメントをコードするウイルス送達システムを用いて前記PBM Cに形質導入するステップであって、前記遺伝子エレメントが、以下：

配列番号31と少なくとも90%の配列同一性を有する配列であって、ここで、前記遺伝子エレメントは、発現した場合に、細胞表面CCR5レベルを減少させ、かつ、2つのHIV遺伝子を阻害することができる配列；または

(iii)配列番号97と少なくとも90%の配列同一性を含む配列、(iv)配列番号6と少なくとも90%の配列同一性を含む配列および(v)配列番号7と少なくとも90%の配列同一性を含む配列の各々を含む配列であって、ここで、前記遺伝子エレメントは、発現した場合に、細胞表面CCR5レベルを減少させ、かつ、2つのHIV遺伝子を阻害することができる配列

を含み、

ここで、前記2つのHIV遺伝子が Tat と Vif であり、

ただし、前記遺伝子エレメントは、TatもしくはVif以外のHIV遺伝子を阻害で

きる他の配列を除く、ステップ；および

(c) 前記形質導入されたPBM Cを、少なくとも1日間培養するステップを含む方法であって、

ただし、前記形質導入されたPBM Cをヒト対象に注入するステップを除く、方法。

【請求項2】

前記形質導入されたPBM Cが、1～35日間培養される、請求項1に記載の方法。

【請求項3】

対象に注入されることを特徴とする、HIV感染の処置に使用するための、請求項1に記載の方法によって產生された、前記形質導入されたPBM Cを含む組成物。

【請求項4】

前記対象がヒトである、請求項3に記載の組成物。

【請求項5】

前記刺激性作用剤がペプチドを含む、請求項1に記載の方法。

【請求項6】

前記ペプチドが、gagペプチドを含む、請求項5に記載の方法。

【請求項7】

前記刺激性作用剤がワクチンを含む、請求項1に記載の方法。

【請求項8】

前記ワクチンが、HIVワクチンを含む、請求項7に記載の方法。

【請求項9】

前記HIVワクチンが、MVA/HIV62Bワクチンまたはそのバリアントを含む、請求項8に記載の方法。

【請求項10】

前記ウイルス送達システムが、レンチウイルス粒子を含む、請求項1に記載の方法。

【請求項11】

前記遺伝子エレメントが、配列番号31；および、配列番号6と配列番号7のいずれか1つを含む場合、前記遺伝子エレメントが、発現した場合に2つのHIV遺伝子を標的とすることができ、前記2つのHIV遺伝子がTatとVifである、請求項1に記載の方法。

【請求項12】

前記遺伝子エレメントが、配列番号31または配列番号97のいずれかを含む場合、前記遺伝子エレメントが、発現した場合にケモカイン受容体CCR5の產生を阻害することができる、請求項11に記載の方法。

【請求項13】

前記遺伝子エレメントが、マイクロRNAまたはshRNAを含む、請求項1に記載の方法。

【請求項14】

前記遺伝子エレメントが、マイクロRNAクラスターを含む、請求項13に記載の方法。

【請求項15】

前記マイクロRNAクラスターが、

配列番号31；または

配列番号97、配列番号6および配列番号7の各々を含む、請求項14に記載の方法。

【請求項16】

HIVワクチンで以前に免疫化されていない対象のHIV感染を処置する方法において使用するための、形質導入された末梢血単核細胞(PBM C)を含む組成物であって、前記形質導入されたPBM Cが、

(a) 前記対象から白血球を取り出すステップであって、前記対象がHIVワクチンで以前に免疫化されていない、ステップ；

(b) ex vivoにおいて、前記白血球からPBM Cを精製するステップ；

10

20

30

40

50

(c) ex vivoにおいて、前記PBM Cを治療有効量の刺激性作用剤と接触させるステップ；

(d) ex vivoにおいて、遺伝子エレメントをコードするウイルス送達システムを用いて前記PBM Cに形質導入するステップであって、前記遺伝子エレメントが、以下：

配列番号31と少なくとも90%の配列同一性を有する配列であって、ここで、前記遺伝子エレメントは、発現した場合に、細胞表面CCR5レベルを減少させ、かつ、2つのHIV遺伝子を阻害することができる配列；または

(iii) 配列番号97と少なくとも90%の配列同一性を含む配列、(iv) 配列番号6と少なくとも90%の配列同一性を含む配列および(v) 配列番号7と少なくとも90%の配列同一性を含む配列の各々を含む配列であって、ここで、前記遺伝子エレメントは、発現した場合に、細胞表面CCR5レベルを減少させ、かつ、2つのHIV遺伝子を阻害することができる配列

を含み、

ここで、前記2つのHIV遺伝子が Tat と Vif であり、

ただし、前記遺伝子エレメントは、Tat もしくは Vif 以外の HIV 遺伝子を阻害できる他の配列を除く、ステップ；および

(e) 前記形質導入されたPBM Cを、少なくとも1日間培養するステップを含む方法によって產生される、組成物。

【請求項17】

前記形質導入されたPBM Cが、1～35日間培養される、請求項16に記載の組成物。

20

【請求項18】

前記対象に注入されることを特徴とする、請求項16に記載の組成物。

【請求項19】

前記対象がヒトである、請求項16から18のいずれか一項に記載の組成物。

【請求項20】

前記刺激性作用剤がペプチドを含む、請求項16に記載の組成物。

【請求項21】

前記ペプチドが、 gag ペプチドを含む、請求項20に記載の組成物。

【請求項22】

前記刺激性作用剤がワクチンを含む、請求項16に記載の組成物。

30

【請求項23】

前記ワクチンが、HIVワクチンを含む、請求項22に記載の組成物。

【請求項24】

前記HIVワクチンが、MVA/HIV62Bワクチンまたはそのバリアントを含む、請求項23に記載の組成物。

【請求項25】

前記ウイルス送達システムが、レンチウイルス粒子を含む、請求項16に記載の組成物。

【請求項26】

前記遺伝子エレメントが、配列番号31；および、配列番号6と配列番号7のいずれか1つを含む場合、前記遺伝子エレメントが、2つのHIV遺伝子を標的とすることができる少なくとも1つのスマールRNAを含み、前記2つのHIV遺伝子が Tat と Vif である、請求項16に記載の組成物。

40

【請求項27】

前記遺伝子エレメントが、配列番号31または配列番号97を含む場合、前記遺伝子エレメントが、ケモカイン受容体CCR5の產生を阻害することができるスマールRNAも含む、請求項26に記載の組成物。

【請求項28】

前記遺伝子エレメントが、マイクロRNAまたはshRNAを含む、請求項26または27に記載の組成物。

【請求項29】

50

前記遺伝子エレメントが、マイクロRNAクラスターを含む、請求項28に記載の組成物。

【請求項30】

前記マイクロRNAクラスターが、
配列番号31；または

配列番号97、配列番号6および配列番号7の各々を含む、請求項29に記載の組成物。

【発明の詳細な説明】

【技術分野】

【0001】

関連出願への相互参照

10

本出願は、2017年1月9日に出願された“HIV Immunotherapy With No Pre-Immunization Step”と題する米国特許出願第62/444,147号に基づく優先権を主張しており、その開示は、参考として本明細書中に援用される。

【0002】

発明の分野

本発明は、一般に、HIVを処置および予防するための免疫療法の分野に関する。特に、開示された処置および予防の方法は、事前の免疫化ステップなしの、遺伝子を送達するためのウイルスベクターおよびシステムの投与、ならびに他の療法用、診断用、または研究用の使用に関する。

20

【背景技術】

【0003】

発明の背景

併用抗レトロウイルス療法（cART）（高活性抗レトロウイルス療法またはHAARTとしても公知）は、HIV-1複製を制限し、疾患の進行を遅延させるが、薬物毒性、および薬物耐性ウイルスの出現は、HIV感染した人での長期的な制御にとって課題である。さらに、伝統的な抗レトロウイルス療法は、AIDSの発症または死を遅延させることに成功してはいるものの、機能的治癒をいまだ提供していない。代替的処置戦略が必要とされている。

【0004】

30

免疫システムが、HIV複製を制限することにおいて主要ではあるが通常は不十分な役割を果たすことを示すデータの出現により、HIV感染に対する免疫療法における強い興味が巻き起こっている。ウイルス特異的Tヘルパー細胞は、細胞溶解性T細胞（CTL）機能の維持にとって重要であり、おそらくは役割を果たす。また、ウイルス血症は中和抗体によって影響されるが、これらの抗体は、HIV感染では規模が一般に小さく、in vivoで進化していくウイルスバリエントに後れを取っている。

【0005】

合わせると、これらのデータは、HIV特異的細胞性免疫応答の強さおよび幅を増加させることができ、いわゆるHIV免疫療法を通じて臨床的な利益を有する可能性があることを示している。一部の研究はHIVに対するワクチンを試験しているが、今日までのところ成功は限定的である。さらに、遺伝子療法技術を利用することによってHIV免疫療法を増強することに興味がもたれてきたが、他の免疫療法アプローチを用いた場合と同様、成功は限定的である。

40

【0006】

特定のウイルスエンベロープ-宿主細胞受容体相互作用および遺伝子発現についてのウイルス機構の故に、標的細胞に遺伝子を形質導入するためにウイルスベクターを使用することができる。結果として、ウイルスベクターは、全T細胞または他の免疫細胞ならびに胚、受精卵、単離された組織試料、in situの組織標的、および培養細胞を含む多くの異なる細胞型への遺伝子の移入のためのビヒクルとして使用されてきている。細胞内に外来遺伝子または改変遺伝子を導入および発現する能力は、遺伝子治療、誘導多能性幹

50

細胞の体細胞再プログラミング、および様々な型の免疫療法のような療法介入に有用である。

【0007】

遺伝子治療は、ウイルスベクターの使用を含み得る新しい療法を創造する可能性を有する生物医学研究の最も成熟した領域の1つである。療法に利用可能な幅広い種類の潜在的な遺伝子を考慮すると、感染性疾患および非感染性疾患を処置する手段としての遺伝子治療の将来性を実現するためには、これらの遺伝子を送達する効率的な手段が必要である。マウスレトロウイルス、アデノウイルス、バルボウイルス（アデノ随伴ウイルス）、ワクシニアウイルス、およびヘルペスウイルスを含むいくつかのウイルスシステムが、療法用遺伝子移入ベクターとして開発されている。

10

【0008】

組織指向性、ウイルス調製物の安定性、発現の安定性および制御、ゲノムパッケージング能力、および構築物依存性ベクター安定性を含む、ウイルスベクターを開発する際に考慮しなければならない多くの因子がある。さらに、ウイルスベクターのin vivo応用は、ウイルス構造タンパク質および/または形質導入遺伝子産物に対する宿主免疫応答によってしばしば制限される。

【0009】

したがって、毒性および安全性は、対象の処置のためにin vivoで使用されるウイルスベクターにとって克服されなければならない重要なハードルである。遺伝子送達ビヒクルまたは療法用遺伝子産物に対する宿主免疫応答に関連する問題を抱えた、ヒトにおける遺伝子治療応用の数多くの歴史的例が存在する。1つまたは複数の療法遺伝子と共にいくつかのウイルス遺伝子を同時形質導入するウイルスベクター（例えばアデノウイルス）は特に問題である。

20

【0010】

レンチウイルスベクターは一般に細胞傷害性を誘導せず、強力な宿主免疫応答を誘発しないが、いくつかの免疫刺激遺伝子産物を有するHIV-1のようないくつかのレンチウイルスベクターは、細胞毒性を引き起こし、in vivoで強い免疫応答を誘導する可能性がある。しかしながら、これは、形質導入後に複数のウイルス遺伝子をコードしないレンチウイルス由来の形質導入ベクターにとっては問題ではないかもしれない。もちろん、臨床的に有用な免疫応答を引き起こすであろうタンパク質をコードすることがベクターの目的であることもあるので、このことが必ずしも当てはまるわけではないだろう。

30

【0011】

レンチウイルスベクターの使用に関する別の重要な問題は、いくつかの細胞傷害性ウイルスタンパク質への曝露の際に起こり得る細胞病原性の問題である。特定のHIV-1タンパク質への曝露は、細胞死またはT細胞における機能不応答性を誘導するかもしれない。同様に、組換えにより複製コンピテントな毒性ウイルスを生成する可能性が、しばしば問題となる。したがって、HIVの改善された処置がいまだ必要とされている。

【発明の概要】

【課題を解決するための手段】

【0012】

40

発明の要旨

本開示の一態様では、対象のHIV感染を処置する方法が開示される。方法は、対象から白血球を取り出し、末梢血単核細胞（PBM C）を精製するステップを含む。方法は、ex vivoにおいて、PBM Cを治療有効量の刺激性作用剤と接触させるステップ；ex vivoにおいて、少なくとも1つの遺伝子エレメントをコードするウイルス送達システムを用いてPBM Cに形質導入するステップ；および形質導入されたPBM Cを、少なくとも1日間培養するステップをさらに含む。形質導入されたPBM Cは、約1～約35日間培養されてもよい。方法は、形質導入されたPBM Cを対象に注入するステップをさらに含んでいてもよい。対象は、ヒトであってもよい。刺激性作用剤は、ペプチドまたはペプチドの混合物を含んでいてもよい。好ましい実施形態では、刺激性作用剤は、g

50

a g ペプチドを含む。刺激性作用剤は、ワクチンを含んでいてもよい。ワクチンは、H I V ワクチンであってもよく、好ましい実施形態では、H I V ワクチンは、M V A / H I V 6 2 B ワクチンまたはそのバリエントである。好ましい実施形態では、ウイルス送達システムは、レンチウイルス粒子を含む。一実施形態では、少なくとも 1 つの遺伝子エレメントは、ケモカイン受容体 C C R 5 の産生を阻害することができるスマート R N A 、または H I V R N A 配列を標的とすることができる少なくとも 1 つのスマート R N A を含んでいてもよい。別の実施形態では、少なくとも 1 つの遺伝子エレメントは、ケモカイン受容体 C C R 5 の産生を阻害することができるスマート R N A 、および H I V R N A 配列を標的とすることができる少なくとも 1 つのスマート R N A を含んでいてもよい。H I V R N A 配列は、H I V V i f 配列、H I V T a t 配列、またはそれらのバリエントを含んでいてもよい。少なくとも 1 つの遺伝子エレメントは、マイクロ R N A または s h R N A を含んでいてもよい。好ましい実施形態では、少なくとも 1 つの遺伝子エレメントは、マイクロ R N A クラスターを含む。

【 0 0 1 3 】

別の態様では、少なくとも 1 つの遺伝子エレメントは、

【 化 1 】

AGGTATATTGCTGTTGACAGTGAGCGACTGTAAACTGAGCTTGCTCTACTGTGAAG
CCACAGATGGGTAGAGCAAGCACAGTTACCGCTGCCTACTGCCTCGGACTTCAA
GGGGCTT (配列番号 1)

10

20

と少なくとも 8 0 % 、または少なくとも 8 5 % 、または少なくとも 9 0 % 、または少なくとも 9 5 % の同一性パーセントを有するマイクロ R N A を含む。好ましい実施形態では、少なくとも 1 つの遺伝子エレメントは、

【 化 2 】

AGGTATATTGCTGTTGACAGTGAGCGACTGTAAACTGAGCTTGCTCTACTGTGAAG
CCACAGATGGGTAGAGCAAGCACAGTTACCGCTGCCTACTGCCTCGGACTTCAA
GGGGCTT (配列番号 1)

30

を含む。

【 0 0 1 4 】

別の態様では、少なくとも 1 つの遺伝子エレメントは、

【 化 3 】

CATCTCCATGGCTGTACCACCTTGTGGGGATGTGTACTTCTGAACTTGTGTTGA
ATCTCATGGAGTTAGAAGAACACATCCGCACTGACATTGGTATCTTCATCTG
ACCA (配列番号 2)

と少なくとも 8 0 % 、もしくは少なくとも 8 5 % 、もしくは少なくとも 9 0 % 、もしくは少なくとも 9 5 % の同一性パーセントを有するか、または

40

【 化 4 】

GGGCCTGGCTCGAGCAGGGGGCGAGGGATTCCGCTTCTGCCATAGCGTGG
TCCCCTCCCCATGGCAGGCAGAACAGCGGCACCTCCCTCCAATGACCGCGTCTTC
GTCG (配列番号 3)

と少なくとも 8 0 % 、もしくは少なくとも 8 5 % 、もしくは少なくとも 9 0 % 、もしくは少なくとも 9 5 % の同一性パーセントを有するマイクロ R N A を含む。好ましい実施形態では、少なくとも 1 つの遺伝子エレメントは、

50

【化5】

CATCTCCATGGCTGTACCACCTTGTGGGGGATGTGTACTTCTGAACTTGTGTTGA
 ATCTCATGGAGTTCAGAAGAACACATCCGCACTGACATTGGTATCTTCATCTG
 ACCA (配列番号 2); または
 GGGCCTGGCTCGAGCAGGGGGCGAGGGATTCCGCTTCTTC
 CTGCCATAGCGTGGTCCCCTCCCTATGGCAGGCAGAACGGCACCTCCCTCCA
 ATGACCGCGTCTCGTCG (配列番号 3)

10

を含む。

【0015】

別の態様では、マイクロRNAクラスターは、

【化6】

AGGTATATTGCTGTTGACAGTGAGCGACTGTAAACTGAGCTTGCTCTACTGTGAAG
 CCACAGATGGTAGAGCAAGCACAGTTACCGCTGCCTACTGCCTCGGACTTCAA
 GGGGCTTCCCAGGCATCTCCATGGCTGTACCACCTTGTGGGGGATGTGTACTTCT
 GAACTTGTGTTGAATCTCATGGAGTTAGAAGAACACATCCGCACTGACATTGG
 TATCTTCATCTGACCAGCTAGCGGGCTGGCTCGAGCAGGGCGAGGGATTCC
 GCTTCTCCTGCCATAGCGTGGTCCCCTCCCTATGGCAGGCAGAACGGCACCTT
 CCCTCCCAATGACCGCGTCTCGTC (配列番号 31)

20

と少なくとも 80%、または少なくとも 85%、または少なくとも 90%、または少なくとも 95% の同一性パーセントを有する配列を含む。好ましい実施形態では、マイクロRNAクラスターは、

【化7】

AGGTATATTGCTGTTGACAGTGAGCGACTGTAAACTGAGCTTGCTCT
 ACTGTGAAGCCACAGATGGTAGAGCAAGCACAGTTACCGCTGCCTACTGCCTC
 GGACTTCAAGGGCTCCGGCATCTCCATGGCTGTACCACCTTGTGGGGGATG
 TGTACTTCTGAACTTGTGTTGAATCTCATGGAGTTAGAAGAACACATCCGCACTG
 ACATTTGGTATCTCATCTGACCAGCTAGCGGGCTGGCTCGAGCAGGGCGA
 GGGATTCCGCTTCTGCCATAGCGTGGTCCCCTCCCTATGGCAGGCAGAACG
 GGCACCTCCCAATGACCGCGTCTCGTC (配列番号 31)

30

を含む。

【0016】

別の態様では、HIVに感染した細胞を処置する方法が提供される。方法は、HIVに感染した対象から単離された末梢血单核細胞 (PBM) を、治療有効量の刺激性作用剤と接触させるステップであって、接触が ex vivo で実施されるステップ； ex vivo において、少なくとも 1 つの遺伝子エレメントをコードするウイルス送達システムを用いて PBM に形質導入するステップ；および形質導入された PBM を、少なくとも 1 日間培養するステップを含む。形質導入された PBM は、約 1 ~ 約 35 日間培養されてもよい。方法は、形質導入された PBM を対象に注入するステップをさらに含んでいてもよい。対象は、ヒトであってもよい。刺激性作用剤は、ペプチドまたはペプチドの混合物を含んでいてもよく、好ましい実施形態では、gag ペプチドを含む。刺激性作用剤は、ワクチンを含んでいてもよい。ワクチンは、HIVワクチンであってもよく、好まし

40

50

い実施形態では、HIVワクチンは、MVA / HIV 62Bワクチンまたはそのバリアントである。好ましい実施形態では、ウイルス送達システムは、レンチウイルス粒子を含む。一実施形態では、少なくとも1つの遺伝子エレメントは、ケモカイン受容体CCR5の産生を阻害することができるスマールRNA、またはHIV RNA配列を標的とすることができる少なくとも1つのスマールRNAを含んでいてもよい。別の実施形態では、少なくとも1つの遺伝子エレメントは、ケモカイン受容体CCR5の産生を阻害することができるスマールRNA、およびHIV RNA配列を標的とすることができる少なくとも1つのスマールRNAを含んでいてもよい。HIV RNA配列は、HIV Vif配列、HIV Tat配列、またはそれらのバリアントを含んでいてもよい。少なくとも1つの遺伝子エレメントは、マイクロRNAまたはshRNAを含んでいてもよい。好ましい実施形態では、少なくとも1つの遺伝子エレメントは、マイクロRNAクラスターを含む。

【0017】

別の態様では、少なくとも1つの遺伝子エレメントは、

【化8】

```
AGGTATATTGCTGTTGACAGTGAGCGACTGTAAACTGAGCTGCTCTACTGTGAAG  
CCACAGATGGTAGAGCAAGCACAGTTACCGCTGCCTACTGCCTCGGACTTCAA  
GGGGCTT ( 配列番号 1)
```

と少なくとも80%、または少なくとも85%、または少なくとも90%、または少なくとも95%の同一性パーセントを有するマイクロRNAを含む。好ましい実施形態では、少なくとも1つの遺伝子エレメントは、

【化9】

```
AGGTATATTGCTGTTGACAGTGAGCGACTGTAAACTGAGCTGCTCTACTGTGAAG  
CCACAGATGGTAGAGCAAGCACAGTTACCGCTGCCTACTGCCTCGGACTTCAA  
GGGGCTT ( 配列番号 1)
```

を含む。

【0018】

別の態様では、少なくとも1つの遺伝子エレメントは、

【化10】

```
CATCTCCATGGCTGTACCACCTTGTGGGGATGTGTACTTCTGAACTTGTGTTGA  
ATCTCATGGAGTTCAGAAGAACACATCCGCACTGACATTGGTATTTCATCTG  
ACCA ( 配列番号 2)
```

と少なくとも80%、もしくは少なくとも85%、もしくは少なくとも90%、もしくは少なくとも95%の同一性パーセントを有するか、または

【化11】

```
GGGCCTGGCTCGAGCAGGGGGCGAGGGATTCCGCTTCTCCTGCCATAGCGTGG  
TCCCCTCCCCATGGCAGGCAGAACGCGCACCTCCCTCCCAATGACCGCGTCTTC  
GTCG ( 配列番号 3)
```

と少なくとも80%、もしくは少なくとも85%、もしくは少なくとも90%、もしくは少なくとも95%の同一性パーセントを有するマイクロRNAを含む。好ましい実施形態では、少なくとも1つの遺伝子エレメントは、

10

20

30

40

50

【化 1 2】

CATCTCCATGGCTGTACCACCTTGTGGGGGATGTGTACTTCTGAACITGTGTTGA
 ATCTCATGGAGITCAGAAGAACACATCCGCACTGACATTGGTATCTTCATCTG
 ACCA (配列番号 2); または
 GGGCCTGGCTCGAGCAGGGGGCGAGGGATTCCGCTTCTTC
 CTGCCATAGCGTGGTCCCCTCCCCTATGGCAGGCAGAACGGCACCTCCCTCCA
 ATGACCGCGTCTCGTCG (配列番号 3)

10

を含む。

【 0 0 1 9 】

別の態様では、マイクロ R N A クラスターは、

【化 1 3】

AGGTATATTGCTGTTGACAGTGAGCGACTGTAAACTGAGCTTGCTCTACTGTGAAG
 CCACAGATGGTAGAGCAAGCACAGTTACCGCTGCCTACTGCCTCGGACTTCAA
 GGGGCTTCCCAGGCATCTCCATGGCTGTACCACCTGTCGGGGATGTGTACTTCT
 GAACTTGTGTTGAATCTCATGGAGITCAGAAGAACACATCCGCACTGACATTGG
 TATCTTCATCTGACCAGCTAGCGGGCCTGGCTCGAGCAGGGGGCGAGGGATTCC
 GCTTCTCCTGCCATAGCGTGGTCCCCTCCCCTATGGCAGGCAGAACGGCACCTT
 CCCTCCCAATGACCGCGTCTCGTC (配列番号 31)

20

と少なくとも 8 0 %、または少なくとも 8 5 %、または少なくとも 9 0 %、または少なくとも 9 5 % の同一性パーセントを有する配列を含む。好ましい実施形態では、マイクロ R N A クラスターは、

【化 1 4】

AGGTATATTGCTGTTGACAGTGAGCGACTGTAAACTGAGCTTGCTCT
 ACTGTGAAGCCACAGATGGTAGAGCAAGCACAGTTACCGCTGCCTACTGCCTC
 GGACTTCAAGGGCTTCCCAGGCATCTCCATGGCTGTACCACCTGTCGGGGATG
 TGTACTTCTGAACTTGTGTTGAATCTCATGGAGITCAGAAGAACACATCCGCACTG
 ACATTGGTATCTTCATCTGACCAGCTAGCGGGCCTGGCTCGAGCAGGGGGCGA
 GGGATTCCGCTTCTCCTGCCATAGCGTGGTCCCCTCCCCTATGGCAGGCAGAACG
 GGCACCTTCCCTCCCAATGACCGCGTCTCGTC (配列番号 31)

30

を含む。

【 0 0 2 0 】

別の態様では、レンチウイルスベクターが開示される。レンチウイルスベクターは、少なくとも 1 つのコードされた遺伝子エレメントを含み、少なくとも 1 つのコードされた遺伝子エレメントは、ケモカイン受容体 C C R 5 の産生を阻害することができるスモール R N A、または H I V R N A 配列を標的とすることができる少なくとも 1 つのスモール R N A を含む。別の態様では、少なくとも 1 つのコードされた遺伝子エレメントは、ケモカイン受容体 C C R 5 の産生を阻害することができるスモール R N A、および H I V R N A 配列を標的とすることができる少なくとも 1 つのスモール R N A を含む。H I V R N A 配列は、H I V V i f 配列、H I V T a t 配列、またはそれらのバリアントを含んでいてもよい。少なくとも 1 つのコードされた遺伝子エレメントは、マイクロ R N A または s h R N A を含んでいてもよい。少なくとも 1 つのコードされた遺伝子エレメントは、マ

40

50

イクロ RNA クラスターを含んでいてもよい。

【 0 0 2 1 】

別の態様では、少なくとも 1 つの遺伝子エレメントは、

【 化 1 5 】

AGGTATATTGCTGTTGACAGTGAGCGACTGTAAACTGAGCTTGCTCTACTGTGAAG
CCACAGATGGGTAGAGCAAGCACAGTTACCGCTGCCTACTGCCTCGGACTTCAA
GGGGCTT (配列番号 1)

と少なくとも 8 0 %、または少なくとも 8 5 %、または少なくとも 9 0 %、または少なくとも 9 5 % の同一性パーセントを有するマイクロ RNA を含む。好ましい実施形態では、少なくとも 1 つの遺伝子エレメントは、

【 化 1 6 】

AGGTATATTGCTGTTGACAGTGAGCGACTGTAAACTGAGCTTGCTCTACTGTGAAG
CCACAGATGGGTAGAGCAAGCACAGTTACCGCTGCCTACTGCCTCGGACTTCAA
GGGGCTT (配列番号 1)

を含む。

【 0 0 2 2 】

別の態様では、少なくとも 1 つの遺伝子エレメントは、

【 化 1 7 】

CATCTCCATGGCTGTACCACCTTGTGGGGATGTGTACTTCTGAACTTGTGTTGA
ATCTCATGGAGTTCAGAAGAACACATCCGCACTGACATTGGTATTTCATCTG
ACCA (配列番号 2)

と少なくとも 8 0 %、もしくは少なくとも 8 5 %、もしくは少なくとも 9 0 %、もしくは少なくとも 9 5 % の同一性パーセントを有するか、または

【 化 1 8 】

GGGCCTGGCTCGAGCAGGGGGCGAGGGATTCCGCTTCTGCCATAGCGTGG
TCCCCTCCCCTATGGCAGGCAGAACAGCGGCACCTCCCTCCCAATGACCGCGTCTTC
GTCG (配列番号 3)

と少なくとも 8 0 %、もしくは少なくとも 8 5 %、もしくは少なくとも 9 0 %、もしくは少なくとも 9 5 % の同一性パーセントを有するマイクロ RNA を含む。好ましい実施形態では、少なくとも 1 つの遺伝子エレメントは、

【 化 1 9 】

CATCTCCATGGCTGTACCACCTTGTGGGGATGTGTACTTCTGAACTTGTGTTGA
ATCTCATGGAGTTCAGAAGAACACATCCGCACTGACATTGGTATTTCATCTG
ACCA (配列番号 2); または
GGGCCTGGCTCGAGCAGGGGGCGAGGGATTCCGCTTCTTC
CTGCCATAGCGTGGTCCCCCTCCCTATGGCAGGCAGAACAGCGGCACCTCCCTCCCA
ATGACCGCGTCTCGTCG (配列番号 3)

を含む。

【 0 0 2 3 】

10

20

30

40

50

別の態様では、マイクロ RNA クラスターは、
【化 2 0】

AGGTATATTGCTGTTGACAGTGAGCGACTGTAAACTGAGCTTGCTCTACTGTGAAG
CCACAGATGGGTAGAGCAAGCACAGTTACCGCTGCCTACTGCCTCGGACTTCAA
GGGGCTTCCCAGGCATCTCATGGCTGTACCACCTGTGGGGGATGTGTACTTCT
GAACCTGTGTTGAATCTCATGGAGTCAGAAGAACACATCCGCACTGACATTTGG
TATCTTCATCTGACCAGCTAGCGGCCTGGCTCGAGCAGGGGGGAGGGATTCC
GCTTCTCCTGCCATAGCGTGGTCCCCTCCCCTATGGCAGGCAGAACGGCACCTT
CCCTCCCCAATGACCGCGTCTCGTC (配列番号 31)

10

と少なくとも 80%、または少なくとも 85%、または少なくとも 90%、または少なくとも 95% の同一性パーセントを有する配列を含む。好ましい実施形態では、マイクロ RNA クラスターは、

【化 2 1】

AGGTATATTGCTGTTGACAGTGAGCGACTGTAAACTGAGCTTGCTCT
ACTGTGAAGCCACAGATGGGTAGAGCAAGCACAGTTACCGCTGCCTACTGCCTC
GGACTTCAAGGGCTTCCCAGGCATCTCATGGCTGTACCACCTGTGGGGGATG
TGTACTTCTGAACCTGTGTTGAATCTCATGGAGTCAGAAGAACACATCCGCACTG
ACATTTGGTATCTTCATCTGACCAGCTAGCGGCCTGGCTCGAGCAGGGGGCGA
GGGATTCCGCTTCTCCTGCCATAGCGTGGTCCCCTCCCCTATGGCAGGCAGAACG
GGCACCTTCCCCTCCAATGACCGCGTCTCGTC (配列番号 31)

20

を含む。

【0024】

別の態様では、レンチウイルス粒子を発現するためのレンチウイルスベクターシステムが開示される。システムは、本明細書に記載のようなレンチウイルスベクター；細胞への感染が最適化されているエンベロープタンパク質を発現するためのエンベローププラスミド；ならびに gag、pol、および rev 遺伝子を発現するための少なくとも 1 つのヘルパープラスミドを含み、レンチウイルスベクター、エンベローププラスミド、および少なくとも 1 つのヘルパープラスミドがパッケージング細胞株にトランスフェクトされると、パッケージング細胞株によってレンチウイルス粒子が産生され、レンチウイルス粒子は、ケモカイン受容体CCR5 の産生を阻害することができるかまたは HIV RNA 配列を標的とすることができる。システムは、gag および pol 遺伝子を発現するための第 1 のヘルパープラスミド、ならびに rev 遺伝子を発現するための第 2 のプラスミドをさらに含んでいてもよい。

30

【0025】

別の態様では、細胞に感染することができるレンチウイルス粒子が開示される。レンチウイルス粒子は、細胞への感染が最適化されたエンベロープタンパク質、および本明細書に記載のようなレンチウイルスベクターを含む。エンベロープタンパク質は、T 細胞への感染のために最適化されていてもよい。好ましい実施形態では、エンベロープタンパク質は、CD4+ T 細胞への感染のために最適化されている。

40

【0026】

別の態様では、変異細胞が開示される。変異細胞は、CD4+ T 細胞を含み、CD4+ T 細胞は、本明細書に記載のようなレンチウイルス粒子に感染している。好ましい実施形態では、CD4+ T 細胞は、HIV 抗原もまた認識する。さらに好ましい実施形態では、HIV 抗原は、gag 抗原を含む。さらに好ましい実施形態では、CD4+ T 細胞は

50

、レンチウイルス粒子による感染後に、減少したレベルの C C R 5 を発現する。

【 0 0 2 7 】

別の態様では、治療処置レジメンのために対象を選択する方法が開示される。方法は、対象から白血球を取り出し、末梢血単核細胞（P B M C）を精製し、P B M C に関連する少なくとも1つの因子に関連する第1の定量化可能な測定値を決定するステップ；ex vivoにおいて、P B M Cを、治療有効量の第2の刺激性作用剤と接触させ、P B M C に関連する少なくとも1つの因子に関連する第2の測定値を決定するステップを含み、第2の定量化可能な測定値が、第1の定量化可能な測定値よりも高い場合、対象が、処置レジメンのために選択される。少なくとも1つの因子は、T細胞増殖またはI F N ガンマ産生であってもよい。

10

【 0 0 2 8 】

別の態様では、本明細書に開示される方法は、P B M C から細胞の少なくとも1つのサブセットを枯渇させるステップを含む。方法は、P B M C から細胞の少なくとも1つのサブセットを枯渇させるステップを含み、細胞の少なくとも1つのサブセットは、C D 8 + T細胞、細胞、N K 細胞、B細胞、好中球、好塩基球、好酸球、調節性T細胞、N K T細胞、および赤血球の任意の1つまたは複数を含む。実施形態では、枯渇させるステップは、白血球を取り出した後に行われる。実施形態では、枯渇させるステップは、白血球を取り出すのと同時に行われる。

【 0 0 2 9 】

前述の一般的な記載ならびに以下の図面の簡単な説明および発明を実施するための形態は、例示的かつ説明的であり、特許請求する本発明のさらなる説明を提供することを意図している。他の目的、利点、および新規な特徴は、以下の図面の簡単な説明および発明を実施するための形態から当業者に容易に明らかになるであろう。

20

【図面の簡単な説明】

【 0 0 3 0 】

【図1】図1は、特定の臨床療法戦略のフローチャートダイアグラムを示す。

【 0 0 3 1 】

【図2】図2は、他の細胞が感染するのを予防するためおよび/またはウイルス複製を予防するための遺伝子治療を使用して、C D 4 + T細胞がどのように変更され得るかをダイアグラムで示す。

30

【 0 0 3 2 】

【図3】図3は、療法用ベクター、ヘルパープラスミド、およびエンベローププラスミドで構成されている例示的なレンチウイルスベクターシステムを示す。ここに示されている療法用ベクターは、本明細書ではA G T 1 0 3とも呼ばれ、m i R 3 0 C C R 5 - m i R 2 1 V i f - m i R 1 8 5 - T a t を含む、好ましい療法用ベクターである。

【 0 0 3 3 】

【図4】図4は、環状化形態の例示的な3ベクターレンチウイルスベクターシステムを示す。

【 0 0 3 4 】

【図5】図5は、環状化形態の例示的な4ベクターレンチウイルスベクターシステムを示す。

40

【 0 0 3 5 】

【図6】図6は、例示的なベクター配列を示す。プロモーターおよびm i R クラスターのポジティブ（ゲノム）鎖配列は、C C R 5 指向性H I V 株の拡散を阻害するために開発された。下線で示されていない配列は、このm i R クラスターにとって最良として選択されたE F - 1 アルファ転写プロモーター（配列番号1 0 5）を含む。下線で示した配列は、m i R 3 0 C C R 5 (C C R 5 m R N Aへの再指向を生じる天然ヒトm i R 3 0 の改変；配列番号1）、m i R 2 1 V i f (V i f R N A配列への再指向を生じる；配列番号2）およびm i R 1 8 5 T a t (T a t R N A配列への再指向を生じる；配列番号1 0 8）からなるm i R クラスターを示す（配列番号3 3 にまとめて示されている）。

50

【0036】

【図7】図7は、本開示の態様による例示的なレンチウイルスベクター構築物を示す。

【0037】

【図8】図8は、実験ベクターによるCCR5のノックダウンが、AGTc120細胞でのR5指向性HIV感染を予防することを示す。(A)は、AGT103レンチウイルスベクターを含むか、または含まないAGTc120細胞におけるCCR5発現を示す。(B)は、HIVのNef遺伝子に融合した緑色蛍光タンパク質(GFP)を発現するHIV-BaLウイルスストックによる感染に対する形質導入されたAGTc120細胞の感受性を示す。

【0038】

【図9】図9は、レンチウイルスベクターのshRNA阻害剤配列によって、CCR5発現が調節されたことを実証するデータを示す。(A)有力候補のスクリーニングデータが示されている。(B)CCR5 shRNA-1(配列番号16)を形質導入した後のCCR5ノックダウンデータが示されている。

10

【0039】

【図10】図10は、レンチウイルスベクターのshRNA阻害剤配列によって、HIV成分が調節されたことを実証するデータを示す。(A)Rev/Tat標的遺伝子のノックダウンデータが示されている。(B)Gag標的遺伝子のノックダウンデータが示されている。

【0040】

【図11】図11は、AGT103が、本明細書に記載のように、HIV発現プラスミドをトランスフェクトした細胞でのTatタンパク質の発現を低減させることを実証するデータを示す。

20

【0041】

【図12】図12は、レンチウイルスベクターの合成マイクロRNA配列によって、HIV成分が調節されたことを実証するデータを示す。(A)Tatノックダウンデータが示されている。(B)Vifノックダウンデータが示されている。

【0042】

【図13】図13は、レンチウイルスベクターの合成マイクロRNA配列によって、CCR5発現が調節されたことを実証するデータを示す。

30

【0043】

【図14】図14は、長鎖または短鎖WPRE配列を含むレンチウイルスベクターの合成マイクロRNA配列によって、CCR5発現が調節されたことを実証するデータを示す。

【0044】

【図15】図15は、WPRE配列を含むまたは含まないレンチウイルスベクターの合成マイクロRNA配列によって、CCR5の発現が調節されたことを実証するデータを示す。

【0045】

【図16】図16は、レンチウイルスベクターのCD4プロモーター調節性合成マイクロRNA配列によって、CCR5発現が調節されたことを実証するデータを示す。

【0046】

【図17】図17は、HIV Gag特異的CD4 T細胞の検出を実証するデータを示す。

40

【0047】

【図18】図18は、HIV特異的CD4 T細胞の増殖およびレンチウイルス形質導入を実証するデータを示す。(A)処置スケジュールが示されている。(B)CD4でゲートしたT細胞でのIFN-ガンマ産生が、本明細書に記載されているように示されている。(C)CD4でゲートしたT細胞でのIFN-ガンマ産生およびGFP発現が、本明細書に記載されているように示されている。(D)本明細書に記載されているような、かつ重要なことにはワクチン接種前およびワクチン接種後の、HIV特異的CD4+ T細胞の頻度が示されている。(E)ワクチン接種後のPBM CからのIFN-ガンマ産生が、本明細書に記載されているように示されている。

50

【0048】

【図19】図19は、AGT103-GFPを増加させた際の用量応答およびCCR5発現の阻害に関する機能アッセイを実証するデータを示す。(A) AGT103-GFPの量を増加させた際の用量応答データが示されている。(B) CCR5発現の点で正規分布した集団が示されている。(C) AGT103-GFPの用量を増加させた際のCCR5発現の阻害パーセンテージが示されている。

【0049】

【図20】図20は、AGT103が初代ヒトCD4+T細胞を効率的に形質導入することを実証するデータを示す。(A) 形質導入された細胞(GFP陽性)の頻度が、本明細書に記載されているように、FACSにより示されている。(B) 細胞あたりのベクターコピー数が、本明細書に記載されているように示されている。

10

【0050】

【図21】図21は、AGT103が初代CD4+T細胞におけるHIV複製を阻害することを実証するデータを、本明細書に記載されているように示す。

【0051】

【図22】図22は、AGT103がHIV誘導性枯渇から初代ヒトCD4+T細胞を防御することを実証するデータを示す。

【0052】

【図23-1】図23は、HIV特異的AGT103形質導入CD4+T細胞が高度に濃縮されたCD4+T細胞集団の生成を実証するデータを示す。(A)は、細胞集団のCD4およびCD8発現プロファイルを、本明細書に記載されているように示す。(B)は、細胞集団のCD4およびCD8発現プロファイルを、本明細書に記載されているように示す。(C)は、細胞集団のIFN-ガンマおよびCD4発現プロファイルを、本明細書に記載されているように示す。(D)は、細胞集団のIFN-ガンマおよびGFP発現プロファイルを、本明細書に記載されているように示す。

20

【図23-2】図23は、HIV特異的AGT103形質導入CD4+T細胞が高度に濃縮されたCD4+T細胞集団の生成を実証するデータを示す。(A)は、細胞集団のCD4およびCD8発現プロファイルを、本明細書に記載されているように示す。(B)は、細胞集団のCD4およびCD8発現プロファイルを、本明細書に記載されているように示す。(C)は、細胞集団のIFN-ガンマおよびCD4発現プロファイルを、本明細書に記載されているように示す。(D)は、細胞集団のIFN-ガンマおよびGFP発現プロファイルを、本明細書に記載されているように示す。

30

【0053】

【図24】図24は、CD8枯渇プロトコールの模式図を示す。

【0054】

【図25-1】図25は、ペプチド刺激、CD8枯渇およびIL-7/IL-15インキュベーションによるGag特異的T細胞の増殖を示す。(A)、(B)、および(C)は、CD8+細胞の枯渇後にCD4+T細胞増殖が顕著に改善されたことを示すフローサイトメトリーデータを示す。CD4+T細胞増殖の改善に加えて、(A)V1T細胞の過剰成長および(C)NK細胞の過剰成長もまた生じた。

40

【図25-2】図25は、ペプチド刺激、CD8枯渇およびIL-7/IL-15インキュベーションによるGag特異的T細胞の増殖を示す。(A)、(B)、および(C)は、CD8+細胞の枯渇後にCD4+T細胞増殖が顕著に改善されたことを示すフローサイトメトリーデータを示す。CD4+T細胞増殖の改善に加えて、(A)V1T細胞の過剰成長および(C)NK細胞の過剰成長もまた生じた。

【図25-3】図25は、ペプチド刺激、CD8枯渇およびIL-7/IL-15インキュベーションによるGag特異的T細胞の増殖を示す。(A)、(B)、および(C)は、CD8+細胞の枯渇後にCD4+T細胞増殖が顕著に改善されたことを示すフローサイトメトリーデータを示す。CD4+T細胞増殖の改善に加えて、(A)V1T細胞の過剰成長および(C)NK細胞の過剰成長もまた生じた。

50

【 0 0 5 5 】

【図26】図26は、CD8 / CD56 / CD19 / 枯渇プロトコールの模式図を示す。

【 0 0 5 6 】

【図27-1】図27は、ペプチド刺激、CD8 / / NK / B細胞枯渇およびIL-7 / IL-15インキュベーションによるGag特異的T細胞の増殖を示す。(A)～(B)は、CD8+、またはNK細胞の過剰成長が、CD4+ T細胞の成長を阻害することまたはレンチウイルス形質導入抗原特異的CD4+ T細胞を死滅させることを示すフローサイトメトリーデータを示す。CD8+、またはNK細胞の枯渇後、CD4+ T細胞を増殖させた。

10

【図27-2】図27は、ペプチド刺激、CD8 / / NK / B細胞枯渇およびIL-7 / IL-15インキュベーションによるGag特異的T細胞の増殖を示す。(A)～(B)は、CD8+、またはNK細胞の過剰成長が、CD4+ T細胞の成長を阻害することまたはレンチウイルス形質導入抗原特異的CD4+ T細胞を死滅させることを示すフローサイトメトリーデータを示す。CD8+、またはNK細胞の枯渇後、CD4+ T細胞を増殖させた。

【 0 0 5 7 】

【図28】図28は、ペプチド刺激、CD8 / / NK / B細胞枯渇およびIL-7 / IL-15インキュベーションによるGag特異的T細胞の増殖および形質導入を示す。IFN- γ 陽性の抗原特異的CD4+ T細胞は、培養物中の他のサブセットと比較して良好な形質導入効率を生じた。

20

【 0 0 5 8 】

【図29】図29は、形質導入された細胞のパーセンテージとベクターコピー数との関係を示す。(A)は、形質導入された細胞のパーセンテージが増加するにつれて、ベクターコピー数もまた増加することを示す表を示す(n=4)。(B)は、形質導入された細胞のパーセンテージとベクターコピー数との間の正の相関を示す、表中に示された同じ試料の回帰分析を示す(n=4)。

【発明を実施するための形態】**【 0 0 5 9 】**

詳細な説明

30

概要

機能的治癒を達成するためにヒト免疫不全ウイルス(HIV)疾患を処置および/または予防するための方法および組成物が、本明細書において開示される。機能的治癒は、CAR-Tの必要を低減または排除し、支持的アジュvant療法を必要としてもしなくてもよい開示された処置および方法から生じる状態として定義される。本発明の方法には、以下に記載される組み込みレンチウイルス、非組み込みレンチウイルス、および関連ウイルスベクター技術による遺伝子送達が含まれる。

【 0 0 6 0 】

療法用ウイルスベクター(例えば、レンチウイルスベクター)、免疫療法、およびHIV感染の機能的治癒を達成するための戦略においてそれらを使用するための方法が、本明細書において開示される。本明細書の図1に示されているように、HIVを処置するための戦略は、HIV特異的CD4+ T細胞の画分を濃縮することを目的とした、HAARTの毎日の投与によるウイルス血症の安定な抑制を有するHIV感染患者におけるHIVに対する強力な免疫応答を生成することを意図したワクチンによる最初の療法的免疫化を含む。しかしながら、本明細書で詳述されているように、最初の療法的免疫化は、必ずしも必要でなくてもよい。次いで、(1)末梢白血球を白血球アフェレーシスによって単離するか、またはPBMCを静脈血から精製するステップ、(2)ex vivoにおいて、HIVワクチンタンパク質で、CD4+ T細胞を再刺激するステップ、(3)療法用レンチウイルス形質導入、ex vivoにおいて、T細胞培養を行うステップ、および(4)元のドナーへ再注入し戻すステップが、これに続く。

40

50

【 0 0 6 1 】

先述の記載に鑑み、本明細書の図2を参照すると、方法は、CD4+T細胞などの新しい細胞がHIVに感染するのを予防するために使用され得る。新しい細胞が感染するのを予防するために、CCR5発現が、ウイルス付着を予防するために標的とされ得る。さらに、任意の残留する感染性ウイルスRNAの破壊もまた標的とされ得る。先述の記載に鑑み、本明細書の図2を参照すると、方法は、既にHIVに感染している細胞でのHIVウイルスサイクルを停止させるためにも使用され得る。HIVウイルスサイクルを停止させるために、潜伏感染CD4+T細胞などの潜伏感染細胞によって産生されるウイルスRNAが標的とされ得る。

【 0 0 6 2 】

HIVを阻害することができる高度に有効な療法用レンチウイルスを提供することによって、HIVの機能的治癒を達成するための新しい戦略が開発された。

【 0 0 6 3 】**定義および解釈**

本明細書中で別様に定義されていない限り、本開示に関して使用される科学用語および専門用語は、当業者により一般に理解される意味を有するものとする。さらに、状況により別様に求められない限り、単数形の用語は複数を含み、複数形の用語は単数を含むものとする。一般に、本明細書に記載されている細胞および組織培養、分子生物学、免疫学、微生物学、遺伝学、ならびにタンパク質および核酸化学、ならびにハイブリダイゼーションに関して使用される命名法および技術は、周知であり、当技術分野で一般に使用されているものである。本開示の方法および技術は、別様の指定がない限り、一般に、当技術分野で周知の従来法により、本明細書の全体にわたって引用および考察されている種々的一般的なおよびより専門的な参考文献に記載されているように実施される。例えば、Sambrook J. および Russell D. Molecular Cloning: A Laboratory Manual、第3版、Cold Spring Harbor Laboratory Press、Cold Spring Harbor、N.Y. (2000年)；Ausubelら、Short Protocols in Molecular Biology: A Compendium of Methods from Current Protocols in Molecular Biology、Wiley、John & Sons, Inc. (2002年)；HarlowおよびLane、Using Antibodies: A Laboratory Manual、Cold Spring Harbor Laboratory Press、Cold Spring Harbor、N.Y. (1998年)；ならびに Coliganら、Short Protocols in Protein Science、Wiley、John & Sons, Inc. (2003年) を参照されたい。任意の酵素反応または精製技術は、製造業者の仕様に従って、当技術分野で一般に達成されるように、または本明細書に記載されているように実施される。本明細書に記載されている分析化学、合成有機化学、ならびに医学および医薬化学に関して使用される命名法、実験手順、および技術は、周知であり、当技術分野で一般に使用されているものである。

【 0 0 6 4 】

本明細書で使用される場合、「約」という用語は、当業者によって理解され、使用される文脈に依存してある程度変化するであろう。使用される文脈を考慮しても、当業者に明白ではない用語の使用がある場合には、「約」は特定の用語のプラスまたはマイナス10%を意味するであろう。

【 0 0 6 5 】

本明細書で使用される場合、活性剤の「投与」または「投与する」という用語は、本発明の活性剤を、処置の必要な対象に療法上有用な形態で治療有効量をその個体の体内に導入することができる形態で、提供することを意味する。

【 0 0 6 6 】

本明細書で使用される場合、「AGT103」という用語は、本明細書で詳述されているような、mIRC30-CCR5/mIRC21-Vif/mIRC185-TatマイクロRNAクラスター配列を含むレンチウイルスベクターの特定の実施形態を指す。

【 0 0 6 7 】

本明細書で使用される場合、「AGT103T」という用語は、AGT103レンチウ

10

20

30

40

50

イルスベクターを含むレンチウイルスまたはレンチウイルス粒子で形質導入された細胞を指す。

【 0 0 6 8 】

本明細書および特許請求の範囲の全体にわたって、「含む (comprise)」という単語、または「含む (comprises)」もしくは「含むこと (comprising)」などの活用形は、記載されている整数または整数の群を含むが、任意の他の整数または整数の群を除外しないことを示唆すると理解されるであろう。さらに、本明細書で使用される場合、「含む (includes)」という用語は、含むが限定ではないことを意味する。

【 0 0 6 9 】

「移植」という用語は、当業者が、細胞供給源を注入した後の対象において移植持続の定量的レベルを決定することができる指す(例えば、Rosenbergら、*N. Engl. J. Med.* 323巻：570～578頁(1990年)；Dudleyら、*J. Immunother.* 24巻：363～373頁(2001年)；Yeeら、*Curr. Opin. Immunol.* 13巻：141～146頁(2001年)；Rooneyら、*Blood* 92巻：1549～1555頁(1998年)を参照)。

10

【 0 0 7 0 】

「発現」、「発現した」、または「コードする」という用語は、ポリヌクレオチドがmRNAに転写されるプロセスおよび/または転写されたmRNAが続いてペプチド、ポリペプチド、もしくはタンパク質に翻訳されるプロセスを指す。発現には、真核細胞におけるmRNAのスプライシング、または他の形態の転写後修飾もしくは翻訳後修飾を含み得る。

20

【 0 0 7 1 】

「機能的治癒」という用語は、以前にcARTまたはHAARTを必要としていたHIV+個体が、cARTまたはHAARTのより低い用量もしくは断続的用量を使用するか、または投薬中止して、ウイルス複製が低いまたは検出不可能な形で生存することができる状況または状態を指す。個体は、低いレベルのウイルス複製を維持し疾患の進行を遅くするかまたは排除するための補助療法を依然として必要としていても、「機能的に治癒した」と言われ得る。機能的治癒の可能性がある結果としては、再発のすべての可能性を予防する、HIVの最終的な撲滅がある。

30

【 0 0 7 2 】

「HIVワクチン」という用語は、HIV特異的免疫応答を誘発することを意図した免疫原とビヒクルとアジュvantを包含する。「HIVワクチン」は、HIVであってもよい精製された不活性化ウイルス粒子もしくは不活性化ウイルス粒子全体、またはHIVタンパク質、タンパク質断片もしくはペプチド、糖タンパク質断片もしくは糖ペプチドを発現することができる組換えウイルスベクターを、特異的免疫を誘発することができるHIVタンパク質、糖タンパク質またはタンパク質断片を産生するように細胞を誘導することができる組換え細菌ベクター、プラスミドDNAまたはRNAに加えて含んでもよい。代替的には、形質導入の前にHIV特異的CD4+T細胞を濃縮する目的のために、または、レンチウイルス形質導入CD4+T細胞のin vitroアッセイのために、抗CD3/CD28ビーズ、T細胞受容体特異的抗体、分裂促進因子、スーパー抗原、および他の化学的または生物学的刺激を含む免疫刺激のための特定の方法を使用して、樹状、TもしくはB細胞を活性化することができる。活性化物質は、可溶性、ポリマー性集合体、リポソームまたはエンドソームベースのまたは連結されたビーズであってもよい。インターロイキン-2、6、7、12、15、23または他を含むサイトカインを添加して、刺激に対する細胞応答を改善し、ならびに/または培養および形質導入間隔を通じてCD4+T細胞の生存を改善することができる。代替的には、前述のいずれにも限定されず、「HIVワクチン」という用語は、MVA/HIV62Bワクチンおよびそのバリエントを包含する。MVA/HIV62Bワクチンは、公知の高度に弱毒化された二重組換えMVAワクチンである。MVA/HIV62Bワクチンは、HIV-1 gag-polおよびe

40

50

n v 配列を公知の M V A ベクターに挿入することにより構築された（例えば、Goepfertら（2014年）J. Infect. Dis. 210巻（1号）：99～110頁を参照、および国際公開第2006026667号を参照。両文献は、参照により本明細書に組み込まれる）。また、「H I Vワクチン」という用語は、以下の表1に提供されている任意の1つまたは複数のワクチンを含む。

【表1 - 1】

表1

IAVI 臨床試験 ID*	プライム**
HVTN 704 AMP	VRC-HIVMAB060-00-AB
VAC89220HPX2004	Ad26.Mos.HIV 三価
01-I-0079	VRC4302
04/400-003-04	APL 400-003 GENEVAX-HIV
10-1074	10-1074
87 I-114	gp160 ワクチン(Immuno-AG)
96-I-0050	APL 400-003 GENEVAX-HIV
ACTG 326; PACTG 326	ALVAC vCP1452
Ad26.ENVA.01	Ad26.EnvA-01
Ad26.ENVA.01 粘膜/IPCAVD003	Ad26.EnvA-01
Ad5HVR48.ENVA.01	Ad5HVR48.ENVA.01
ANRS VAC 01	ALVAC vCP125
ANRS VAC 02	rgp 160 とペプチド V3 ANRS VAC 02
ANRS VAC 03	ALVAC-HIV MN120TMG 株(vCP205)
ANRS VAC 04	LIPO-6
ANRS VAC 04 bis	LIPO-6
ANRS VAC 05	ALVAC vCP125
ANRS VAC 06	ALVAC vCP125
ANRS VAC 07	ALVAC vCP300
ANRS VAC 08	ALVAC-HIV MN120TMG 株(vCP205)
ANRS VAC 09	ALVAC-HIV MN120TMG 株(vCP205)
ANRS VAC 09 bis	LIPO-6
ANRS VAC 10	ALVAC vCP1452
ANRS VAC 12	LPHIV1
ANRS VAC 14	gp160 MN/LAI
ANRS VAC 16	LPHIV1
ANRS VAC 17	LIPO-6

10

20

30

40

50

【表 1 - 2】

ANRS VAC 18	LIPO-5
APL 400-003RX101	APL 400-003 GENEVAX-HIV
AVEG 002	HIVAC-1e
AVEG 002A	HIVAC-1e
AVEG 002B	HIVAC-1e
AVEG 003	VaxSyn gp160 ワクチン(MicroGeneSys)
AVEG 003A	VaxSyn gp160 ワクチン(MicroGeneSys)
AVEG 003B	VaxSyn gp160 ワクチン(MicroGeneSys)
AVEG 004	gp160 ワクチン(Immuno-AG)
AVEG 004A	gp160 ワクチン(Immuno-AG)
AVEG 004B	gp160 ワクチン(Immuno-AG)
AVEG 005A/B	Env 2-3
AVEG 005C	Env 2-3
AVEG 006X; VEU 006	MN rgp120
AVEG 007A/B	rgp120/HIV-1 SF-2
AVEG 007C	rgp120/HIV-1 SF-2
AVEG 008	HIVAC-1e
AVEG 009	MN rgp120
AVEG 010	HIVAC-1e
AVEG 011	UBI HIV-1 ベプチド免疫原、多価
AVEG 012A/B	ALVAC vCP125
AVEG 013A	gp160 ワクチン(Immuno-AG)
AVEG 013B	gp160 ワクチン(Immuno-AG)
AVEG 014A/B	TBC-3B
AVEG 014C	TBC-3B
AVEG 015	rgp120/HIV-1 SF-2
AVEG 016	MN rgp120
AVEG 016A	MN rgp120

10

20

30

40

50

【表 1 - 3】

AVEG 016B	MN rgp120
AVEG 017	UBI HIV-1 ベプチドワクチン、微粒子 一価
AVEG 018	UBI HIV-1 ベプチドワクチン、微粒子 一価
AVEG 019	p17/p24:Ty- VLP
AVEG 020	gp120 C4-V3
AVEG 021	P3C541b リポベプチド
AVEG 022	ALVAC-HIV MN120TMG 株(vCP205)
AVEG 022A	ALVAC-HIV MN120TMG 株(vCP205)
AVEG 023	UBI HIV-1 ベプチド免疫原、多価
AVEG 024	rgp120/HIV-1 SF-2
AVEG 026	ALVAC vCP300
AVEG 027	ALVAC-HIV MN120TMG 株(vCP205)
AVEG 028	Salmonella typhi CVD 908-HIV-1 LAI gp 120
AVEG 029	ALVAC-HIV MN120TMG 株(vCP205)
AVEG 031	APL 400-047
AVEG 032	ALVAC-HIV MN120TMG 株(vCP205)
AVEG 033	ALVAC-HIV MN120TMG 株(vCP205)
AVEG 034/034A	ALVAC vCP1433
AVEG 036	MN rgp120
AVEG 038	ALVAC-HIV MN120TMG 株(vCP205)
AVEG 201	rgp120/HIV-1 SF-2
AVEG 202/HIVNET 014	ALVAC-HIV MN120TMG 株(vCP205)
C060301	GTU-MultiHIV
C86P1	HIV gp140 ZM96
子宮腔部 CN54gp140-hsp70 コンジュゲートワクチン(TL01)	CN54gp140
CM235 および SF2gp120	CM235(ThaiE)gp120 と SF2(B)gp120
CM235gp120 および SF2gp120	CM235(ThaiE)gp120 と SF2(B)gp120

10

20

30

40

50

【表 1 - 4】

CombiHIVvac (KombiVICHvak)	CombiHIVvac
CRC282	P2G12
CRO2049/ CUT*HIVAC001	GTU-MultiHIV
CUTHIVAC002	DNA-C CN54ENV
DCVax-001	DCVax-001
DNA-4	DNA-4
DP6?001	DP6?001 DNA
DVP-1	EnvDNA
EN41-UGR7C	EN41-UGR7C
EnvDNA	EnvDNA
EnvPro	EnvPro
EuroNeut41	EN41-FPA2
EV01	NYVAC-C
EV02 (EuroVacc 02)	DNA-C
EV03/ANRSVAC20	DNA-C
エクステンション HVTN 073E/SAAVI 102	サブ C gp140
F4/AS01	F4/AS01
FIT Biotech	GTU-Nef
チワン(Guangxi)CDC DNA ワクチン	チャイニーズ DNA
HGP-30 メモリー応答	HGP-30
HIV-CORE002	ChAdV63.HIVconsv
HIV-POL-001	MVA-mBN32
HIVIS 01	HIVIS-DNA
HIVIS 02	MVA-CMDR
HIVIS 03	HIVIS-DNA
HIVIS 05	HIVIS-DNA
HIVIS06	HIVIS-DNA
HIVIS07	HIVIS-DNA
HIVNET 007	ALVAC-HIV MN120TMG 株(vCP205)

10

20

30

40

50

【表 1 - 5】

HIVNET 026	ALVAC vCP1452
HPTN 027	ALVAC-HIV vCP1521
HVRF-380-131004	Vichrepol
HVTN 039	ALVAC vCP1452
HVTN 040	AVX101
HVTN 041	rgp120w61d
HVTN 042 / ANRS VAC 19	ALVAC vCP1452
HVTN 044	VRC-HIVDNA009-00-VP
HVTN 045	pGA2/JS7 DNA
HVTN 048	EP HIV-1090
HVTN 049	Gag および Env DNA/PLG 微粒子
HVTN 050/Merck 018	MRKAd5 HIV-1 gag
HVTN 052	VRC-HIVDNA009-00-VP
HVTN 054	VRC-HIVADV014-00-VP
HVTN 055	TBC-M335
HVTN 056	MEP
HVTN 057	VRC-HIVDNA009-00-VP
HVTN 059	AVX101
HVTN 060	HIV-1 gag DNA
HVTN 063	HIV-1 gag DNA
HVTN 064	EP HIV-1043
HVTN 065	pGA2/JS7 DNA
HVTN 067	EP-1233
HVTN 068	VRC-HIVADV014-00-VP
HVTN 069	VRC-HIVDNA009-00-VP
HVTN 070	PENNVAX-B
HVTN 071	MRKAd5 HIV-1 gag
HVTN 072	VRC-HIVDNA044-00-VP
HVTN 073	SAAVI DNA-C2

10

20

30

40

【表 1 - 6】

HVTN 076	VRC-HIVDNA016-00-VP
HVTN 077	VRC-HIVADV027-00-VP
HVTN 078	NYVAC-B
HVTN 080	PENNVAX-B
HVTN 082	VRC-HIVDNA016-00-VP
HVTN 083	VRC-HIVADV038-00-VP
HVTN 084	VRC-HIVADV054-00-VP
HVTN 085	VRC-HIVADV014-00-VP
HVTN 086, SAAVI 103	SAAVI MVA-C
HVTN 087	HIV-MAG
HVTN 088	オリゴマーgp140/MF59
HVTN 090	VSV-Indiana HIV gag ワクチン
HVTN 092	DNA-HIV-PT123
HVTN 094	GEO-D03
HVTN 096	DNA-HIV-PT123
HVTN 097	ALVAC-HIV vCP1521
HVTN 098	PENNVAX-GP
HVTN 100	ALVAC-HIV-C (vCP2438)
HVTN 101	DNA-HIV-PT123
HVTN 102	DNA-HIV-PT123
HVTN 104	VRC-HIVMAB060-00-AB
HVTN 105	AIDSVAX B/E
HVTN 106	DNA Nat-B env
HVTN 110	Ad4-mgag
HVTN 112	HIV-1 nef/tat/vif,env pDNA ワクチン
HVTN 114; GOVX-B11	AIDSVAX B/E
HVTN 116	VRC-HIVMAB060-00-AB
HVTN 203	ALVAC vCP1452
HVTN 204	VRC-HIVDNA016-00-VP

10

20

30

40

50

【表 1 - 7】

HVTN 205	pGA2/JS7 DNA
HVTN 502/Merck 023(Step 研究)	MRKAd5 HIV-1 gag/pol/nef
HVTN 503 (Phambili)	MRKAd5 HIV-1 gag/pol/nef
HVTN 505	VRC-HIVDNA016-00-VP
HVTN 702	ALVAC-HIV-C (vCP2438)
HVTN 703 AMP	VRC-HIVMAB060-00-AB
HVTN 908	pGA2/JS7 DNA
IAVI 001	DNA.HIVA
IAVI 002	DNA.HIVA
IAVI 003	MVA.HIVA
IAVI 004	MVA.HIVA
IAVI 005	DNA.HIVA
IAVI 006	DNA.HIVA
IAVI 008	MVA.HIVA
IAVI 009	DNA.HIVA
IAVI 010	DNA.HIVA
IAVI 011	MVA.HIVA
IAVI 016	MVA.HIVA
IAVI A001	tgAAC09
IAVI A002	tgAAC09
IAVI A003	AAV1-PG9
IAVI B001	Ad35-GRIN/ENV
IAVI B002	アジュvant GSK 研究用 HIV ワクチン製剤 1
IAVI B003	Ad26.EnvA-01
IAVI B004	HIV-MAG
IAVI C001	ADVAX
IAVI C002	ADMVA
IAVI C003	ADMVA
IAVI C004/DHO-614	ADVAX

10

20

30

40

50

【表 1 - 8】

IAVI D001	TBC-M4	
IAVI N004 HIV-CORE 004	Ad35-GRIN	
IAVI P001	ADVAX	
IAVI P002	ADVAX	
IAVI R001	rcAd26.MOS1.HIVEnv	10
IAVI S001	SeV-G	
IAVI V001	VRC-HIVDNA016-00-VP	
IAVI V002	VRC-HIVDNA016-00-VP	
IDEA EV06	DNA-HIV-PT123	
IHV01	全長単鎖(FLSC)	
IMPAACT P1112	VRC-HIVMAB060-00-AB	
IPCAVD006	MVA モザイク	
IPCAVD008	三量体 gp140	
IPCAVD009	Ad26.Mos.HIV 三価	20
IPCAVD010	Ad26.Mos.HIV 三価	
ISS P-001	Tat ワクチン	
ISS P-002	Tat ワクチン	
LFn-p24 ワクチン	LFn-p24	
MCA-0835	3BNC117	
Merck V520-007	Ad-5 HIV-1 gag (Merck)	
MRC V001	rgp120w61d	30
MRK Ad5	Ad-5 HIV-1 gag (Merck)	
MRKAd5 + ALVAC	MRKAd5 HIV-1 gag	
Mucovac2	CN54gp140	
MV1-F4	麻疹ベクター-GSK	
MYM-V101	ビロソーム-Gp41	
NCHECR-AE1	pHIS-HIV-AE	
PACTG 230	AIDS VAX B/E	40

【表 1 - 9】

PAVE100	VRC-HIVDNA016-00-VP	
PEACHI-04	ChAdV63.HIVcons	
PedVacc001 & PedVacc002	MVA.HIVA	
PolyEnv1	PolyEnv1	
PXVX-HIV-100-001	Ad4-mgag	
RISVAC02	MVA-B	10
RisVac02 ブースト	MVA-B	
RV 124	ALVAC-HIV MN120TMG 株(vCP205)	
RV 132	ALVAC-HIV vCP1521	
RV 135	ALVAC-HIV vCP1521	
RV 138; B011	ALVAC-HIV MN120TMG 株(vCP205)	
RV 144	ALVAC-HIV vCP1521	
RV 151 / WRAIR 984	LFn-p24	
RV 156	VRC-HIVDNA009-00-VP	20
RV 156A	VRC-HIVDNA009-00-VP	
RV 158	MVA-CMDR	
RV 172	VRC-HIVDNA016-00-VP	
RV 305	ALVAC-HIV vCP1521	
RV 306	ALVAC-HIV vCP1521	
RV 328	AIDSVAX B/E	
RV 365	MVA-CMDR	
RV262	Pennvax-G	30
SG06RS02	HIV gp140 ZM96	
TAB9	TAB9	
TaMoVac II	HIVIS-DNA	
TAMOVAC-01-MZ	HIVIS-DNA	
チアンタン・ワクシニア(Tiantan vaccinia)HIV ワクチン	チャイニーズ DNA	
チアンタン・ワクシニア(Tiantan vaccinia)HIV ワクチン	チャイニーズ DNA	40

【表 1 - 10】

クチンおよび DNA	
TMB-108	イバリズマブ
UBI HIV-1 MN 中国	UBI HIV-1 ペプチド免疫原、多価
UBI HIV-1MN 八量体-オーストラリア研究	UBI HIV-1 ペプチド免疫原、多価
UBI V106	UBI HIV-1 ペプチドワクチン、微粒子 一価
UCLA MIG-001	TBC-3B
UCLA MIG-003	ALVAC-HIV MN120TMG 株(vCP205)
UKHVCSpoke003	DNA-CN54ENV および ZM96GPN
V24P1	HIV p24/MF59 ワクチン
V3-MAPS	V3-MAPS
V520-016	MRKAd5 HIV-1 gag/pol/nef
V520-027	MRKAd5 HIV-1 gag/pol/nef
V526-001 MRKAd5 および MRKAd6 HIV-1 三遺伝子ワクチン	MRKAd5 HIV-1 gag/pol/nef
VAX 002	AIDSVAX B/B
VAX 003	AIDSVAX B/E
VAX 004	AIDSVAX B/B
VRC 004 (03-I-0022)	VRC-HIVDNA009-00-VP
VRC 006 (04-I-0172)	VRC-HIVADV014-00-VP
VRC 007 (04-I-0254)	VRC-HIVDNA016-00-VP
VRC 008 (05-I-0148)	VRC-HIVDNA016-00-VP
VRC 009 (05-I-0081)	VRC-HIVDNA009-00-VP
VRC 010 (05-I-0140)	VRC-HIVADV014-00-VP
VRC 011(06-I-0149)	VRC-HIVDNA016-00-VP
VRC 012 (07-I-0167)	VRC-HIVADV027-00-VP
VRC 015 (08-I-0171)	VRC-HIVADV014-00-VP
VRC 016	VRC-HIVDNA016-00-VP
VRC 602	VRC-HIVMAB060-00-AB

10

20

30

40

50

【表 1 - 11】

VRC 607	VRCHIVMAB080-00-AB
VRC01LS	VRCHIVMAB080-00-AB
VRI01	MVA-B
X001	CN54gp140

* IAVI は、国際エイズワクチン推進構想であり、その臨床試験データベースは、
<http://www.iavi.org/trials-database/trials> で公的に入手可能である。

10

**本明細書で使用される場合、「プライム」という用語は、本明細書の表 1 に参照されている所与の臨床試験において免疫学的接種材料として元々使用された組成物を指す。

【0073】

「in vivo」という用語は、生命体で生じるプロセスを指す。「ex vivo」という用語は、生命体の外部で生じるプロセスを指す。

【0074】

「m i R N A」という用語は、マイクロRNAを指し、「m i R」と呼ばれる場合もある。

20

【0075】

「パッケージング細胞株」という用語は、レンチウイルス粒子を発現するために使用することができるあらゆる細胞株を指す。

【0076】

2つまたはそれよりも多くの核酸配列またはポリペプチド配列の文脈における「同一性パーセント」という用語は、最大一致で比較およびアラインした場合に、下に記載されている配列比較アルゴリズム（例えば、BLASTPおよびBLASTN、または当業者に利用可能な他のアルゴリズム）の1つを使用してまたは目視検討によって測定される、同じヌクレオチドまたはアミノ酸残基の指定のパーセンテージを有する2つまたはそれよりも多くの配列または部分配列を指す。「同一性パーセント」は、目的に応じて、比較されている配列の領域にわたって、例えば機能的ドメインにわたって存在してもよく、または代替的には、比較される2つの配列の全長にわたって存在してもよい。配列比較の場合、典型的には、一方の配列が、試験配列をそれに対して比較する参照配列としての役目を果たす。配列比較アルゴリズムを使用する場合、試験配列および参照配列をコンピュータに入力し、必要に応じて部分配列座標を指定し、配列アルゴリズムプログラムパラメータを指定する。その後、配列比較アルゴリズムにより、指定されているプログラムパラメータに基づいて、参照配列に対する試験配列の配列同一性パーセントが計算される。

30

【0077】

比較するための最適な配列アラインメントは、例えば、SmithおよびWaterman、Adv. Appl. Math. 2巻：482頁（1981年）の局所相同性アルゴリズムにより、NeedlemanおよびWunsch、J. Mol. Biol. 48巻：443頁（1970年）の相同性アラインメントアルゴリズムにより、PearsonおよびLipman、Proc. Nat'l. Acad. Sci. USA 85巻：2444頁（1988年）の類似性探索法（search for similarity method）により、これらのアルゴリズムのコンピュータ実装により（Wisconsin Genetics Software Package、Genetics Computer Group、575 Science Dr.、Madison、Wis. のGAP、BESTFIT、FASTA、およびTFASTA）、または目視検査により（一般に、Ausubelら、上記を参照）実施することができる。

40

【0078】

50

配列同一性パーセントおよび配列類似性パーセントを決定するのに適切なアルゴリズムの一例は、BLASTアルゴリズムであり、これは、Altschulら、J. Mol. Biol. 215巻：403～410頁（1990年）に記載されている。BLAST分析を実施するためのソフトウェアは、国立生物工学情報センターのウェブサイトから公的に利用可能である。

【0079】

2つのヌクレオチド配列間の同一性パーセントは、NWsgapDNA.CMPマトリクス、ならびに40、50、60、70、または80のギャップ重みおよび1、2、3、4、5、または6の長さ重みを使用するGCGソフトウェアパッケージ（http://www.gcg.comから入手可能）のGAPプログラムを使用して決定することができる。また、2つのヌクレオチド配列またはアミノ酸配列間の同一性パーセントは、PAM120重み残基表、ギャップ長ペナルティ12、およびギャップペナルティ4を使用するALIGNプログラム（バージョン2.0）に組み込まれているE. MeyersおよびW. Miller（CABIOS、4巻：11～17頁（1989年））のアルゴリズムを使用して、決定することができる。加えて、2つのアミノ酸配列間の同一性パーセントは、Blossum62マトリクスまたはPAM250マトリクスのいずれか、ならびに16、14、12、10、8、6、または4のギャップ重みおよび1、2、3、4、5、または6の長さ重みを使用するGCGソフトウェアパッケージ（http://www.gcg.comから入手可能）のGAPプログラムに組み込まれているNeedlemanおよびWunsch（J. Mol. Biol.（48巻）：444～453頁（1970年））のアルゴリズムを使用して決定することができる。

10

【0080】

さらに、本開示の核酸配列およびタンパク質配列を、公開データベースの検索を実施するための「クエリー配列」として使用して、例えば、関連配列を特定することができる。そのような検索は、Altschulら（1990年）J. Mol. Biol. 215巻：403～10頁のNBLASTおよびXBLASTプログラム（バージョン2.0）を使用して実施することができる。NBLASTプログラムをスコア＝100、ワード長＝12で用いて、BLASTヌクレオチド検索を実施して、本発明の核酸分子に相同意のヌクレオチド配列を得ることができる。XBLASTプログラムをスコア＝50、ワード長＝3で用いて、BLASTタンパク質検索を実施して、本発明のタンパク質分子に相同意のアミノ配列を得ることができる。比較目的のギャップ付きアライメントを得るために、Gapped BLASTを、Altschulら（1997年）Nucleic Acids Res. 25巻（17号）：3389～3402頁に記載のように利用してもよい。BLASTプログラムおよびGapped BLASTプログラムを利用する場合、それぞれのプログラム（例えば、XBLASTおよびNBLAST）の初期設定パラメータを使用してもよい。http://www.ncbi.nlm.nih.govを参照されたい。

20

30

【0081】

本明細書で使用される場合、「薬学的に許容される」は、健全な医学的判断の範囲内での過度の毒性、刺激、アレルギー応答、または合理的なベネフィット／リスク比と釣り合う他の問題もしくは合併症を起こさず、ヒトおよび動物の組織、器官、および／または体液と接触させて使用するために適切である化合物、材料、組成物、および／または剤形を指す。

40

【0082】

本明細書で使用される場合、「薬学的に許容される担体」は、生理学的に適合するありとあらゆる溶媒、分散媒、コーティング、抗菌剤および抗真菌剤、ならびに等張剤および吸収遅延剤などを指し、それらを含む。組成物としては、薬学的に許容される塩、例えば、酸付加塩または塩基付加塩を挙げることができる（例えば、Bergeら（1977年）J. Pharm. Sci. 66巻：1～19頁を参照）。

【0083】

本明細書で使用される場合、「配列番号（SEQ ID NO）」という用語は、「配列番号（Sequence ID No）」という用語と同義である。

50

【 0 0 8 4 】

本明細書で使用される場合、「スモールRNA」とは、一般に長さ約200ヌクレオチド未満またはそれ未満であり、サイレンシングまたは干渉機能を持つノンコーディングRNAのことを指す。他の実施形態では、スモールRNAは、長さ約175ヌクレオチドもしくはそれ未満、約150ヌクレオチドもしくはそれ未満、約125ヌクレオチドもしくはそれ未満、約100ヌクレオチドもしくはそれ未満、または約75ヌクレオチドもしくはそれ未満である。そのようなRNAには、マイクロRNA(microRNA)、低分子干渉RNA(siRNA)、二本鎖RNA(dsRNA)、および短鎖ヘアピンRNA(shRNA)が含まれる。本開示の「スモールRNA」は、標的遺伝子mRNAの破壊をもたらす経路を一般に介して、標的遺伝子の遺伝子発現を阻害またはノックダウンすることが可能であるべきである。

10

【 0 0 8 5 】

本明細書で使用される場合、「刺激性作用剤」という用語は、白血球を刺激することができる、あらゆる外因性作用剤を指す。

【 0 0 8 6 】

本明細書で使用される場合、「対象」という用語は、ヒト患者を含むだけでなく、他の哺乳動物も含む。「対象」、「個体」、「宿主」、および「患者」という用語は、本明細書では交換可能に使用することができる。

【 0 0 8 7 】

本明細書で使用される場合、「標的細胞」という用語は、一般に、HIV遺伝子配列を示すタンパク質またはペプチド断片を用いた刺激に応答するCD4+T細胞を指し、CD4+T細胞のHIVに対する感受性を低くする、本明細書で詳述されているレンチウイルスベクターを形質導入したCD4+T細胞を含む。

20

【 0 0 8 8 】

「治療有効量」という用語は、所定の不快、傷害、疾患、または状態に苦しんでいる患者に見られる症状、進行、または合併症の発症を処置または予防するのに適切な組成物における、および適切な剤形における、本発明の活性剤の十分な量を指す。治療有効量は、患者の状態またはその重篤度、および処置される対象の年齢、体重などに依存して変化するであろう。治療有効量は、例えば、投与経路、対象の状態、ならびに当業者によって理解される他の要因を含む、多くの要因のいずれかに依存して変化し得る。

30

【 0 0 8 9 】

本明細書で使用される場合、「療法用ベクター」という用語は、AGT103ベクターなどのレンチウイルスベクターと同義である。

【 0 0 9 0 】

「処置」または「処置する」という用語は、一般に、処置される対象の自然経過をえる試みにおける介入のことを指し、予防のためにかまたは臨床病理の経過の間のいずれかに実施することができる。望ましい効果は、疾患の発生または再発を予防すること、症状を緩和すること、疾患の任意の直接的もしくは間接的な病理学的帰結を抑制、減少、または阻害すること、疾患状態を改善または軽減すること、および寛解または予後の向上を引き起こすことを含むが、これらに限定されない。

40

【 0 0 9 1 】**本開示の態様の説明**

本明細書で詳述されているように、一態様では、対象のHIV感染を処置する方法が開示される。方法は、対象から白血球を取り出し、末梢血単核細胞(PBMC)を精製するステップを含む。方法は、*ex vivo*において、PBMCを治療有効量の刺激性作用剤と接触させるステップ；*ex vivo*において、少なくとも1つの遺伝子エレメントをコードするウイルス送達システムを用いてPBMCに形質導入するステップ；および形質導入されたPBMCを、少なくとも1日間培養するステップをさらに含む。方法は、例えば、PBMCをCD4+T細胞に関して好ましくは濃縮することによる、PBMCのさらなる濃縮をさらに含んでいてもよい。形質導入されたPBMCは、約1～約35日間

50

培養されてもよい。方法は、形質導入された P B M C を対象に注入するステップをさらに含んでいてもよい。対象は、ヒトであってもよい。刺激性作用剤は、ペプチドまたはペプチドの混合物を含んでいてもよい。好ましい実施形態では、刺激性作用剤は、g a g ペプチドを含む。刺激性作用剤は、ワクチンを含んでいてもよい。ワクチンは、H I V ワクチンであってもよく、好ましい実施形態では、H I V ワクチンは、M V A / H I V 6 2 B ワクチンまたはそのバリエントである。好ましい実施形態では、ウイルス送達システムは、レンチウイルス粒子を含む。一実施形態では、少なくとも 1 つの遺伝子エレメントは、ケモカイン受容体 C C R 5 の産生を阻害することができるスモール R N A 、または H I V R N A 配列を標的とすることができます少なくとも 1 つのスモール R N A を含んでいてもよい。別の実施形態では、少なくとも 1 つの遺伝子エレメントは、ケモカイン受容体 C C R 5 の産生を阻害することができるスモール R N A 、および H I V R N A 配列を標的とすることができます少なくとも 1 つのスモール R N A を含んでいてもよい。H I V R N A 配列は、H I V V i f 配列、H I V T a t 配列、またはそれらのバリエントを含んでいてもよい。少なくとも 1 つの遺伝子エレメントは、マイクロ R N A または s h R N A を含んでいてもよい。好ましい実施形態では、少なくとも 1 つの遺伝子エレメントは、マイクロ R N A クラスターを含む。

【 0 0 9 2 】

別の態様では、少なくとも 1 つの遺伝子エレメントは、

【 化 2 2 】

AGGTATATTGCTGTTGACAGTGAGCGACTGTAAACTGAGCTTGCTCTACTGTGAAG
CCACAGATGGGTAGAGCAAGCACAGTTACCGCTGCCTACTGCCTCGGACTTCAA
GGGGCTT (配列番号 1)

10

20

と少なくとも 8 0 %、少なくとも 8 1 %、少なくとも 8 2 %、少なくとも 8 3 %、少なくとも 8 4 %、少なくとも 8 5 %、少なくとも 8 6 %、少なくとも 8 7 %、少なくとも 8 8 %、少なくとも 8 9 %、少なくとも 9 0 %、少なくとも 9 1 %、少なくとも 9 2 %、少なくとも 9 3 %、少なくとも 9 4 %、少なくとも 9 5 %、またはそれよりも高い同一性パーセントを有するマイクロ R N A を含む。好ましい実施形態では、少なくとも 1 つの遺伝子エレメントは、

30

【 化 2 3 】

AGGTATATTGCTGTTGACAGTGAGCGACTGTAAACTGAGCTTGCTCTACTGTGAAG
CCACAGATGGGTAGAGCAAGCACAGTTACCGCTGCCTACTGCCTCGGACTTCAA
GGGGCTT (配列番号 1)

を含む。

【 0 0 9 3 】

別の態様では、少なくとも 1 つの遺伝子エレメントは、

【 化 2 4 】

CATCTCCATGGCTGTACCACCTTGTGGGGATGTGTACTTCTGAACITGTGTTGA
ATCTCATGGAGTTAGAAGAACACATCCGCACTGACATTGGTATCTTCATCTG
ACCA (配列番号 2)

40

と少なくとも 8 0 %、もしくは少なくとも 8 5 %、もしくは少なくとも 9 0 %、もしくは少なくとも 9 5 % の同一性パーセントを有するか、または

50

【化 2 5】

GGGCCTGGCTCGAGCAGGGGGCGAGGGATTCCGTTCTCCTGCCATAGCGTGG
 TCCCCTCCCCATGGCAGGCAGAACAGCGGCACCTTCCCTCCCAATGACCGCGTCTTC
 GTCG (配列番号 3)

と少なくとも 8 0 %、少なくとも 8 1 %、少なくとも 8 2 %、少なくとも 8 3 %、少なくとも 8 4 %、少なくとも 8 5 %、少なくとも 8 6 %、少なくとも 8 7 %、少なくとも 8 8 %、少なくとも 8 9 %、少なくとも 9 0 %、少なくとも 9 1 %、少なくとも 9 2 %、少なくとも 9 3 %、少なくとも 9 4 %、少なくとも 9 5 %もしくはそれよりも高い同一性パーセントを有するマイクロ RNA を含む。好ましい実施形態では、少なくとも 1 つの遺伝子エレメントは、10

【化 2 6】

CATCTCCATGGCTGTACCACCTTGTGGGGATGTGTACTTCTGAACTTGTGTTGA
 ATCTCATGGAGTTCAGAAGAACACATCCGCACTGACATTGGTATCTTCATCTG
 ACCA (配列番号 2); または

GGGCCTGGCTCGAGCAGGGGGCGAGGGATTCCGTTCTC
 CTGCCATAGCGTGGTCCCCCTCCCTATGGCAGGCAGAACAGCGGCACCTTCCCTCCCA
 ATGACCGCGTCTCGTCG (配列番号 3)20

を含む。

【 0 0 9 4 】

別の態様では、マイクロ RNA クラスターは、

【化 2 7】

AGGTATATTGCTGTTGACAGTGAGCGACTGTAAACTGAGCTTGCTCTACTGTGAAG
 CCACAGATGGGTAGAGCAAGCACAGTTACCGCTGCCTACTGCCTCGGACTTCAA
 GGGGCTTCCCAGGCATCTCCATGGCTGTACCACCTTGTGGGGATGTGTACTTCT
 GAACTTGTGTTGAATCTCATGGAGTTAGAACACATCCGCACTGACATTGG
 TATCTTCATCTGACCAGCTAGCGGGCCTGGCTCGAGCAGGGGGCGAGGGATTCC
 GCTTCTCCTGCCATAGCGTGGTCCCCCTCCCTATGGCAGGCAGAACAGCGGCACCTT
 CCCTCCCAATGACCGCGTCTCGTC (配列番号 31)30

と少なくとも 8 0 %、少なくとも 8 1 %、少なくとも 8 2 %、少なくとも 8 3 %、少なくとも 8 4 %、少なくとも 8 5 %、少なくとも 8 6 %、少なくとも 8 7 %、少なくとも 8 8 %、少なくとも 8 9 %、少なくとも 9 0 %、少なくとも 9 1 %、少なくとも 9 2 %、少なくとも 9 3 %、少なくとも 9 4 %、少なくとも 9 5 %またはそれよりも高い同一性パーセントを有する配列を含む。好ましい実施形態では、マイクロ RNA クラスターは、40

【化 2 8】

AGGTATATTGCTGTTGACAGTGAGCGACTGTAAACTGAGCTTGCTCT
 ACTGTGAAGCCACAGATGGGTAGAGCAAGCACAGTTACCGCTGCCTACTGCCTC
 GGACTTCAAGGGGCTTCCCAGGCATCTCATGGCTGTACCACCTGTCGGGGATG
 TGTACTTCTGAACCTGTGTTGAATCTCATGGAGTTAGAAGAACACATCCGCACTG
 ACATTTGGTATCTTCATCTGACCAGCTAGCGGGCCTGGCTCGAGCAGGGGGCGA
 GGGATTCCGCTTCTCCTGCCATAGCGTGGTCCCCTCCCCTATGGCAGGCAGAAGC
 GGCACCTCCCTCCCAATGACCGCGTCTCGTC (配列番号 31)

10

を含む。

【0 0 9 5】

別の態様では、H I Vに感染した細胞を処置する方法が提供される。方法は、H I Vに感染した対象から単離された末梢血单核細胞（P B M C）を、治療有効量の刺激性作用剤と接触させるステップであって、接触がe x v i v oで実施されるステップ；e x v i v oにおいて、少なくとも1つの遺伝子エレメントをコードするウイルス送達システムを用いてP B M Cに形質導入するステップ；および形質導入されたP B M Cを、少なくとも1日間培養するステップを含む。形質導入されたP B M Cは、約1～約35日間培養されてもよい。方法は、形質導入されたP B M Cを対象に注入するステップをさらに含んでいてもよい。対象は、ヒトであってもよい。刺激性作用剤は、ペプチドまたはペプチドの混合物を含んでいてもよく、好ましい実施形態では、g a gペプチドを含む。刺激性作用剤は、ワクチンを含んでいてもよい。ワクチンは、H I Vワクチンであってもよく、好ましい実施形態では、H I Vワクチンは、M V A / H I V 6 2 Bワクチンまたはそのバリアントである。好ましい実施形態では、ウイルス送達システムは、レンチウイルス粒子を含む。一実施形態では、少なくとも1つの遺伝子エレメントは、ケモカイン受容体CCR5の産生を阻害することができるスモールR N A、またはH I V R N A配列を標的とすることができる少なくとも1つのスモールR N Aを含んでいてもよい。別の実施形態では、少なくとも1つの遺伝子エレメントは、ケモカイン受容体CCR5の産生を阻害することができるスモールR N A、およびH I V R N A配列を標的とすることができる少なくとも1つのスモールR N Aを含んでいてもよい。H I V R N A配列は、H I V V i f配列、H I V T a t配列、またはそれらのバリアントを含んでいてもよい。少なくとも1つの遺伝子エレメントは、マイクロR N Aまたはs h R N Aを含んでいてもよい。好ましい実施形態では、少なくとも1つの遺伝子エレメントは、マイクロR N Aクラスターを含む。

20

【0 0 9 6】

別の態様では、少なくとも1つの遺伝子エレメントは、

【化 2 9】

AGGTATATTGCTGTTGACAGTGAGCGACTGTAAACTGAGCTTGCTCTACTGTGAAG
 CCACAGATGGGTAGAGCAAGCACAGTTACCGCTGCCTACTGCCTCGGACTCAA
 GGGGCTT (配列番号 1)

30

と少なくとも80%、少なくとも81%、少なくとも82%、少なくとも83%、少なくとも84%、少なくとも85%、少なくとも86%、少なくとも87%、少なくとも88%、少なくとも89%、少なくとも90%、少なくとも91%、少なくとも92%、少なくとも93%、少なくとも94%、少なくとも95%またはそれよりも高い同一性パーセントを有するマイクロR N Aを含む。好ましい実施形態では、少なくとも1つの遺伝子エレメントは、

40

50

【化 3 0】

AGGTATATTGCTGTTGACAGTGAGCGACTGTAAACTGAGCTTGCTCTACTGTGAAG
 CCACAGATGGGTAGAGCAAGCACAGTTACCGCTGCCTACTGCCTCGGACTTCAA
 GGGGCTT (配列番号 1)

を含む。

【 0 0 9 7 】

別の態様では、少なくとも 1 つの遺伝子エレメントは、

【化 3 1】

CATCTCCATGGCTGTACCACCTTGTGGGGATGTGTACTTCTGAACTTGTGTTGA
 ATCTCATGGAGTTCAGAAGAACACATCCGCACTGACATTGGTATCTTCATCTG
 ACCA (配列番号 2)

10

と少なくとも 8 0 %、少なくとも 8 1 %、少なくとも 8 2 %、少なくとも 8 3 %、少なくとも 8 4 %、少なくとも 8 5 %、少なくとも 8 6 %、少なくとも 8 7 %、少なくとも 8 8 %、少なくとも 8 9 %、少なくとも 9 0 %、少なくとも 9 1 %、少なくとも 9 2 %、少なくとも 9 3 %、少なくとも 9 4 %、少なくとも 9 5 %、もしくはそれよりも高い同一性パーセントを有するか、または

20

【化 3 2】

GGGCCTGGCTCGAGCAGGGGGCGAGGGATTCCGCTTCTGCCATAGCGTGG
 TCCCCTCCCTATGGCAGGCAGAACAGCGGCACCTCCCTCCAATGACCGCGTCTTC
 GTCG (配列番号 3)

と少なくとも 8 0 %、少なくとも 8 1 %、少なくとも 8 2 %、少なくとも 8 3 %、少なくとも 8 4 %、少なくとも 8 5 %、少なくとも 8 6 %、少なくとも 8 7 %、少なくとも 8 8 %、少なくとも 8 9 %、少なくとも 9 0 %、少なくとも 9 1 %、少なくとも 9 2 %、少なくとも 9 3 %、少なくとも 9 4 %、少なくとも 9 5 %、もしくはそれよりも高い同一性パーセントを有するマイクロ RNA を含む。好ましい実施形態では、少なくとも 1 つの遺伝子エレメントは、

30

【化 3 3】

CATCTCCATGGCTGTACCACCTTGTGGGGATGTGTACTTCTGAACTTGTGTTGA
 ATCTCATGGAGTTCAGAAGAACACATCCGCACTGACATTGGTATCTTCATCTG
 ACCA (配列番号 2); または
 GGGCCTGGCTCGAGCAGGGGGCGAGGGATTCCGCTTCTTC
 CTGCCATAGCGTGGTCCCTCCCTATGGCAGGCAGAACAGCGGCACCTCCCTCCA
 ATGACCGCGTCTCGTCG (配列番号 3)

40

を含む。

【 0 0 9 8 】

別の態様では、マイクロ RNA クラスターは、

50

【化 3 4】

AGGTATATTGCTGTTGACAGTGAGCGACTGTAAACTGAGCTTGCTCTACTGTGAAG
 CCACAGATGGGTAGAGCAAGCACAGTTACCGCTGCCTACTGCCTCGGACTTCAA
 GGGGCTTCCCAGGGCATCTCCATGGCTGTACCACCTGTCGGGGATGTGTACTTCT
 GAACTTGTGTTGAATCTCATGGAGTTCAGAAGAACACATCCGCACTGACATTTGG
 TATCTTCATCTGACCAGCTAGCGGGCCTGGCTCGAGCAGGGCGAGGGATTCC
 GCTTCTCCTGCCATAGCGTGGTCCCCTCCCCTATGGCAGGCAGAACGGCACCTT
 CCCTCCCAATGACCGCGTCTCGTC (配列番号 31)

10

と少なくとも 8 0 %、少なくとも 8 1 %、少なくとも 8 2 %、少なくとも 8 3 %、少なくとも 8 4 %、少なくとも 8 5 %、少なくとも 8 6 %、少なくとも 8 7 %、少なくとも 8 8 %、少なくとも 8 9 %、少なくとも 9 0 %、少なくとも 9 1 %、少なくとも 9 2 %、少なくとも 9 3 %、少なくとも 9 4 %、少なくとも 9 5 %、またはそれよりも高い同一性パーセントを有する配列を含む。好ましい実施形態では、マイクロ RNA クラスターは、

【化 3 5】

AGGTATATTGCTGTTGACAGTGAGCGACTGTAAACTGAGCTTGCTCT
 ACTGTGAAGCCACAGATGGGTAGAGCAAGCACAGTTACCGCTGCCTACTGCCTC
 GGACTTCAAGGGCTTCCCAGGGCATCTCCATGGCTGTACCACCTGTCGGGGATG
 TGTACTTCTGAACCTGTGTTGAATCTCATGGAGTTCAGAAGAACACATCCGCACTG
 ACATTTGGTATCTTCATCTGACCAGCTAGCGGGCCTGGCTCGAGCAGGGCGA
 GGGATTCCGCTTCTCCTGCCATAGCGTGGTCCCCTCCCCTATGGCAGGCAGAAC
 GGCACCTCCCTCCAATGACCGCGTCTCGTC (配列番号 31)

20

を含む。

【 0 0 9 9 】

別の態様では、レンチウイルスベクターが開示される。レンチウイルスベクターは、少なくとも 1 つのコードされた遺伝子エレメントを含み、少なくとも 1 つのコードされた遺伝子エレメントは、ケモカイン受容体 CCR5 の產生を阻害することができるスモール RNA、または HIV RNA 配列を標的とすることができる少なくとも 1 つのスモール RNA を含む。別の態様では、少なくとも 1 つのコードされた遺伝子エレメントが、ケモカイン受容体 CCR5 の產生を阻害することができるスモール RNA、および HIV RNA 配列を標的とすることができる少なくとも 1 つのスモール RNA を含む、レンチウイルスベクターが開示される。HIV RNA 配列は、HIV Vif 配列、HIV Tat 配列、またはそれらの改变体を含んでいてもよい。少なくとも 1 つのコードされた遺伝子エレメントは、マイクロ RNA または shRNA を含んでいてもよい。少なくとも 1 つのコードされた遺伝子エレメントは、マイクロ RNA クラスターを含んでいてもよい。

30

【 0 1 0 0 】

別の態様では、少なくとも 1 つの遺伝子エレメントは、

【化 3 6】

AGGTATATTGCTGTTGACAGTGAGCGACTGTAAACTGAGCTTGCTCTACTGTGAAG
 CCACAGATGGGTAGAGCAAGCACAGTTACCGCTGCCTACTGCCTCGGACTTCAA
 GGGGCTT (配列番号 1)

40

と少なくとも 8 0 %、少なくとも 8 1 %、少なくとも 8 2 %、少なくとも 8 3 %、少なくとも 8 4 %、少なくとも 8 5 %、少なくとも 8 6 %、少なくとも 8 7 %、少なくとも 8 8

50

%、少なくとも 8 9 %、少なくとも 9 0 %、少なくとも 9 1 %、少なくとも 9 2 %、少なくとも 9 3 %、少なくとも 9 4 %、少なくとも 9 5 %、またはそれよりも高い同一性パーセントを有するマイクロ RNA を含む。好ましい実施形態では、少なくとも 1 つの遺伝子エレメントは、

【化 3 7】

```
AGGTATATTGCTGTTGACAGTGAGCGACTGTAAACTGAGCTTGCTCTACTGTGAAG
CCACAGATGGTAGAGCAAGCACAGTTACCGCTGCCTACTGCCTCGGACTTCAA
GGGGCTT ( 配列番号 1)
```

10

を含む。

【0 1 0 1】

別の態様では、少なくとも 1 つの遺伝子エレメントは、

【化 3 8】

```
CATCTCCATGGCTGTACCACCTTGTGGGGATGTGTACTTCTGAACTTGTGTTGA
ATCTCATGGAGTTCAGAAGAACACATCCGCACTGACATTGGTATCTTCATCTG
ACCA ( 配列番号 2)
```

と少なくとも 8 0 %、少なくとも 8 1 %、少なくとも 8 2 %、少なくとも 8 3 %、少なくとも 8 4 %、少なくとも 8 5 %、少なくとも 8 6 %、少なくとも 8 7 %、少なくとも 8 8 %、少なくとも 8 9 %、少なくとも 9 0 %、少なくとも 9 1 %、少なくとも 9 2 %、少なくとも 9 3 %、少なくとも 9 4 %、少なくとも 9 5 %、もしくはそれよりも高い同一性パーセントを有するか、または

20

【化 3 9】

```
GGGCCTGGCTCGAGCAGGGGGCGAGGGATTCCGCTTCTGCCATAGCGTGG
TCCCCTCCCTATGGCAGGCAGAACGCGCACCTCCCTCCAATGACCGCGTCTTC
GTCG ( 配列番号 3)
```

30

と少なくとも 8 0 %、少なくとも 8 1 %、少なくとも 8 2 %、少なくとも 8 3 %、少なくとも 8 4 %、少なくとも 8 5 %、少なくとも 8 6 %、少なくとも 8 7 %、少なくとも 8 8 %、少なくとも 8 9 %、少なくとも 9 0 %、少なくとも 9 1 %、少なくとも 9 2 %、少なくとも 9 3 %、少なくとも 9 4 %、少なくとも 9 5 %、もしくはそれよりも高い同一性パーセントを有するマイクロ RNA を含む。好ましい実施形態では、少なくとも 1 つの遺伝子エレメントは、

【化 4 0】

```
CATCTCCATGGCTGTACCACCTTGTGGGGATGTGTACTTCTGAACTTGTGTTGA
ATCTCATGGAGTTCAGAAGAACACATCCGCACTGACATTGGTATCTTCATCTG
ACCA ( 配列番号 2); または
```

40

```
GGGCCTGGCTCGAGCAGGGGGCGAGGGATTCCGCTTCTTC
CTGCCATAGCGTGGTCCCTCCCTATGGCAGGCAGAACGCGCACCTCCCTCCA
ATGACCGCGTCTCGTCG ( 配列番号 3)
```

を含む。

【0 1 0 2】

別の態様では、マイクロ RNA クラスターは、

50

【化41】

AGGTATATTGCTGTTGACAGTGAGCGACTGTAAACTGAGCTTGCCTACTGTGAAG
 CCACAGATGGTAGAGCAAGCACAGTTACCGCTGCCTACTGCCTCGGACTTCAA
 GGGGCTTCCCAGGCATCTCCATGGCTGTACCACCTGTCGGGGATGTGTACTTCT
 GAACTTGTGTTGAATCTCATGGAGITCAGAAGAACACATCCGCACTGACATTG
 TATCTTCATCTGACCAGCTAGCGGGCCTGGCTCGAGCAGGGCGAGGGATTCC
 GCTTCTCCTGCCATAGCGTGGTCCCCTCCCCTATGGCAGGCAGAACGGCACCTT
 CCCTCCCAATGACCGCGTCTCGTC (配列番号 31)

10

と少なくとも 8 0 %、少なくとも 8 1 %、少なくとも 8 2 %、少なくとも 8 3 %、少なくとも 8 4 %、少なくとも 8 5 %、少なくとも 8 6 %、少なくとも 8 7 %、少なくとも 8 8 %、少なくとも 8 9 %、少なくとも 9 0 %、少なくとも 9 1 %、少なくとも 9 2 %、少なくとも 9 3 %、少なくとも 9 4 %、少なくとも 9 5 %、またはそれよりも高い同一性パーセントを有する配列を含む。好ましい実施形態では、マイクロ RNA クラスターは、

【化42】

AGGTATATTGCTGTTGACAGTGAGCGACTGTAAACTGAGCTTGCCTCT
 ACTGTGAAGCCACAGATGGTAGAGCAAGCACAGTTACCGCTGCCTACTGCCTC
 GGACTTCAAGGGCTTCCCAGGCATCTCCATGGCTGTACCACCTGTCGGGGATG
 TGTACTTCTGAACTTGTGTTGAATCTCATGGAGITCAGAAGAACACATCCGCACTG
 ACATTTGGTATCTTCATCTGACCAGCTAGCGGGCCTGGCTCGAGCAGGGCGA
 GGGATTCCGCTTCTCCTGCCATAGCGTGGTCCCCTCCCCTATGGCAGGCAGAAC
 GGCACCTTCCCTCCAATGACCGCGTCTCGTC (配列番号 31)

20

を含む。

【0103】

別の態様では、レンチウイルス粒子を発現するためのレンチウイルスベクターシステムが開示される。システムは、本明細書に記載のようなレンチウイルスベクター；細胞への感染が最適化されているエンベロープタンパク質を発現するためのエンベローププラスミド；ならびに g a g 、 p o l 、および r e v 遺伝子を発現するための少なくとも 1 つのヘルパープラスミドを含み、レンチウイルスベクター、エンベローププラスミド、および少なくとも 1 つのヘルパープラスミドがパッケージング細胞株にトランスフェクトされると、パッケージング細胞株によってレンチウイルス粒子が産生され、レンチウイルス粒子は、ケモカイン受容体 C C R 5 の産生を阻害することができるかまたは H I V RNA 配列を標的とすることができる。

30

【0104】

別の態様では、細胞に感染することができるレンチウイルス粒子が開示される。レンチウイルス粒子は、細胞への感染が最適化されたエンベロープタンパク質、および本明細書に記載のようなレンチウイルスベクターを含む。エンベロープタンパク質は、 T 細胞への感染のために最適化されていてもよい。好ましい実施形態では、エンベロープタンパク質は、 C D 4 + T 細胞への感染のために最適化されている。

40

【0105】

別の態様では、改变細胞が開示される。改变細胞は、 C D 4 + T 細胞を含み、 C D 4 + T 細胞は、本明細書に記載のようなレンチウイルス粒子に感染している。好ましい実施形態では、 C D 4 + T 細胞は、 H I V 抗原もまた認識する。さらに好ましい実施形態では、 H I V 抗原は、 g a g 抗原を含む。さらに好ましい実施形態では、 C D 4 + T 細胞は、レンチウイルス粒子による感染後に、減少したレベルの C C R 5 を発現する。

50

【 0 1 0 6 】

別の態様では、治療処置レジメンのために対象を選択する方法が開示される。方法は、対象から白血球を取り出し、末梢血単核細胞（P B M C）を精製し、P B M Cに関連する少なくとも1つの因子に関連する第1の定量化可能な測定値を決定するステップ；ex vivoにおいて、P B M Cを、治療有効量の第2の刺激性作用剤と接触させ、P B M Cに関連する少なくとも1つの因子に関連する第2の測定値を決定するステップを含み、第2の定量化可能な測定値が、第1の定量化可能な測定値よりも高い場合、対象が、処置レジメンのために選択される。少なくとも1つの因子は、T細胞増殖またはI F N ガンマ産生であってもよい。

【 0 1 0 7 】

10

別の態様では、本明細書に記載されているH I Vに感染した細胞を処置することを含む方法のいずれかは、P B M Cから細胞の少なくとも1つのサブセットを枯渇させるステップをさらに含む。実施形態では、方法は、P B M Cから細胞の少なくとも1つのサブセットを枯渇させるステップを含み、細胞の少なくとも1つのサブセットは、C D 8 + T細胞、細胞、N K 細胞、B細胞、好中球、好塩基球、好酸球、調節性T細胞、N K T 細胞、および赤血球の任意の1つまたは複数を含む。実施形態では、枯渇させるステップは、白血球を取り出した後に行われる。実施形態では、枯渇させるステップは、白血球を取り出すのと同時に行われる。

【 0 1 0 8 】

20

他の態様では、本明細書に記載されている対象のH I Vを処置することを含む方法のいずれかは、P B M Cから細胞の少なくとも1つのサブセットを枯渇させるステップをさらに含む。実施形態では、方法は、P B M Cから細胞の少なくとも1つのサブセットを枯渇させるステップを含み、細胞の少なくとも1つのサブセットは、C D 8 + T細胞、細胞、N K 細胞、B細胞、好中球、好塩基球、好酸球、調節性T細胞、N K T 細胞、および赤血球の任意の1つまたは複数を含む。実施形態では、枯渇させるステップは、白血球を取り出した後に行われる。実施形態では、枯渇させるステップは、白血球を取り出すのと同時に行われる。

【 0 1 0 9 】

30

別の態様では、本明細書に記載されている処置レジメンのために対象を選択することを含む方法のいずれかは、P B M Cから細胞の少なくとも1つのサブセットを枯渇させるステップをさらに含む。実施形態では、方法は、P B M Cから細胞の少なくとも1つのサブセットを枯渇させるステップを含み、細胞の少なくとも1つのサブセットは、C D 8 + T細胞、細胞、N K 細胞、B細胞、好中球、好塩基球、好酸球、調節性T細胞、N K T 細胞、および赤血球の任意の1つまたは複数を含む。実施形態では、枯渇させるステップは、白血球を取り出した後に行われる。実施形態では、枯渇させるステップは、白血球を取り出すのと同時に行われる。

【 0 1 1 0 】

40

別の態様では、本明細書に記載されている方法のいずれかは、P B M Cから免疫細胞の少なくとも1つのサブセットを枯渇させるステップをさらに含み、細胞の少なくとも1つのサブセットは、C D 8 + T細胞、細胞、N K 細胞、B細胞、好中球、好塩基球、好酸球、調節性T細胞、N K T 細胞、および赤血球の任意の1つまたは複数を含む。実施形態では、P B M Cから枯渇される細胞は、C D 8 + T細胞である。実施形態では、P B M Cから枯渇される細胞は、N K 細胞である。実施形態では、P B M Cから枯渇される細胞は、B細胞である。実施形態では、P B M Cから枯渇される細胞は、調節性T細胞である。実施形態では、P B M Cから枯渇される細胞は、N K T 細胞である。実施形態では、P B M Cから枯渇される細胞は、赤血球である。実施形態では、P B M Cから枯渇される細胞は、C D 8 + T細胞および細胞である。実施形態では、P B M Cから枯渇される細胞は、C D 8 + T細胞、細胞、およびN K 細胞である。実施形態では、P B M Cから枯渇される細胞は、C D 8 + T細胞、細胞、およびB細胞である。実施形態では、P B

50

M C から枯渇される細胞は、 C D 8 + T 細胞、 細胞、 N K 細胞、 B 細胞、 および調節性 T 細胞である。実施形態では、 P B M C から枯渇される細胞は、 C D 8 + T 細胞、

細胞、N K 細胞、B 細胞、調節性 T 細胞、および N K T 細胞である。実施形態では、P B M C から枯渇される細胞は、C D 8 + T 細胞、細胞、N K 細胞、B 細胞、調節性 T 細胞、N K T 細胞、および赤血球である。実施形態では、P B M C から枯渇される細胞は、細胞および N K 細胞である。実施形態では、P B M C から枯渇される細胞は、

細胞、NK細胞、およびB細胞である。実施形態では、PBM Cから枯渇される細胞は、細胞、NK細胞、B細胞、および調節性T細胞である。実施形態では、PBM Cから枯渇される細胞は、細胞、NK細胞、B細胞、調節性T細胞、およびNKT細胞である。実施形態では、PBM Cから枯渇される細胞は、細胞、NK細胞、B細胞、

調節性T細胞、NKT細胞、および赤血球である。実施形態では、PBMCから枯渇される細胞は、NK細胞およびB細胞である。実施形態では、PBMCから枯渇される細胞は、NK細胞、B細胞、および調節性T細胞である。実施形態では、PBMCから枯渇される細胞は、NK細胞、B細胞、調節性T細胞、およびNKT細胞である。実施形態では、

と細胞は、T 細胞、B 細胞、前臍性 T 細胞、および NK T 細胞である。実施形態では、P B M C から枯渇される細胞は、N K 細胞、B 細胞、調節性 T 細胞、N K T 細胞、および赤血球である。実施形態では、P B M C から枯渇される細胞は、B 細胞および調節性 T 細胞である。実施形態では、P B M C から枯渇される細胞は、B 細胞、調節性 T 細胞、および N K T 細胞である。実施形態では、P B M C から枯渇される細胞は、B 細胞、調節性 T

細胞である。実施形態では、T L M から枯渇される細胞は、B 細胞、調節性 T 細胞、N K T 細胞、および赤血球である。実施形態では、P B M C から枯渇される細胞は、調節性 T 細胞および N K T 細胞である。実施形態では、P B M C から枯渇される細胞は、調節性 T 細胞、N K T 細胞、および赤血球である。実施形態では、P B M C から枯渇される細胞は、N K T 細胞および赤血球である。実施形態では、P B M C から枯渇される細

実施形態では、P B M C から枯渇される細胞は、C D 8 + T 細胞、N K 細胞、B 細胞である。実施形態では、P B M C から枯渇される細胞は、C D 8 + T 細胞、N K 細胞、およびB 細胞である。実施形態では、P B M C から枯渇される細胞は、C D 8 + T 細胞、N K 細胞、B 細胞、および調節性T 細胞である。実施形態では、P B M C から枯渇される細胞は、C D 8 + T 細胞、N K 細胞、B 細胞である。

。実施形態では、P B M C から枯渇される細胞は、C D 8 + T 細胞、N K 細胞、B 細胞、調節性 T 細胞、および N K T 細胞である。実施形態では、P B M C から枯渇される細胞は、C D 8 + T 細胞、N K 細胞、B 細胞、調節性 T 細胞、N K T 細胞、および赤血球である。実施形態では、P B M C から枯渇される細胞は、T 細胞、および B 細胞である。実施形態では、P B M C から枯渇される細胞は、T 細胞、および調節性 T 細胞である。実

患では、PBM Cから枯渇される細胞は、 、B細胞、および調節性T細胞である。実施形態では、PBM Cから枯渇される細胞は、 、B細胞、調節性T細胞、およびNK T細胞である。実施形態では、PBM Cから枯渇される細胞は、 、B細胞、調節性T細胞、NK T細胞、および赤血球である。実施形態では、PBM Cから枯渇される細胞は 、NKT細胞および規制性細胞である。実施形態では、PBM Cから枯渇される細胞は 、

、NK細胞および調節性T細胞である。実施形態では、PBM Cから枯渇される細胞は、NK細胞、調節性T細胞、およびNKT細胞である。実施形態では、PBM Cから枯渇される細胞は、NK細胞、調節性T細胞、NKT細胞、および赤血球である。実施形態では、PBM Cから枯渇される細胞は、B細胞およびNKT細胞である。実施形態では、PBM Cから枯渇される細胞は、NK細胞、調節性T細胞、NKT細胞、および赤血球である。実施形態では、

M C から枯渴される細胞は、 B 細胞、 N K T 細胞、 および赤血球である。実施形態では、 P B M C から枯渴される細胞は、 調節性 T 細胞 および赤血球である。実施形態では、 本明細書に記載のように、 P B M C から枯渴される細胞は、 好中球、 好塩基球、 および好酸球のいずれか 1 つまたはそれらの任意の組合せを含む。

(0 1 1 1)

別の態様では、CD8+T細胞は、CD4+T細胞増殖を改善するために、細胞増殖の開始時に枯渇される。実施形態では、細胞枯渇は、細胞が機械的ストレスによりよく耐えることができる、ペプチド刺激の後かつレンチウイルス形質導入の前に実施される。実施形態では、CD8+T細胞枯渇の後、細胞は、およそ24時間にわたって培養培地中に置かれる。実施形態では、CD8+細胞枯渇の後、細胞は、24時間未満、例えば、20時間未満、16時間未満、8時間未満、または4時間未満にわたって培養物中に置かれる。実施形態では、CD8+T細胞枯渇の後、細胞は、24時間よりも長い時間、例えば、30時間よりも長い時間、36時間よりも長い時間、42時間よりも長い時間、また

10

20

30

40

は 48 時間よりも長い時間にわたって培養物中に置かれる。実施形態では、培養培地は、IL-7 を含む。実施形態では、培養培地は、IL-15 を含む。実施形態では、培養培地は、IL-7 および IL-15 を含む。実施形態では、細胞枯渇は、ペプチド刺激の前に実施される。実施形態では、gag タンパク質が、ペプチド刺激を引き起こすために使用される。実施形態では、HIV ワクチンが、ペプチド刺激を引き起こすために使用される。実施形態では、ワクチンは、ペプチド刺激を引き起こすために使用される MVA / HIV 62B ワクチンである。実施形態では、CD8+ T 細胞は、PE 抗ヒト CD8 抗体および抗 PE マイクロビーズを用いて枯渇される。実施形態では、CD8 抗体は、抗ラット抗体である。実施形態では、CD8 抗体は、抗マウス抗体である。実施形態では、CD8 抗体は、抗ウサギ抗体である。実施形態では、CD8 抗体は、抗ヤギ抗体である。実施形態では、細胞枯渇およびペプチド刺激の後、細胞が形質導入される。実施形態では、細胞は、レンチウイルスを用いて形質導入される。実施形態では、レンチウイルスは、GFP を有する。実施形態では、レンチウイルスは、RFP を有する。実施形態では、レンチウイルスは、EGFP を有する。実施形態では、細胞は、形質導入後培養物中に置かれる。実施形態では、培養培地は、IL-7 を含む。実施形態では、培養培地は、IL-15 を含む。実施形態では、培養培地は、IL-7 および IL-15 を含む。実施形態では、細胞は、CD4+ T 細胞増殖を可能にするためにおよそ 2 日間にわたって培養される。実施形態では、細胞は、CD4+ T 細胞増殖を可能にするためにおよそ 3 日間にわたって培養される。実施形態では、細胞は、2 日間未満、例えば、42 時間未満、36 時間未満、30 時間未満、24 時間未満、18 時間未満、12 時間未満、または 6 時間未満にわたって培養される。実施形態では、細胞は、3 日間よりも長い時間、例えば、4 日間よりも長い時間、5 日間よりも長い時間、6 日間よりも長い時間、7 日間よりも長い時間、8 日間よりも長い時間、9 日間よりも長い時間、または 10 日間よりも長い時間にわたって培養される。実施形態では、細胞は、2 日間から 3 日間の間、例えば、およそ 30 時間、およそ 36 時間、またはおよそ 42 時間培養される。

【 0112 】

別の態様では、CD8+、
、NK、または B 細胞が、CD4+ T 細胞増殖を改善するために枯渇される。実施形態では、CD8+、
、NK、および B 細胞の任意の 2 つまたはそれよりも多くが、CD4+ T 細胞増殖を改善するために枯渇される。実施形態では、CD8+、
、NK、B、調節性 T、NKT、または赤血球細胞が、CD4+ T 細胞増殖を改善するために枯渇される。実施形態では、CD8+、
、NK、B、調節性 T、NKT、および赤血球細胞の任意の 2 つまたはそれよりも多くが、CD4+ T 細胞増殖を改善するために枯渇される。実施形態では、細胞枯渇は、ペプチド刺激の後かつレンチウイルス形質導入の前に実施される。実施形態では、細胞枯渇の後、細胞は、約 24 時間にわたって培養培地中に置かれる。実施形態では、細胞枯渇の後、細胞は、24 時間未満、例えば、20 時間未満、16 時間未満、8 時間未満、または 4 時間未満にわたって培養物中に置かれる。実施形態では、CD8+ T 細胞枯渇の後、細胞は、24 時間よりも長い時間、例えば、30 時間よりも長い時間、36 時間よりも長い時間、42 時間よりも長い時間、または 48 時間よりも長い時間にわたって培養物中に置かれる。実施形態では、培養培地は、IL-7 を含む。実施形態では、培養培地は、IL-15 を含む。実施形態では、培養培地は、IL-7 および IL-15 を含む。実施形態では、細胞枯渇は、ペプチド刺激の前に実施される。実施形態では、gag タンパク質が、ペプチド刺激を引き起こすために使用される。実施形態では、HIV ワクチンが、ペプチド刺激を引き起こすために使用される。実施形態では、MVA / HIV 62B ワクチンが、ペプチド刺激を引き起こすために使用される。実施形態では、CD8+ T、
、NK、および/
または B 細胞は、PE 標識された特異的抗体および抗 PE マイクロビーズを用いて枯渇される。実施形態では、使用される抗体は、抗ヒト抗体である。実施形態では、使用される抗体は、抗ラット抗体であった。実施形態では、使用される抗体は、抗マウス抗体である。実施形態では、細胞枯渇およびペプチド刺激の後、細胞が形質導入される。実施形態では、細胞は、レンチウイルスを用

10

20

30

40

50

いて形質導入される。実施形態では、レンチウイルスは、GFPを有する。実施形態では、レンチウイルスは、RFPを有する。実施形態では、レンチウイルスは、EGFPを有する。実施形態では、細胞は、形質導入後培養物中に置かれる。実施形態では、培養培地は、IL-7を含む。実施形態では、培養培地は、IL-15を含む。実施形態では、細胞は、CD4+T細胞増殖を可能にするためにおよそ2日間にわたって培養される。実施形態では、細胞は、CD4+T細胞増殖を可能にするために約3日間にわたって培養される。実施形態では、細胞は、2日間未満、例えば、42時間未満、36時間未満、30時間未満、24時間未満、18時間未満、12時間未満、または6時間未満にわたって培養される。実施形態では、細胞は、3日間よりも長い時間、例えば、4日間よりも長い時間、5日間よりも長い時間、6日間よりも長い時間、7日間よりも長い時間、8日間よりも長い時間、9日間よりも長い時間、または10日間よりも長い時間にわたって培養される。実施形態では、細胞は、2日間から3日間の間、例えば、約30時間、約36時間、または約42時間培養される。

【0113】

別の態様では、レンチウイルスは、形質導入効率を測定するために使用されるGFPを含む。実施形態では、レンチウイルスは、RFPを含む。実施形態では、レンチウイルスは、EGFPを有している。実施形態では、サイトカイン捕捉システムが、GFP陽性細胞を用いて抗原特異的CD4+T細胞を識別するために使用される。実施形態では、GFPが、形質導入された細胞サブセットを識別するために使用される。実施形態では、RFPが、形質導入された細胞サブセットを識別するために使用される。実施形態では、EGFPが、形質導入された細胞サブセットを識別するために使用される。実施形態では、本明細書に記載されている形質導入法のいずれかが、形質導入効率を測定するために使用され得る。実施形態では、レンチウイルス形質導入の前に、本明細書に記載されている枯渴法のいずれかが、CD8+T、NK、B、好中球、好塩基球、好酸球、調節性T、NKT、および赤血球細胞の任意の1つまたは複数を枯渴させるために使用され得る。

【0114】

他の態様では、形質導入効率は、qPCRによってベクターコピー数（VCN）を検出することによって測定される。実施形態では、最終細胞産物中のVCNに基づく形質導入された細胞のパーセンテージは、形質導入された細胞とVCNとの関係を確立することによって推定できる。実施形態では、GFPを有するレンチウイルスが、形質導入された細胞のパーセンテージを決定するために使用される。実施形態では、RFPを有するレンチウイルスが、形質導入された細胞のパーセンテージを決定するために使用される。実施形態では、EGFPを有するレンチウイルスが、形質導入された細胞のパーセンテージを決定するために使用される。実施形態では、本明細書に記載されている形質導入法のいずれかが、形質導入効率を測定するために使用され得る。実施形態では、レンチウイルス形質導入の前に、本明細書に記載されている枯渴法のいずれかが、CD8+T、NK、B細胞の任意の1つまたは複数を枯渴させるために使用され得る。

【0115】

ヒト免疫不全ウイルス（HIV）

一般に「HIV」とも呼ばれるヒト免疫不全ウイルスは、ヒトにおいて後天性免疫不全症候群（AIDS）を引き起こすレトロウイルスである。AIDSは、免疫システムの進行性の不全により、生命を脅かす日和見感染症およびがんが猛威を振るう状態である。処置なくしては、HIV感染後の平均生存期間は、HIVサブタイプに依存して9~11年と推測される。HIV感染は、血液、精液、膿液、前射精液、唾液、涙液、リンパ液もしくは脳脊髄液、または母乳を含むがそれらに限定されない体液の移入によって起きる。HIVは、感染した個体内に、遊離ウイルス粒子および感染した免疫細胞内の両方として、存在し得る。

【0116】

HIVは、ヘルパーT細胞のようなヒト免疫システムの生体細胞に感染するが、指向性

10

20

30

40

50

はHIVサブタイプ内で様々である可能性がある。HIV感染に特異的に感受性であり得る免疫細胞には、CD4+ T細胞、マクロファージ、および樹状細胞が含まれるが、これらに限定されない。HIV感染は、未感染バイスタンダー細胞のアポトーシス、感染細胞の直接的なウイルス死滅、および感染細胞を認識するCD8細胞傷害性リンパ球による感染CD4+ T細胞の死滅を含むが、これに限定されない数多くのメカニズムにより、CD4+ T細胞のレベルの低下をもたらす。CD4+ T細胞数が臨界レベル以下に低下すると、細胞性免疫が失われ、身体が日和見感染症およびがんに、進行性で、より感受性となる。

【0117】

構造的に、HIVは他の多くのレトロウイルスとは異なる。RNAゲノムは、19個のタンパク質をコードする、少なくとも7つの構造的ランドマーク（LTR、TAR、RRR、PE、SLIP、CRS、およびINS）および少なくとも9つの遺伝子（gag、pol、env、tat、rev、nef、vif、vpr、vpu、時にはtat、env、およびrevの融合物である10番目のtev）からなる。これらの遺伝子の3つのgag、pol、およびenvには、新しいウイルス粒子の構造タンパク質を作るために必要な情報が含まれている。

10

【0118】

HIVは主にCD4 T細胞において複製し、宿主免疫を低下させる細胞破壊または調節不全を引き起こす。HIVは、組み込まれたプロウイルスとして感染を確立し、特定の細胞におけるウイルス発現が、その細胞に影響を及ぼす細胞病理のレベルまたは宿主免疫システムによる検出のレベル未満にまで低下する、潜伏感染状態に移行する可能性があるため、HIVは処置が困難であり、長期間の高活性抗レトロウイルス療法（HAART）の後でさえも根絶されていない。生存期間はHAARTによって延長される場合があるが、ほとんどの場合、HIV感染は致命的な疾患を引き起こす。

20

【0119】

HIVとの戦いにおける主な目標は、疾患を治癒するための戦略を開発することである。延長されたHAARTはこの目標の達成には至っていないので、研究者は代替手順に目を向けていている。（感染が起きた後にワクチンを使用する）療法的免疫化によって宿主免疫を改善するための初期の努力は、わずかな程度であるかまたはインパクトがなかった。同様に、処置の強化は中程度のインパクトであるかまたはインパクトがなかった。

30

【0120】

遺伝子治療を用いることで、いくらかの進歩がみられたが、ポジティブな結果は孤発性であり、宿主細胞へのウイルスの侵入に重要な役割を果たすCCR5（ケモカイン受容体）をコードする遺伝子の一方または両方の対立遺伝子に欠損を有するまれなヒトの間でのみ見出された。しかしながら、多くの研究者は、遺伝子治療が最終的にHIV治癒を達成するための最高の将来性を持っていると楽観的である。

【0121】

本明細書に開示されるように、本発明の方法および組成物は、身体からのすべてのHIVの完全な根絶を含んでも含まなくてもよい機能的治癒を達成することができる。上記で言及されているように、機能的治癒は、以前にHAARTを必要としていたHIV+個体が、低いもしくは検出不可能なウイルス複製とともに生存し、より低いもしくは断続的な用量のHAARTを使用しているか、または潜在的にHAARTを完全に中止することができる、状況または状態として定義される。本明細書で使用されるように、機能的治癒は、低レベルのウイルス複製を維持し、疾患の進行を遅らせるかまたは排除するために、補助療法を必要とする可能性がなお、あるかもしれない。機能的治癒の可能な結果は、再発のすべての可能性を防ぐためのHIVの最終的な根絶である。

40

【0122】

機能的治癒を達成するための主な障害は、HIV自体の基本的な生物学にある。ウイルス感染は、ほぼすべての免疫機能にとって重要なCD4 T細胞を欠失させる。最も重要なことに、HIV感染およびCD4 T細胞の枯渇は、個々の細胞の活性化を必要とする

50

。活性化とは、再編成されたT細胞受容体を使用して病原体または他の分子を認識する個々のCD4 T細胞クローニングに特異的な機構である。

【0123】

HIVの場合、感染は、ウイルスにそれほど特異的でない他のT細胞の前に、HIVに特異的なT細胞の集団を活性化させ、結果的に枯渇させ、ウイルスに対する免疫システムの防御を効率的に無能化する。HIV特異的T細胞応答の能力は、長期間のHART中に再構築される；しかしながら、HARTが中断されると、反復性ウイルス感染はプロセスを反復し、再びウイルス特異的細胞を消失させ、疾患の進行の時計をリセットする。

【0124】

明らかに、機能的治癒は、HARTが中断されても、十分なHIV特異的CD4 T細胞が保護されて、宿主の自然免疫がHIVに対抗しHIVを制御することができる場合にのみ可能である。一実施形態では、本開示の態様は、事前の免疫化を必要とせずに機能的治癒を提供するために、HIVに対する宿主免疫を増強するための方法および組成物を提供する。

【0125】

遺伝子治療

ウイルスベクターは、疾患の療法または予防の目的ために宿主細胞に遺伝子構築物を送達するために使用される。

【0126】

遺伝子構築物は、機能的遺伝子または既存の欠陥を修正または補完する遺伝子の一部、調節タンパク質をコードするDNA配列、アンチセンス、短いホモロジーRNA、長い非コードRNA、低分子干渉RNAまたはその他を含む調節RNA分子をコードするDNA配列、および疾患状態を変化させるために重要な細胞因子について競合するように設計されたRNAまたはタンパク質のいずれかをコードするデコイ配列を含むことができるが、それらに限定されない。遺伝子治療は、特定の疾患の処置または緩和を提供するために、これらの療法用遺伝子構築物を標的細胞に送達することを含む。

【0127】

HIV疾患の処置において遺伝子治療を利用する努力は複数行われてきているが、これまでのところ、結果は貧弱である。CCR5遺伝子の自発的欠失（CCR5delta32として公知である対立遺伝子）を有するまれなHIV患者において、少数の処置成功が得られた。

【0128】

レンチウイルスにより送達されたヌクレアーゼまたは遺伝子欠失／修飾のための他の機構を使用して、CCR5の全体的発現を低下させ、および／またはHIV複製を低下させるのを助けることができる。レンチウイルスがCCR5delta32の遺伝的背景を有する患者に投与された場合にこの疾患の処置に成功したことを報じる研究が、少なくとも1つある。しかしながら、これは成功のわずか一例に過ぎず、CCR5delta32遺伝子型を持たない多くの他の患者はうまく処置されていない。その結果、個々のウイルスベクター構築物の性能および機能的HIV治癒を達成するための戦略によるベクターの使用の改善の両方の点で、HIVに対するウイルス遺伝子治療の性能を改善する実質的な必要性がある。

【0129】

例えば、いくつかの既存の療法は、細胞をHIV感染に対して耐性にする試みにおいて、ジンクフィンガヌクレアーゼに依存して、CCR5の一部を消失させる。しかしながら、最適な処置の後でさえも、T細胞の30%だけがヌクレアーゼによって変化されるのみであり、変化されたもののうち、全CD4 T細胞集団のわずか10%がHIV感染を予防するように変化されただけであった。対照的に、開示された方法は、レンチウイルス導入遺伝子を保有する実質的にすべての細胞で、HIV感染を可能にするのに必要なレベル未満までCCR5発現が減少する結果となる。これにより、初期CD4+ T細胞ブールの数を増加させるための事前の免疫化ステップなしであっても、HIVの処置の成功とい

10

20

30

40

50

う結果を得ることができる。

【 0 1 3 0 】

開示される方法の目的のために、遺伝子治療には、親和性が増強されたT細胞受容体、CD4 T細胞上の（または代替的にCD8 T細胞上の）キメラ抗原受容体、ウイルスタンパク質により引き起こされる細胞死を避けるためのシグナル伝達経路の改変、TREX、SAMHD1、MxAまたはMxBタンパク質、APOBEC複合体、TRIM5-アルファ複合体、テザリン（tetherin；BST2）、および哺乳動物細胞におけるHIV複製を減少させることができるものと識別された類似のタンパク質を含むHIV制限エレメントの発現の増加を含むことができるが、それらに限定されない。

【 0 1 3 1 】

免疫療法

歴史的に、ワクチンは、天然痘、ポリオ、麻疹、黄熱病を含む、致命的な感染性疾患に対する頼りになる武器であった。残念ながら、現在のところ、HIVについては承認されているワクチンはない。HIVウイルスは、免疫システムを回避する独特の手段を持っており、人体はそれに対して有効な免疫応答を実装することができないようである。その結果、科学者はHIVに対する保護を提供するために何が必要であるかを明確に把握していない。

【 0 1 3 2 】

しかしながら、免疫療法は、従来のワクチン接種アプローチによっては以前に対処できなかった解決法を提供し得る。生物学的療法とも呼ばれる免疫療法は、感染症またはがんと戦うための身体の自然防御を強化するために設計された処置の一型である。それは、免疫システムの機能を改善、標的化、または回復させるために、身体あるいは実験室のいずれかにおいて作られた材料を使用する。

【 0 1 3 3 】

本開示のある特定の態様では、宿主の抗HIV免疫を増加させる目的で、HIV特異的CD4 T細胞の集団を濃縮するために、免疫療法アプローチを使用することができる。開示された発明の他の態様では、宿主の抗HIV免疫を増加させる目的で、宿主の免疫細胞に形質導入するために、組み込みまたは非組み込みのレンチウイルスベクターを使用することができる。本開示の他の態様では、宿主の免疫応答を増加させるための適切なビヒクルおよび／または生物学的もしくは化学的アジュバントと組み合わせた、死滅粒子、ウイルス様粒子、HIVペプチドもしくはペプチド断片を含むがこれらに限定されないHIVタンパク質、組換えウイルスベクター、組換え細菌ベクター、精製サブユニットまたはプラスミドDNAを含むワクチンは、ウイルス特異的T細胞の集団または抗体を濃縮するために使用することができ、これらの方法は、レンチウイルスまたは他のウイルスベクターを使用したHIV標的遺伝子治療の使用によってさらに増強され得る。

【 0 1 3 4 】

方法

一態様では、本開示は、HIV疾患の機能的治癒を達成するためにウイルスベクターを使用する方法を提供する。この方法は、HIV特異的CD4 T細胞の割合を濃縮させるための免疫療法、続く、必要に応じてHIVならびにCCR5およびCXCR4の阻害剤を送達するためのレンチウイルス形質導入を含んでいてもよい。重要なことに、HIV特異的CD4 T細胞の濃縮およびレンチウイルス形質導入は、事前の免疫化ステップなしであっても有効であり得る。

【 0 1 3 5 】

実施形態では、方法は、HIV特異的CD4 T細胞の割合を濃縮させるための方法として療法的免疫化を含み、この免疫化は、対象への刺激された細胞の注入と同時にまたはその後に行われる。療法的免疫化には、精製タンパク質、不活化ウイルス、ウイルスベクター化タンパク質、細菌性ベクター化タンパク質、ペプチドまたはペプチド断片、ウイルス様粒子（VLP）、サイトカインおよび／またはケモカインを含む生物学的または化学的アジュバント、ビヒクル、ならびに免疫化のための方法が含まれ得る。

10

20

30

40

50

【0136】

療法用ワクチンは、処置が行われている地理的領域の支配的なウイルス型を表すタンパク質配列を有する1つまたは複数のHIVタンパク質を含むことができる。療法的ワクチンには、精製タンパク質、不活性ウイルス、ウイルスベクター化タンパク質、細菌性ベクター化タンパク質、ペプチドまたはペプチド断片、ウイルス様粒子（VLP）、サイトカインおよび／もしくはケモカインを含む生物学的または化学的アジュバント、ビヒクル、ならびに免疫化のための方法が含まれ得る。ワクチン接種は、当該分野で公知の標準的な方法に従って投与することができ、HIV患者は、免疫化の期間およびその後のレンチウイルス形質導入を含むex vivoリンパ球培養の間に抗レトロウイルス療法を続けることができる。

10

【0137】

ある特定の実施形態では、HIV+患者をHIVワクチンで免疫化して、HIV特異的CD4 T細胞の頻度を、約2、約25、約250、約500、約750、約1000、約1250、または約1500倍（またはこれらの値の間の任意の量）増加させることができる。ワクチンは、ワクチン送達システムとして使用される、開示されたレンチウイルス、他のウイルスベクターまたは他の細菌ベクターを含む、任意の臨床的に利用されるかまたは実験的なHIVワクチンであってもよい。別の実施形態では、ベクターは、中和抗体のより高い力価およびより強いHIV特異的T細胞応答を誘導するためにウイルス様粒子（VLP）をコードし得る。別の実施形態では、ベクターは、gag、pol、およびenv、tat、rev、nef、vif、vpr、vpu、およびtevならびにLTR、TAR、RRE、PE、SLIP、CRS、およびINSを含むがこれらに限定されないHIVに関連するペプチドまたはペプチド断片をコードし得る。代替的には、開示された方法で使用されるHIVワクチンは、精製タンパク質、不活性化ウイルス、ウイルスベクター化タンパク質、細菌性ベクター化タンパク質、ペプチドもしくはペプチド断片、ウイルス様粒子（VLP）、またはサイトカインおよび／もしくはケモカインを含む生物学的もしくは化学的アジュバントを含んでもよい。

20

【0138】

例えば、末梢血単核細胞（PBMC）は白血球アフェレーシスによって得られ、ex vivoで処理され、約 1×10^{10} 個のCD4 T細胞を得ることができ、その約0.1%、約1%、約5%、または約10%、または約30%は、抗原応答の点でHIV特異的であり、かつ開示されたレンチウイルスベクターによって送達される療法用導入遺伝子を有することによりHIV耐性である。代替的には、約 1×10^7 、約 1×10^8 、約 1×10^9 、約 1×10^{10} 、約 1×10^{11} 、または約 1×10^{12} 個のCD4 T細胞を再刺激のために単離することができる。重要なことに、ex vivoにおける再刺激のために、任意の適切な量のCD4 T細胞が単離され得る。

30

【0139】

単離されたCD4 T細胞は、以前の療法用ワクチン接種に存在する抗原を含んでも含まなくてよいHIVワクチン抗原による再刺激を通して、適切な培地内で培養することができる。逆転写酵素、プロテアーゼまたはインテグラーゼの阻害剤を含む抗レトロウイルス療法薬は、長期のex vivoでの培養中のウイルス再出現を防ぐために添加することができる。CD4 T細胞再刺激は、培養物中のHIV特異的CD4 T細胞の割合を濃縮するために使用され得る。同じ手順を、精製によって得られた末梢血単核細胞を有する少量の血液量を使用して、HIV特異的T細胞を識別し、この亜集団の頻度を測定する分析目的にもまた使用することができる。

40

【0140】

PBMC画分は、in vivo免疫化のために以前に使用されたワクチンの成分と一致または相補的なHIVタンパク質と細胞を接触させることによって、HIV特異的CD4 T細胞について濃縮され得る。ex vivo再刺激は、HIV特異的CD4 T細胞の相対頻度を約5、約10、約25、約50、約75、約100、約125、約150、約175、または約200倍増加させることができる。ex vivo再刺激は、事前の

50

免疫化ステップの有無にかかわらず、HIV特異的CD4 T細胞の相対頻度を増加させることができる。

【0141】

本明細書で詳述されている方法は、ex vivoでのレンチウイルス形質導入および培養を用いた、ex vivoでのCD4 T細胞の再刺激を含み得る。本明細書で詳述されている方法はまた、事前の免疫化ステップなしに、ex vivoでのレンチウイルス形質導入および培養を用いた、ex vivoでのCD4 T細胞の再刺激を含み得る。

【0142】

したがって、一実施形態では、HIV特異的CD4 T細胞について濃縮された再刺激されたPBM C画分は、療法用抗HIVレンチウイルスまたは他のベクターを用いて形質導入され、約1～約21日間または最大約35日間、培養物中に保持され得る。代替的には、細胞は、約1～約18日間、約1～約15日間、約1～約12日間、約1～約9日間、または約3～約7日間培養され得る。したがって、形質導入された細胞は、約1、約2、約3、約4、約5、約6、約7、約8、約9、約10、約11、約12、約13、約14、約15、約16、約17、約18、約19、約20、約21、約22、約23、約24、約25、約26、約27、約28、約29、約30、約31、約32、約33、約34、または約35日間、培養されてもよい。

10

【0143】

形質導入された細胞が十分に培養されると、形質導入されたCD4 T細胞が元の患者に注入し、戻される。注入は、当該技術分野において公知の様々な機械および方法を使用して実施することができる。一部の実施形態では、注入には、再移植の効率を高めるために、シクロホスファミドまたは同様の化合物での前処置が伴ってもよい。

20

【0144】

一部の実施形態では、CCR5標的療法は、処置プロセスを通して継続して、対象の抗レトロウイルス療法レジメンに加えられてもよい。CCR5標的療法の例としては、マラビロク(Maraviroc; CCR5アンタゴニスト)またはラパマイシン(Rapamycin; CCR5を低下させる免疫抑制剤)が挙げられるが、これらに限定されない。一部の実施形態では、抗レトロウイルス療法は中止され、対象はウイルスのリバウンドについて試験されることができる。リバウンドが起こらない場合、アジュvant療法もまた取り除くことができ、対象はウイルスのリバウンドについて再び試験されることがある。

30

【0145】

cARTまたはHAARTを含めた抗レトロウイルス療法を減少させたか、または伴わないものであって、約26週間のアジュvant療法を減少させたか、または伴わない継続的なウイルス抑制は、HIVの機能的治癒を考えることができる。機能的治癒の他の定義は、本明細書に記載されている。

【0146】

開示された方法で使用されるレンチウイルスペクターおよび他のベクターは、少なくとも1つ、少なくとも2つ、少なくとも3つ、少なくとも4つ、もしくは少なくとも5つの目的の遺伝子、または少なくとも6つの目的の遺伝子、または少なくとも7つの目的の遺伝子、または少なくとも8つの目的の遺伝子、または少なくとも9つの目的の遺伝子、または少なくとも10個の目的の遺伝子、または少なくとも11個の目的の遺伝子、または少なくとも12個の目的の遺伝子をコードし得る。HIV標的化遺伝子治療の多様性および治療可能性を考慮すると、本発明のウイルスペクターは、(i)感染性疾患に関連する抗原または感染性病原体により產生された毒素に対する抗体、(ii)免疫細胞の増殖または機能に必要で、HIVおよび他の慢性または急性のヒトウイルスまたは細菌病原体で遭遇する免疫調節不全のための療法であり得る、インターロイキンを含むサイトカイン、(iii)CD8抑制因子を含むin vivoにおいてHIVの増殖を抑制する因子、(iv)ケモカイン受容体CCR5の変異もしくは欠失、ケモカイン受容体CXCR4の変異もしくは欠失、またはケモカイン受容体CXCR5の変異もしくは欠失、(v)HIVに関連する特異的受容体もしくはペプチドまたはHIVに関連する宿主タンパク質に対

40

50

するアンチセンスDNAまたはRNA、(v i) HIVに関連する特異的受容体もしくはペプチドまたはHIVに関連する宿主タンパク質に対する低分子干渉RNA、または(v i i) HIVまたはAIDSを処置するために使用され得る様々な他の療法的に有用な配列を含むがそれらに限定されない遺伝子または核酸配列をコードしてもよい。

【0147】

開示された方法において使用することができるHIV標的化遺伝子治療のさらなる例は、親和性が増強されたT細胞受容体、CD4 T細胞上の（または代替的にはCD8 T細胞上の）キメラ抗原受容体、ウイルスタンパク質により引き起こされる細胞死を避けるためのシグナル伝達経路の改変、TREX、SAMHD1、MxAまたはMxBタンパク質、APOBEC複合体、TRIM5-アルファ複合体、テザリン(BST2)、および哺乳動物細胞におけるHIV複製を減少させることができるものと識別された類似のタンパク質を含むHIV制限エレメントの発現の増加を含むことができるが、それらに限定されない。

【0148】

一部の実施形態では、患者は、本発明の方法に従って処置されながら同時にcARTまたはHAARTを受けていてもよい。他の実施形態では、患者は、本発明の方法に従って処置される前または後に、cARTまたはHAARTを受けてもよい。一部の実施形態では、cARTまたはHAARTは、本発明の方法に従った処置を通して維持され、患者は血液中のHIVウイルス負荷についておよび血液中のレンチウイルス形質導入CD4 T細胞の頻度についてモニターされてもよい。好ましくは、本発明の方法に従って処置される前にcARTまたはHAARTを受けている患者は、本発明の方法に従った処置の後にcARTまたはHAARTを中止または減少することができる。

【0149】

有効性を評価する目的で、遺伝子治療効果についての新規の代用マーカーである形質導入されたHIV特異的CD4 T細胞の頻度を、本明細書により詳細に議論されているように決定してもよい。

【0150】

組成物

一態様では、開示された発明は、感受性細胞のHIV侵入を阻害するために遺伝子構築物を送達することができるレンチウイルスベクターを提供する。例えば、1つの作用メカニズムは、CCR5および/またはCXCR4ケモカイン受容体のmRNAレベルを減少させ、それにより感受性細胞へのウイルス進入の速度を減少させることである。

【0151】

代替的には、開示されるレンチウイルスベクターは、入ってくるHIVゲノムRNAの安定性を減少させることによって、HIV感染細胞の形成を阻害することができてもよい。さらに別の実施形態では、開示されたレンチウイルスベクターは、潜伏感染細胞からのHIV産生を防止することができ、その作用メカニズムは、短い相同性、低分子干渉性、または他の調節RNA種を含む阻害性RNAの作用により、ウイルスRNA配列の不安定性を引き起こすことである。

【0152】

本出願に開示される療法用レンチウイルスは、一般に、2つの型の遺伝子カーゴ(gene cargo)のうちの少なくとも1つを含む。第1に、レンチウイルスは、感受性細胞のHIV侵入にとって重要なケモカイン受容体CCR5および/またはCXCR4の産生を阻害することができるスマールRNAの発現を導く遺伝子エレメントをコードしてもよい。第2の型の遺伝子カーゴは、逆転写、RNAスプライシング、タンパク質を产生するRNA翻訳、または粒子産生および感染蔓延のためのウイルスゲノムRNAのパッケージングを防止する目的で、HIV RNA配列を標的とするスマールRNA分子を発現することができる構築物を含む。例示的な構造を図3に図示する。

【0153】

図3に示すように(上パネル)、例示的な構築物は、多数のセクションまたは構成要素

10

20

30

40

50

を含むことができる。例えば、一部の実施形態では、例示的なLV構築物は、以下のセクションまたは構成要素を含み得る：

- RSV - ラウス肉腫ウイルス (Rous Sarcoma virus) 末端反復配列；
- 5'LTR - 染色体組み込み後にベクターの複製を阻止するために切断され得る HIV 末端反復配列の一部；
- Psi - パッケージング中にベクターRNAゲノムをウイルス粒子に取り込むことを可能にするパッケージングシグナル；
- RRE - Rev反応性エレメントは、RNAを核から細胞の細胞質に移動することによって導入遺伝子からの発現を改善するために添加することができる；
- cPPT - 宿主細胞の染色体に導入遺伝子を組み込む前に、第2鎖DNA合成を促進するポリプリントラクト (poly purine tract)；
- プロモーター - プロモーターとは、マイクロRNAクラスター（または構築物の他の遺伝子エレメント）を発現するために、組み込まれた導入遺伝子からRNA転写を開始するものであり、一部の実施形態では、ベクターはEF-1プロモーターを使用してもよい；
- Anti-CCR5 - 宿主細胞因子CCR5のメッセンジャーRNAを標的として、細胞表面上の発現を減少させるマイクロRNA；
- Anti-Rev/Tat - HIV Revコーディング領域とTatコーディング領域の間の接合部にあるHIVゲノムRNAまたはメッセンジャーRNAを標的とするマイクロRNAであり、時にはmiRNA Tatと称されるか、またはこの出願において同様の記載が与えられる；
- Anti-Vif - Vifコーディング領域内のHIVゲノムRNAまたはメッセンジャーRNAを標的とするマイクロRNA；
- WPRE - ウッドチャック肝炎ウイルス転写後調節エレメント (woodchuck hepatitis virus post-transcriptional regulatory element) は、核のRNA輸送を促進するために使用することができる追加のベクター構成成分である；および
- deltaU3 3'LTR - ベクターの安全性を改善するためにU3領域の一部が欠失している、HIV 3'末端反復配列の改変バージョン。

【0154】

当業者は、上記成分が単なる例であり、そのような成分は、構築物がHIV遺伝子の発現を防止し、感染の拡散を減少させることができる限り、再編成し、他のエレメントで置換し、または限定されないがスクレオチドの置換、欠失、付加、もしくは突然変異を施すことを含む他の方法で変化させてもよいことを認識する。

【0155】

本発明のベクターは、上に議論した遺伝子カーゴの型（すなわち、遺伝子の発現を導く遺伝子エレメントまたは翻訳もしくは転写を阻止することができるsiRNA、shRNAもしくはmiRNAのようなスマートRNA）の一方または両方を含んでもよく、本発明のベクターはまた、HIVの処置または診断の目的のためにさらなる有用な産物をコードしてもよい。例えば、一部の実施形態では、これらのベクターはまた、in vivoで遺伝子改変細胞を選択的に維持する目的で、ベクターまたは抗生物質耐性遺伝子を追跡する目的で、緑色蛍光タンパク質 (GFP) をコードしてもよい。

【0156】

開示されるベクターに組み込まれる遺伝子エレメントの組合せは、特に限定されない。例えば、ベクターは、1個のスマートRNA、2個のスマートRNA、3個のスマートRNA、4個のスマートRNA、5個のスマートRNA、6個のスマートRNA、7個のスマートRNA、8個のスマートRNA、9個のスマートRNA、または10個のスマートRNA、または11個のスマートRNA、または12個のスマートRNAをコードしてもよい。そのようなベクターは、HIVの発現および感染を阻止するために、スマートRNAと協調して機能する他の遺伝子エレメントを、さらにコードしてもよい。

【0157】

10

20

30

40

50

当業者は、療法用レンチウイルスが、プロモーター領域、調節RNAの標的化、および調節RNAの型の代わりに代替配列を使用し得ることを理解する。さらに、本開示の療法用レンチウイルスは、レンチウイルス粒子をパッケージングするために使用されるプラスミド中に変化を含んでもよい；これらの変化は、in vitroにおける產生のレベルを増加させるために必要となる。

【0158】

レンチウイルスベクターシステム

レンチウイルスピリオン（粒子）は、ビリオン（ウイルス粒子）の產生に必要なウイルスタンパク質をコードするベクターシステムによって発現される。逆転写および組み込みのために必要であり、プロモーターに作動可能に連結されている、レンチウイルスpolタンパク質をコードする核酸配列を含む少なくとも1つのベクターが存在する。別の実施形態では、polタンパク質は、複数のベクターによって発現される。ウイルスカプシドを形成するために必要なレンチウイルスgagタンパク質をコードし、プロモーターに作動可能に連結した核酸配列を含むベクターもまた存在する。ある実施形態では、このgag核酸配列は、pol核酸配列の少なくともいくつかとは異なるベクターに存在する。別の実施形態では、gag核酸は、polタンパク質をコードするpol核酸配列すべてと異なるベクターに存在する。

【0159】

ベクターには、多数の改変を施すことができる。そうした改変は、野生型復帰変異体を得る可能性がさらに最小限に抑えられた粒子を創造するために使用される。これらには、LTRのU3領域の欠失、tat欠失、およびマトリクス(MA)欠失が含まれるが、これらに限定されない。

【0160】

gag、pol、およびenvベクターは、レンチウイルスパッケージング配列と呼ばれる、レンチウイルスRNAをパッケージングするレンチウイルスゲノム由来ヌクレオチドを含んでいない。

【0161】

粒子を形成するベクターは、好ましくは、エンベロープタンパク質を発現するレンチウイルスゲノム由来核酸配列を含んでいない。好ましくは、プロモーターに作動可能に連結したエンベロープタンパク質をコードする核酸配列を含む別のベクターが使用される。このenvベクターも、レンチウイルスパッケージング配列を含んでいない。一実施形態では、env核酸配列は、レンチウイルスエンベロープタンパク質をコードする。

【0162】

別の実施形態では、エンベロープタンパク質は、レンチウイルスではなく、異なるウイルスに由来する。その結果生じる粒子は、偽型粒子と呼ばれる。エンベロープを適切に選択することにより、事実上あらゆる細胞に「感染」させることができる。例えば、インフルエンザウイルス、HSV-G、アルファウイルス（セムリキ森林熱ウイルス、シンドビスウイルス）、アレナウイルス（リンパ球脈絡髄膜炎ウイルス）、フラビウイルス（ダニ媒介性脳炎ウイルス、デング熱ウイルス、C型肝炎ウイルス、GBウイルス）、ラブドウイルス（水疱性口内炎ウイルス、狂犬病ウイルス）、パラミクソウイルス（流行性耳下腺炎または麻疹）、およびオルトミクソウイルス（インフルエンザウイルス）のものなどの、エンドサイトーシス性区画(endocytic compartment)を標的とするエンベロープタンパク質をコードするenv遺伝子を使用することができる。好ましく使用することができる他のエンベロープには、MLV-E、MLV-A、およびGALVなどの、モロニー白血病ウイルスに由来するものが含まれる。これら後者のエンベロープは、宿主細胞が初代細胞である場合、特に好ましい。所望の宿主細胞に応じて、他のエンベロープタンパク質を選択してもよい。例えば、脳送達には、ドーパミン受容体などの標的化特異的受容体を使用することができる。別の標的は、血管内皮であってもよい。これら細胞は、フィロウイルスエンベロープを使用して標的とすることができる。例えば、転写後修飾によりGPおよびGP₂糖タンパク質になるエボラのGP。別の実施形態では、偽型エンベロープ

10

20

30

40

50

を有する様々なレンチウイルスカプシドを使用することができる。例えば、F I V または S H I V [米国特許第5,654,195号]。S H I V偽型ベクターは、サルなどの動物モデルで容易に使用することができる。

【0163】

本明細書で詳述されているように、レンチウイルスペクターシステムは、典型的には、g a g、p o l、またはr e v遺伝子の少なくとも1つを含む少なくとも1つのヘルパー・プラスミドを含む。g a g、p o l、r e v遺伝子の各々は、個々のプラスミドに提供されていてもよく、または1つもしくは複数の遺伝子が、同じプラスミドと一緒に提供されてもよい。一実施形態では、g a g、p o l、およびr e v遺伝子は、同じプラスミドに提供されている（例えば、図4）。別の実施形態では、g a gおよびp o l遺伝子は、第1のプラスミドに提供されており、r e v遺伝子は、第2のプラスミドに提供されている（例えば、図5）。したがって、3ベクターシステムおよび4ベクターシステムは両方とも、実施例のセクションおよび本明細書の他の場所に記載のようなレンチウイルスを产生するために使用することができる。療法用ベクター、エンベローププラスミド、および少なくとも1つのヘルパー・プラスミドは、パッケージング細胞株にトランスフェクトされる。パッケージング細胞株の非限定的な例は、293T / 17 HEK細胞株である。療法用ベクター、エンベローププラスミド、および少なくとも1つのヘルパー・プラスミドが、パッケージング細胞株にトランスフェクトされると、最終的にレンチウイルス粒子が产生される。

10

【0164】

別の態様では、レンチウイルス粒子を発現するためのレンチウイルスペクターシステムが開示される。システムは、本明細書に記載のようなレンチウイルスペクター；細胞に感染するために最適化されているエンベロープタンパク質を発現するためのエンベローププラスミド；およびg a g、p o l、およびr e v遺伝子を発現するための少なくとも1つのヘルパー・プラスミドを含み、レンチウイルスペクター、エンベローププラスミド、および少なくとも1つのヘルパー・プラスミドが、パッケージング細胞株にトランスフェクトされると、パッケージング細胞株によってレンチウイルス粒子が产生され、レンチウイルス粒子は、ケモカイン受容体C C R 5の产生を阻害することができるかまたはH I V R N A配列を標的とすることができます。

20

【0165】

別の態様では、本明細書で詳述されているように、本明細書では療法用ベクターとも呼ばれるレンチウイルスペクターは、以下のエレメントを含むことができる：ハイブリッド5'末端反復配列(R S V / 5' L T R)（配列番号34～35）、P s i配列(R N Aパッケージング部位）（配列番号36）、R R E (R e v応答エレメント)（配列番号37）、c P P T (ポリプリントラクト)（配列番号38）、E F - 1 プロモーター（配列番号4）、m i R 3 0 C C R 5 (配列番号1)、m i R 2 1 V i f (配列番号2)、m i R 1 8 5 T a t (配列番号3)、ウッドチャック転写後調節エレメント(W P R E)（配列番号32または80）、およびU 3 3' L T R (配列番号39)。別の態様では、置換、欠失、または付加による配列変異を使用して、上で参照されている配列を改変することができる。

30

【0166】

別の態様では、本明細書で詳述されているように、ヘルパー・プラスミドは、以下のエレメントを含むように設計されている：C A Gプロモーター（配列番号41）；H I V成分g a g（配列番号43）；H I V成分p o l（配列番号44）；H I V I n t（配列番号45）；H I V R R E（配列番号46）；およびH I V R e v（配列番号47）。別の態様では、ヘルパー・プラスミドは、g a gおよびp o l遺伝子を発現するための第1のヘルパー・プラスミド、ならびにr e v遺伝子を発現するための第2の別のプラスミドを含むように改変されていてもよい。別の態様では、置換、欠失、または付加による配列変異を使用して、上で参照されている配列を改変することができる。

40

【0167】

50

別の態様では、本明細書で詳述されているように、エンベローププラスミドは、左から右へと以下のエレメントを含むように設計されている：RNAポリメラーゼIIプロモーター（CMV）（配列番号60）および水疱性口内炎ウイルスG糖タンパク質（HSV-G）（配列番号62）。別の態様では、置換、欠失、または付加による配列変異を使用して、上で参照されている配列を改変することができる。

【0168】

別の態様では、レンチウイルスパッケージングに使用されるプラスミドは、ベクター機能を喪失させずに、類似のエレメントにより改変され得、イントロン配列は、潜在的に除去され得る。例えば、パッケージングシステムを含むプラスミドの類似エレメントの代わりに、以下のエレメントを使用することができる：伸長因子-1（EF-1）、ホスホグリセリン酸キナーゼ（PGK）、およびユビキチンC（UbC）プロモーターを、CMVまたはCAGプロモーターの代わりに使用することができる。SV40ポリアおよびbGHポリアを、ウサギベータグロビンポリアの代わりに使用することができる。ヘルパープラスミドのHIV配列は、異なるHIV株または系統群から構築されていてもよい。HSV-G糖タンパク質を、ネコ内在性ウイルス（RD114）、テナガザル類人猿白血病ウイルス（GALV）、狂犬病（FUG）、リンパ球脈絡膜炎ウイルス（LCMV）、インフルエンザA型家禽ペストウイルス（FPV）、ロスリバーアルファウイルス（RRV）、マウス白血病ウイルス10A1（MLV）、またはエボラウイルス（Ebola）に由来する膜糖タンパク質と置換することができる。

【0169】

注目すべきことに、レンチウイルスパッケージングシステムは、商業的に入手することができ（例えば、Origene Technologies, Inc.、Rockville MDのLenti-vpackパッケージングキット）、本明細書に記載のように設計することもできる。さらに、レンチウイルス粒子の産生効率を含む任意の数の関連要因を改善するために、レンチウイルスパッケージングシステムの態様を置換または改変することは、当業者の技術範囲にある。

【0170】

バイオアッセイ

一態様では、本発明は、機能的治癒を達成するためのHIV処置の成功を決定するためのバイオアッセイを含む。これらのアッセイは、患者における形質導入されたHIV特異的CD4 T細胞の頻度を測定することによって、開示された方法の有効性を測定するための方法を提供する。HIV特異的CD4 T細胞は、増殖し、細胞表面マーカーの組成を改変させ、リン酸化を含むシグナル伝達経路を誘導し、あるいはサイトカイン、ケモカイン、カスパーゼ、リン酸化シグナル伝達分子または他の細胞質および／もしくは核成分であり得る特異的マーカータンパク質を発現するので、認識できる。特異的応答性CD4 T細胞は、例えば、フローサイトメトリー・ソーティング、磁気ビーズ分離または抗原特異的CD4 T細胞単離のための他の認識されている方法を使用して、HIV特異的細胞の選別を可能にする、標識モノクローナル抗体またはmRNA配列の特異的in situ增幅を使用して、認識される。単離したCD4 T細胞を試験して、組み込まれた療法用レンチウイルスを有する細胞の頻度を決定する。HIVに対する応答性および組み込まれた療法用レンチウイルスの存在を確認するための質量分析法、PCR、ELISA、または抗体染色と組み合わせた、個々の細胞のマイクロ流体分離を含む、単一細胞試験法もまた、使用してもよい。

【0171】

したがって、ある特定の実施形態では、本発明による処置（例えば、（a）免疫化なし、（b）ex vivoリンパ球培養；（c）精製タンパク質、不活性化ウイルス、ウイルスベクター化タンパク質、細菌性ベクター化タンパク質、サイトカインおよび／またはケモカインを含む生物学的または化学的アジュvant、ビヒクルによる再刺激；ならびに（d）濃縮され形質導入されたT細胞の注入）の適用の後、処置の有効性を決定するために患者を次いで、アッセイしてもよい。注入のための細胞産物内の標的T細胞の閾値は、

10

20

30

40

50

機能的治癒を測定するために、例えば、約 1×10^8 個の、療法用レンチウイルスによる遺伝子改変を有するHIV特異的CD4+T細胞として確立してもよい。代替的には、閾値は、患者の体内において、約 1×10^5 、約 1×10^6 、約 1×10^7 、約 1×10^8 、約 1×10^9 、または約 1×10^{10} 個のCD4+T細胞であってもよい。

【0172】

療法用レンチウイルスによる遺伝子改変を有するHIV特異的CD4+T細胞は、例えば、ただし限定されることがない、フローサイトメトリー、細胞選別、FACS分析、DNAクローニング、PCR、RT-PCRもしくはQ-PCR、ELISA、FISH、ウェスタンプロットティング、サザンプロットティング、ハイスクープロット配列決定、RNA配列決定、オリゴヌクレオチドプライマー伸長、または当該技術分野で公知の他の方法のような任意の適切な方法を使用して決定することができる。10

【0173】

遺伝子改変を有する抗原特異的T細胞を規定するための方法は、当該技術分野において公知である。しかしながら、有効性の標準的な尺度として、HIV特異的T細胞を同定することを、組み込まれたまたは組み込まれていない遺伝子治療構築物と組み合わせるこのような方法を利用することは、HIV処置の分野における新しい概念である。

【0174】

用量および剤形

開示された方法および組成物は、疾患の様々な段階の間にHIV+患者を処置するために使用することができる。したがって、投薬レジメンは、患者の状態および投与の方法に基づいて変化し得る。20

【0175】

一態様では、HIV特異的ワクチンは、刺激された細胞の注入とともにまたは注入の後に、対象に投与され得る。一実施形態では、HIV特異的ワクチンは、様々な用量で、必要とする対象に投与され得る。一般に、筋肉内注射によって送達されるワクチンは、不活性化されたウイルス粒子、ウイルス様粒子から調製された全ウイルスタンパク質、または組換えシステムからのもしくはウイルス調製物から精製された精製ウイルスタンパク質のいずれかの、約 $10 \mu\text{g}$ ～約 $300 \mu\text{g}$ 、約 $25 \mu\text{g}$ ～約 $275 \mu\text{g}$ 、約 $50 \mu\text{g}$ ～約 $250 \mu\text{g}$ 、約 $75 \mu\text{g}$ ～約 $225 \mu\text{g}$ 、または約 $100 \mu\text{g}$ ～約 $200 \mu\text{g}$ のHIVタンパク質を含む。組換えウイルスまたは細菌ベクターは、記載されたいかなるルートによって投与されてもよい。筋肉内ワクチンは、約 $1 \mu\text{g}$ ～約 $100 \mu\text{g}$ 、約 $10 \mu\text{g}$ ～約 $90 \mu\text{g}$ 、約 $20 \mu\text{g}$ ～約 $80 \mu\text{g}$ 、約 $30 \mu\text{g}$ ～約 $70 \mu\text{g}$ 、約 $40 \mu\text{g}$ ～約 $60 \mu\text{g}$ 、または約 $50 \mu\text{g}$ の適切なアジュバント分子を含み、注射用量あたり $0.1 \sim 5 \text{mL}$ の容量の油、生理食塩水、緩衝液または水に懸濁され、可溶性またはエマルション調製物であってもよい。いくつかのウイルスベクター化もしくは細菌性ベクター化ワクチン、融合タンパク質、リポソーム製剤または同様の調製物を含む、口腔、直腸、頬、生殖器粘膜または鼻腔内に送達されるワクチンは、より多量のウイルスタンパク質およびアジュバントを含んでもよい。経皮、真皮下または皮下ワクチンは、経口、直腸または鼻腔内送達ワクチンにより類似したタンパク質およびアジュバントの量を利用する。最初の免疫化に対する応答に依存して、ワクチン接種は、送達のための同じまたは代替的なルートを使用して、 $1 \sim 5$ 回繰り返してもよい。間隔は、免疫化間で $2 \sim 24$ 週間であってもよい。ワクチン接種に対する免疫応答は、血清、血漿、膣分泌物、直腸分泌物、唾液または気管支肺胞洗浄液中のHIV特異的抗体を、ELISAまたは同様の方法を使用して試験することによって測定される。細胞性免疫応答は、ワクチン抗原を用いたin vitro刺激、続いて細胞内サイトカイン蓄積の染色、次いで、フローサイトメトリー、またはリンパ球増殖、リン酸化シグナル伝達タンパク質の発現もしくは細胞表面活性化マーカーの変化を含む同様の方法によって試験される。投薬の上限は、個々の患者に基づいて決定されてもよく、各個々の製品または製品ロットの毒性／安全性プロファイルに依存する。30

【0176】

免疫化は、1回、2回、3回、または繰り返しで行われてもよい。例えば、HIV免疫

10

20

30

40

50

化のための薬剤は、週1回、隔週に1回、3週間に1回、1ヶ月に1回、隔月に1回、3ヶ月に1回、6ヶ月に1回、9ヶ月に1回、1年に1回、18ヶ月に1回、2年に1回、36ヶ月に1回、または3年に1回、必要とする対象に投与されてもよい。

【0177】

C D 4 T細胞の *ex vivo* 増殖および濃縮の後、*ex vivo* でのリンパ球の培養／再刺激および注入後は、1回、2回、3回、またはそれよりも多くの回数で、免疫化を行ってもよい。

【0178】

一実施形態では、免疫化のためのHIVワクチンは、医薬組成物として投与される。一実施形態では、HIVワクチンを含む医薬組成物は、臨床応用のための幅広く様々な経鼻、経肺、経口、局所、または非経口剤形で製剤化され得る。各々の剤形は、様々な崩壊剤、界面活性剤、充填剤、増粘剤、結合剤、湿潤剤のような希釈剤または他の薬学的に許容される賦形剤を含むことができる。HIVワクチンを含む医薬組成物はまた、注射のために製剤化することもできる。

10

【0179】

免疫化の目的のためのHIVワクチン組成物は、鼻腔内、頬側、舌下、経口、直腸、眼、非経口（静脈内、皮内、筋肉内、皮下、大槽内、腹腔内）、肺内、腔内、部位的投与、局所投与、乱刺後の局所投与、粘膜投与、エアロゾルを介して、または頬側もしくは鼻スプレー製剤を介してなどの任意の薬学的に許容される方法を使用して投与することができる。

20

【0180】

さらに、HIVワクチン組成物は、固体剤形、錠剤、丸薬、ロゼンジ、カプセル、液体分散液、ゲル、エアロゾル、肺エアロゾル、鼻エアロゾル、軟膏、クリーム、半固体剤形、および懸濁液などの、任意の薬学的に許容される剤形に製剤化されることができる。さらに、組成物は、制御放出製剤、持続放出製剤、即時放出製剤、またはそれらの任意の組合せであってもよい。さらに、組成物は、経皮送達システムであってもよい。

【0181】

別の実施形態では、HIVワクチンを含む医薬組成物は、経口投与のための固体剤形で製剤化され得、固体剤形は、散剤、顆粒剤、カプセル剤、錠剤または丸薬であり得る。さらに別の実施形態では、固体剤形は、炭酸カルシウム、デンプン、スクロース、乳糖、微結晶セルロースまたはゼラチンのような、1つまたは複数の賦形剤を含んでいてもよい。さらに、固体剤形は、賦形剤に加えて、タルクまたはステアリン酸マグネシウムのような潤滑剤を含むことができる。一部の実施形態では、経口剤形は、即時放出または改変放出形態であり得る。改変放出剤形には、制御放出または持続放出、腸内放出などが含まれる。改変放出剤形において使用される賦形剤は、当業者に一般的に公知である。

30

【0182】

さらなる実施形態では、HIVワクチンを含む医薬的組成物は、舌下または頬側の剤形として製剤化され得る。そのような剤形は、舌の下に投与される舌下錠剤または溶液組成物、および頬と歯茎との間に配置される頬側錠剤を含む。

【0183】

なおさらなる実施形態では、HIVワクチンを含む医薬組成物は、鼻用剤形として製剤化され得る。そのような本発明の剤形は、経鼻送達のための溶液、懸濁液およびゲル組成物を含む。

40

【0184】

一実施形態では、医薬組成物は、懸濁液、エマルションまたはシロップのような経口投与用の液体剤形で製剤化され得る。他の実施形態では、液体剤形は、水および流動パラフィンのような一般的に使用される単純希釈剤に加えて、保湿剤、甘味料、芳香剤または防腐剤のような様々な賦形剤を含むことができる。特定の実施形態では、HIVワクチンまたはその薬学的に許容される塩を含む組成物は、小児患者への投与に適するように製剤化され得る。

50

【 0 1 8 5 】

一実施形態では、医薬組成物は、滅菌水溶液、懸濁液、エマルション、非水性溶液または坐剤などの非経口投与のための剤形で製剤化され得る。他の実施形態では、非水性溶液または懸濁液は、プロピレングリコール、ポリエチレングリコール、オリーブ油のような植物油、またはオレイン酸エチルのような注射可能なエステルを含み得る。坐剤のベースとして、ウィテプソール(witepsol)、マクロゴール(macrogol)、ツイーン61(tween 61)、カカオ油、ラウリン油またはグリセリン化ゼラチンを使用することができる。

【 0 1 8 6 】

医薬組成物の投与量は、患者の体重、年齢、性別、投与の時間および形態、排泄速度、ならびに疾患の重篤度に依存して変化し得る。

10

【 0 1 8 7 】

再刺激の目的のために、リンパ球、P B M C、および/またはC D 4 T細胞を患者から取り出し、刺激および培養のために単離する。単離された細胞は、免疫化に使用されるものと同じH I Vワクチンもしくは活性化剤または異なるH I Vワクチンもしくは活性化剤と接触させてもよい。一実施形態では、単離された細胞は、培養物中の約10⁶個の細胞あたり約10ng~5μg(または任意の他の適切な量)のH I Vワクチンまたは活性化剤と接触される。より具体的には、単離された細胞は、培養物中の約10⁶個の細胞あたり、約50ng、約100ng、約200ng、約300ng、約400ng、約500ng、約600ng、約700ng、約800ng、約900ng、約1μg、約1.5μg、約2μg、約2.5μg、約3μg、約3.5μg、約4μg、約4.5μg、または約5μgのH I Vワクチンまたは活性化剤と接触させてもよい。

20

【 0 1 8 8 】

活性化剤またはワクチンは、一般に、各々の*in vitro*細胞培養に1回使用されるが、約15~約35日の間隔の後に繰り返してもよい。例えば、繰り返しの投薬は、約15、約16、約17、約18、約19、約20、約21、約22、約23、約24、約25、約26、約27、約28、約29、約30、約31、約32、約33、約34、または約35日で行ってもよい。

【 0 1 8 9 】

濃縮され、再刺激された細胞の形質導入のために、細胞は、レンチウイルスペクターまたは本明細書に開示される他の公知のベクターシステムを用いて形質導入されてもよい。形質導入される細胞は、培養中の標的細胞あたり、(レンチウイルスペクターを含む培養液のR T - P C Rアッセイにより測定された)約1~1,000個(または任意の他の適切な量)のウイルスゲノムと接触させてもよい。レンチウイルスの形質導入は、培養物中の標的細胞あたり1~1,000個のウイルスゲノムの同じ範囲を使用して、1~5回繰り返してもよい。

30

【 0 1 9 0 】**細胞濃縮**

1つのアプローチでは、T細胞などの細胞をH I V感染患者から得て、多重ウェルプレートの、順化培地(「C M」)を含む培養培地で培養してもよい。上清p 2 4 g a g(「p 2 4」)のレベルおよびウイルスR N Aレベルは、標準的手段によって評価することができる。そのC M培養細胞が1ng/m l未満のピークp 2 4上清レベルを有する患者は、さらなる抗ウイルス剤を使用してまたは使用せずにC M中でT細胞を大量に増殖させるのに適切な患者であってもよい。加えて、異なる目的の薬物または目的の薬物の組合せを、異なるウェルに添加し、試料中のウイルスレベルに対する影響を、標準的手段によって評価してもよい。適度なウイルス抑制を提供する薬物の組合せは、治療上有用な組合せである。何をもって適度なウイルス抑制とするかを特定の対象に関して決定するのは、適任の専門家の能力内にある。目的の薬物がウイルス増殖を制限する有効性を試験するために、抗C D 3抗体などのさらなる因子を培養物に添加して、ウイルス産生を刺激してもよい。H I V感染細胞試料を培養するための、当技術分野で公知の方法とは異なり、C Mは、2ヶ月間よりも長期間にわたってT細胞の培養を可能にし、それにより、長期的な薬物有

40

50

効性をアッセイするための有効なシステムを提供する。

【0191】

このアプローチは、CMを含む培地で細胞を培養することにより、細胞集団においてHIV-LTRプロモーター領域によって駆動される遺伝子発現の阻害を可能にする。CM中での培養は、転写媒介性タンパク質とHIV遺伝子発現調節エレメントとの間の1つまたは複数の相互作用を変更することによって、HIV-LTR駆動性遺伝子発現を阻害する可能性が高い。目的の転写媒介性タンパク質には、AP-1、NF kappa B、NF-AT、IRF、LEF-1、およびSp1などの宿主細胞にコードされているタンパク質、ならびにHIVにコードされているタンパク質Tatが含まれる。目的のHIV遺伝子発現調節エレメントには、AP-1、NF kappa B、NF-AT、IRF、LEF-1、およびSp1の結合部位、ならびにTatと相互作用するトランス作用性応答エレメント（「TAR」）が含まれる。

【0192】

好ましい実施形態では、HIV感染細胞は、感受性転写媒介性タンパク質配列および感受性HIV調節エレメント配列を有する対象から得られる。より好ましい実施形態では、HIV感染細胞は、野生型転写媒介性タンパク質配列および野生型HIV調節配列を有する対象から得られる。

【0193】

T細胞を濃縮する別の方法では、免疫親和性に基づく選択が利用される。このアプローチは、CD4+およびCD8+細胞集団などの第1および第2の細胞集団を、同時に濃縮または選択することを含んでいてもよい。初代ヒトT細胞を含む細胞を、CD4に特異的に結合する第1の免疫親和性試薬およびCD8に特異的に結合する第2の免疫親和性試薬と、インキュベーション組成物中にて、免疫親和性試薬が試料中の細胞の表面にあるCD4およびCD8分子にそれぞれ特異的に結合する条件下で接触させる。第1および/または第2の免疫親和性試薬と結合した細胞を回収し、それにより、CD4+細胞およびCD8+細胞を含む濃縮された組成物を生成する。このアプローチは、組成物を、最適未満の収量濃度である濃度の第1および/または第2の免疫親和性試薬と共にインキュベーションすることを含んでいてもよい。特筆すべきことには、一部の実施形態では、形質導入された細胞は、混合T細胞集団であり、他の実施形態では、形質導入された細胞は、混合T細胞集団ではない。

【0194】

一部の実施形態では、固体支持体が、マイクロビーズまたはナノビーズなどのビーズなどの球体である、免疫親和性に基づく選択が使用される。他の実施形態では、ビーズは、磁気ビーズであってもよい。別の実施形態では、抗体は、球体またはクロマトグラフィーマトリクスなどの固体表面に固定化されている結合試薬と可逆的結合を形成し、抗体を固体表面に可逆的に固定化することができる1つまたは複数の結合パートナーを含む。一部の実施形態では、前記固体表面の抗体が結合する細胞表面マーカーを発現する細胞を、結合試薬と結合パートナーとの可逆的結合を壊すことによって、マトリクスから回収することができる。一部の実施形態では、結合試薬は、 streptavidin、またはstreptavidin類似体もしくはバリアントである。

【0195】

造血系および/または造血幹細胞の初代細胞の安定形質導入は、細胞の表面と、レンチウイルスペクターおよび細胞表面に結合する少なくとも1つの分子の両方と、in vitroまたはex vivoで接触させることにより得ることができる。細胞は、成長および/または増殖を促す条件下で、2つまたはそれよりも多くの層を含む換気容器中で培養してもよい。一部の実施形態では、このアプローチは、非CD4+ T細胞枯渇および/または広域ポリクローナル増殖（broad polyclonal expansion）と共に使用することができる。

【0196】

T細胞濃縮別のアプローチでは、PBM Cをペプチドで刺激し、インターフェロン -

10

20

30

40

50

ガンマなどのサイトカインを分泌する細胞について濃縮する。このアプローチは、一般に、T細胞を含む細胞の混合物を抗原で刺激するステップ、産物で標識される度合いに応じて、抗原で刺激された細胞の分離を達成するステップを含む。抗原刺激は、少なくとも1つのT細胞の抗原特異的刺激を誘発するのに有効な条件下で、細胞を、少なくとも1つの抗原に曝露することにより達成される。産物による標識化は、少なくとも1つの捕捉部分を含むように細胞の表面を修飾し、産物が分泌され、放出され、前記捕捉部分に特異的に結合する（「捕捉される」または「捕獲される」）条件下で細胞を培養し、捕捉された産物を標識部分で標識することにより達成され、ここで、標識された細胞は、標識手順の一部としても分離手順の一部としても溶解されない。捕捉部分には、濃縮ステップを精緻化し、一般には抗原特異的T細胞の、特にCD4+ T細胞の割合を増加させるために、細胞表面糖タンパク質CD3またはCD4の検出が組み込まれていてもよい。

10

【0197】

以下の実施例は、本発明の態様を例示するために示されている。しかしながら、本発明は、これらの実施例において記載された特定の条件または詳細に限定されるものではないことが理解されるべきである。本明細書で参照されている刊行物は全て、参照により具体的に組み込まれる。

【実施例】

【0198】

（実施例1：レンチウイルスベクターシステムの開発）

レンチウイルスベクターシステムを、図3（直線状形態）および図4（環状化形態）に要約されているように開発した。まず図3の上段部分を参照すると、代表的な療法用ベクターを、以下のエレメントを左から右に向かって有するように設計および生成した：ハイブリッド5'末端反復配列（RSV / 5'LTR）（配列番号34～35）、Psi配列（RNAパッケージング部位）（配列番号36）、RRRE（Rev応答エレメント）（配列番号37）、cPPT（ポリプリントラクト）（配列番号38）、EF-1プロモーター（配列番号4）、mIR30CCR5（配列番号1）、mIR21Vi f（配列番号2）、mIR185Tat（配列番号3）、ウッドチャック転写後調節エレメント（WPRE）（配列番号32または80）、およびU3'LTR（配列番号39）。図3に詳述されている療法用ベクターは、本明細書ではAGT103とも呼ばれる。

20

【0199】

次に、図3の中段部分を参照すると、ヘルパープラスミドを、左から右に向かって以下のエレメントを有するように設計および生成した：CAGプロモーター（配列番号41）；HIV成分gag（配列番号43）；HIV成分pol（配列番号44）；HIV-1nt（配列番号45）；HIV-RRE（配列番号46）；およびHIV-Rev（配列番号47）。

30

【0200】

次に、図3の下段部分を参照すると、エンベローププラスミドを、左から右に向かって以下のエレメントを有するように設計および生成した：RNAポリメラーゼIIプロモーター（CMV）（配列番号60）および水疱性口内炎ウイルスG糖タンパク質（VSV-G）（配列番号62）。

40

【0201】

レンチウイルス粒子を、293T / 17 HEK細胞（American Type Culture Collection、Manassas、VAから購入）で產生し、その後、療法用ベクター、エンベローププラスミド、およびヘルパープラスミド（図3に示されているような）をトランスクエクションした。機能的ウイルス粒子を產生した293T / 17 HEK細胞のトランスクエクションでは、試薬ポリ（エチレンイミン）（PEI）を使用して、プラスミドDNA取り込みの効率を増加させた。最初に、プラスミドおよびDNAを、無血清培養培地に3:1の比率（PEI対DNAの質量比）で別々に添加した。2～3日後、細胞培地を集め、レンチウイルス粒子を、高速遠心分離および/または濾過してから、陰イオン交換クロマトグラフィーによって精製した。レンチウイルス粒子の濃度は、形質導入単位/

50

m_1 (T_U / m_1) で表すことができる。 T_U の決定は、培養液中の HIV_{p24} レベルを測定し ($p24$ タンパク質は、レンチウイルス粒子に組み込まれている)、定量 PCR で細胞あたりのウイルス DNA コピー数を測定することにより、または細胞を感染させ、光を使用することにより (ベクターがルシフェラーゼまたは蛍光タンパク質マーカーをコードしている場合) 達成した。

【0202】

上記で言及されているように、3ベクターシステム (つまり、2ベクターレンチウイルスパッケージングシステム) を、レンチウイルス粒子の产生のために設計した。3ベクターシステムの模式図は、図4に示されている。図4の模式図は、図3で上述した線形システムの環状化バージョンである。手短に言えば、図4を参照すると、最上段のベクターは、ヘルパープラスミドであり、この場合は、Revを含む。図4の中段に現れるベクターは、エンベローププラスミドである。最下段のベクターは、上述した療法用ベクターである。

10

【0203】

図4をより詳しく参照すると、ヘルパー+Revプラスミドは、CAGエンハンサー (配列番号40) ; CAGプロモーター (配列番号41) ; ニワトリベータアクチンイントロン (配列番号42) ; HIV_gag (配列番号43) ; HIV_Pol (配列番号44) ; HIV_Int (配列番号45) ; HIV_RRE (配列番号46) ; HIV_Rev (配列番号47) ; およびウサギベータグロビンポリA (配列番号48) を含む。

20

【0204】

エンベローププラスミドは、CMVプロモーター (配列番号60) ; ベータグロビンイントロン (配列番号61) ; VS V-G (配列番号62) ; およびウサギベータグロビンポリA (配列番号63) を含む。

【0205】

ヘルパー (+Rev) およびエンベローププラスミドを含む2ベクターレンチウイルスパッケージングシステムの合成。

材料および方法 :

ヘルパープラスミドの構築 : ヘルパープラスミドは、Gag、Pol、およびインテグラーゼ遺伝子を含む pNL4-3 HIV プラスミド (NIH AIDS 試薬プログラム) に由来する DNA 断片の最初の PCR 増幅により構築した。プライマーは、pCDNA3 プラスミド (Invitrogen) の同じ部位に挿入するために使用することができる EcoRI および NotI 制限部位を有する断片を増幅するように設計した。フォワードプライマーは、(5' - T A A G C A G A A T T C A T G A A T T T G C C A G G A A G A T - 3') (配列番号81) であり、リバースプライマーは、(5' - C C A T A C A A T G A A T G G A C A C T A G G C G G C C G C A C G A A T - 3') (配列番号82) であった。Gag、Pol、インテグラーゼ断片の配列は以下の通りであった :

30

40

50

【化43-1】

GAATTCATGAATTGCCAGGAAGATGGAAACCAAAATGATAGGGGGATTGGA
 GGTTCATCAAAGTAAGACAGTATGATCAGATACTCATAGAAATCTGCGGACATA
 AAGCTATAGGTACAGTATTAGTAGGACCTACACCTGTCAACATAATTGGAAGAAA
 TCTGTTGACTCAGATTGGCTGCACTTAAATTCCCATTAGTCCTATTGAGACTGT
 ACCAGTAAAATTAAAGCCAGGAATGGATGGCCAAAAGTTAAACAATGCCATTG
 ACAGAAGAAAAAATAAAAGCATTAGTAGAAATTGTACAGAAATGGAAAAGGAA
 GGAAAAATTCAAAAATTGGCCTGAAAATCCATACAATACTCCAGTATTGCCAT 10
 AAAGAAAAAAGACAGTACTAAATGGAGAAAATTAGTAGATTCAAGAGAACTTAAT
 AAGAGAACTCAAGATTCTGGGAAGTTCAATTAGGAATACCACATCCTGCAGGGT
 TAAAACAGAAAAATCAGTAACAGTACTGGATGTGGCGATGCATATTTCAGT
 TCCCTTAGATAAAGACTTCAGGAAGTATACTGCATTACCATACCTAGTATAAAC 20
 ATGAGACACCAGGGATTAGATATCAGTACAATGTGCTTCCACAGGGATGGAAAGG
 ATCACCAAGCAATATTCCAGTGTAGCATGACAAAAATCTTAGAGCCTTTAGAAAA
 CAAAATCCAGACATAGTCATCTATCAATACATGGATGATTGTATGTAGGATCTGA
 CTTAGAAATAGGGCAGCATAGAACAAAAATAGAGGAACGTGAGACAACATCTGTTG
 AGGTGGGGATTACACACCAGACAAAAACATCAGAAAGAACCTCCATTCTT 30
 GGATGGTTATGAACCTCATCCTGATAAATGGACAGTACAGCCTATAGTGCTGCC
 AGAAAAGGACAGCTGGACTGTCAATGACATACAGAAATTAGTGGAAAATTGAAT
 TGGGCAAGTCAGATTATGCAGGGATTAAAGTAAGGCAATTATGAAACTCTTA
 GGGGAACCAAAAGCACTAACAGAAGTAGTACCAACTAACAGAAGCAGAGCTAG
 AACTGGCAGAAAACAGGGAGATTCTAAAAGAACCGGTACATGGAGTGTATTATGA
 CCCATCAAAGACTTAATAGCAGAAATACAGAACAGCAGGGCAAGGCCATGGAC
 ATATCAAATTATCAAGAGCCATTAAAAATCTGAAAACAGGAAAGTATGCAAGA
 ATGAAGGGTCCCCACACTAATGATGTGAAACAATTACAGAGGCAGTACAAAAAA
 ATAGCCACAGAAAGCATACTAATATGGGGAAAGACTCCTAAATTAAATTACCCA

【化43-2】

TACAAAAGGAAACATGGGAAGCATGGTGGACAGAGTATTGGCAAGCCACCTGGA
 TTCCTGAGTGGAGTTGTCAATACCCCTCCCTAGTGAAGTTATGGTACCAGTTA
 GAGAAAGAACCCATAATAGGAGCAGAAACTTCTATGTAGATGGGCAGCCAATA
 GGGAAACTAAATTAGGAAAAGCAGGATATGTAAC TGACAGAGGAAGACAAAAAG
 TTGTCCCCCTAACGGACACAACAAATCAGAAGACTGAGTTACAAGCAATTCTATCT
 AGCTTGAGGATTGGGATTAGAAGTAAACATAGTACAGACTCACAATATGCA
 TTGGGAATCATTCAAGCACACCAGATAAGAGTGAATCAGAGTTAGTCAGTCAAA
 TAATAGAGCAGTTAATAAAAAGGAAAAAGTCTACCTGGCATGGTACCGACAGCACA
 CAAAGGAATTGGAGGAAATGAACAACTAGTAGATAAAATTGGTCAGTGCTGGAATCAG
 GAAAGTACTATTAGATGGAATAGATAAAGGCCAAGAAGAACATGAGAAATAT
 CACAGTAATTGGAGAGCAATGGCTAGTGATTAACTACCACTGTAGTAGCAA
 AAGAAATAGTAGCCAGCTGTGATAATGTCAGCTAAAAGGGGAAGCCATGCATGG
 ACAAGTAGACTGTAGCCCAGGAATATGGCAGCTAGATTGTACACATTAGAAGGA
 AAAGTTATCTTGGTAGCAGTTACATGTAGCCAGTGGATATAGAACAGAAGTAA
 TTCCAGCAGAGACAGGGCAAGAAACAGCATACTTCCTCTAAAATTAGCAGGAAG
 ATGCCAGTAAAACAGTACATACAGACAATGGCAGCAATTCAACAGTACTACA
 GTTAAGGCCGCCTGTTGGTGGCGGGGATCAAGCAGGAATTGGCATTCCCTACA
 ATCCCCAAAGTCAAGGAGTAATAGAATCTATGAATAAGAATTAAAGAAAATTAT
 AGGACAGGTAAGAGATCAGGCTGAACATCTTAAGACAGCAGTACAAATGGCAGT
 ATTACATCCACAATTAAAAGAAAAGGGGGATTGGGGGTACAGTGCAGGGAA
 AGAATAGTAGACATAATAGCAACAGACATACAAACTAAAGAATTACAAAACAA
 ATTACAAAATTCAAAATTTCGGTTTATTACAGGGACAGCAGAGATCCAGTTG
 GAAAGGACCAGCAAAGCTCCTCTGAAAGGTGAAGGGCAGTAGTAATACAAGA
 TAATAGTGACATAAAAGTAGTGCCAGAAAGAAAAGCAAAGATCATCAGGGATTAT
 GGAAAACAGATGGCAGGTGATGATTGTGTGGCAAGTAGACAGGATGAGGATTAA

(配列番号 83)

【0206】

次に、Rev、RRE、およびウサギベータグロビンポリA配列を含み、XbaIおよびXmaI隣接制限部位を有するDNA断片が、MWG Operonによって合成された。その後、DNA断片を、プラスミドのXbaIおよびXmaI制限部位に挿入した。DNA配列は、以下の通りであった：

10

20

30

40

50

【化44】

TCTAGAATGGCAGGAAGAACGCGAGACAGCGACGAAGAGCTCATCAGAACAGTC
 AGACTCATCAAGCTCTATCAAAGCAACCCACCTCCAATCCGAGGGGACCC
 GACAGGCCGAAGGAATAGAAGAAGAAGGTGGAGAGAGAGACAGAGACAGATC
 CATTGATTAGTGAACGGATCCTGGCACTTATCTGGACGATCTCGGAGCCTGT
 GCCTCTCAGCTACCACCGCTTGAGAGACTTACTCTGATTGTAACGAGGATTGTG
 GAACTTCTGGACGCAGGGGTGGGAAGCCCTCAAATATTGGTGGAAATCTCCTAC
 AATATTGGAGTCAGGAGCTAAAGAACATAGAGGAGCTTGTCTGGTCTGGG 10
 AGCAGCAGGAAGCACTATGGCGCAGCGTCAATGACGCTGACGGTACAGGCCAG
 ACAATTATTGTCTGGTATAGTGCAGCAGCAGAACAAATTGCTGAGGGCTATTGAG
 GCGAACACAGCATCTGTCACACTCACAGTCTGGGCATCAAGCAGCTCCAGGCAA
 GAATCCTGGCTGGAAAGATACTAAAGGATCAACAGCTCCTAGATCTTTCCC
 TCTGCCAAAAATTATGGGGACATCATGAAGCCCCCTGAGGCATCTGACTCTGGCTA
 ATAAAGGAAATTATTTCAATTGCAATAGTGTGGATTITTTGTGTCTCTCACT
 CGGAAGGACATATGGGAGGGCAAATCATTAAAACATCAGAACATGAGTATTGGTT
 TAGAGTTGGCAACATATGCCATATGCTGGCTGCCATGAACAAAGGTGGCTATAA
 AGAGGTCATCAGTATATGAAACAGCCCCCTGCTGTCCATTCTTATTCCATAGAAA
 AGCCTTGACTTGAGGTTAGATTATTTATATTGTTGTGTATTCTTTCTTTA
 ACATCCCTAAAATTTCCTTACATGTTTACTAGCCAGATTTCCTCCTCTGA 20
 CTACTCCCAGTCATAGCTGCCCTTCTCTTATGAAGATCCCTGACCTGCAGCCC
 AAGCTTGGCGTAATCATGGTCATAGCTGTTCTGTGTGAAATTGTTATCCGCTCA
 CAATTCCACACAACATACGAGCCGGAAGCATAAAGTGTAAAGCCTGGGTGCCTA
 ATGAGTGAGCTAACTCACATTAATTGCGTTGCGCTCACTGCCGCTTCCAGTCGG
 GAAACCTGTCGTGCCAGCGGATCCGCATCTCAATTAGTCAGCAACCATACTCCCGC 30
 CCCTAACTCCGCCATCCGCCCTAACTCCGCCAGTCCGCCATTCTCCGCC
 ATGGCTGACTAATTCTTATTTATGCAGAGGCCGAGGCCCTGGCTGGCTCTGAG
 CTATTCCAGAAGTAGTGAGGAGGCTTTGGAGGCCTAGGCTTGCAAAAAGCT
 AACTTGTTATTGAGCTTATAATGGTACAAATAAGCAATAGCATCACAAATT
 CACAAATAAAGCATTCTTCACTGCATTCTAGTTGTGGTTGTCCAAACTCATCAA
 TGTATCTTATCAGCGGCCGCCCCGGG (配列番号 84) 40

【0207】

最後に、pCDNA3.1のCMVプロモーターを、CAGエンハンサー／プロモーター+ニワトリベータアクチンイントロン配列と置換した。CAGエンハンサー／プロモーター／イントロン配列を含み、MluIおよびEcoRI隣接制限部位を有するDNA断片が、MWG Operonによって合成された。その後、DNA断片を、プラスミドのMluIおよびEcoRI制限部位に挿入した。DNA配列は以下の通りであった：

10

20

30

40

50

【化45】

ACGCGTTAGTTATTAAATAGTAATCAATTACGGGTCATTAGTCATAGCCCATATA
 TGGAGTCCCGCTTACATAACTACGGTAAATGGCCCGCCTGGCTGACCGCCCAAC
 GACCCCCGCCATTGACGTCAATAATGACGTATGTTCCATAGTAACGCCAATAGG
 GACTTCCATTGACGTCAATGGGTGGACTATTACGGTAAACTGCCACTGGCAG
 TACATCAAGTGTATCATATGCCAAGTACGCCCTATTGACGTCAATGACGGTAAA
 TGGCCCGCCTGGCATTATGCCAGTACATGACCTATGGACTTCTACTTGGCA
 GTACATCTACGTATTAGTCATCGCTATTACCATGGTCGAGGTGAGCCCCACGTTC
 TGCTTCACTCTCCCCATCTCCCCCCCCTCCCCACCCCCAATTTGTATTTATT
 TTTAATTATTTGTGCAGCGATGGGGCGGGGGCGAGGGCGAGGCGGAGAGGTGCGGGCA
 GGGCGGGCGGGCGAGGGCGGGGGCGAGGGCGAGGCGGAGAGGTGCGGGCA
 GCCAATCAGAGCGCGCGCTCCGAAAGTTCTTTATGGCGAGGCCGGCGC
 GCGGCCCTATAAAAGCGAAGCGCGCGGGAGTCGCTGCGTGCCTTC
 GCCCGTCCCCGCTCCGCGCCCTCGCGCCGCCCGCCCGCTCTGACTGACCG
 CGTTACTCCCACAGGTGAGCGGGCGGGACGCCCTCTCCGGCTGTAATTAG
 CGCTTGGTTAATGACGGCTCGTTCTTCTGTGGCTGCGTGAAGCCTAAAGG
 GCTCCGGGAGGGCCCTTGTGCGGGGGAGCGGCTGGGGGTGCGTGCCTG
 TGTGTGCGTGGGGAGCGCCGCGTGCAGGCGCTGCGCTGCGAGGGAGCGCG
 GCGGGCGCGCGCGGGCTTGTGCGCTCCGCGTGCAGGGAGCGCG
 GGGGGCGGTGCCCGCGGTGCGGGGGCTGCGAGGGAAACAAAGGCTGCGTGC
 GGGGTGTGCGTGGGGGGTGAGCAGGGGTGTGGCGCGGGCTGGCTGT
 AACCCCCCCCCTGCACCCCCCTCCCCGAGTTGCTGAGCACGCCGGCTCGGTGC
 GGGGCTCCGTGCGGGCGTGGCGCGGGCTCGCCGTGCCGGCGGGGGTGGCG
 GCAGGTGGGGGTGCCGGCGGGCGCTCGGGCCGGGGAGGGCTCGGG
 GGAGGGCGCGGCCGGAGCGCCGGCTGTCGAGGCGCGAGGCC
 AGCCATTGCCTTTATGGAATCGTGCAGAGGGCGCAGGGACTCCTTGTCCA
 AATCTGGCGGAGCCGAAATCTGGGAGGCAGCCGCACCCCTCTAGCGGGCG
 GCGAAGCGGTGCGCGCCGGCAGGAAGGAAATGGCGGGAGGGCTCG
 GTCGCCCGCCGCCGTCCCTCTCCATCTCCAGCCTGGGGCTGCCGAGGGGG
 CGGCTGCCTCGGGGGGACGGGAGGGGGTTCGGCTTGTGACC
 GGCGGGAAATT C (配列番号 85)

10

20

30

40

【0208】

V S V - G エンベローププラスミドの構築：

隣接する E c o R I 制限部位を有する水疱性口内炎インディアナウイルス糖タンパク質 (V S V - G) 配列が、M W G Operon によって合成された。その後、D N A 断片を、p C D N A 3 . 1 プラスミド (In vitrorogen) のE c o R I 制限部位に挿入し、C M V 特異的プライマーを使用して配列決定することにより、配向性が正しいことを決定した。D N A 配列は以下の通りであった：

50

【化46】

GAATTCATGAAGTGCCTTTGTACTTAGCCTTTATTCAATTGGGGTGAATTGCAAG
 TTCACCATAGTTTCCACACAACCAAAAAGGAAACTGGAAAAATGTCCTCTAA
 TTACCATTATTGCCCGTCAAGCTCAGATTAAATTGGCATAATGACTTAATAGGCA
 CAGCCTTACAAGTCAAAATGCCAAGAGTCACAAGGCTATTCAAGCAGACGGTG
 GATGTGTCATGCTCCAATGGGCACTACTGTGATTCCGCTGGTATGGACCGA
 AGTATATAAACACATTCCATCCGATCCTCACTCCATCTGTAGAACAAATGCAAGGAA
 AGCATTGAACAAACGAAACAAGGAACCTGGCTGAATCCAGGCTCCCTCCTCAAA
 GTTGTGGATATGCAACTGTGACGGATGCCAAGCAGTGAATTGTCCAGGTGACTCCT
 CACCATGTGCTGGITGATGAATACACAGGGAGAATGGGTTGATTCACAGTCATCA
 ACGGAAAATGCAGCAATTACATATGCCCACTGTCCATAACTCTACAAACCTGGCAT
 TCTGACTATAAGGTCAAAGGGCTATGTGATTCTAACCTCATTCCATGGACATCAC
 CTTCTCTCAGAGGACGGAGAGCTATCATCCCTGGAAAGGAGGGCACAGGGTTC
 AGAAGTAACTACTTGCTTATGAAACTGGAGGCAAGGCCTGCAAAATGCAATACT
 GCAAGCATTGGGGAGTCAGACTCCCATCAGGTGTCTGGTCAGATGGCTGATAA
 GGATCTCTTGCTGCAGCCAGATTCCCTGAATGCCAGAAGGGTCAAGTATCTCTG
 CTCCATCTCAGACCTCAGTGGATGTAAGTCTAACCTCAGGACGTTGAGAGGATCTG
 GATTATTCCCTCTGCCAAGAACCTGGAGCAAAATCAGAGCGGGCTTCCAATCTC
 TCCAGTGGATCTCAGCTATCTGCTCCTAAAAACCCAGGAACCGGCTGCTTCA
 CCATAATCAATGGTACCCCTAAAATACTTGAGACCAGATACTCAGAGTCGATATT
 GCTGCTCCAATCCTCTCAAGAATGGTCGGAATGATCAGTGGAACTACCACAGAAA
 GGGAACTGTGGGATGACTGGCACCATATGAAGACGTGGAAATTGGACCCAATGG
 AGTTCTGAGGACCAGTCAGGATATAAGTTCTTATACATGATTGGACATGGTA
 TGTTGGACTCCGATCTTCATCTTAGCTCAAAGGCTCAGGTGTTGAAACATCCTCAC
 ATTCAAGACGCTGCTCGCAACTCCTGATGATGAGAGTTATTTTGGTGTACT
 GGGCTATCCAAAAATCCAATCGAGCTGTAGAAGGGTGGTCAGTAGTTGGAAAAA
 GCTCTATTGCCTTTCTTATCATAGGGTTAACATTGGACTATTCTGGTTCT
 CCGAGTTGGTATCCATCTTGCATTAAATTAAAGCACACCAAGAAAAGACAGATT
 ATACAGACATAGAGATGAGAATT (配列番号 86)

【0209】

また、4ベクターシステム（つまり、3ベクターレンチウイルスパッケージングシステム）を、本明細書に記載されている方法および材料を使用して設計および生成した。4ベクターシステムの模式図は、図5に示されている。図5を参照して手短に言えば、最上段のベクターは、ヘルパープラスミドであり、この場合は、Re_vを含んでいない。最上段から2つ目のベクターは、別のRe_vプラスミドである。最下段から2つ目のベクターは、エンベローププラスミドである。最下段のベクターは、上述した療法用ベクターである。

【0210】

部分的に図5を参照して、ヘルパープラスミドは、CAGエンハンサー（配列番号49）；CAGプロモーター（配列番号50）；ニワトリベータアクチンイントロン（配列番号51）；HIV_gag（配列番号52）；HIV_Pol（配列番号53）；HIV

10

20

30

40

50

I n t (配列番号 5 4) ; H I V R R E (配列番号 5 5) ; およびウサギベータグロビンポリ A (配列番号 5 6) を含む。

【 0 2 1 1 】

R e v プラスミドは、R S V プロモーター (配列番号 5 7) ; H I V R e v (配列番号 5 8) ; およびウサギベータグロビンポリ A (配列番号 5 9) を含む。

【 0 2 1 2 】

エンベローププラスミドは、C M V プロモーター (配列番号 6 0) ; ベータグロビンイントロン (配列番号 6 1) ; V S V - G (配列番号 6 2) ; およびウサギベータグロビンポリ A (配列番号 6 3) を含む。

【 0 2 1 3 】

ヘルパー、R e v 、およびエンベローププラスミドを含む 3 ベクター・レンチウイルスパッケージングシステムの合成。

材料および方法 :

R e v を含まないヘルパー・プラスミドの構築 :

R e v を含まないヘルパー・プラスミドを、R R E およびウサギベータグロビンポリ A 配列を含む D N A 断片を挿入することにより構築した。隣接する X b a I および X m a I 制限部位を有するこの配列は、M W G O p e r o n によって合成された。その後、R R E / ウサギポリ A ベータグロビン配列を、ヘルパー・プラスミドの X b a I および X m a I 制限部位に挿入した。D N A 配列は以下の通りである :

10

20

30

40

50

【化47】

TCTAGAAGGAGCTTGTCCCTGGGTTCTGGGAGCAGCAGGAAGCACTATGGGC
 GCAGCGTCAATGACGCTGACGGTACAGGCCAGACAATTATTGTCTGGTATAGTGC
 AGCAGCAGAACAAATTGCTGAGGGCTATTGAGGCAGAACAGCATCTGTTGCAACT
 CACAGTCTGGGCATCAAGCAGCTCCAGGCAAGAACATCCTGGCTGTGGAAAGATAAC
 CTAAGGATCAACAGCTCCTAGATCTTTCCCTCTGCCAAAAATTATGGGGACAT
 CATGAAGCCCCTGAGCATTGACTCTGGCTAATAAAGGAAATTATTCATTG
 CAATAGTGTGTTGAAATTGTTGTCTCACTCGAAGGACATATGGGAGGGCA
 AATCATTAAAACATCAGAATGAGTATTGGTTAGAGTTGGAACATATGCCAT
 ATGCTGGCTGCCATGAACAAAGGTGGCTATAAAGAGGTATCAGTATATGAAACA
 GCCCCCTGCTGTCCATTCCATTCCATAGAAAAGCCTTGACTTGAGGTTAGATT
 TTTATATTGTTGTGTTATTCTTAACATCCCTAAATTCCCTACAT
 GTTTACTAGCCAGATTTCCTCCTCCTGACTACTCCCAGTCAGCTGTCCCT
 CTTCTCTATGAAGATCCCTCGACCTGCAGCCAAAGCTGGCGTAATCATGGTCAT
 AGCTGTTCTGTGAAATTGTTATCCGCTCACAAATTCCACACAAACATACGAGCC
 GGAAGCATAAAGTGTAAAGCCTGGGTGCCTAATGAGTGAGCTAACTCACATTAA
 TTGCGTTGCGCTCACTGCCGCTTCCAGTCGGAAACCTGTCGTGCCAGCGGATC
 CGCATCTCAATTAGTCAGCAACCAGTCAGCTCCGCCATTCTCCGCCCATCCGCC
 CTAACTCCGCCAGTTCCGCCATTCTCCGCCATGGCTGACTAATT
 TATGCAGAGGCCAGGCCCTCGGCCTGAGCTATTCCAGAAGTAGTGAGGAG
 GCTTTTGAGGCCTAGGCTTGCACAAATTGACAAATGAGCTAACTGTTATTGAGCTATA
 ATGGTTACAAATAAAGCAATAGCATCACAAATTGACAAATAAGCATT
 CTGCATTCTAGTTGTGGTTGTCCAAACTCATCAATGTATCTATCACCCGGG

(配列番号 87)

【0214】

Revプラスミドの構築：

RSVプロモーターおよびHIV Rev配列が、隣接するMfeIおよびXbaI制限部位を有する単一DNA断片として、MWG Operonによって合成された。その後、DNA断片を、CMVプロモーターがRSVプロモーターに置換されているpCDNA3.1プラスミド(Invitrogen)のMfeIおよびXbaI制限部位に挿入した。DNA配列は以下の通りであった：

10

20

30

40

50

【化48】

CAATTGCGATGTACGGGCCAGATATACGCGTATCTGAGGGGACTAGGGTGTGTT
 AGGCAAAAGCGGGCTCGGTTGTACCGGTTAGGAGTCCCCTCAGGATATA
 AGTTTCGCTTTGCATAGGGAGGGGAAATGTAGTCTTATGCAATACACTGTAGT
 CTTGCAACATGGTAACGATGAGTTAGCAACATGCCTTACAAGGAGAGAAAAAGCA
 CCGTGCATGCCATTGGTGGAAAGTAAGGTGGTACGATCGTGCCTTATTAGGAAGG
 CAACAGACAGGTCTGACATGGATTGGACGAACCACTGAATTCCGCATTGCAGAGA
 TAATTGTATTAAAGTGCCTAGCTCGATACAATAAACGCCATTGACCATTACAC
 ATTGGTGTGCACCTCCAAGCTCGAGCTCGTTAGTGAACCGTCAGATGCCCTGGAG
 ACGCCATCCACGCTGTTGACCTCCATAGAACGACACCAGGACGATCCAGCCTCC
 CCTCGAAGCTAGCGATTAGGCATCTCCTATGGCAGGAAGAACGGGAGACAGCGAC
 GAAGAACTCCTCAAGGCAGTCAGACTCATCAAGTTCTATCAAAGCAACCCAC
 CTCCCAATCCCAGGGGACCCGACAGGCCGAAGGAATAGAAGAACAGGTGGA
 GAGAGAGACAGAGACAGATCCATTGATTAGTGAACGGATCCTAGCACCTATCT
 GGGACGATCTGCGGAGCCTGTGCCTCTCAGCTACCACCGCTTGAGAGACTTACTC
 TTGATTGTAACGAGGATTGTGGAACCTCTGGACGCAGGGGTGGAAAGCCCTCA
 AATATTGGTGGAAATCTCCTACAATATTGGAGTCAGGAGCTAAAGAATAGTCTAGA

(配列番号 88)

10

20

30

【0215】

2ベクターおよび3ベクターパッケージングシステムのプラスミドを、類似のエレメントで改変し、ベクター機能を喪失させずにイントロン配列を潜在的に除去することができる。例えば、以下のエレメントを、2ベクターおよび3ベクターパッケージングシステムの類似エレメントの代わりに使用することができる可能性がある。

【0216】

プロモーター：伸長因子 - 1 (E F - 1) (配列番号 64) 、ホスホグリセリン酸キナーゼ (P G K) (配列番号 65) 、およびユビキチン C (U b C) (配列番号 66) を、 C M V (配列番号 60) または C A G プロモーター (配列番号 100) の代わりに使用することができる。

【0217】

ポリ A 配列： S V 4 0 ポリ A (配列番号 67) および b G H ポリ A (配列番号 68) を、ウサギベータグロビンポリ A (配列番号 48) の代わりに使用することができる。

【0218】

H I V G a g 、 P o l 、およびインテグラーゼ配列：ヘルパープラスミド中の H I V 配列は、異なる H I V 株またはクレードから構築することができる。例えば、 B a 1 株に由来する H I V G a g (配列番号 69) ; H I V P o l (配列番号 70) ; および H I V I n t (配列番号 71) を、本明細書で概説されているようなヘルパー / ヘルパー + R e v プラスミドに含まれている g a g 、 p o l 、および i n t 配列と交換することができる。

【0219】

エンベロープ： V S V - G 糖タンパク質は、ネコ内在性ウイルス (R D 1 1 4) (配列番号 72) 、テナガザル類人猿白血病ウイルス (G A L V) (配列番号 73) 、狂犬病 (F U G) (配列番号 74) 、リンパ球脈絡髄膜炎ウイルス (L C M V) (配列番号 75) 、インフルエンザ A 型家禽ベストウイルス (F P V) (配列番号 76) 、ロスピリバーアル

40

50

ファウイルス（R R V）（配列番号77）、マウス白血病ウイルス10A1（M L V）（配列番号78）、またはエボラウイルス（E b o V）（配列番号79）に由来する膜糖タンパク質と置換することができる。これらのエンベロープの配列は、本明細書中の配列部分で特定されている。

【0220】

要約すると、3ベクターシステム対4ベクターシステムは、以下のように比較および対比させることができる。3ベクターレンチウイルスベクターシステムは、以下のものを含む：1.ヘルバープラスミド：H I V G a g、P o l、インテグラーーゼ、およびR e v / T a t；2.エンベローププラスミド：V S V - G / F U G エンベロープ；および3.療法用ベクター：R S V 5' L T R、P s i パッケージングシグナル、G a g 断片、R R E、E n v 断片、c P P T、W P R E、および3' デルタL T R。4ベクターレンチウイルスベクターシステムは、以下のものを含む：1.ヘルバープラスミド：H I V G a g、P o l、およびインテグラーーゼ；2.R e v プラスミド：R e v；3.エンベローププラスミド：V S V - G / F U G エンベロープ；および4.療法用ベクター：R S V 5' L T R、P s i パッケージングシグナル、G a g 断片、R R E、E n v 断片、c P P T、W P R E、および3' デルタL T R。上記のエレメントに対応する配列は、本明細書の配列表部分で特定されている。

【0221】

（実施例2：抗H I V レンチウイルスベクターの開発）

この実施例の目的は、抗H I V レンチウイルスベクターを開発することであった。

【0222】

阻害性RNA設計。ホモ・サピエンス（H o m o s a p i e n s）ケモカインC - Cモチーフ受容体5（C C R 5）（G C 0 3 P 0 4 6 3 7 7）mRNAの配列を使用して、ヒト細胞のC C R 5レベルをノックダウンする潜在的なs i RNAまたはs h RNA候補を探索した。潜在的RNA干渉配列は、B r o a d I n s t i t u t eからなどのs i RNAまたはs h RNA設計プログラムまたはT hermo S c i e n t i f i cからのB L O C K - i T R N A i D e s i g n e rによって選択された候補から選んだ。s h RNA発現を調節するために、H 1、U 6、または7 S KのようなRNAポリメラーゼI I I プロモーターのすぐ3'側へ、個々の選択したs h RNA配列をレンチウイルスベクターに挿入した。これらのレンチウイルス-s h RNA構築物を使用して、細胞に形質導入し、特異的mRNAレベルの変化を測定した。mRNAレベルを減少させるために最も強力なs h RNAは、C M VまたはE F - 1アルファRNAポリメラーゼI I プロモーターのいずれかによる発現を可能にするために、マイクロRNA骨格内に個々に埋め込んだ。マイクロRNA骨格はmirbase.org/から選択された。RNA配列はまた、合成s i RNAオリゴヌクレオチドとして合成され、レンチウイルスベクターを使用せずに直接細胞内に導入された。

【0223】

ヒト免疫不全ウイルス1型のB a L株のゲノム配列（H I V - 1 8 5 U S _ B a L、受託番号A Y 7 1 3 4 0 9）を使用して、ヒト細胞におけるH I V複製レベルをノックダウンする潜在的なs i RNAまたはs h RNA候補を探索した。配列相同性および経験に基づいて、H I VのT a tおよびV i f遺伝子の領域に探索の焦点を合わせたが、当業者はこれらの領域の使用が非限定的であり、他の潜在的な標的が選択され得ることを理解する。重要なことに、G a gまたはポリメラーゼ遺伝子の高保存領域は、これらの同配列がベクター製造に必要なパッケージングシステム補完プラスミドに存在したため、s h RNAによって標的化することができなかった。C C R 5（N M 0 0 0 5 7 9 . 3、N M 0 0 1 1 0 0 1 6 8 . 1特異的）RNAと同様に、潜在的なH I V特異的RNA干渉配列は、B r o a d I n s t i t u t e（b r o a d i n s t i t u t e . o r g / m a i / p u b l i c）が主催するG e n e - E S o f t w a r e S u i t eからなどのs i RNAもしくはs h RNAデザインプログラムまたはT hermo S c i e n t i f i cからのB L O C K - i T R N A i D e s i g n e r（r n a d e s i g n e r . t h e

10

20

30

40

50

`r m o f i s h e r . c o m / r n a i e x p r e s s / s e t O p t i o n . d o ? d e s i g n O p t i o n = s h r n a & p i d = 6 7 1 2 6 2 7 3 6 0 7 0 6 0 6 1 8 0 1)` によって選択された候補から選択された。s h R N A 発現を調節するために、H 1、U 6、または 7 S K のような R N A ポリメラーゼ I I I プロモーターのすぐ 3' 側へ、個々の選択した s h R N A 配列をレンチウイルスベクターに挿入した。これらのレンチウイルス - s h R N A 構築物を使用して、細胞に形質導入し、特異的 m R N A レベルの変化を測定した。m R N A レベルを減少させるために最も強力な s h R N A は、C M V または E F - 1 アルファ R N A ポリメラーゼ I I プロモーターのいずれかによる発現を可能にするために、マイクロ R N A 骨格内に個々に埋め込んだ。

【 0 2 2 4 】

ベクター構築。C C R 5、T a t または V i f s h R N A について、B a m H I および E c o R I 制限部位を含むオリゴヌクレオチド配列が、E u r o f i n s M W G O p e r o n , L L C によって合成された。オーバーラップするセンスおよびアンチセンスオリゴヌクレオチド配列を混合し、70℃ から室温まで冷却する間にアニールさせた。レンチウイルスベクターを制限酵素 B a m H I および E c o R I で、37℃ で 1 時間、消化した。消化したレンチウイルスベクターをアガロースゲル電気泳動で精製し、I n v i t r o g e n の D N A ゲル抽出キットを使用してゲルから抽出した。D N A 濃度を決定し、ベクター対オリゴ（3 : 1 の比）を混合し、アニールさせ、ライゲーションした。ライゲーション反応は T 4 D N A リガーゼを用いて室温で 30 分間実施した。2.5 マイクロリットルのライゲーションミックスを 2.5 マイクロリットルの S T B L 3 コンピテント細菌細胞に添加した。形質転換は、42℃ でのヒートショック後に達成された。アンピシリンを含有する寒天プレート上に細菌細胞を広げ、薬物耐性コロニー（アンピシリン耐性プラスミドの存在を示す）を回収し、精製し、L B プロスで増殖させた。オリゴ配列の挿入をチェックするために、I n v i t r o g e n D N A ミニプレッパーキットを用いて、収穫した細菌培養物からプラスミド D N A を抽出した。レンチウイルスベクター中の s h R N A 配列の挿入を、s h R N A 発現を調節するために使用されるプロモーターのための特異的プライマーを使用した D N A 配列決定によって確認した。H I V 複製を制限することが決定された例示的なベクター配列は、図 6 に見出すことができる。その後、例えば、C C R 5、T a t 、または V i f 遺伝子発現に対して最も高い活性を有する s h R N A 配列を、E F - 1 アルファプロモーター制御下のマイクロ R N A (m i R) クラスターに組み立てた。プロモーターおよび m i R の配列を図 6 に示す。

【 0 2 2 5 】

さらに、標準的な分子生物学技術（例えば、Sambrook ; Molecular Cloning: A Laboratory Manual、第 4 版）ならびに本明細書に記載されている技術を使用して、本明細書の図 7 に示されているように、一連のレンチウイルスベクターを開発した。

【 0 2 2 6 】

ベクター 1 を開発した。ベクター 1 は、左から右に向かって以下のものを含む：末端反復配列 (L T R) 部分（配列番号 35）；H 1 エレメント（配列番号 101）；s h C C R 5（配列番号 16、18、20、22、または 24）；ウッドチャック肝炎ウイルスの転写後調節エレメント (W P R E)（配列番号 32、80）；および末端反復配列部分（配列番号 102）。

【 0 2 2 7 】

ベクター 2 を開発した。ベクター 2 は、左から右に向かって以下のものを含む：末端反復配列 (L T R) 部分（配列番号 35）；H 1 エレメント（配列番号 101）；s h R e v / T a t （配列番号 10）；H 1 エレメント（配列番号 101）；s h C C R 5（配列番号 16、18、20、22、または 24）；ウッドチャック肝炎ウイルスの転写後調節エレメント (W P R E)（配列番号 32、80）；および末端反復配列部分（配列番号 102）。

【 0 2 2 8 】

ベクター 3 を開発した。ベクター 3 は、左から右に向かって以下のものを含む：末端反

10

20

30

40

50

復配列 (L T R) 部分 (配列番号 3 5) ; H 1 エレメント (配列番号 1 0 1) ; s h G a g (配列番号 1 2) ; H 1 エレメント (配列番号 1 0 1) ; s h C C R 5 (配列番号 1 6、1 8、2 0、2 2、または 2 4) ; ウッドチャック肝炎ウイルスの転写後調節エレメント (W P R E) (配列番号 3 2、8 0) ; および末端反復配列部分 (配列番号 1 0 2)。

【0 2 2 9】

ベクター 4 を開発した。ベクター 4 は、左から右に向かって以下のものを含む：末端反復配列 (L T R) 部分 (配列番号 3 5) ; 7 S K エレメント (配列番号 1 0 3) ; s h R e v / T a t (配列番号 1 0) ; H 1 エレメント (配列番号 1 0 1) ; s h C C R 5 (配列番号 1 6、1 8、2 0、2 2、または 2 4) ; ウッドチャック肝炎ウイルスの転写後調節エレメント (W P R E) (配列番号 3 2、8 0) ; および末端反復配列部分 (配列番号 1 0 2)。

10

【0 2 3 0】

ベクター 5 を開発した。ベクター 5 は、左から右に向かって以下のものを含む：末端反復配列 (L T R) 部分 (配列番号 3 5) ; E F 1 エレメント (配列番号 4) ; m i R 3 0 C C R 5 (配列番号 1) ; M i R 2 1 V i f (配列番号 2) ; m i R 1 8 5 T a t (配列番号 3) ; ウッドチャック肝炎ウイルスの転写後調節エレメント (W P R E) (配列番号 3 2、8 0) ; および末端反復配列部分 (配列番号 1 0 2)。

【0 2 3 1】

ベクター 6 を開発した。ベクター 6 は、左から右に向かって以下のものを含む：末端反復配列 (L T R) 部分 (配列番号 3 5) ; E F 1 エレメント (配列番号 4) ; m i R 3 0 C C R 5 (配列番号 1) ; M i R 2 1 V i f (配列番号 2) ; m i R 1 5 5 T a t (配列番号 1 0 4) ; ウッドチャック肝炎ウイルスの転写後調節エレメント (W P R E) (配列番号 3 2、8 0) ; および末端反復配列部分 (配列番号 1 0 2)。

20

【0 2 3 2】

ベクター 7 を開発した。ベクター 7 は、左から右に向かって以下のものを含む：末端反復配列 (L T R) 部分 (配列番号 3 5) ; E F 1 エレメント (配列番号 4) ; m i R 3 0 C C R 5 (配列番号 1) ; M i R 2 1 V i f (配列番号 2) ; m i R 1 8 5 T a t (配列番号 3) ; ウッドチャック肝炎ウイルスの転写後調節エレメント (W P R E) (配列番号 3 2、8 0) ; および末端反復配列部分 (配列番号 1 0 2)。

【0 2 3 3】

30

ベクター 8 を開発した。ベクター 8 は、左から右に向かって以下のものを含む：末端反復配列 (L T R) 部分 (配列番号 3 5) ; E F 1 エレメント (配列番号 4) ; m i R 3 0 C C R 5 (配列番号 1) ; M i R 2 1 V i f (配列番号 2) ; m i R 1 8 5 T a t (配列番号 3) ; および末端反復配列部分 (配列番号 1 0 2)。

【0 2 3 4】

ベクター 9 を開発した。ベクター 9 は、左から右に向かって以下のものを含む：末端反復配列 (L T R) 部分 (配列番号 3 5) ; C D 4 エレメント (配列番号 3 0) ; m i R 3 0 C C R 5 (配列番号 1) ; M i R 2 1 V i f (配列番号 2) ; m i R 1 8 5 T a t (配列番号 3) ; ウッドチャック肝炎ウイルスの転写後調節エレメント (W P R E) (配列番号 3 2、8 0) ; および末端反復配列部分 (配列番号 1 0 2)。

40

【0 2 3 5】

ベクターの開発

これらの実験のために開発されたベクターがすべて計画通りに機能したわけではなかったことに留意すべきである。より具体的には、H I Vに対するレンチウイルスベクターは、3 つの主要成分を含んでいてもよい：1) 標的細胞表面のH I V 結合タンパク質 (受容体) のレベルを低減させて、初期ウイルス付着および侵入を遮断するための阻害性 R N A ; 2) ウイルス T a t タンパク質を隔離し、ウイルス遺伝子発現をトランス活性化するその能力を減少させることになるH I V T A R 配列の過剰発現；ならびに3) H I V ゲノム内の重要な保存配列を攻撃する阻害性 R N A。

【0 2 3 6】

50

上記の第 1 の点に関して、重要な細胞表面 H I V 結合タンパク質は、ケモカイン受容体 C C R 5 である。H I V 粒子は、C D 4 および C C R 5 細胞表面タンパク質に結合することにより、感受性 T 細胞に付着する。C D 4 は、T 細胞の免疫学的機能に重要である必須細胞表面糖タンパク質であるため、その発現レベルを操作する標的としては選択しなかった。しかしながら、C C R 5 遺伝子のヌル突然変異が生まれながらにホモ接合性であり、受容体発現が完全に欠如している人々は、少数の感染性疾患に対する感受性が増強されること、およびまれに自己免疫を発症する可能性があることを除けば、正常な生活を送る。C C R 5 発現を低減させるために全身 C D 4 + T 細胞の比較的少数が遺伝子改変され、病原体免疫、または自己免疫の制御に必要な C D 4 + T 細胞が改変細胞中に存在する可能性は低いので、この実施例において安全性は増強される。したがって、C C R 5 のミュレーションは、比較的安全なアプローチであると判断し、抗 H I V レンチウイルスベクターの開発における主要な標的とした。

【 0 2 3 7 】

上記の第 2 の点に関して、ウイルス T A R 配列は、ウイルス T a t タンパク質に強固に結合する、H I V ゲノム R N A の高度構造化領域である。T a t : T A R 複合体は、ウイルス R N A の効率的な生成に重要である。T A R 領域の過剰発現は、T a t タンパク質を隔離し、ウイルス R N A のレベルを減少させるデコイ分子として企図されている。しかしながら、T A R は、レンチウイルス粒子を製造するために使用される細胞を含むほとんどの哺乳動物細胞に毒性であることが証明された。さらに、T A R は、他の実験室ではウイルス遺伝子発現の阻害が非効率的であり、H I V 遺伝子治療における実行可能な成分としては放棄されている。

【 0 2 3 8 】

上記の第 3 の点に関して、以下の 3 つの基準を満たすウイルス遺伝子配列を特定した： i) 配列が、一連の H I V 単離株にわたって適度に保存されており、目的の地理的領域のエピデミックを代表するものであること； ii) ウイルスベクター中の阻害性 R N A の活性による R N A レベルの低減が、H I V 複製を有意義に低減させるのに十分な量だけ、対応するタンパク質レベルを低減させることになること；および iii) 阻害性 R N A によって標的とされるウイルス遺伝子配列が、製造中にウイルスベクター粒子をパッケージングおよび組み入れるのに必要な遺伝子中に存在しないこと。ウイルス粒子自体の有効な機能に必要な遺伝子を標的とする阻害性 R N A を有することは完全に不利であるので、最後の点は重要である。本実施形態では、H I V T a t 遺伝子と R e v 遺伝子の接合部の配列、および H I V V i f 遺伝子内の第 2 の配列を、阻害性 R N A による標的とした。T a t / R e v 標的化は、この領域が、H I V ゲノムのエンベロープ遺伝子と重複するため、H I V エンベロープ糖タンパク質発現を低減するというさらなる利益を有する。

【 0 2 3 9 】

ベクターを開発および試験するための戦略は、まず、適切な標的を特定し（本明細書に記載のように）、その後、細胞モデルにおいて試験するための個々のまたは複数の阻害性 R N A 種を発現するプラスミド D N A を構築し、最終的には、実証済みの抗 H I V 機能を有する阻害性 R N A を含むレンチウイルスベクターを構築することに依存する。レンチウイルスベクターを、毒性、in vitro 產生中の収量、および C C R 5 発現レベルを低減させるかまたはウイルス遺伝子産物を低下させてウイルス複製を阻害する点における H I V に対する有効性について試験する。

【 0 2 4 0 】

以下の表 2 には、複数のバージョンの阻害性構築物を経て臨床候補に到着するまでの経緯が示されている。まず、s h R N A（短い相同性 R N A）分子を設計し、プラスミド D N A 構築物から発現させた。

【 0 2 4 1 】

以下の表 2 に詳述されているプラスミド 1 ~ 4 で、H I V の G a g 、 P o l 、および R T 遺伝子に対する s h R N A 配列を試験した。各 s h R N A は、細胞モデルにおいてウイルスタンパク質発現の抑制に活性であったが、さらなる開発を妨げた 2 つの重要な問題が

10

20

30

40

50

あった。第1に、それら配列は、北米および欧洲で現在流布しているクレードB H I V 株を代表しないH I V の実験室単離株を標的としていた。第2に、これらのs h R N A は、レンチウイルスベクターパッケージングシステムの重要な成分を標的としていたため、製造中にベクター収量を著しく低減することになるであろう。表2に詳述されているプラスミド5は、C C R 5を標的とするように選択され、リード候補配列を提供した。表2に詳述されているプラスミド6、7、8、9、10、および11は、T A R 配列を組み込んでおり、レンチウイルスベクター製造に使用される細胞を含む哺乳動物細胞に対して許容できない毒性をもたらしたことが見出された。表2に詳述されているプラスミド2では、T a t R N A 発現を低減することができるリードs h R N A 配列が特定された。表2に詳述されているプラスミド12は、レンチウイルスベクターのマイクロR N A (m i R)として発現されたs h C C R 5が有効であることを実証し、それが最終産物中にあるはずであることが確認された。表2に詳述されているプラスミド13は、レンチウイルスベクターのマイクロR N A (m i R)として発現されたs h V i f が有効であることを実証し、それが最終産物中にあるはずであることが確認された。表2に詳述されているプラスミド14は、レンチウイルスベクターのマイクロR N A (m i R)として発現されたs h T a t が有効であることを実証し、それが最終産物中にあるはずであることが確認された。表2に詳述されているプラスミド15は、m i R C C R 5、m i R T a t 、およびm i R V i f を、單一プロモーターから発現されるm i R クラスターの形態で含んでいた。これらのm i R は、レンチウイルスベクターパッケージングシステムの重要な成分を標的とせず、哺乳動物細胞に対する毒性が無視できる程度であることが証明された。クラスター内のm i R は、以前に試験された個々のm i R と同等に有効であった。全体的な影響は、C C R 5指向性H I V B a L 株の複製の大幅な低減であった。

10

20

30

40

50

【表 2 - 1】

表 2:HIV ベクターの開発

内部コード	材料	説明	備考	決定
1 SIH-H1-shRT-1,3	レンチウイルス ベクター	LAI 株の RT 用 の shRNA 構築 物	誤標的、実験用ウイ ルス、ウイルス試験無 し	放棄
2 SIH-H1-shRT43 (Tat/Rev NL4-3)	レンチウイルス ベクター	H1 プロモーター shRNA Tat/Rev オーバーラップ	Tat タンパク質ノックダ ウン>90%	リード
<p>ベクター構築: Rev/Tat(RT)shRNA について、BamHI および EcoRI 制限部位を含むオリゴヌクレオチド配列が、MWG Operon によって合成された。2 つの異なる Rev/Tat 標的配列を、Tat mRNA 発現を減少させるそれらの能力に関して試験した。RT1,3 標的配列は、(5'-ATGGCAGGAAGAAGCGGAG-3')(配列番号 89)であり、shRNA 配列は、(5'-ATGGCAGGAAGAAGCGGAGTTCAAGAGACTCCGCTTCTGCCATT-3')(配列番号 90)である。RT43 配列は、(5'-GCAGACAGCGACGAAGAGCTTCAGAGAGCTCTCGCTGTCTCCGCTTT-3')(配列番号 10)である。オリゴヌクレオチド配列を、pSIH レンチウイルスベクター(System Biosciences)に挿入した。</p> <p>Rev/Tat に対する shRNA の機能試験: ベクターが Tat 発現を低減する能力を、3'-UTR(mRNA の非翻訳領域)に挿入された Rev/Tat 標的配列を含むルシフェラーゼレポータープラスミドを使用して試験した。shRT1,3 または shRT43 プラスミドのいずれかを、ルシフェラーゼおよび Rev/Tar 標的配列を含むプラスミドと共に同時トランスクレプトした。shRT43 shRNA 配列では光放射が 90% 低減し、その機能が強力であることが示されたが、shRT1,3 プラスミドでは 10% 未満であった。</p> <p>結論: SIH-H1-shRT43 は、ルシフェラーゼアッセイシステムでの mRNA レベルを低減させた点で、SIH-H1-shRT-1,3 よりも優れていた。これは、shRT43 配列の阻害活性が強力であることを示す。shRT43 配列を、さらなる開発のリード候補として選択した。</p>				
3 SIH-H1-shGag-1	レンチウイルス ベクター	LAI Gag の shRNA 構築物	Gag 発現を阻害する が、パッケージングを阻 害することになる	放棄
<p>ベクター構築: Gag shRNA について、BamHI および EcoRI 制限部位を含むオリゴヌクレオチド配列が、MWG Operon によって合成された。Gag 標的配列を、Gag mRNA 発現を減少させるそれらの能力に関して試験した。Gag 標的配列は、(5'-GAAGAAATGATGACAGCAT-3')(配列番号 11)であり、shRNA 配列は、(5'-</p>				

10

20

30

40

50

【表 2 - 2】

GAAGAAATGATGACAGCATTCAAGAGAATGCTGTCATCATTCTCTTTT-3')(配列番号 12)である。オリゴヌクレオチド配列を、pSIH レンチウイルスベクター(System Biosciences)に挿入した。

Gag に対する shRNA の機能試験: ベクターが Gag 発現を低減する能力を、3'-UTR(mRNA の非翻訳領域)に挿入された Gag 標的配列を含むルシフェラーゼレポータープラスミドを使用して試験した。Gag プラスミドを、ルシフェラーゼおよび Gag 標的配列を含むプラスミドと共に同時トランسفクトした。光放射がほぼ 90% 低減され、shGag shRNA 配列の効果が強力であることが示された。

結論: この shRNA 配列は、HIV Gag 発現に対して強力だが、放棄した。レンチウイルスパッケージングシステムは、ヘルパープラスミドからの Gag 産生を必要とし、Gag の shRNA 阻害は、レンチウイルスベクター収量を低減させることになる。この shRNA 配列は、HIV のオリゴヌクレオチド阻害剤として使用することができる。または異なるベクターゲノムが使用されているかもしくはこの shRNA による阻害に抵抗するように改変されている代替的ウイルスベクター/パッケージングシステムに組み込んでもよい。

4	SIH-H1-shPol-1	レンチウイルスベクター	Pol の shRNA 構築物	Pol 発現を阻害するが、パッケージングを阻害することになる	放棄
---	----------------	-------------	-----------------	--------------------------------	----

ベクター構築: MWG Operon によって合成された、BamHI および EcoRI 制限部位を含むオリゴヌクレオチド配列を有する Pol shRNA を構築した。Pol 標的配列を、Pol mRNA 発現を減少させるその能力に関して試験した。Pol 標的配列は、(5'-CAGGAGCAGATGATAACAG-3')(配列番号 13)であり、shRNA 配列は、(5'-CAGGAGATGATAACAGTTCAAGAGACTGTATCATCTGCTCCTGTTT-3')(配列番号 14)である。オリゴヌクレオチド配列を、pSIH レンチウイルスベクター(System Biosciences)に挿入した。

10

20

30

HIV Pol に対する shRNA の機能試験: ベクターが Pol 発現を低減する能力を、3'-UTR(mRNA の非翻訳領域)に挿入された Pol 標的配列を含むルシフェラーゼレポータープラスミドを使用して試験した。Pol プラスミドを、ルシフェラーゼおよび Pol 標的配列を含むプラスミドと共に同時トランسفクトした。光放射が 60% 低減され、shPol shRNA 配列の効果が強力であることが示された。

結論: この shRNA 配列は、HIV Pol 発現に対して強力だが、放棄した。レンチウイルスパッケージングシステムは、ヘルパープラスミドからの Pol 産生を必要とし、Pol の shRNA 阻害は、レンチウイルスベクター収量を低減させることになる。この shRNA 配列は、HIV のオリゴヌクレオチド阻害剤として使用することができる。または異なるベクターゲノムが使用されているかもしくはこの shRNA による阻害に抵抗するように改変されている代替的ウイルスベクター/パッケージングシステムに組み込んでもよい。

5	SIH-H1-	レンチウイルス	CCR5 の	5 候補中で最良、細	リード
---	---------	---------	--------	------------	-----

40

50

【表 2 - 3】

	shCCR5-1	ベクター	shRNA 構築物	胞外 CCR5 タンパク 質低減>90%	
ベクター構築: MWG Operon によって合成された、BamHI および EcoRI 制限部位を含むオリゴヌクレオチド配列を有する CCR5 shRNA を構築した。オリゴヌクレオチド配列を、pSIH レンチウイルスベクター (System Biosciences)に挿入した。CCR5 遺伝子配列 1(配列番号 25)に着目する CCR5 標的配列#1 は、(5'-GTGTCAAGTCCAATCTATG-3')(配列番号 15)であり、shRNA 配列は、(5'-GTGTCAAGTCCAATCTATGTTCAAGAGACATAGATTGGACTTGACACTTTT-3')(配列番号 16)である。CCR5 遺伝子配列 2(配列番号 26)に着目する CCR5 標的配列#2 は、(5'-GAGCATGACTGACATCTAC-3')(配列番号 17)であり、shRNA 配列は、(5'-GAGCATGACTGACATCTACTCAAGAGAGTAGATGTCAGTCATGCTCTTTT-3')(配列番号 18)である。CCR5 遺伝子配列 3(配列番号 27)に着目する CCR5 標的配列#3 は、(5'-GTAGCTCTAACAGGTTGGA-3')(配列番号 19)であり、shRNA 配列は、(5'-GTAGCTCTAACAGGTTGGATTCAAGAGAGATCCAACCTGTTAGAGCTACTTTT-3')(配列番号 20)である。CCR5 遺伝子配列 4(配列番号 28)に着目する CCR5 標的配列#4 は、(5'-GTTTAGAAACTACCTCTTA-3')(配列番号 21)であり、shRNA 配列は、(5'-GTTTAGAAACTACCTCTTATTCAAGAGATAAGAGAGTAGTTCTGAACCTTT-3')(配列番号 22)である。CCR5 遺伝子配列 5(配列番号 29)に着目する CCR5 標的配列#5 は、(5'-GAGCAAGCTCAGTTACACC-3')(配列番号 23)であり、shRNA 配列は、(5'-GAGCAAGCTCAGTTACACCTTCAAGAGAGGTGTAAACTGAGCTTGCTCTTTT-3')(配列番号 24)である。					
CCR5 に対する shRNA の機能試験: CCR5 shRNA 配列が、CCR5 RNA 発現をノックダウンする能力を、まず、5 つの CCR5 標的配列の 1 つを含むレンチウイルスプラスミドの各々を、各プラスミド毎に別の実験で、ヒト CCR5 遺伝子を発現するプラスミドと共に同時トランスフェクトすることにより試験した。次に、CCR5 mRNA 発現を、CCR5 特異的プライマーを使用して qPCR 分析によって評価した。					
結論: CCR5 mRNA レベルの低減に基づき、shRNACCR5-1 が、CCR5 遺伝子発現の低減に最も強力であった。この shRNA をリード候補として選択した。					
6	SIH-U6-TAR	レンチウイルス ベクター	U6 プロモーター- TAR	細胞に毒性	放棄
7	SIH-U6-TAR-H1-shCCR5	レンチウイルス ベクター	U6 プロモーター- TAR-H1-shCCR5	細胞に毒性	放棄
8	U6-TAR-H1-shRT	レンチウイルス	U6 プロモーター-	HIV を抑制、細胞に	放棄

10

20

20

30

40

50

【表 2 - 4】

		ベクター	TAR-H1-RT	毒性、パッケージングが不良	
9	U6-TAR-7SK-shRT	レンチウイルスベクター	shRNA プロモーターを 7SK に変更	毒性、パッケージングが不良	放棄
10	U6-TAR-H1-shRT-H1-shCCR5	レンチウイルスベクター	U6 プロモーター-TAR-H1-RT-H1-shCCR5	毒性、パッケージングが不良、H1 が反復	放棄
11	U6-TAR-7SK-shRT-H1-CCR5	レンチウイルスベクター	shRNA プロモーターを 7SK に変更	毒性、パッケージングが不良	放棄
<p>ベクター構築: 隣接する KpnI 制限部位を含む TAR デコイ配列が、MWG operon によって合成され、pSIH レンチウイルスベクター(System Biosciences)の KpnI 部位に挿入された。このベクターでは、TAR 発現は、U6 プロモーターによって調節される。TAR デコイ配列は、(5'- CTTGCAATGATGTCGTAATTGCGTCTTACCTCGTCTGACAGCGACCAGATCTGAGCC TGGGAGCTCTCTGGCTGTCAAGCTGGTACAGAAGGTTGACGAAAATTCTTACTGAG CAAGAAA-3')(配列番号 8)である。TAR デコイ配列の発現を、TAR 配列について特異的なプライマーを使用して qPCR 分析によって決定した。TAR 配列も含むさらなるベクターを構築した。H1 プロモーターおよび shRT 配列を、このベクターの XhoI 部位に挿入した。H1 shRT 配列は、(5'- GAACGCTGACGTCATCAACCCGCTCCAAGGAATCGCGGGCCCAGTGTCACTAGGCAGGAA ACACCCAGCGCGTGCAGGAAAGATGGCTGTGAGGGACAGGGGAGTGGCG CCCTGCAATATTTGATGTCGCTATGTGTTCTGGAAATCACCATAACGTGAAATGTCT TTGGATTTGGAAATCTTATAAGTTCTGTATGAGACCACTGGATCCGCGAGACAGCGA CGAAGAGCTTCAAGAGAGCTTCGCTGTCTCGCTTTT-3')(配列番号 91)である。このベクターは、TAR を発現し、RT をノックダウンすることができた。また、7SK プロモーターを H1 プロモーターの代わりに使用して、shRT 発現を調節した。U6 TAR、H1 shRT、および H1 shCCR5 を含む別のベクターを構築した。H1 shCCR5 配列を、U6 TAR および H1 shRT を含むプラスミドの SpeI 部位に挿入した。H1 CCR5 配列は、(5'- GAACGCTGACGTCATCAACCCGCTCCAAGGAATCGCGGGCCCAGTGTCACTAGGCAGGAA ACACCCAGCGCGTGCAGGAAAGATGGCTGTGAGGGACAGGGGAGTGGCG CCCTGCAATATTTGATGTCGCTATGTGTTCTGGAAATCACCATAACGTGAAATGTCT TTGGATTTGGAAATCTTATAAGTTCTGTATGAGACCACTGGATCCGCGAGACAGCGA CTATGTTCAAGAGACATAGATTGGACTTGACACTTTT-3')(配列番号 92)である。また、7SK プロモーターを H1 プロモーターの代わりに使用して、shRT 発現を調節した。</p> <p>TAR デコイ活性の機能試験: 本発明者らは、パッケージング効率に対する SIH-U6-TAR の効果を試験し</p>					

10

20

30

40

50

【表 2 - 5】

た。TAR 配列が含まれていた場合、SIH パッケージングシステムでのベクター収量は、顕著に低減された。

結論: TAR デコイ配列を発現するレンチウイルスベクターは、ベクター収量が低いため、商業的開発には適さない。これらの構築物は放棄した。

12	shCCR5	レンチウイルス ベクター	マイクロ RNA 配 列	細胞外 CCR5 タンパ ク質 低減>90%	リード
----	--------	-----------------	-----------------	---------------------------	-----

ベクター構築: MWG Operon によって合成された、BsrGI および NotI 制限部位を含むオリゴヌクレオチド配列を有する CCR5 マイクロ RNA を構築した。オリゴヌクレオチド配列を、pCDH レンチウイルスベクター (System Biosciences)に挿入した。EF-1 プロモーターを、プラスミド構築物試験材料 5 で使用した CMV プロモーターの代わりに使用した。隣接する ClaI および BsrGI 制限部位を含む EF-1 プロモーターが、MWG Operon によって合成され、shCCR5-1 を含む pCDH ベクターに挿入された。EF-1 プロモーター配列は、(5'-

CCGGTGCTTAGAGAAGGTGGCGGGGTAAACTGGGAAAGTGATGTCGTACTGGCTC
CGCCTTTTCCCCGAGGGTGGGGAGAACCGTATATAAGTGCAGTAGTCGCCGTGAACGT
TCTTTTTCGCAACGGGTTGCCGCCAGAACACAGGTAAGTGCCGTGTGGITCCCGCGG
GCCTGCCCTTACGGTTATGCCCTGCGTGCCTGAATTACTCACGCCCTGGC
TGCAGTACGTGATTCTGATCCGAGCTCGGGTTGAAAGTGGGTGGGAGAGAGTCGAGG
CCTTGCCTTAAGGAGCCCCTCGCCTCGTGCCTGAGTTGAGGCCTGGCCTGGCGCTGG
GGCCGCCCGTGCAGATCTGGTGGCACCTCGCGCCTGCTCGCTGCTTCGATAAGTCT
CTAGCCATTAAAATTTTGATGACCTGCTGCGACGCTTTTCTGGCAAGATAAGTCTTG
TAAATGCGGGCCAAGATCTGCACACTGGTATTCGGTTTGGGCCGCGGGCGAC
GGGGCCCGTGCCTCCAGCGCACATGTTCCGGCAGGGCGGGCCTGCGAGCGCGGCCACC
GAGAATCGGACGGGGTAGTCTCAAGCTGCCGGCTGCTCTGGTGCCTGCCCTCGCG
CGCCGTGATGCCCGCCCTGGCGCAAGGCTGCCGGTCCAGGCACCTCGATTGCGTGA
GCGGAAAGATGGCCGCTCCGGCCCTGCTGAGGGAGCTCAAATGGAGGACGCGGC
GCTCGGGAGAGCGGGCGGGTAGTCACCCACACAAAGGAAAGGGCCTTCGCTCA
GCCGTCGCTCATGTGACTCCACGGAGTACCGGGCGCCGTCCAGGCACCTCGATTAGTTC
TCGAGCTTGGAGTACGTGCTTGTAGGTTGGGGAGGGTTTATGCGATGGAGTT
CCCCACACTGAGTGGGTGGAGACTGAAGTTAGGCCAGCTGGCACTTGATGTAATTCTC
CTTGGAAATTGCCCTTTGAGTTGGATCTGGTCAAGCCTCAGACAGTGGTT
CAAAGTTTTCTTCAGGTGTCGTGA-3')(配列番号 4)である。

レンチウイルス CDH-shCCR5-1 の機能試験: miR CCR5 配列が、CCR5 発現をノックダウンする能力を、CEM-CCR5 T 細胞への形質導入を行い、CCR5 に対する蛍光標識モノクローナル抗体で染色し、染色の強度を測定した後、細胞表面 CCR5 発現を測定することによって決定した。染色の強度は、分析フローサイトメトリーによる細胞表面 CCR5 分子の数と正比例する。CCR5 の標的化に最も有効な shRNA 配列は、CCR5 shRNA 配列 #1 であった。しかしながら、合成マイクロ RNA 配列の構築に最も

10

20

30

40

50

【表 2 - 6】

有効な CCR5 標的化配列は、CCR5 配列#5 とオーバーラップしていた。この結論は、配列アラインメントおよび miRNA 構築の経験に基づいていた。最後に、miR30 ヘアピン配列を使用して、合成 miR30 CCR5 配列を構築した。合成 miR30 CCR5 配列は、(5'-AGGTATATTGCTGTTGACAGTGAGCGACTGAACTGAGCTTGCTACTGTGAAGCCA CAGATGGGTAGAGCAAGCACAGTTACCGCTGCCTACTGCCTCGGACTTCAAGGGG CTT-3')(配列番号 1)である。miR CCR5 標的配列は、(5'-GAGCAAGCTCAGTTACA-3')(配列番号 5)である。5 に等しい感染多重度では、細胞あたり平均で 1.25 ゲノムコピーの組み込みレンチウイルスが生成され、CCR5 発現レベルは、≥90% 低減された。これは、レンチウイルスベクターの miR30CCR5 マイクロ RNA 構築物によって、CCR5 mRNA が強力に阻害されたことを示す。

10

結論: miR30CCR5構築物は、CCR5細胞表面発現の低減に強力であり、HIVの療法用レンチウイルスのリード候補である。

13	shVif	レンチウイルス ベクター	マイクロ RNA 配 列	Vif タンパク質低減 >80%	リード
----	-------	-----------------	-----------------	---------------------	-----

ベクター構築: MWG Operon によって合成された、BsrGI および NotI 制限部位を含むオリゴヌクレオチド配列を有する Vif マイクロ RNA を構築した。オリゴヌクレオチド配列を、EF-1 プロモーターを含む pCDH レンチウイルスベクター(System Biosciences)に挿入した。配列アラインメントおよび合成 miRNA 構築の経験に基づき、miR21 ヘアピン配列を使用して、合成 miR21 Vif 配列を構築した。合成 miR21 Vif 配列は、(5'-CATCTCCATGGCTGTACCACCTTGTGGGGATGTGTACTTCTGAACCTGTGTTGAATCT CATGGAGTTTCAGAAGAACACATCCGCACTGACATTTGGTATCTTCATCTGACCA-3')(配列番号 2)である。miR Vif 標的配列は、(5'-GGGATGTGTACTTCTGAACCTT-3')(配列番号 6)である。

20

miR21Vif の効力の機能試験: miR Vif 配列が Vif 発現をノックダウンする能力を、Vif タンパク質を特定するために抗 Vif モノクローナル抗体を使用したイムノプロット分析により Vif タンパク質発現を測定することによって決定した。

30

結論:イムノプロットデータの定量的画像分析によって決定したところ、miR21Vif は、Vif タンパク質発現を ≥10 倍低減した。これは、本発明者らの療法用レンチウイルスのリード候補として、miR21Vif が妥当であることを証明するのに十分であった。

14	shTat	レンチウイルス ベクター	マイクロ RNA 配 列	Tat RNA 低減>80%	リード
----	-------	-----------------	-----------------	----------------	-----

40

50

【表 2 - 7】

ベクター構築: MWG Operon によって合成された、BsrGI および NotI 制限部位を含むオリゴヌクレオチド配列を有する Tat マイクロ RNA を構築した。マイクロ RNA クラスターを、EF-1 プロモーターを含む pCDH レンチウイルスベクター(System Biosciences)に挿入した。配列アラインメントおよび合成 miRNA 構築の経験に基づき、miR185 ヘアピン配列を、合成 miR185 Tat 配列を構築するために選択した。合成 miR185 Tat 配列は、(5'-GGGCCTGGCTCGAGCAGGGGGCGAGGGATTCCGCTTCTCCTGCCATAGCGTGGTCCCC TCCCCTATGGCAGGCAGAAGCGGCACCTCCCTCCAATGACCGCGTCTCGTCG-3')(配列番号 3)である。miR Tat 標的配列は、(5'-TCCGCTTCTCCTGCCATAG-3')(配列番号 7)である。

10

miR185Tat の効力の機能試験: miR Tat が Tat 発現をノックダウンする能力を、Tat 特異的プライマーを使用した RT-PCR 分析により Tat mRNA 発現を測定することによって決定した。本発明者らは、miR185Tat (配列番号 108) を、Tat mRNA の相対的レベルの低減に基づき、類似の miR155Tat と比較した。

20

結論: miR185Tat (配列番号 108) は、miR155Tat と比較して、Tat mRNA の低減がおよそ 2 倍強力であった。miR185Tat を、本発明者らの療法用レンチウイルスのリード候補として選択した。

15	shCCR5-shVif-shTat	レンチウイルスベクター	マイクロ RNA クラスター配列	CCR5 低減>90%、Vif タンパク質低減>80%、Tat RNA 低減>80%、>95% HIV 複製阻害	候補
----	--------------------	-------------	------------------	--	----

ベクター構築: MWG Operon によって合成された、BsrGI および NotI 制限部位を含む合成 DNA 断片を有する miR30CCR5 miR21Vif miR185Tat マイクロ RNA クラスター配列を構築した。DNA 断片を、EF-1 プロモーターを含む pCDH レンチウイルスベクター(System Biosciences)に挿入した。miR クラスター配列は、(5'-

30

AGGTATATTGCTGTTGACAGTGAGCGACTGTAAACTGAGCTTGCTACTGTGAAGCCA CAGATGGGTAGAGCAAGCACAGTTACCGCTGCCTACTGCCTCGGACTTCAAGGGGCTT CCCGGGCATCTCATGGCTGTACCACCTTGTGGGGGATGTGTACTTCTGAACCTGTGTT GAATCTCATGGAGTTCAAGAAGAACACATCCGACTGACATTGGTATCTTCATCTGAC CAGCTAGCGGGCCTGGCTCGAGCAGGGGGCGAGGGATTCCGCTTCTCCTGCCATAGCG TGGTCCCCCTCCCTATGGCAGGCAGAAGCGGCACCTCCCTCCAATGACCGCGTCTTCG TC-3')(配列番号 31)であり、試験材料 12、試験材料 13、および試験材料 14 が、EF-1 プロモーターの制御下で発現させることができる單一クラスターに組み込まれている。

40

50

【表 2 - 8】

miR30CCR5、*miR21Vif*、および*miR185Tat* のマイクロ RNA クラスターを含むレンチウイルスベクター AGT103 の効力の機能試験: AGT103 ベクターを、細胞表面 CCR5 発現低減のアッセイを使用して、CCR5 に対する効力に関して試験した(試験材料 12)。AGT103 ベクターを、細胞表面 Vif 発現低減のアッセイを使用して、Vif に対する効力に関して試験した(試験材料 13)。AGT103 ベクターを、細胞表面 Tat 発現低減のアッセイを使用して、Tat に対する効力に関して試験した(試験材料 14)。

10

結論: miRNA クラスターによる CCR5 発現低減の効力は、miR30CCR5 のみの場合に観察された効力と同様であった。miRNA クラスターによる Vif 発現低減の効力は、miR21Vif のみの場合に観察された効力と同様であった。miRNA クラスターによる Tat 発現低減の効力は、miR185Tat のみの場合に観察された効力と同様であった。miRNA クラスターは、細胞表面 CCR5 レベルの低減、および 2 つの HIV 遺伝子の阻害に強力である。したがって、この miRNA クラスターを含む AGT103 を、本発明者らの HIV 機能的治癒プログラムの療法用ベクター構築物として選択した。

20

【0242】

機能アッセイ。CCR5、Tat または Vif shRNA 配列を含み、実験目的のために、CMV 即時型初期プロモーター (CMV Immediate Early Promoter) の制御下で緑色蛍光タンパク質 (GFP) を発現し、AGT103 / CMV-GFP と命名された個々のレンチウイルスベクターを、CCR5、Tat または Vif 発現をノックダウンする能力について試験した。ポリブレンの存在下または非存在下で、レンチウイルス粒子を哺乳動物細胞に形質導入した。細胞を 2 ~ 4 日後に集めた；タンパク質および RNA を CCR5、Tat または Vif 発現について分析した。ウェスタンプロットアッセイまたは細胞を特異的蛍光抗体で標識すること (CCR5 アッセイ) によって、続いて CCR5 特異的抗体またはアイソタイプ対照抗体のいずれかを使用して変更および非変更細胞の蛍光を比較する分析フローサイトメトリーによって、タンパク質レベルを試験した。

30

【0243】

レンチウイルスの試験の開始。10% FBS および 1% ペニシリン - ストレプトマイシンを補充した RPMI 1640 を使用して、T 細胞培養培地を作製した。IL-2 10, 000 ユニット / ml、IL-12 1 μg / ml、IL-7 1 μg / ml、IL-15 1 μg / ml のサイトカインストックもまた、前もって調製した。

40

【0244】

レンチウイルスの形質導入の前に、感染性ウイルス力値を決定し、適切な感染多度 (MOI) のために加えるウイルス量を計算するために使用した。

【0245】

0 ~ 12 日目：抗原特異的濃縮：0 日目に、凍結保存した PBMC を解凍し、37 の培地 10 ml で 1200 rpm にて 10 分間洗浄し、37 の培地中で 2×10^6 個 / ml の濃度で再懸濁した。37 で 5% CO₂ 中に、24 ウェルプレート内で 0.5 ml / ウェルで細胞を培養した。最適刺激条件を定義するために、以下の表 3 に列挙される試薬の組合せで細胞を刺激した：

50

【表3-1】

表3

1	2	3	4	5	6
IL-2+IL-12	IL-7+IL-15	ペプチド + IL-2+IL-12	ペプチド + IL-7+IL-15	MVA+ IL- 2+IL-12	MVA+ IL- 7+IL-15

【0246】

最終濃度：IL-2 = 20 ユニット / ml、IL-12 = 10 ng / ml、IL-7 = 10 ng / ml、IL-15 = 10 ng / ml、ペプチド = 5 µg / ml 個々のペプチド、MVA MOI = 1。

10

【0247】

4 および 8 日目に、0.5 ml の新鮮な培地および列挙された濃度（すべての濃度は培養物中の最終濃度を示す）でのサイトカインを刺激された細胞に添加した。

【0248】

12 ~ 24 日目：非特異的な増殖およびレンチウイルスの形質導入。12 日目に、刺激された細胞をピペットでプレートから取り出し、新鮮な T 細胞培地に 1×10^6 個 / ml の濃度で再懸濁した。再懸濁した細胞を T 25 培養フラスコに移し、製造業者の取扱説明書に従って DYNABEADS (登録商標) Human T-Activator CD3 / CD28 および上に列挙したサイトカインで刺激した；フラスコを垂直位置でインキュベートした。

20

【0249】

14 日目に、AGT103 / CMV-GFP を MOI 20 で加え、培養物をインキュベーターに 2 日間で戻した。この時点で、細胞をピッティングにより回収し、1300 rpm で 10 分間の遠心分離によって集め、同じ容量の新鮮な培地に再懸濁し、再び遠心分離して緩やかな細胞ペレットを形成した。その細胞ペレットを、前のステップで使用したのと同じサイトカインを含む新鮮な培地に、1 mlあたり 0.5×10^6 個の生存可能な細胞で再懸濁した。

30

【0250】

14 ~ 23 日目まで、2 日ごとに細胞の数を評価し、細胞を新鮮な培地で 0.5×10^6 個 / ml に希釈した。サイトカインは毎回、添加された。

【0251】

24 日目に細胞を集め、ビーズを細胞から除去した。ビーズを除去するために、細胞を適切なチューブに移し、選別マグネット (sorting magnet) 中に 2 分間置いた。細胞を含む上清を新しいチューブに移した。その後、新鮮な培地中で 1 日間、 1×10^6 個 / ml で細胞を培養した。抗原特異的 T 細胞およびレンチウイルス形質導入細胞の頻度を決定するためにアッセイを実施した。

【0252】

起これり得るウイルスの増殖を阻止するために、刺激の初日および培養中の隔日にアンプレナビル (0.5 ng / ml) もしくはサキナビル (0.5 ng / ml) または別の適切なプロテアーゼもしくはインテグラーゼ阻害剤を培養物に添加した。

40

【0253】

IFN-ガンマについての細胞内サイトカイン染色により抗原特異的 T 細胞を調べる。ペプチド刺激後または 1×10^6 細胞 / ml でのレンチウイルス形質導入後の培養細胞を培地単独（陰性対照）、Gag ペプチド (5 µg / ml の個々のペプチド)、または PHA (5 µg / ml、陽性対照) で刺激した。4 時間後、BD Golgi Plug (商標) (1 : 1000、BD Biosciences) を添加して、ゴルジ輸送を遮断した。8 時間後、細胞を洗浄し、製造業者の取扱説明書に従って BD Cytotix / Cytoperm (商標) キットを用いて、細胞外 (CD3、CD4 または CD8；BD B

50

i o s c i e n c e s) 抗体および細胞内 (I F N - ガンマ ; B D B i o s c i e n c e s) 抗体で染色した。試料を B D F A C S C a l i b u r (商標) フローサイトメーターで分析した。適切なアイソタイプ適合抗体で標識された対照試料を各々の実験に含めた。データは、 F l o w j o ソフトウェアを使用して分析した。

【 0 2 5 4 】

レンチウイルスの形質導入率は、 G F P + 細胞の頻度によって決定した。形質導入された抗原特異的 T 細胞は、 C D 3 + C D 4 + G F P + I F N ガンマ + 細胞の頻度によって決定される ; C D 3 + C D 8 + G F P + I F N ガンマ + 細胞の試験は対照として含まれる。

【 0 2 5 5 】

これらの結果は、標的 T 細胞集団である C D 4 T 細胞に、 H I V 特異的タンパク質の発現を特異的にノックダウンするように設計されたレンチウイルスを用いて形質導入することができ、したがって、ウイルスに対して免疫性である T 細胞の増殖可能な集団を生成することを示す。この実施例は、 H I V 患者において機能的治癒を生じさせるために、開示されたレンチウイルス構築物が使用できることを示す概念証明となる。

【 0 2 5 6 】

(実施例 4 : 実験的ベクターでの C C R 5 ノックダウン)

A G T c 1 2 0 は、大量の C D 4 および C C R 5 を安定して発現する H e 1 a 細胞株である。 L V - C M V - m C h e r r y (C M V 即時型初期プロモーターの制御下で発現される赤色蛍光タンパク質 m C h e r r y) または A G T 1 0 3 / C M V - m C h e r r y を用いて、または用いずに、 A G T c 1 2 0 を用いて形質導入した。 m C h e r r y 蛍光タンパク質の遺伝子発現は、 C M V (サイトメガロウイルス即時型初期プロモーター) 発現カセットによって制御された。 A G T 1 0 3 / C M V - m C h e r r y が C C R 5 、 V i f および T a t に対する療法用 m i R N A を発現した一方で、 L V - C M V - m C h e r r y ベクターはマイクロ R N A クラスターを欠いていた。

【 0 2 5 7 】

図 8 A に示すように、形質導入効率は > 9 0 % であった。 7 日後、細胞を集め、 C C R 5 に対する蛍光モノクローナル抗体で染色し、分析フローサイトメトリーに供した。 C C R 5 A P C の平均蛍光強度 (x 軸) に対してモードについて規格化した細胞数 (y 軸) をプロットしたこれらのヒストグラムにおいて、アイソタイプ対照を灰色で示す。細胞表面 C C R 5 の染色後、レンチウイルス無しまたは対照レンチウイルス (m C h e r r y マーカーのみを発現する) で処理した細胞は、 C C R 5 密度の変化を示さなかった一方で、 A G T 1 0 3 (右側のセクション) は C C R 5 染色強度をほぼアイソタイプ対照のレベルまで低下させた。 7 日後、細胞を R 5 指向性 H I V レポーターウイルス B a 1 - G F P を用いてまたは用いずに感染させた。 3 日後、細胞を集め、フローサイトメトリーにより分析した。 9 0 % を超える細胞が形質導入された。 A G T 1 0 3 - C M V / C M V m C h e r r y は、形質導入された A G T c 1 2 0 細胞における C C R 5 発現を低下させ、対照ベクターで処理した細胞と比較して R 5 指向性 H I V 感染を遮断した。

【 0 2 5 8 】

図 8 B は、 H I V の感染に対してのトランスフェクトされた A G T c 1 2 0 細胞の相対非感受性を示す。上のように、レンチウイルスベクターは m C h e r r y タンパク質を発現し、また H I V に感染した形質導入細胞 (G F P を発現する) は、偽色フローサイトメトリードットプロットの右上の象限に二重陽性細胞として現れる。 H I V が存在しない場合 (上パネル) 、いかなる条件下においても G F P + 細胞は存在しなかった。 H I V 感染後 (下パネル) 、レンチウイルス形質導入の非存在下では 5 6 % の細胞が感染し、 L V - C M V - m C h e r r y を用いて形質導入された A G T c 1 2 0 細胞では 5 3 . 6 % の細胞が感染した。療法用 A G T 1 0 3 / C M V - m C h e r r y ベクターを用いて細胞に形質導入した場合、 0 . 8 3 % の細胞のみが二重陽性の象限に現れ、このことはそれらが形質導入され、感染したことを示している。

【 0 2 5 9 】

5 3 . 6 2 (対照ベクターとの二重陽性細胞の割合) を 0 . 8 3 (療法用ベクターとの

10

20

30

40

50

二重陽性細胞の割合)で割ると、A G T 1 0 3 がこの実験システムにおいてH I Vに対して65倍を超える防御を提供したことが示される。

【0260】

(実施例5：レンチウイルスベクターのs h R N A 阻害剤配列によるC C R 5 発現の調節)

阻害性R N A 設計。ホモ・サピエンス (*Homo sapiens*) ケモカイン受容体 C C R 5 (C C R 5 、 N C 0 0 0 0 0 3 . 1 2) の配列を使用して、ヒト細胞のC C R 5 レベルをノックダウンするための潜在的なs i R N A またはs h R N A 候補を探索した。潜在的R N A 干渉配列は、B r o a d I n s t i t u t e からなどのs i R N A またはs h R N A 設計プログラムまたはT hermo S c i e n t i f i c からのB L O C K - I T R N A i D e s i g n e r によって選択された候補から選択した。s h R N A 配列は、s h R N A 発現を調節するために、H 1 、 U 6 、または7 S K などの、プラスミドのR N A ポリメラーゼI I I プロモーターの直後に挿入してもよい。また、s h R N A 配列は、類似のプロモーターが使用されているレンチウイルスベクターに挿入してもよく、またはC M V もしくはE F - 1 アルファなどのR N A ポリメラーゼI I プロモーターによる発現を可能にするために、マイクロR N A 骨格内に埋め込んでもよい。R N A 配列はまた、s i R N A オリゴヌクレオチドとして合成され、プラスミドまたはレンチウイルスベクターとは独立して利用されてもよい。

10

【0261】

プラスミド構築。C C R 5 s h R N A について、B a m H I およびE c o R I 制限部位を含むオリゴヌクレオチド配列が、M W G O p e r o n によって合成された。オリゴヌクレオチド配列を、7 0 でインキュベーションすることによってアニールさせ、その後室温に冷却した。アニールさせたオリゴヌクレオチドを、制限酵素B a m H I およびE c o R I で、3 7 で1時間、消化し、その後、酵素を7 0 で2 0 分間不活化した。並行して、プラスミドD N A を、3 7 で1時間、制限酵素B a m H I およびE c o R I で消化した。消化したプラスミドD N A をアガロースゲル電気泳動で精製し、I n v i t r o g e n のD N A ゲル抽出キットを使用してゲルから抽出した。D N A 濃度を決定し、血漿 (plasma) をオリゴヌクレオチド配列に、3 : 1 のインサート対ベクター比でライゲーションした。ライゲーション反応はT 4 D N A リガーゼを用いて室温で3 0 分間実施した。2 . 5 μ L のライゲーションミックスを2 5 μ L のS T B L 3 コンピテント細菌細胞に添加した。形質転換には、4 2 でのヒートショックが必要であった。アンピシリンを含有する寒天プレート上に細菌細胞を広げ、コロニーを、L ブロスで増殖させた。オリゴ配列の挿入をチェックするために、I n v i t r o g e n D N A ミニプレップキットを使用して、収穫した細菌培養物からプラスミドD N A を抽出し、制限酵素消化で試験した。プラスミドへのs h R N A 配列の挿入は、s h R N A 発現を調節するために使用されるプロモーターに特異的なプライマーを使用してD N A 配列決定によって確認した。

20

【0262】

C C R 5 m R N A 低減の機能アッセイ：C C R 5 発現阻害のアッセイには、2つのプラスミドの同時トランスフェクションが必要であった。第1のプラスミドは、C C R 5 m R N A に対する5つの異なるs h R N A 配列の1つを含む。第2のプラスミドは、ヒトC C R 5 遺伝子のc D N A 配列を含む。プラスミドを、2 9 3 T 細胞に同時トランスフェクトした。4 8 時間後に細胞を溶解し、Q i a g e n のR Ne a s y キットを使用してR N A を抽出した。I n v i t r o g e n のS u p e r S c r i p t キットを使用して、R N A からc D N A を合成した。その後、A p p l i e d B i o s y s t e m s S t e p O n e P C R 機を使用して、定量的R T - P C R によって試料を分析した。C C R 5 発現は、ポリメラーゼ連鎖反応分析の標準的条件で、フォワードプライマー (5' - A G G A A T T G A T G G C G A G A A G G - 3') (配列番号9 3) およびリバースプライマー (5' - C C C C A A A G A A G G T C A A G G T A A T C A - 3') (配列番号9 4) を使用して、I n v i t r o g e n のS Y B R グリーンを用いて検出した。試料は、ポリメラーゼ連鎖反応分析の標準的条件で、フォワードプライマー (5' - A G C G C G G C T A

30

40

50

C A G C T T C A - 3') (配列番号 95) およびリバースプライマー (5' - G G C G A C G T A G C A C A G C T T C T - 3') (配列番号 96) を使用して、ベータアクチン遺伝子発現の m R N A に対して正規化した。 C C R 5 m R N A の相対的発現は、各試料のアクチンメッセンジャー R N A のレベルに対して正規化されたその C t 値によって決定した。結果は、図 9 に示されている。

【 0 2 6 3 】

図 9 A に示されているように、 C C R 5 s h R N A 構築物および C C R 5 発現プラスミドの同時トランスフェクションによって、 C C R 5 ノックダウンを 293 T 細胞で試験した。対照試料に、いかなるヒト遺伝子も標的としないスクランブル s h R N A 配列および C C R 5 発現プラスミドをトランスフェクトした。トランスフェクションの 60 時間後、試料を収穫し、 C C R 5 m R N A レベルを定量的 PCR によって測定した。さらに、図 9 B に示されているように、 C C R 5 s h R N A - 1 (配列番号 16) を発現するレンチウイルスを用いて形質導入した後、 C C R 5 はノックダウンされた。

10

【 0 2 6 4 】

(実施例 6 : レンチウイルスベクターの s h R N A 阻害剤配列による H I V 成分の調節)
阻害性 R N A 設計。

H I V 1 型 Rev / Tat (5' - G C G G A G A C A G C G A C G A A G A G C - 3') (配列番号 9) および Gag (5' - G A A G A A A T G A T G A C A G C A T - 3') (配列番号 11) の配列を使用して、

20

【 化 4 9 】

Rev/Tat:

(5'GCGGAGACAGCGACGAAGAGCTTCAAGAGAGCTCTCGTCGCTGTCTCCGCTTT
TT-3') (配列番号 10) および

Gag:

(5'GAAGAAATGATGACAGCATTCAAGAGAATGCTGTCATTTCTTCTTTT-3')
(配列番号 12)

s h R N A を設計し、それらを合成し、上記に記載のようにプラスミドにクローニングした。

30

【 0 2 6 5 】

プラスミド構築。 Rev / Tat または Gag 標的配列を、細胞または組織における遺伝子発現のレポーターとして一般に使用されるホタルルシフェラーゼ遺伝子の 3' UTR (非翻訳領域) に挿入した。加えて、1つのプラスミドを、 Rev / Tat s h R N A を発現するように構築し、第 2 のプラスミドを、 Gag s h R N A を発現するように構築した。プラスミド構築は、上記に記載されている通りであった。

【 0 2 6 6 】

Rev / Tat または Gag m R N A の s h R N A 標的化の機能アッセイ：プラスミド同時トランスフェクションを使用して、本発明者らは、 s h R N A プラスミドがルシフェラーゼメッセンジャー R N A を分解することができるか否か、および同時トランスフェクトされた細胞の発光の強度を減少させることができるか否かを試験した。 s h R N A 対照 (スクランブル配列) を使用して、ルシフェラーゼをトランスフェクトした細胞からの光の最大発生量を確立した。 3' - UTR (m R N A の非翻訳領域) に挿入された Rev / Tat 標的配列を含むルシフェラーゼ構築物を、 Rev / Tat s h R N A 配列と共に同時トランスフェクトした場合、発光のほぼ 90% 低減がもたらされ、 s h R N A 配列の機能が強力であることが示された。 3' - UTR に Gag 標的配列を含むルシフェラーゼ構築物を、 Gag s h R N A 配列と同時トランスフェクトした場合も、同様の結果が得られた。これらの結果は、 s h R N A 配列の活性が強力であることを示す。

40

【 0 2 6 7 】

50

図10Aに示されているように、Rev/Tat標的遺伝子のノックダウンを、293T細胞の一過性トランスフェクションにより、3'UTRの標的mRNA配列と融合されていたルシフェラーゼの活性の低減によって測定した。図10Bに示されているように、ルシフェラーゼ遺伝子と融合されていたGag標的遺伝子配列がノックダウンされた。結果は、各々三連での3回の独立したトランスフェクション実験の平均±SDとして表示されている。

【0268】

(実施例7：AGT103は、TatおよびVifの発現を減少させる)

例示的ベクターAGT103/CMV-GFPを細胞にトランスフェクトした。AGT103および他の例示的ベクターは、以下の表3に定義される。

【表3-2】

表3

ベクター名	組成
AGT103	EF1-miR30CCR5-miR21Vif-miR185-Tat-WPRE
対照-mCherry	CMV-mCherry
AGT103/CMV-mCherry	CMV-mCherry-EF1-miR30CCR5-miR21Vif-miR185-Tat-WPRE-
対照-GFP	CMV-mCherry
AGT103/CMV-GFP	CMV-GFP-EF1-miR30CCR5-miR21Vif-miR185-Tat-WPRE-

略語：

EF-1:伸長因子1転写プロモーター

miR30CCR5- 細胞表面のCCR5タンパク質を低減させることができる合成マイクロRNA

miR21Vif-HIV RNA および Vifタンパク質発現のレベルを低減させることができる合成マイクロRNA

miR185Tat-HIV RNA および Tatタンパク質発現のレベルを低減させることができる合成マイクロRNA

CMV- ヒトサイトメガロウイルス由来の即時型初期転写プロモーター

mCherry-Cherry 赤色蛍光タンパク質のコーディング領域

GFP- 緑色蛍光タンパク質のコーディング領域

WPRE- ウッドチャック肝炎ウイルス転写後調節エレメント

【0269】

Tリンパ芽球様細胞株(CEM; CCRF-CEM; アメリカ合衆国培養細胞系統保存機関カタログ番号CCL119)にAGT103/CMV-GFPを用いて形質導入した。48時間後、ウイルス配列全体をコードする HIV発現プラスミドを細胞にトランスフェクトした。24時間後、RNAを細胞から抽出し、逆転写酵素ポリメラーゼ連鎖反応を使用してインタクトなTat配列のレベルについて試験した。インタクトなTat RNAの相対発現レベルは、図11に示すように、対照レンチウイルスベクターの存在下でのおよそ850から、AGT103/CMV-GFPの存在下でのおよそ200に減少し、>4倍減少した。

【0270】

(実施例8：レンチウイルスベクターの合成マイクロRNA配列によるHIV成分の調節)

阻害性RNA設計。HIV-1 TatおよびVif遺伝子の配列を使用して、ヒト細

10

20

30

40

50

胞においてTatまたはVifレベルをノックダウンする潜在的siRNAまたはshRNA候補を探査した。潜在的RNA干渉配列は、Broad InstituteからのsiRNAまたはshRNA設計プログラムまたはThermo Scientific iCからのBLOCK-IT RNA designerによって選択された候補から選んだ。TatまたはVifノックダウンが最も強力な、選択されたshRNA配列を、CMVまたはEF-1アルファなどのRNAポリメラーゼIIプロモーターによる発現が可能になるように、マイクロRNA骨格内に埋め込んだ。また、RNA配列を、siRNAオリゴヌクレオチドとして合成し、プラスミドまたはレンチウイルスベクターとは独立して使用してもよい。

【0271】

プラスミド構築。Tat標的配列(5'-TCCGCTTCCTGCCATAGCGTGGT-3')（配列番号7）をmiR185骨格に組み込んで、Tat miRNA

【化50】

(5'-

GGGCCTGGCTCGAGCAGGGGGCGAGGGATTCCGCTTCTCCTGCCATAGCGTGGT
CCCCTCCCCTATGGCAGGCAGAACGGCACCTCCCTCCAATGACCGCGTCTTCG
TCG-3')(配列番号3)

を作出し、それをレンチウイルスベクターに挿入し、EF-1アルファプロモーターの制御下で発現させた。同様に、Vif標的配列(5'-GGGATGTGTACTTCTGA
ACTT-3')（配列番号6）をmiR21骨格に組み込んで、Vif miRNA
【化51】

(5'-

CATCTCCATGGCTGTACCACCTTGTGGGGATGTGTACTTCTGAACTTGTGTTGA
ATCTCATGGAGTTCAAGAACACATCCGCACTGACATTGGTATTTCATCTG
ACCA-3')(配列番号2)

を作出し、それをレンチウイルスベクターに挿入し、EF-1アルファプロモーターの制御下で発現させた。得られたVif/Tat miRNA発現レンチウイルスベクターを、レンチウイルスベクターパッケージングシステムを使用して293T細胞中で產生させた。VifおよびTat miRNAは、すべてEF-1プロモーターの制御下で発現されるmiR CCR5、miR Vif、およびmiR Tatで構成されるマイクロRNAクラスターに埋め込まれていた。

【0272】

Tat mRNA蓄積のmiR185 Tat阻害の機能アッセイ。miR185 Tatを発現するレンチウイルスベクター(LV-EF1-miR-CCR5-Vif-Tat)を、5と等しい感染多重度で使用して293T細胞に形質導入した。形質導入の24時間後、細胞に、Lipofectamine 2000を標準的条件下で使用して、HIV株NL4-3(pNL4-3)を発現するプラスミドをトランスフェクトした。24時間後、RNAを抽出し、TatメッセンジャーRNAのレベルを、Tat特異的プライマーを使用してRT-PCRによって試験し、対照のアクチンmRNAレベルと比較した。

【0273】

Vifタンパク質蓄積のmiR21 Vif阻害の機能アッセイ。miR21 Vifを発現するレンチウイルスベクター(LV-EF1-miR-CCR5-Vif-Tat)を、5と等しい感染多重度で使用して、293T細胞に形質導入した。形質導入の24時間後、Lipofectamine 2000を使用して、HIV株NL4-3(pNL4-3)を発現するプラスミドを細胞にトランスフェクトした。24時間後、細胞を溶解し、全可溶性タンパク質を試験して、Vifタンパク質の含有量を測定した。細胞溶解物を

10

20

30

40

50

、確立されている技術に従って SDS - PAGE によって分離した。分離されたタンパク質を、ナイロン膜に転写し、Vif 特異的モノクローナル抗体またはアクチン対照抗体を用いてプロープした。

【0274】

図 12 A に示されているように、Tat ノックダウンを、対照レンチウイルスベクター、または合成 miR185 Tat もしくは miR155 Tat マイクロ RNA のいずれかを発現するレンチウイルスベクターのいずれかを形質導入した 293T 細胞中で試験した。24 時間後、HIV ベクター pNL4-3 を、Lipofectamine 2000 を用いて 24 時間にわたってトランスフェクトし、その後、Tat 用のプライマーを用いて qPCR 分析するために RNA を抽出した。図 12 B に示されているように、Vif ノックダウンを、対照レンチウイルスベクター、または合成 miR21 Vif マイクロ RNA を発現するレンチウイルスベクターのいずれかを形質導入した 293T 細胞中で試験した。24 時間後、HIV ベクター pNL4-3 を、Lipofectamine 2000 を用いて 24 時間にわたってトランスフェクトし、その後、HIV Vif に対する抗体を用いてイムノプロット分析するためにタンパク質を抽出した。
10

【0275】

(実施例 9 : レンチウイルスベクターの合成マイクロ RNA 配列によるCCR5 発現の調節)

CEM - CCR5 細胞に、CCR5 の合成 miR30 配列を含むレンチウイルスベクター (AGT103 : TGTAAACTGAGCTTGCTCTA (配列番号 97) 、 AGT103 - R5 - 1 : TGTAAACTGAGCTTGCTCGC (配列番号 98) 、または AGT103 - R5 - 2 : CATAGATTGGACTTGACAC (配列番号 99)) を形質導入した。6 日後、CCR5 発現を、APC コンジュゲート CCR5 抗体での FACS 分析によって決定し、平均蛍光強度 (MFI) によって定量化した。CCR5 レベルは、LV - 対照を 100 % とした場合の CCR5 の % として表した。AGT103 および AGT103 - R5 - 1 の標的配列は、CCR5 標的配列 #5 と同じ領域にある。AGT103 - R5 - 2 の標的配列は、CCR5 標的配列 #1 と同じである。AGT103 (全 CCR5 の 2 %) は、AGT103 - R5 - 1 (全 CCR5 の 39 %) 、および CCR5 レベルを低減させなかった AGT103 - R5 - 2 と比較して、CCR5 レベルの低減に最も有効である。データは、本明細書の図 13 に実証されている。
20
30

【0276】

(実施例 10 : 長鎖または短鎖 WPRE 配列のいずれかを含むレンチウイルスベクターの合成マイクロ RNA 配列によるCCR5 発現の調節。)

ベクター構築。レンチウイルスベクターは、治療用遺伝子または遺伝子構築物を最適に発現させるための RNA 調節エレメントを必要とすることが多い。一般的な選択は、ウッドチャック肝炎ウイルス転写後調節エレメント (WPRE) を使用することである。本発明者らは、全長 WPRE :

【化 5 2】

(5' AATCAACCTCTGATTACAAAATTGTGAAAGATTGACTGGTATTCTTAACATATG
 TTGCTCCTTTACGCTATGTGGATACGCTGCTTAATGCCTTGTATCATGCTATTG
 CTTCCCGTATGGCTTCATTTCCTCCTGTATAAATCCTGGTGCTGTCTCTTA
 TGAGGAGTTGTGGCCCCTGTCAGGCAACGTGGCGTGGTGTGCACTGTGTTGCTG
 ACGCAACCCCCACTGGTTGGGCATTGCCACCACCTGTCAAGCTCCTTCCGGGACT
 TTCGCTTCCCCCTCCCTATTGCCACGGCGGAACTCATGCCGCCTGCCTGCCCGC
 TGCTGGACAGGGGCTCGGCTGTTGGCACTGACAATTCCGTGGTGTGTCGGGGA
 AATCATCGTCCTTCCTGGCTGCTCGCCTGTGTTGCCACCTGGATTCTGCGCGGA
 CGTCCTCTGCTACGTCCCTCGGCCCTCAATCCAGCGGACCTCCTCCCGCGGCC
 TGCTGCCGGCTCTGCCCTTCCCGTCTCGCCCTGCCCTCAGACGAGTCGG
 ATCTCCCTTGGGCCGCCTCCCCGCCT-3') (配列番号 32)

10

を含む A G T 1 0 3 を、短縮された W P R E エレメント

【化 5 3】

(5' AATCAACCTCTGGATTACAAAATTGTGAAAGATTGACTGATATTCTTAACATAT
 GTTGCTCCTTTACGCTGTGGATATGCTGCTTAATGCCTCTGTATCATGCTATT
 GCTTCCCGTACGGCTTCGTTCTCCTCCTGTATAAATCCTGGTGCTGTCTCTTT
 ATGAGGAGTTGTGGCCCCTGTCGTCAACGTGGCGTGGTGTGCTCTGTGTTGCT
 GACGCAACCCCCACTGGCTGGGCATTGCCACCACCTGTCAACTCCTTCTGGGAC
 TTTCGCTTCCCCCTCCGATGCCACGGCAGAACATCGCCGCCTGCCTGCC
 GCTGCTGGACAGGGGCTAGGTTGCTGGCACTGATAATTCCGTGGTGTGTC-3')

20

(配列番号 80)

30

を含む改変 A G T 1 0 3 ベクターと比較した。

【 0 2 7 7】

ベクター配列内の長鎖 W P R E エレメント 対 短鎖 W P R E エレメントの関数としての、細胞表面 C C R 5 発現モジュレーションの機能アッセイ。長鎖または短鎖 W P R E エレメントを含む A G T 1 0 3 を、5 と等しい感染多重度で C E M - C C R 5 T 細胞に形質導入するために使用した。形質導入の 6 日後、細胞を集め、細胞表面 C C R 5 タンパク質を検出することができるモノクローナル抗体で染色した。抗体は、蛍光マーカーにコンジュゲートされていた。染色強度は、細胞表面の C C R 5 のレベルに正比例する。対照レンチウイルスは、細胞表面 C C R 5 レベルに影響を及ぼさず、73.6 単位の平均蛍光強度を有する単一集団をもたらした。長鎖 W P R E エレメントを有する従来の A G T 1 0 3 は、C C R 5 発現を 11 単位の平均蛍光強度レベルに低減させた。短鎖 W P R E エレメントを組み込むように改変された A G T 1 0 3 は、13 単位の平均蛍光強度を有する細胞の単一集団をもたらした。したがって、短鎖 W P R E エレメントの置換は、A G T 1 0 3 が細胞表面 C C R 5 の発現を低減させる能力にほとんどまたはまったく影響を及ぼさなかった。

40

【 0 2 7 8】

図 14 に示されているように、C E M - C C R 5 細胞に、長鎖または短鎖 W P R E 配列のいずれかを含む A G T 1 0 3 を形質導入した。6 日後、C C R 5 発現を、A P C コンジュゲート C C R 5 抗体を用いた F A C S 分析によって決定し、平均蛍光強度 (M F I) として定量化した。C C R 5 レベルは、L V - 対照を 100 %とした場合の C C R 5 の % として表した。C C R 5 レベルの低減は、短鎖 (全 C C R 5 の 5.5 %) または長鎖 (全 C

50

C R 5 の 2 . 3 %) W P R E 配列のいずれかを有する A G T 1 0 3 について類似していた。

【 0 2 7 9 】

(実施例 1 1 : W P R E 配列を含むまたは含まないレンチウイルスベクターの合成マイクロ R N A 配列による C C R 5 発現の調節)

ベクター構築。 C C R 5 発現の A G T 1 0 3 下方調節に W P R E が必要か否かを試験するために、本発明者らは、 W P R E エレメント配列を含まない改変ベクターを構築した。

【 0 2 8 0 】

A G T 1 0 3 ベクターに長鎖 W P R E エレメントを含む場合またはそれを含まない場合の関数としての、細胞表面 C C R 5 発現モジュレーションの機能アッセイ。 C C R 5 発現レベルの A G T 1 0 3 モジュレーションに W P R E が必要であるか否かを試験するために、本発明者らは、 5 と等しい感染多重度を使用して、 A G T 1 0 3 または W P R E を欠如する改変ベクターを用いて C E M - C C R 5 T 細胞に形質導入した。形質導入の 6 日後、細胞を集め、細胞表面 C C R 5 タンパク質を認識することができるモノクローナル抗体で染色した。モノクローナル抗体は、蛍光マーカーに直接コンジュゲートされていた。染色強度は、細胞表面あたりの C C R 5 分子の数に正比例する。レンチウイルス対照ベクターは、細胞表面 C C R 5 レベルに影響を及ぼさず、 1 6 4 の平均蛍光強度を有する均一な集団をもたらした。レンチウイルスベクター（長鎖 W P R E を有し、さらに G F P マーカータンパク質を発現する A G T 1 0 3 ）、 G F P を欠如するが、長鎖 W P R E エレメントを含む A G T 1 0 3 、または G F P および W P R E を両方とも欠如する A G T 1 0 3 はすべて、細胞表面 C C R 5 発現モジュレーションに同様に有効であった。 G F P を除去した後では、 W P R E エレメントを含むまたは含まない A G T 1 0 3 は、細胞表面 C C R 5 発現をモジュレーションするそれらの能力の点からは識別不能であった。

【 0 2 8 1 】

C E M - C C R 5 細胞に、 G F P および W P R E を含むまたは含まない A G T 1 0 3 を形質導入した。6日後、 C C R 5 発現を、 A P C コンジュゲート C C R 5 抗体を用いた F A C S 分析によって決定し、平均蛍光強度 (M F I) として定量化した。 C C R 5 レベルは、 L V - 対照を 1 0 0 % とした場合の C C R 5 の % として表した。 C C R 5 レベルの低減は、 W P R E 配列を含む（全 C C R 5 の 0 % ）または含まない（全 C C R 5 の 0 % ） A G T 1 0 3 について類似していた。データは、図 1 5 に実証されている。

【 0 2 8 2 】

(実施例 1 2 : レンチウイルスベクターの C D 4 プロモーター調節性合成マイクロ R N A 配列による C C R 5 発現の調節)

ベクター構築。改変バージョンの A G T 1 0 3 を構築して、 C C R 5 、 V i f 、および T a t 遺伝子発現を抑制するマイクロ R N A クラスターを発現するために、代替的プロモーターを代用した場合の効果を試験した。本発明者らは、通常の E F - 1 プロモーターの代わりに、以下の配列を使用して、 C D 4 糖タンパク質を発現させるための T 細胞特異的プロモーターを代用した：

10

20

30

40

50

【化 5 4】

(5'TGTTGGGGTCAAATTGAGCCCCAGCTGTTAGCCCTCTGCAAAGAAAAAAA
 AAAAAAAAAGAACAAAGGGCCTAGATTCCTCTGAGCCCCACCCCTAAGATGAA
 GCCTCTTCAAGGGAGTGGGGTGGAGGCAGCTGTGAGCTTGCT
 CTCTCTGTGGCTGGCAGTTCTCAAAGGGTAACAGGTGTCAGCTGGCTGAGCCTA
 GGCTGAACCCTGAGACATGCTACCTCTGTCTCATGGCTGGAGGCAGCCTTG
 AAGTCACAGAAAGTAGCTGAGGGCTCTGGAAAAAGACAGCCAGGGTGGAGGT
 AGATTGGTCTTGACTCCTGATTAAAGCCTGATTCTGCTTAACCTTCCCTGACT
 TTGGCATTTCACTTGACATGTTCCCTGAGAGCCTGGGGGTGGGAACCCAGCT
 CCAGCTGGTGACGTTGGGCCGGCCCAGGCCTAGGGTGTGGAGGAGCCTGCCA
 TCGGGCTTCCTGTCTCTCATTTAACGACACTGCAGA-3') (配列番号 30)

10

【 0 2 8 3 】

細胞表面 C C R 5 タンパク質発現を低減するための効力の点で、 E F - 1 および C D 4 遺伝子プロモーターを比較する機能アッセイ。通常の E F - 1 プロモーターの代わりに C D 4 遺伝子プロモーターを使用することによって改変された A G T 1 0 3 を、 C E M - C C R 5 T 細胞の形質導入に使用した。形質導入の 6 日後、細胞を集め、細胞表面 C C R 5 タンパク質を認識することができるモノクローナル抗体で染色した。モノクローナル抗体は、蛍光マーカーにコンジュゲートされていた。染色強度は、細胞表面 C C R 5 タンパク質のレベルに正比例する。対照レンチウイルス形質導入は、 C C R 5 特異的モノクローナル抗体で染色され、 8 1 . 7 単位の平均蛍光強度を示した C E M - C C R 5 T 細胞の集団をもたらした。マイクロ R N A を発現するために E F - 1 プロモーターの代わりに C D 4 遺伝子プロモーターが使用された改変 A G T 1 0 3 は、幅広い染色分布を示し、平均蛍光強度はおよそ 1 7 . 3 単位と等しかった。この結果に基づくと、 E F - 1 プロモーターは、マイクロ R N A 発現用の C D 4 遺伝子プロモーターと少なくとも同様であり、それよりも優れている可能性がある。所望の標的細胞集団にもよるが、 E F - 1 プロモーターは、すべての細胞タイプで普遍的に活性であり、 C D 4 プロモーターは、 T リンパ球でしか活性ではない。

20

【 0 2 8 4 】

C E M - C C R 5 細胞に、 C C R 5 、 V i f 、および T a t に対する合成マイクロ R N A 配列を調節する C D 4 プロモーターを含むレンチウイルスベクター (A G T 1 0 3) を形質導入した。6日後、 C C R 5 発現を、 A P C コンジュゲート C C R 5 抗体を用いた F A C S 分析によって決定し、平均蛍光強度 (M F I) として定量化した。 C C R 5 レベルは、 L V - 対照を 1 0 0 % とした場合の C C R 5 の % として表した。 L V - C D 4 - A G T 1 0 3 を形質導入した細胞では、 C C R 5 レベルは全 C C R 5 の 1 1 % であった。これは、 E F 1 プロモーターを含む L V - A G T 1 0 3 で観察されたものと同等である。このデータは、図 1 6 に実証されている。

30

【 0 2 8 5 】

(実施例 1 3 : H I V G a g 特異的 C D 4 T 細胞の検出)

細胞および試薬。生存凍結末梢血単核細胞 (P B M C) を、ワクチン会社から得た。データは、候補 H I V 療法用ワクチンを試験する初期段階臨床試験 (試験登録 : c l i n i c a l t r i a l s . g o v N C T 0 1 3 7 8 1 5 6) に登録されている H I V + 個体に由来する代表的な検体を用いて得られた。「ワクチン接種前」および「ワクチン接種後」研究のために、2つの検体を得た。細胞培養産物、補充物、およびサイトカインは、商業的供給業者からのものであった。細胞を、 Thompson, M. 、 S. L. Heath, B. Sweeton, K. Williams, P. Cunningham, B. F. Keele, S. Sen, B. E. Palmer, N. Chomont, Y. Xu, R. Basu, M. S. Hellerstein, S. Kwa、および H. L. Robins

40

50

on(2016年)。「DNA/MVA Vaccination of HIV-1 Infected Participants with Viral Suppression on Antiretroviral Therapy, followed by Treatment Interruption: Elicitation of Immune Responses without Control of Re-Emergent Virus.」PLoS One 11巻(10号):e0163164頁に記載されているように、GeoVax Corporationの組換え改変Vaccinia Ankara 63Bに対する応答について試験した。HIV-1 Gagポリタンパク質全体を表す合成ペプチドを、GeoVaxから得た。または、HIV(GAG)Ultraペプチドセットを、JPT Peptide Technologies GmbH(www.jpt.com)、Berlin、Germanyから得た。HIV(GAG)Ultraは、各々長さが15アミノ酸であり、11個アミノ酸が重複している150個のペプチドを含む。それらは、化学的に合成された後、精製され、液体クロマトグラフィー-質量分析によって分析されていた。一緒にすると、これらのペプチドは、HIV Gagポリタンパク質の主要な免疫原領域を表し、公知HIV株の間での57.8%の平均カバレッジ(average coverage)のために設計されている。ペプチド配列は、ロスアラモス国立研究所(<http://www.hiv.lanl.gov/content/sequence/NEWALIGN/align.html>)のHIV配列データベースに基づく。ペプチドは、ペプチドあたり25マイクログラムの乾燥トリフルオロ酢酸塩として提供されている。それを、およそ40マイクロリットルのDMSOに溶解し、PBSで終濃度に希釈する。CD4および細胞質IFN-ガンマを検出するためのモノクローナル抗体を商業的供給源から得た。細胞内染色は、インターフェロン-ガンマ用のBD Pharmingen細胞内染色キットで実施した。ペプチドを、DMSOに再懸濁した。本発明者らは、DMSOのみの対照条件を含める。

【0286】

HIV特異的CD4+T細胞を検出するための機能アッセイ。凍結PBMCを解凍し、洗浄し、10%ウシ胎仔血清、補充物、およびサイトカインを含む RPMI培地に再懸濁した。ワクチン接種前または接種後に集めた培養PBMCを、DMSO対照、MVA GeoVax(細胞あたり1ブラーク形成単位と等しい感染多度)、ペプチドGeoVax(1マイクログラム/ml)、またはHIV(GAG)Ultraペプチド混合物(1マイクログラム/ml)で、Golgi Stop試薬の存在下にて20時間処理した。細胞を集め、洗浄し、固定し、透過化し、細胞表面CD4または細胞内インターフェロン-ガンマに特異的なモノクローナル抗体で染色した。染色した細胞を、FACS Calibur分析用フローサイトメーターで分析した。データは、CD4+T細胞サブセットをゲートしたものであった。四角で囲まれている領域内の強調されている細胞は、二重陽性であり、MVAまたはペプチド刺激後のインターフェロン-ガンマ発現に基づき、HIV特異的CD4 T細胞であると指定した。四角で囲まれている領域内の数値は、HIV特異的であると特定された全CD4のパーセンテージを示す。本発明者らは、DMSOまたはMVAに対する強い応答を検出しなかった。GeoVaxのペプチドは、JPTのHIV(GAG)Ultraペプチド混合物と比較して、より少ない応答性細胞を誘発したが、違いは小さく、有意ではなかった。

【0287】

図17に示されているように、ワクチン接種前または接種後のHIV陽性患者に由来するPBMCを、DMSO(対照)、GeoVaxのHIV Gagを発現する組換えMVA(MVA GeoVax)、GeoVaxのGagペプチド(Pep GeoVax、本明細書ではGagペプチドプール1とも呼ばれる)またはJPTのGagペプチド(HIV(GAG)Ultraペプチド混合物、本明細書ではGagペプチドプール2とも呼ばれる)で20時間にわたって刺激した。IFNg産生を、標準的プロトコールを使用した細胞内染色およびフローサイトメトリーによって検出した。フローサイトメトリーデータは、CD4 T細胞をゲートしたものである。四角内に表示されている数値は、抗原特異的刺激に対するサイトカイン応答に基づき、「HIV特異的」であると指定された全CD4 T細胞のパーセンテージである。

10

20

30

40

50

【0288】

(実施例14：HIV特異的CD4+T細胞増殖およびレンチウイルス形質導入)
PBM Cを濃縮してHIV特異的CD4+T細胞の割合を増加させ、それらの細胞にAGT103を形質導入して細胞産物AGT103Tを產生するための方法の設計および試験。療法用HIVワクチンを受けたHIV陽性患者に由来するPBM C(末梢血単核細胞)をex vivo培養するためのプロトコールを設計した。この実施例では、療法用ワクチンは、HIV Gag、Pol、およびEnv遺伝子を発現する3用量のプラスミドDNA、その後の、同じHIV Gag、Pol、およびEnv遺伝子を発現する2用量のMVA 62-B(変形vaccinia Ankaraナンバー62-B)で構成されていた。プロトコールは、ワクチン産物に特定されず、免疫化後に十分なレベルのHIV特異的CD4+T細胞を必要とするに過ぎない。静脈血を集め、PBM Cを、Ficoll - Paque密度勾配遠心分離によって精製した。代替的には、PBM Cまたは規定された細胞トラクション(traction)は、抗体カクテルおよび蛍光活性化または磁気ビーズ選別を使用して、ポジティブまたはネガティブ選択法によって調製してもよい。精製したPBM Cを、洗浄し、補充物、抗生物質、およびウシ胎仔血清を含む標準的培地中で培養する。これらの培養物に、HIV Gagポリタンパク質内の考え得るT細胞エピトープを表す合成ペプチドのプールを添加した。インターロイキン-2およびインターロイキン-12、インターロイキン2およびインターロイキン-7、インターロイキン-2およびインターロイキン-15の組合せを試験した後で選択したサイトカイン、インターロイキン2およびインターロイキン-12を添加することにより培養物を補充する。ペプチド刺激を行い、その後およそ12日間の培養を行う。12日間の培養中、新鮮な培地および新鮮なサイトカイン補充物を、およそ4日に1回添加した。

10

20

30

【0289】

ペプチド刺激間隔は、PBM C培養物中のHIV特異的CD4+T細胞の頻度を増加させるように設計されている。これらのHIV特異的CD4+T細胞は、以前の療法的免疫化によって活性化された。それらは、合成ペプチド曝露によって再刺激し、増殖させることができる。本発明者らの目標は、ペプチド刺激培養期間の終了時までに、HIVに特異的な全CD4+T細胞が1%よりも多いかまたは1%と等しくなることを達成することである。

【0290】

培養のおよそ12日目に、細胞を洗浄して残留物質を除去し、その後、CD4+T細胞表面タンパク質CD3およびCD28に対する抗体で修飾されている合成ビーズで刺激する。T細胞をポリクローナル刺激するためのこの十分に確立されている方法は、細胞を再活性化し、それらをAGT103レンチウイルス形質導入に対してより感受性にするであろう。培養のおよそ13日目に、1~5の感染多重度を使用して、レンチウイルス形質導入を実施する。形質導入後、細胞を洗浄して残留レンチウイルスベクターを除去し、インターロイキン-2およびインターロイキン-12を含む培地中で培養し、培養のおよそ24日目までおよそ4日に1回、新鮮な培地およびサイトカインを添加する。

【0291】

培養間隔の全体にわたって、抗レトロウイルス薬サキナビルを、およそ100nMの濃度で添加して、可能性のあるHIVのあらゆる増殖を抑制する。

40

【0292】

培養のおよそ24日目に、細胞を収穫し、洗浄し、効力およびリリースアッセイ用の試料を確保し、次に残りの細胞を凍結保存培地に懸濁してから、AGT103が形質移入されているおよそ 1×10^8 個のHIV特異的CD4+T細胞が含まれることになる用量あたりおよそ 1×10^{10} 細胞の單一アリコートとして凍結する。

【0293】

細胞産物(AGT103T)の効力を、2つの代替的効力アッセイの1つで試験する。効力アッセイ1では、CD4+T細胞あたりの平均ゲノムコピー数(組み込みAGT103ベクター配列)が試験される。産物をリリースするための最低限の効力は、CD4+T

50

細胞あたりおよそ 0 . 5 のゲノムコピーである。このアッセイは、磁気ビーズ標識モノクローナル抗体を使用して C D 3 陽性 / C D 4 陽性 T 細胞をポジティブ選択し、全細胞 DNA を抽出し、定量的 PCR 反応を使用して A G T 1 0 3 ベクターに固有な配列を検出することによって実施する。効力アッセイ 2 では、H I V 特異的 C D 4 T 細胞の亜集団内の組み込み A G T 1 0 3 の平均ゲノムコピー数が試験される。このアッセイ (essay) は、まず、H I V Gag タンパク質を表す合成ペプチドのプールで P B M C を刺激することによって達成される。その後、細胞を、C D 4 T 細胞に結合することができ、分泌されたインターフェロン - ガンマサイトカインを捕捉することもできる特異的抗体試薬で染色する。C D 4 陽性 /インターフェロン - ガンマ陽性細胞を、磁気ビーズ選択によって捕捉し、全細胞 DNA を調製し、細胞あたりの A G T 1 0 3 のゲノムコピー数を、定量的 PCR 反応で決定する。アッセイ 2 を使用した効力に基づくリリース基準は、H I V 特異的 C D 4 T 細胞あたり 0 . 5 よりも多いかまたはそれと等しいゲノムコピーが、A G T 1 0 3 細胞産物中に存在することを必要とする。

【 0 2 9 4 】

療法用 H I V ワクチンを受けた H I V 陽性患者の P B M C に由来する H I V 特異的 C D 4 T 細胞の濃縮および形質導入の機能試験。H I V 特異的 C D 4 T 細胞の頻度に対する療法用ワクチン接種の影響を、ペプチド刺激アッセイで試験した (図 1 4 パネル B) 。ワクチン接種前の H I V 特異的 C D 4 T 細胞の頻度は、この代表的な個体では 0 . 0 3 6 % であった。ワクチン接種後の H I V 特異的 C D 4 T 細胞の頻度は、およそ 2 倍の値である 0 . 0 7 6 % に増加した。細胞質インターフェロン - ガンマの蓄積によって特定された応答性細胞 (H I V 特異的) は、特異的ペプチド刺激後にのみ検出された。

【 0 2 9 5 】

また、本発明者らは、ペプチド刺激して H I V 特異的 C D 4 T 細胞を濃縮し、その後 A G T 1 0 3 を形質導入することにより、培養物中の全 C D 4 T 細胞のおよそ 1 % の、H I V 特異的であり、かつ A G T 1 0 3 が形質導入されている C D 4 T 細胞を生成するという本発明者らの目標が達成されるか否かを試験した。この場合、本発明者らは、緑色蛍光タンパク質を発現する実験バージョンの A G T 1 0 3 を使用した (G F P を参照) 。図 1 4 のパネル C では、ペプチド刺激 (H I V (G A G) U l t r a) および A G T 1 0 3 形質導入後のワクチン接種後培養物は、全 C D 4 T 細胞の 1 . 1 1 % が、H I V 特異的であり (ペプチド刺激に応答してインターフェロン - ガンマを発現することに基づく) 、かつ A G T 1 0 3 が形質導入されていた (G F P の発現に基づく) ことが実証された。

【 0 2 9 6 】

療法用 H I V ワクチン研究の数人の患者を試験して、ペプチド刺激に対する応答の程度を評価し、将来のヒト臨床試験の遺伝子治療集団に参加させるための適格性基準の規定を開始した。図 1 8 のパネル D は、4 人のワクチン試験参加者の H I V 特異的 C D 4 T 細胞の頻度を示し、ワクチン接種前および接種後の検体が比較されている。重要なことに、3 つの症例で、ワクチン接種後検体は、全 C D 4 T 細胞の 0 . 0 7 6 % よりも高いかまたはそれと等しい H I V 特異的 C D 4 T 細胞の値を示す。この値に到達する能力は、ワクチン接種前の検体によっては予測されなかった。なぜなら、患者 0 0 1 - 0 0 4 および患者 0 0 1 - 0 0 6 は両者とも、開始時には H I V 特異的 C D 4 T 細胞のワクチン接種前値が 0 . 0 2 % であったが、1 人が最終的には 0 . 1 2 % の H I V 特異的 C D 4 T 細胞のワクチン接種後値に達したのに対し、他方の個体はワクチン接種後にこの値を増加させることができていないためである。また、ワクチンに良好に応答した同じ 3 人の患者は、H I V 特異的 C D 4 T 細胞の頻度を増加させるという点では、ペプチド刺激および培養後に H I V 特異的 C D 4 T 細胞の実質的な濃縮を示した。図 1 8 のパネル E に示されている 3 つの症例では、ペプチド刺激およびその後の培養により、それぞれ全 C D 4 T 細胞の 2 . 0 7 % 、 0 . 7 2 % 、または 1 . 5 4 % が、H I V に特異的であった試料が生成された。これらの値は、最終細胞産物において、H I V に特異的であり A G T 1 0 3 が形質導入されている C D 4 T 細胞が全 C D 4 T 細胞のおよそ 1 % に達するようにするという本発明者らの目標を可能にするために十分に大きな、ペプチド刺激に対する e x v

10

20

30

40

50

i v o 応答を、療法用 H I V ワクチンに応答する大半の個体が有することになることを示す。

【 0 2 9 7 】

図 18 に示されているように、パネル A は、処置のスケジュールを説明する。パネル B は、P B M C を、G a g ペプチドまたは D M S O 対照で 20 時間にわたって刺激したことを実証する。I F N ガンマ産生を、細胞内染色によって、F A C S によって検出した。分析のために C D 4⁺ T 細胞をゲーティングした。パネル C は、パネル A に示されているような方法を使用して C D 4⁺ T 細胞を増殖し、A G T 1 0 3 - G F P を形質導入したことを実証する。増殖した C D 4⁺ T 細胞を、サイトカインを一切含まない新鮮な培地で 2 日間休息させ、G a g ペプチドまたは D M S O 対照で 20 時間再刺激した。I F N ガンマ産生および G F P 発現を F A C S によって検出した。分析のために C D 4⁺ T 細胞をゲーティングした。パネル D は、本明細書で議論されているように、H I V 特異的 C D 4⁺ T 細胞の頻度 (I F N ガンマ陽性、ワクチン接種前および接種後) を、4人の患者から検出したことを見証する。パネル E は、4人の患者に由来するワクチン接種後 P B M C を増殖させ、H I V 特異的 C D 4⁺ T 細胞を検査したことを実証する。

10

【 0 2 9 8 】

(実施例 15 : 用量応答)

ベクター構築。変更バージョンの A G T 1 0 3 を構築して、A G T 1 0 3 を増加させた際の用量応答、および細胞表面 C C R 5 レベルに対するその効果を試験した。A G T 1 0 3 を、C M V プロモーターの制御下に緑色蛍光タンパク質 (G F P) 発現カセットを含むように改変した。形質導入された細胞は、m i R 3 0 C C R 5 m i R 2 1 V i f m i R 1 8 5 T a t マイクロ RNA クラスターを発現し、G F P 発現による緑色光を放つ。

20

【 0 2 9 9 】

A G T 1 0 3 - G F P を増加させた際の用量応答および C C R 5 発現の阻害に関する機能アッセイ。細胞あたりの 0 から 5 までの感染多密度を使用して、C E M - C C R 5 T 細胞に A G T 1 0 3 - G F P を形質導入した。形質導入された細胞を、細胞表面 C C R 5 に特異的な蛍光コンジュゲート (A P C) モノクローナル抗体で染色した。染色強度は、細胞表面あたりの C C R 5 分子の数に比例する。緑色蛍光の強度は、細胞あたりの組み込まれた A G T 1 0 3 - G F P コピー数に比例する。

【 0 3 0 0 】

30

図 19 に示されているように、パネル A は、A G T 1 0 3 - G F P を増加させた際の用量応答、および細胞表面 C C R 5 発現に対するその効果を実証する。0 . 4 と等しい感染多密度では、1 . 0 4 % の細胞のみが、緑色 (形質導入を示す) であり、かつ C C R 5 発現の著しい低減を示す。1 と等しい感染多密度では、低 C C R 5 、G F P + 細胞の数は 6 8 . 1 % に、5 と等しい感染多密度では、低 C C R 5 、G F P + 細胞の数は 9 5 . 7 % に増加した。これらのデータは、図 19 のパネル B ではヒストグラム形態で提示されており、C C R 5 染色の点で正規分布した集団が、A G T 1 0 3 - G F P 用量の増加と共に低い平均蛍光強度に向かって移動したことを見示す。A G T 1 0 3 - G F P の効力は、図 19 のパネル C ではグラフ形態で提示されており、A G T 1 0 3 - G F P の用量を増加させた際の C C R 5 発現の阻害パーセンテージが示されている。5 と等しい感染多密度では、9 9 % よりも高い C C R 5 発現レベルの低減があった。

40

【 0 3 0 1 】

(実施例 16 : A G T 1 0 3 は、初代ヒト C D 4⁺ T 細胞に効率的に形質導入する)

A G T 1 0 3 レンチウイルスベクターの初代 C D 4⁺ T 細胞への形質導入。緑色蛍光タンパク質マーカー (G F P) を含む改変 A G T 1 0 3 ベクターを 0 . 2 ~ 5 の感染多密度で使用して、精製された初代ヒト C D 4⁺ T 細胞に形質導入した。

【 0 3 0 2 】

初代ヒト C D 4⁺ T 細胞への A G T 1 0 3 の形質導入効率の機能アッセイ。C D 4⁺ T 細胞を、磁気ビーズ標識抗体および標準的手順を使用して、ヒト P B M C (H I V 陰性ドナー) から単離した。精製した C D 4⁺ T 細胞を C D 3 / C D 2 8 ビーズで e x v i v o 刺

50

激し、A G T 1 0 3 形質導入前に、インターロイキン - 2 を含む培地中で 1 日間培養した。レンチウイルスベクター用量（感染多重度）と形質導入効率との関係が、図 2 0 のパネル A に実証されており、0 . 2 と等しい感染多重度では、9 . 2 7 % の A G T 1 0 3 が形質導入された C D 4 陽性 T 細胞がもたらされ、5 と等しい感染多重度では、A G T 1 0 3 が形質導入された C D 4 陽性 T 細胞のこの値は、6 3 . 1 % に増加したことが示されている。初代 C D 4 陽性 T 細胞の効率的形質導入の達成に加えて、細胞あたりのゲノムコピー数を定量化することも必要である。図 2 0 のパネル B では、いくつかの感染多重度で形質導入された初代ヒト C D 4 T 細胞に由来する全細胞 D N A を定量的 P C R で試験して、細胞あたりのゲノムコピー数を決定した。0 . 2 と等しい感染多重度では、本発明者らは、細胞あたり 0 . 0 9 6 のゲノムコピーを測定した。これは、パネル A の 9 . 2 7 % の G F P 陽性 C D 4 T 細胞と良好に一致した。1 と等しい感染多重度では、細胞あたり 0 . 6 9 1 のゲノムコピーが生成され、5 と等しい感染多重度では、細胞あたり 1 . 2 4 5 のゲノムコピーが生成された。

【 0 3 0 3 】

図 2 0 に示されているように、P B M C から単離された C D 4 + T 細胞を、C D 3 / C D 2 8 ビーズと I L - 2 で 1 日間刺激し、種々の濃度の A G T 1 0 3 を形質導入した。2 日後、ビーズを取り出し、C D 4 + T 細胞を集めた。パネル A に示されているように、形質導入された細胞（G F P 陽性）の頻度を、F A C S で検出した。パネル B に示されているように、細胞あたりのベクターコピー数を、q P C R で決定した。5 の感染多重度（M O I ）では、6 3 % の C D 4 + T 細胞に、細胞あたり平均 1 ベクターコピーが形質導入された。

【 0 3 0 4 】

（実施例 1 7 : A G T 1 0 3 は、初代 C D 4 + T 細胞での H I V 複製を阻害する）

細胞に A G T 1 0 3 を形質導入することによる、初代ヒト C D 4 陽性 T 細胞の H I V 感染からの保護。療法用レンチウイルス A G T 1 0 3 を、細胞あたり 0 . 2 ~ 5 の感染多重度で使用して、初代ヒト C D 4 陽性 T 細胞に形質導入した。その後、形質導入された細胞に、侵入に細胞表面 C C R 5 を必要としない C X C R 4 指向性 H I V 株 N L 4 . 3 をチャレンジした。このアッセイでは、H I V の V i f および T a t 遺伝子に対するマイクロ R N A の効力が、初代 C D 4 陽性 T 細胞における増殖性感染の予防の点で試験されるが、感染した初代ヒト C D 4 T 細胞から放出される H I V の量を検出する間接法が使用される。

【 0 3 0 5 】

初代ヒト C D 4 陽性 T 細胞の C X C R 4 指向性 H I V 感染に対する A G T 1 0 3 保護の機能アッセイ。C D 4 T 細胞を、磁気ビーズ標識抗体および標準的手順を使用して、ヒト P B M C (H I V 陰性ドナー) から単離した。精製した C D 4 T 細胞を C D 3 / C D 2 8 ビーズで e x v i v o 刺激し、インターロイキン - 2 を含む培地で 1 日間培養してから、0 . 2 ~ 5 の感染多重度を使用して A G T 1 0 3 を形質導入した。形質導入の 2 日後、C D 4 陽性 T 細胞培養物に、緑色蛍光タンパク質（G F P ）を発現するように操作された H I V 株 N L 4 . 3 をチャレンジした。形質導入され H I V に曝露された初代 C D 4 T 細胞培養物を 7 日間維持してから、H I V を含む無細胞培養液を集めた。無細胞培養液を使用して、高度に許容性の T 細胞株 C 8 1 6 6 に 2 日間感染させた。H I V に感染した C 8 1 6 6 細胞の割合を、G F P 蛍光を検出するフローサイトメトリーによって決定した。模擬レンチウイルス感染の場合、N L 4 . 3 H I V についての 0 . 1 の感染多重度の用量は、1 5 . 4 % の C 8 1 6 6 T 細胞で増殖性感染を確立することを可能にした量の培養液へ放出された H I V をもたらした。0 . 2 感染多重度の A G T 1 0 3 の用量では、C 8 1 6 6 細胞の H I V 感染に関するこの値は、5 . 3 % に低減され、1 と等しい感染多重度の A G T 1 0 3 では、3 . 1 9 % の C 8 1 6 6 T 細胞しか H I V に感染しなかった。C 8 1 6 6 感染は、5 と等しい感染多重度を使用した A G T 1 0 3 形質導入後、0 . 6 2 % にさらに低減された。形質導入に使用した A G T 1 0 3 の量と、培養培地に放出された H I V の量との間には明らかな用量応答関係性が存在する。

【 0 3 0 6 】

10

20

30

40

50

図21に示されているように、PBM Cから単離されたCD4⁺T細胞を、CD3/CD28ビーズとIL-2で1日間刺激し、種々の濃度(MOI)のAGT103を形質導入した。2日後、ビーズを取り出し、CD4⁺T細胞に、0.1MOIのHIV-NL4.3-GFPを感染させた。24時間後、細胞をPBSで3回洗浄し、IL-2(30U/ml)と共に7日間培養した。培養の終了時に、上清を集めて、HIV許容性細胞株C8166に2日間感染させた。HIVに感染したC8166細胞(GFP陽性)を、FACSで検出した。C8166細胞のより少ない感染により観察されるように、AGT103の感染多度が増加すると共に生存可能なHIVが低減された(MOI 0.2=65.6%、MOI 1=79.3%、およびMOI 5=96%)。

【0307】

(実施例18：AGT103は、HIV誘導性枯渇から初代ヒトCD4⁺T細胞を保護する)

HIV媒介性細胞病理および細胞枯渇から保護するための初代ヒトCD4⁺T細胞のAGT103形質導入。PBM Cを、健康なHIV陰性ドナーから取得し、CD3/CD28ビーズで刺激し、その後、インターロイキン-2を含む培地で1日間培養してから、0.2~5の感染多度を使用してAGT103を形質導入した。

【0308】

HIV媒介性細胞病理からの初代ヒトCD4⁺T細胞のAGT103保護の機能アッセイ。AGT103を形質導入した初代ヒトCD4⁺T細胞に、細胞進入にCCR5を必要としないHIV-NL4.3株(CXCR4指向性)を感染させた。CXCR4指向性NL4.3を使用する場合、HIV複製に対するVifおよびTatマイクロRNAの効果のみを試験する。HIV-NL4.3の用量は、0.1の感染多度であった。HIV感染の1日後、細胞を洗浄して残留ウイルスを除去し、培地とインターロイキン-2中で培養した。14日間の培養中、細胞を3日毎に集め、その後、CD4に特異的であり、蛍光マーカーに直接コンジュゲートされているモノクローナル抗体で染色して、PBM C中のCD4陽性T細胞の割合の測定を可能にした。未処理CD4⁺T細胞、または対照レンチウイルスペクターを用いて形質導入したCD4⁺T細胞は、HIVチャレンジに高度に感受性であり、PBM C中のCD4陽性T細胞の割合は、培養14日目までに10%未満に低下した。対照的に、AGT103は、HIVチャレンジによる細胞枯渇の防止に対して用量依存的效果を示した。0.2の感染多度のAGT103用量では、PBM Cの20%超が、培養の14日目までにCD4⁺T細胞であり、5と等しい感染多度のAGT103用量では、培養の14日目までにCD4陽性T細胞になったPBM Cは、50%よりも高い値に增加了。この場合も、AGT103は、ヒトPBM CのHIV細胞病原性に対して明らかな用量応答効果を示した。

【0309】

図22に示されているように、PBM Cを、CD3/CD28ビーズとIL-2で1日間刺激し、種々の濃度(MOI)のAGT103を形質導入した。2日後、ビーズを取り出し、細胞に0.1MOIのHIV-NL4.3を感染させた。24時間後、細胞をPBSで3回洗浄し、IL-2(30U/ml)と共に培養した。細胞を、3日毎に集め、CD4⁺T細胞の頻度を、FACSで分析した。HIVに曝露した14日間後、LV-対照を形質導入したCD4⁺T細胞は87%低減され、AGT103 MOI 0.2では60%低減され、AGT103 MOI 1では37%低減され、AGT103 MOI 5では17%低減された。

【0310】

(実施例19：HIV特異性について濃縮され、AGT103/CMV-GFPを用いて形質導入されたCD4⁺T細胞の集団の生成)

HIVに対する療法用ワクチン接種は、CD4+、CD8+、およびCD4+/CD8+ T細胞の分布に最小限の影響しか及ぼさなかった。図23Aに示されるように、CD4⁺T細胞集団は、分析フローサイトメトリードットプロットの左上の象限に示され、ワクチン接種系列後、全T細胞の52%から57%に変化する。これらは代表的なデータである。

10

20

30

40

50

【0311】

HIV療法用ワクチン試験における参加者からの末梢血単核細胞を、培地+/-インターロイキン-2/インターロイキン-12または+/-インターロイキン-7/インターロイキン-15で12日間培養した。T細胞刺激のためのエピトープペプチドの供給源として、HIV-1の全p55Gagタンパク質(HIV(GAG)U1t r aペプチド混合物)を表す重複ペプチドで、いくつかの培養物を刺激した。これらのペプチドは、長さが10~20アミノ酸であり、その長さの20~50%が重複しており、HIV-1 B a L株由来のGag前駆体タンパク質(p55)全体を表す。個々のペプチドの組成および配列は、主な循環HIV配列の領域変動を補償するために、または詳細な配列情報がこの療法を受けている個々の患者に利用可能である場合に、調整することができる。培養終了時に、細胞を回収し、抗CD4または抗CD8モノクローナル抗体で染色し、CD3+集団をゲートし、ここに表示した。ワクチン接種前または接種後のいずれかの試料についてのHIV(GAG)U1t r aペプチド混合物刺激は培地対照と同様であり、このことは、HIV(GAG)U1t r aペプチド混合物が細胞に対して毒性ではなく、ポリクローナル分裂促進因子としては作用しなかったことを示している。この分析の結果は、図23Bに見出すことができる。

10

【0312】

HIV(GAG)U1t r aペプチド混合物およびインターロイキン-2/インターロイキン-12は、抗原特異的CD4 T細胞の最適な増殖のために提供された。図23Cの上のパネルに示されるように、HIV(GAG)U1t r aペプチド混合物に曝露されたワクチン接種後検体において、サイトカイン(インターフェロン-ガンマ)分泌細胞の増加があった。ワクチン接種前の試料において、抗原性ペプチドへの曝露の結果として、サイトカイン分泌細胞が0.43から0.69%まで増加した。対照的に、ワクチン接種後の試料は、ペプチド刺激の結果として、全CD4 T細胞の0.62から1.76%までのサイトカイン分泌細胞の増加を示した。これらのデータは、HIV抗原に対するCD4 T細胞応答におけるワクチン接種の強い影響を実証する。

20

【0313】

最後に、抗原増殖したCD4 T細胞のAGT103/CMV-GFP形質導入は、HIVに対する機能的治癒の一部として患者に注入するために必要とされるHIV特異的およびHIV耐性ヘルパーCD4 T細胞を產生した(他の様々な態様および実施形態に応じて、AGT103は単独で使用され、例えば、臨床実施形態はCMV-GFPセグメントを含まなくてもよい)。図23Cの上のパネルは、培養物中のCD4+ T細胞集団を分析した結果を示す。図23Cのx軸は、緑色蛍光タンパク質(GFP)放出を示しており、このことは、個々の細胞にAGT103/CMV-GFPが形質導入されたことを示している。ワクチン接種後の試料において、いずれもサイトカインを分泌する全CD4 T細胞の1.11%が回収され、このことは、細胞がHIV抗原に特異的に応答し、これらの細胞にAGT103/CMV-GFPが形質導入されることを示している。これは、HIVの注入および機能的治癒を意図した標的細胞集団および臨床産物である。ex vivo培養の抗原刺激およびその後のポリクローナル増殖期の間の細胞増殖の効率で、 4×10^8 個の抗原特異的な、レンチウイルス形質導入CD4 T細胞を产生することができる。これは、細胞產生の標的を4倍超えており、およそ40細胞/マイクロリットルの血液または全循環CD4 T細胞のおよそ5.7%の、抗原特異的およびHIV耐性CD4 T細胞の数を達成することができるであろう。

30

【0314】

下の表4は、開示されたベクターおよび方法を使用した、HIV特異的およびHIV耐性CD4 T細胞のex vivoにおける产生の結果を示す。

40

50

【表 4】

材料/操作	全 CD4 T 細胞	HIV 特異的パーセンテージ	HIV 特異的および HIV 耐性パーセンテージ
HIV+患者からの白血球アフェレーシスパック	約 7×10^8	約 0.12	N/A
ex vivo でのペプチド増殖	約 8×10^8	約 2.4	N/A
分裂促進因子増殖	約 1.5×10^{10}	約 2.4	N/A
レンチウイルス形質導入	約 1.5×10^{10}	約 2.4	約 1.6

【0315】

(実施例 20)

免疫化を伴わないHIV陽性対象の処置の臨床研究

AGT103Tは、AGT103レンチウイルスベクター用いてさらに形質導入されている 5×10^7 個のHIV特異的CD4 T細胞を含む遺伝子改変自己由来PBMCである。

【0316】

第I相臨床試験では、HIV感染が確認された、cARTを受けている間、血液 1 mm^3 あたりのCD4+T細胞数 > 600 細胞、および血漿 1 ml あたり 200 コピー未満の安定なウイルス抑制を有する成人研究参加者へのex vivo改変自己由来CD4 T細胞(AGT103T)注入の安全性および実施可能性が試験されることになる。すべての研究参加者が、第I相臨床試験を通じて、標準的抗レトロウイルス薬物療法を受け続けることになる。HIV-1 Gagポリタンパク質を表す重複合成ペプチドのプールによる刺激に応答するCD4+T細胞の頻度を測定するためのin vitro試験のために血液を提出することによって、研究参加者をスクリーニングする。全CD4 T細胞の0.065%がGag特異的CD4 T細胞と指定される対象は、遺伝子治療研究に登録され、白血球アフェレーシスを受け、その後PBMCが精製され(フィコール密度勾配遠心分離または抗体によるネガティブ選択を使用して)、PBMCは、ex vivoで培養され、HIV Gagペプチドとインターロイキン-2およびインターロイキン-12で12日間刺激され、その後、CD3/CD28二重特異性抗体で修飾されているビーズで再び刺激される。抗レトロウイルス薬サキナビルを 100 nM で含めて、ex vivo培養の間、自己由来HIVの出現を防止する。CD3/CD28刺激の1日後、細胞に、1~10の感染多度でAGT103が形質導入される。形質導入された細胞は、さらに7~14日間培養され、その間に、形質導入された細胞は、ポリクローナル増殖によって増殖する。収穫することにより培養期間を終了させ、細胞が洗浄され、効力およびリリース安全性アッセイのために分取し、残りの細胞は、凍結保存培地に再懸濁される。単一用量は、 1×10^{10} 個の自己由来PBMCである。効力アッセイでは、ペプチド刺激に応答するCD4 T細胞の頻度が、インターフェロン-ガンマの発現によって測定される。他のリリース基準としては、産物が、AGT103をさらに形質導入した 0.5×10^7 個のHIV特異的CD4 T細胞を含んでいなければならぬことが挙げられる。別のリリース基準は、細胞あたりのAGT103ゲノムコピー数が、3を超過してはならないということである。AGT103Tを注入する5日前に、対象は、1用量のブスルフラム(busulfuram)(あるいはシトキサンまたはフルダラビンもしくは適切な薬物の組合せ)条件付けレジメンを受け、その後、遺伝子改変CD4 T細胞を含む 1×10^{10} 個

10

20

30

40

50

のPBM Cが注入される。

【0317】

第I I相研究では、AGT103T細胞療法の有効性が評価されることになる。第I I相研究参加者には、本発明者らの第I相研究に以前に登録され、遺伝子改変自己由来H I V特異的CD4+T細胞の成功した安定な移植、および有効性評価(1.3)に記載されるようにモニターされるパラメータにおける正の変化として定義される臨床応答を有すると判断された個体が含まれる。研究参加者には、抗レトロウイルス薬物療法の彼らの既存のレジメンにマラビロクを追加することが求められることになる。マラビロクは、CCR5レベルを低減させることを目的とした遺伝子治療の有効性を増強するCCR5アンタゴニストである。マラビロクレジメンが整うと、対象には、以前の抗レトロウイルス薬レジメンを中止し、マラビロク単剤療法のみを、28日間にわたって、または血漿ウイルスRNAレベルが2回の逐次的な毎週の採血で1mlあたり10,000を超過するまで維持することが求められることになる。持続的に高いウイルス血症の場合、参加者は、彼らのH I V診療医の推奨に従って、マラビロクありまたはなしで、彼らの元の抗レトロウイルス薬レジメンに戻る必要がある。

10

【0318】

参加者のH I Vがマラビロク単剤療法で>28日間にわたって抑制されたまま(血漿1mlあたり2,000未満のvRNAコピー)である場合、参加者には、マラビロク投薬を4週間の期間にわたって徐々に低減させ、続いて、さらに28日間にわたって集中的にモニターすることが求められることになる。マラビロク単剤療法でH I V抑制を維持した対象は、機能的治癒を有するとみなされる。マラビロク休薬後にもH I V抑制を維持する対象も、機能的治癒を有するとみなされる。6ヶ月間にわたる毎月のモニタリング、続く、あまり集中的でないモニタリングが、機能的治癒の持続性を確立することになる。

20

【0319】

1.1 患者選択

選択基準：

- ・年齢が18~60歳であること。
- ・研究登録前にH I V感染が判明していること。
- ・研究期間中に彼らの抗レトロウイルスレジメンを(医学的に指示されない限り)変化させないことを含め、研究で義務付けられている評価に応じる意思がなければならない。
- ・CD4+T細胞数が、立方ミリメートルあたり>600個(細胞/mm³)であること
- ・CD4+T細胞最下点が、>400細胞/mm³であること
- ・H I Vウイルス負荷が、1ミリリットル(mL)あたり>1,000コピーであること

30

除外基準：

- ・あらゆるウイルス性肝炎
- ・急性H I V感染
- ・H I Vウイルス負荷が、>1,000,000コピー/mLであること
- ・活動性または最近の(過去6ヶ月の) AIDSを規定する合併症
- ・研究に入って12週間以内のH I V薬物療法におけるあらゆる変化
- ・少なくとも5年間寛解していないがんまたは悪性腫瘍、ただし処置に成功した皮膚の基底細胞癌は除く
- ・NYHAグレード3または4のうつ血性心不全または管理不良の狭心症もしくは不整脈と現在診断されていること
- ・出血障害の病歴
- ・過去30日の慢性ステロイドの使用
- ・妊婦または授乳
- ・活性薬物またはアルコール乱用
- ・過去30日の重度疾病
- ・別の臨床試験に現在参加しているか、またはあらゆる以前の遺伝子治療

40

【0320】

50

1.2 安全性評価

- ・急性注入反応
- ・注入後の安全性追跡調査

【0321】

1.3 有効性評価 - 第Ⅰ相

- ・改变 CD4 T 細胞の数および頻度。
- ・改变 CD4 T 細胞の持続性。
- ・メモリー T 細胞機能の尺度としての Gag ペプチド再刺激に対する *in vitro* 応答 (ICS アッセイ)。
- ・ワクチン接種前およびワクチン接種後の時点と比較した、多機能的抗 HIV CD8 T 細胞応答。
10
- ・*in vitro* 刺激後に二重スプライシングされた HIV mRNA を産生する CD4 T 細胞の頻度。

【0322】

1.4 有効性評価 - 第Ⅱ相

- ・遺伝子改变 CD4 T 細胞の数および頻度。
- ・マラビロク単剤療法によるウイルス抑制の維持 (1 mlあたり $< 2,000$ の vRNA コピーであるが、1 mlあたり 5×10^4 個の vRNA コピーを超過しない 2 回の連続する毎週の採血が許容される)。
- ・マラビロク休薬の間および後に継続するウイルス抑制。
20
- ・安定な CD4 T 細胞数。

【0323】

(実施例 21)

ペプチド刺激前に、CD8+ T 細胞の枯渇を介して CD4+ T 細胞の集団を生成する CD8+ T 細胞過剰成長は、標的 CD4+ T 細胞の増殖に対して顕著に影響を与えたので、CD8+ T 細胞を細胞増殖の開始時に枯渇させて、それが CD4+ T 細胞増殖を改善するかどうかを決定した。現在の CD8+ T 細胞枯渇法では、細胞は磁気カラムを通過する必要がある。抗原提示細胞および CD4+ T 細胞に対するその手順の起こり得る影響を回避するために、細胞枯渇を、細胞が機械的ストレスによりよく耐えることができる、ペプチド刺激の後かつレンチウイルス形質導入の前に実施した。
30

【0324】

より具体的には、HIV陽性ヒト末梢血を得た。Ficoll-Paque PLUS (GE Healthcare、カタログ番号 17-1440-02) を用いて PBMC を分離した。新鮮な分離された PBMC (1×10^7 個) を、24 ウェルプレート中で 1 mL 培地中の PepMix (商標) HIV (GAG) Ultra (カタログ番号 PM-HIV-GAG、JPT Peptide Technologies、Berlin, Germany) で 18 時間刺激した。CD8+ T 細胞を、PE 抗ヒト CD8 抗体および抗 PE マイクロビーズを用いて枯渇させた。陰性選択された細胞を、IL-7 (170-076-111, Miltenyi Biotech, Bergisch Gladbach, Germany)、IL-15 (170-076-114, Miltenyi Bio tech, Bergisch Gladbach, Germany) およびサキナビル (カタログ番号 4658, NIH AIDS Reagent Program, Germantown, MD) を含む TexMACS GMP 培地 (カタログ番号 170-076-309, Miltenyi Biotech, Bergisch Gladbach, Germany) 中で $2 \times 10^6 / \text{mL}$ で培養した。レンチウイルス AGT103 を、24 時間後に MOI 5 で添加した。IL-7、IL-15 およびサキナビルを含む新鮮な培地を、増殖の間 2 ~ 3 日毎に添加した。IL-7 / IL-15 の最終濃度は、10 ng / mL であった。サキナビルの最終濃度は、100 nM であった。12 ~ 16 日目に、2 ~ 3 × 10^6 個の細胞を、ペプチド再刺激および細胞内サイトカイン染色 (ICS) 分析のために集めた。この枯渇プロトコールの模式図は、図 24 に示されている。
40
50

【0325】

CD8+ T細胞を枯渇させた場合、HIV特異的CD4 T細胞増殖は、有意に改善された（図25A～C）。しかしながら、V1 T細胞（PTID 01-006）（図25A）およびNK細胞（PTID 01-008）（図25C）による過剰成長が観察された。

【0326】

図25Aを参照すると、0日目に、対照の左下四分儀、右下四分儀、左上四分儀、および右上四分儀は、それぞれ、44.5%、55.5%、0.032%、および0%の蛍光強度を有した。0日目に、GagPepMixの左下四分儀、右下四分儀、左上四分儀、および右上四分儀は、それぞれ、44.2%、55.3%、0.48%、および0.053%の蛍光強度を有した。12日目に、CD8枯渇なしの場合、対照の左下四分儀、右下四分儀、左上四分儀、および右上四分儀は、それぞれ、79.8%、20.1%、0.12%、および0.018%の蛍光強度を有した。12日目に、CD8枯渇なしの場合、GagPepMixの左下四分儀、右下四分儀、左上四分儀、および右上四分儀は、それぞれ、58.9%、19.2%、21.2%、および0.69%の蛍光強度を有した。12日目に、CD8枯渇ありの場合、対照の左下四分儀、右下四分儀、左上四分儀、および右上四分儀は、それぞれ、64.4%、35.0%、0.44%、および0.14%の蛍光強度を有した。12日目に、CD8枯渇ありの場合、GagPepMixの左下四分儀、右下四分儀、左上四分儀、および右上四分儀は、それぞれ、61.9%、32.9%、3.47%、および1.70%の蛍光強度を有した。

10

20

【0327】

12日目に、CD8枯渇ありの場合のゲーティングデータもまた、CD4およびCD8を変数として使用して生成した。左下四分儀、右下四分儀、左上四分儀、および右上四分儀は、それぞれ、45.5%/45.3%、44.9%、9.26%、および0.35%の蛍光強度を有した。さらに、V1およびV2を変数として使用してゲーティングデータを生成した。左下四分儀、右下四分儀、左上四分儀、および右上四分儀は、それぞれ、16.9%、82.8%、0.14%、および0.12%の蛍光強度を有した。

30

【0328】

図25Bを参照すると、0日目に、対照の左下四分儀、右下四分儀、左上四分儀、および右上四分儀は、それぞれ、33.6%、66.4%、5.9E-4%、および1.78E-3の蛍光強度を有した。0日目に、GagPepMixの左下四分儀、右下四分儀、左上四分儀、および右上四分儀は、それぞれ、33.7%、66.3%、0.011%、および0.016%の蛍光強度を有した。16日目に、CD8枯渇なしの場合、対照の左下四分儀、右下四分儀、左上四分儀、および右上四分儀は、それぞれ、78.4%、21.2%、0.30%、および0.018%の蛍光強度を有した。16日目に、CD8枯渇なしの場合、GagPepMixの左下四分儀、右下四分儀、左上四分儀、および右上四分儀は、それぞれ、76.3%、20.2%、2.95%、および0.61%の蛍光強度を有した。16日目に、CD8枯渇ありの場合、対照の左下四分儀、右下四分儀、左上四分儀、および右上四分儀は、それぞれ、50.9%、48.7%、0.36%、および0.10%の蛍光強度を有した。16日目に、CD8枯渇ありの場合、GagPepMixの左下四分儀、右下四分儀、左上四分儀、および右上四分儀は、それぞれ、51.6%、44.4%、0.43%、および3.60%の蛍光強度を有した。

40

【0329】

図25Cを参照すると、0日目に、対照の左下四分儀、右下四分儀、左上四分儀、および右上四分儀は、それぞれ、65.4%、34.5%、0.096%、および7.71E-4の蛍光強度を有した。0日目に、GagPepMixの左下四分儀、右下四分儀、左上四分儀、および右上四分儀は、それぞれ、65.4%、34.3%、0.20%、および0.10%の蛍光強度を有した。16日目に、CD8枯渇なしの場合、対照の左下四分儀、右下四分儀、左上四分儀、および右上四分儀は、それぞれ、87.9%、12.1%、0.028%、および6.24E-3%の蛍光強度を有した。16日目に、CD8枯渇

50

なしの場合、Gag Pep Mix の左下四分儀、右下四分儀、左上四分儀、および右上四分儀は、それぞれ、82.3%、12.1%、5.38%、および0.23%の蛍光強度を有した。16日目に、CD8 枯渇ありの場合、対照の左下四分儀、右下四分儀、左上四分儀、および右上四分儀は、それぞれ、87.8%、12.0%、0.22%、および0.013%の蛍光強度を有した。16日目に、CD8 枯渇ありの場合、Gag Pep Mix の左下四分儀、右下四分儀、左上四分儀、および右上四分儀は、それぞれ、87.8%、11.1%、0.30%、および0.78%の蛍光強度を有した。

【0330】

16日目に、CD8 枯渇ありの場合のゲーティングデータもまた、変数 CD3 および CD4 を使用して生成したところ、示された領域において 83.1% の蛍光強度が示された。さらに、変数 CD56 および CD4 を使用してゲーティングデータを生成したところ、示された領域において 65.7% の蛍光強度が示された。

10

【0331】

(実施例 22)

ペプチド刺激前に、CD8+、
、NK、およびB細胞の枯渇を介して CD4+ T 細胞の集団を生成する

CD8+ T 細胞を枯渇させた場合、
または NK 細胞の過剰成長が、複数の患者で観察された。したがって、CD8、
、NK または B 細胞を枯渇させて、それが CD4+ T 細胞増殖を改善するかどうかを試験した。細胞枯渇を、ペプチド刺激の後かつレンチウイルス形質導入の前に実施した。

20

【0332】

HIV陽性ヒト末梢血を得た。Ficoll-Paque PLUS (GE Health care、カタログ番号 17-1440-02) を用いて PBMC を分離した。新鮮な分離された PBMC (1×10^7 個) を、24 ウェルプレート中で 1 mL 培地中の Pep Mix (商標) HIV (GAG) Ultra (カタログ番号 PM-HIV-GAG、JPT Peptide Technologies、Berlin、Germany) で 18 時間刺激した。CD8+ T、
、NK、または B 細胞を、PE 標識された特異的抗体および抗 PE マイクロビーズを用いて枯渇させた。陰性選択された細胞を、IL-7 (170-076-111、Miltenyi Biotech、Bergisch Gladbach、Germany)、IL-15 (170-076-114、Miltenyi Biotech、Bergisch Gladbach、Germany) およびサキナビル (カタログ番号 4658、NIH AIDS Reagent Program、Germantown、MD) を含む TexMACS GMP 培地 (カタログ番号 170-076-309、Miltenyi Biotech、Bergisch Gladbach、Germany) 中で 2×10^6 / mL で培養した。レンチウイルス AGT103 を、24 時間後に MOI 5 で添加した。IL-7、IL-15 およびサキナビルを含む新鮮な培地を、増殖の間 2 ~ 3 日毎に添加した。IL-7 / IL-15 の最終濃度は、10 ng / mL であった。12 ~ 16 日目に、 $2 \sim 3 \times 10^6$ 個の細胞を、ペプチド再刺激および細胞内サイトカイン染色 (ICS) 分析のために集めた。この枯渇プロトコールの模式図は、図 26 に示されている。

30

【0333】

さらなる細胞サブセットを枯渇させた場合、HIV Gag 特異的 CD4 T 細胞は、より高いレベルまで増殖した (図 27A ~ B)。CD8、
、または NK 細胞の過剰成長は、CD4 T 細胞増殖を阻害し、またはレンチウイルス形質導入抗原特異的 CD4 T 細胞を死滅させるようである。この最適化されたプロトコールは、スケールアップおよび細胞製造に適切である。

40

【0334】

図 27A を参照すると、0 日目に、対照の左下四分儀、右下四分儀、左上四分儀、および右上四分儀は、それぞれ、56.4%、43.5%、0.034%、および 7.44 E - 4 % の蛍光強度を有した。0 日目に、Gag Pep Mix の左下四分儀、右下四分儀、

50

左上四分儀、および右上四分儀は、それぞれ、54.8%、44.8%、0.30%、および0.055%の蛍光強度を有した。18時間後の枯渇なしの場合、対照の左下四分儀、右下四分儀、左上四分儀、および右上四分儀は、それぞれ、83.9%、16.0%、0.061%、および0.027%の蛍光強度を有した。18時間後の枯渇なしの場合、GagPepMixの左下四分儀、右下四分儀、左上四分儀、および右上四分儀は、それぞれ、77.6%、15.4%、6.39%、および0.54%の蛍光強度を有した。18時間後の枯渇ありの場合、対照の左下四分儀、右下四分儀、左上四分儀、および右上四分儀は、それぞれ、41.9%、57.9%、0.094%、および0.099%の蛍光強度を有した。18時間後の枯渇ありの場合、GagPepMixの左下四分儀、右下四分儀、左上四分儀、および右上四分儀は、それぞれ、43.3%、50.7%、3.00%、および2.98%の蛍光強度を有した。18時間後のCD8および枯渇ありの場合、対照の左下四分儀、右下四分儀、左上四分儀、および右上四分儀は、それぞれ、40.4%、59.3%、0.12%、および0.13%の蛍光強度を有した。18時間後のCD8および枯渇ありの場合、GagPepMixの左下四分儀、右下四分儀、左上四分儀、および右上四分儀は、それぞれ、38.3%、54.7%、3.14%、および3.86%の蛍光強度を有した。18時間後のCD8、およびB枯渇ありの場合、対照の左下四分儀、右下四分儀、左上四分儀、および右上四分儀は、それぞれ、46.2%、53.6%、0.13%、および0.080%の蛍光強度を有した。18時間後のCD8、CD56、およびB枯渇ありの場合、GagPepMixの左下四分儀、右下四分儀、左上四分儀、および右上四分儀は、それぞれ、42.1%、48.5%、4.28%、および5.06%の蛍光強度を有した。10
20

【0335】

図27Bを参照すると、0日目に、対照の左下四分儀、右下四分儀、左上四分儀、および右上四分儀は、それぞれ、42.6%、57.4%、2.71E-3%、および0.0%の蛍光強度を有した。0日目に、GagPepMixの左下四分儀、右下四分儀、左上四分儀、および右上四分儀は、それぞれ、42.5%、57.4%、0.031%、および0.048%の蛍光強度を有した。18時間後の枯渇なしの場合、対照の左下四分儀、右下四分儀、左上四分儀、および右上四分儀は、それぞれ、79.5%、20.5%、0.017%、および9.73E-3%の蛍光強度を有した。18時間後の枯渇なしの場合、GagPepMixの左下四分儀、右下四分儀、左上四分儀、および右上四分儀は、それぞれ、78.9%、19.5%、0.93%、および0.65%の蛍光強度を有した。30
18時間後の枯渇ありの場合、対照の左下四分儀、右下四分儀、左上四分儀、および右上四分儀は、それぞれ、51.4%、48.4%、0.11%、および0.063%の蛍光強度を有した。18時間後の枯渇ありの場合、GagPepMixの左下四分儀、右下四分儀、左上四分儀、および右上四分儀は、それぞれ、51.7%、43.0%、0.22%、および5.03%の蛍光強度を有した。18時間後のCD8、CD56、およびB枯渇ありの場合、GagPepMixの左下四分儀、右下四分儀、左上四分儀、および右上四分儀は、それぞれ、13.2%、79.4%、0.27%、および7.17%の蛍光強度を有した。40

【0336】

(実施例23)

AGT103レンチウイルスの形質導入効率を測定する方法

CD4+T細胞の増殖を改善するために、標的細胞は、レンチウイルスAGT103形質導入抗原特異的CD4+T細胞である。GFPを有するレンチウイルスを使用して、形質導入効率を測定した。細胞内染色は顕著なGFPシグナル喪失を引き起こすので、CCSを使用して、抗原特異的CD4+T細胞を識別し、GFP陽性細胞を使用して、形質導入された細胞サブセットを識別した。

【0337】

50

HIV陽性患者由来の 1×10^7 個のPBMCを、24ウェルプレート中で1mL培地中のPepMix（商標）HIV(GAG)Ultra（カタログ番号PM-HIV-GAG、JPT Peptide Technologies、Berlin、Germany）で18時間刺激した。CD8、NKまたはB細胞を、PE標識された特異的抗体および抗PEマイクロビーズを用いて枯渇させた。陰性選択された細胞を、IL-7(170-076-111、Miltenyi Biotech、Bergisch Gladbach、Germany)、IL-15(170-076-114、Miltenyi Biotech、Bergisch Gladbach、Germany)およびサキナビル（カタログ番号4658、NIH AIDS Reagent Program、Germantown、MD）を含むTexMACS GMP培地（カタログ番号170-076-309、Miltenyi Biotech、Bergisch Gladbach、Germany）中で 2×10^6 /mLで培養した。GFPを有するレンチウイルスを、24時間後にMOI5で添加した。IL-7、IL-15およびサキナビルを含む新鮮な培地を、増殖の間3日毎に添加した。IL-7/IL-15の最終濃度は、10ng/mLであった。12~16日目に、 $2 \sim 3 \times 10^6$ 個の細胞を集めた。ペプチド再刺激およびCCSアッセイを実施して、IFN- γ 陽性抗原特異的CD4+T細胞を評価し、GFPシグナル生成を用いて、形質導入効率を評価した。すべての実験は、製造業者の指示に従って実施した。

【0338】

IFN- γ 陽性抗原特異的CD4+T細胞は、培養物中の他の細胞サブセットと比較して、かなりよい形質導入効率を示した（図28）。抗原特異的CD4+T細胞が、TCR刺激を受け、より速く増殖し、レンチウイルスによる感染がより容易であったことを考慮すると、これは合理的である。図28に示されているように、右下四分儀（68.6%蛍光）および右上四分儀（12.6%蛍光）は、それぞれ、41.5%、および67.8%のGFP形質導入効率を有した。これは、それぞれ、35.6%および43.3%のGFP形質導入効率を有した左下四分儀（9.75%蛍光）および左上四分儀（2.46%蛍光）とは対照的である。

【0339】

（実施例24）

形質導入された細胞のパーセンテージとベクターコピー数との関係を決定する方法
標的細胞は、AGT103レンチウイルス形質導入HIV特異的CD4+T細胞であるので、どれだけ多くの標的細胞が最終細胞産物中に含まれるかを知ることが重要である。しかしながら、臨床グレードのAGT103レンチウイルス中には、検出可能なマーカーは含まれない。結果として、形質導入効率を、qPCRによってベクターコピー数（VCN）を検出することによって測定した。GFPを有するレンチウイルスを使用して、形質導入された細胞のパーセンテージとVCNとの関係を確立することによって、最終細胞産物中のVCNに基づいて、形質導入された細胞のパーセンテージを確立することができる。

【0340】

HIV陽性患者由来の 1×10^7 個のPBMCを、24ウェルプレート中で1mL培地中のPepMix（商標）HIV(GAG)Ultra（カタログ番号PM-HIV-GAG、JPT Peptide Technologies、Berlin、Germany）で18時間刺激した。CD8、NKまたはB細胞を、PE標識された特異的抗体および抗PEマイクロビーズを用いて枯渇させた。陰性選択された細胞を、IL-7(170-076-111、Miltenyi Biotech、Bergisch Gladbach、Germany)、IL-15(170-076-114、Miltenyi Biotech、Bergisch Gladbach、Germany)およびサキナビル（カタログ番号4658、NIH AIDS Reagent Program、Germantown、MD）を含むTexMACS GMP培地（カタログ番号170-076-309、Miltenyi Biotech、Bergisch Gladbach、Germany）中で 2×10^6 /mLで培養した。GFPを有するレンチウイルス

10

20

30

40

50

を、24時間後にM O I 5で添加した。I L - 7、I L - 15およびサキナビルを含む新鮮な培地を、増殖の間3日毎に添加した。I L - 7 / I L - 15の最終濃度は、10 n g / m Lであった。サキナビルの最終濃度は、100 n Mであった。12～16日目に、2～3×10⁶個の細胞を集めた。ペプチド再刺激およびC C S アッセイを実施して、抗原特異的C D 4 + T細胞を評価し、G F Pシグナル生成を用いて、形質導入効率を評価した。Q P C Rを実施してベクターコピー数を検出した。すべての実験は、製造業者の指示に従って実施した。

【0341】

4つの試料を試験した後、形質導入された細胞のパーセンテージとベクターコピー数との間に正の相関が観察された（図29）。

10

【0342】

配列

以下の配列が、本明細書で引用されている：

【表5-1】

配列番号	説明	配列
1	miR30 CCR5	AGGTATATTGCTGTTGACAGTGAGCGACTGTAAACTGAG CTTGCTCTACTGTGAAGCCACAGATGGTAGAGCAAGCA CAGTTACCGCTGCCTACTGCCTCGGACTTCAAGGGGCTT
2	miR21 Vif	CATCTCCATGGCTGTACCACCTTGTGCGGGGGATGTGTACT TCTGAACTTGTGTTGAATCTCATGGAGTTCAGAAGAACAC ATCCGCACTGACATTGTTGATCTTCATCTGACCA
3	miR185 Tat	GGGCCTGGCTCGAGCAGGGGGCGAGGGATTCCGCTTCTT CCTGCCATAGCGTGG TCCCCCTCCCCTATGGCAGGCAGAAGCGGCACCTTCCCTCC

20

30

40

50

【表 5 - 2】

		CAATGACCGCGTCTCGTCG	
4, 64	伸長因子-1 アルフ α(EF1-アルファ)プロモーター	CCGGTGCCTAGAGAAGGTGGCGCGGGTAAACTGGGAA AGTGATGTCGTACTGGCTCCGCCTTTCCGAGGGTG GGGGAGAACCGTATAAAGTCAGTAGTCGCCGTGAACG TTCTTTTCGCAACGGGTTGCCGCCAGAACACAGGTAAG TGCGTGTGGTCCCGCGGGCCTGGCCTTTACGGGT TATGGCCCTTGCCTGCTGAATTACTTCCACGCCCTGG CTGCAGTACGTGATTCTGATCCCAGCTCGGGTTGGAA GTGGGTGGGAGAGTTGAGGCCCTGCGCTTAAGGAGCCC CTTCGCCCTCGCTGACTGAGTTGAGGCCCTGGCCTGGCGCTG GGGCCGCCGCGTGCAGAACCTGGTGGCACCTCGCGCCTG TCTCGCTGCTTCGATAAGTCTCTAGCCATTAAAATT GATGACCTGCTGCGACGCTTTCTGGCAAGATAGTCT TGAAATGCGGGCCAAGATCTGACACTGGTATTTCGGTT TTTGGGGCCCGGGCGGGGACGGGGCCCTGCGAGGCCCA CGCACATGTCGGCGAGGCGGGGCGTGCAGGCCCA CCGAGAACGGACGGGGTAGCTCAAGCTGGCGGCC GCTCTGGTGCCTGGCTCGCGCCGCGTGTATCGCCCCGC CCTGGCGGCAAGGCTGGCCGGTGGCACCAAGTGC GAGCGGAAAGATGGCCGCTCCGCCCTGCTGCAGGG GCTCAAATGGAGGACGCGCGCTGGAGAGCGGGCG GGTAGTCACCCACACAAAGGAAAAGGGCTTCCGIC TCAGCCGTCGCTCATGTAAGTCCACGGAGTACCGGGCG CCGTCAGGCACCTCGATTAGTCTCGAGCTTGGAGTA CGTCGCTTGTGGAGGGGGAGGGGTTTATGCGATGG AGTTCCCCACACTGAGTGGGTGGAGACTGAAGTTAGGC CAGCTTGGCACTTGATGTAATTCTCCTTGGAAATTGCCCT TTTGAGTTGGATCTGGTCAATTCAAGCCTCAGACA GTGGTCAAAGTTCTTCAGGTGTCGTGA	10
5	CCR5 標的配列	GAGCAAGCTCAGTTACA	30
6	Vif 標的配列	GGGATGTGACTTCTGAATT	
7	Tat 標的配列	TCCGCTTCTCCTGCCATAG	
8	TAR デコイ配列	CTTGCATGATGTCGTAATTGCGTCTTACCTCGTCTCG ACAGCGACCAGATCTGAGCCTGGGAGCTCTGGCTGTC AGTAAGCTGGTACAGAAGGTTGACGAAAATTCTTACTGA GCAAGAAA	
9	Rev/Tat 標的配列	GC GGAGACAGCGACGAAGAGC	
10	Rev/Tat shRNA	GC GGAGACAGCGACGAAGAGCTTCAAGAGAGCTTCTCGT	40

【表 5 - 3】

	配列	CGCTGTCTCCGCTTTT
11	Gag 標的配列	GAAGAAATGATGACAGCAT
12	Gag shRNA 配列	GAAGAAATGATGACAGCATTCAAGAGAATGCTGTCATC ATTCTTCTTTT
13	Pol 標的配列	CAGGAGCAGATGATAACAG
14	Pol shRNA 配列	CAGGAGATGATAACAGTTCAAGAGACTGTATCATCTGCTC CTGTTTT
15	CCR5 標的配列 #1	GTGTCAAGTCCAATCTATG
16	CCR5 shRNA 配 列#1	GTGTCAAGTCCAATCTATGTTCAAGAGACATAGATTGGA CTTGACACTTTT
17	CCR5 標的配列 #2	GAGCATGACTGACATCTAC
18	CCR5 shRNA 配 列#2	GAGCATGACTGACATCTACTTCAAGAGAGTAGATGTCA GTCATGCTTTTT
19	CCR5 標的配列 #3	GTAGCTCTAACAGGTTGGA
20	CCR5 shRNA 配 列#3	GTAGCTCTAACAGGTTGGATTCAAGAGATCCAACCTGTT AGAGCTACTTTT
21	CCR5 標的配列 #4	GTCAGAAACTACCTCTTA
22	CCR5 shRNA 配 列#4	GTTCAGAAACTACCTCTTATTCAAGAGATAAGAGGTAG TTTCTGAACCTTTT
23	CCR5 標的配列 #5	GAGCAAGCTCAGTTACACC
24	CCR5 shRNA 配 列#5	GAGCAAGCTCAGTTACACCTCAAGAGAGGTGAAAC TGAGCTTGCTTTTT
25	Homo sapiens CCR5 遺伝子、 配列 1	ATGGATTATCAAGTGTCAAGTCCAATCTATGACATCAATT ATTATACATCGGAGGCCCTGCCAAAAATCAATGTGAAGC AAATCGCAGCCCGCCTGCCTGCCTCCGCTCTACTCACTGGT GTCATCTGGTTTGTTGGC
26	Homo sapiens CCR5 遺伝子、 配列 2	AACATGCTGGTCATCCTCATCCTGATAAAACTGCAAAAGG CTGAAGAGCATGACTGACATCTACCTGCTAACCTGGCC ATCTCTGACCTGTTTCTCTTACTGTCCCCTCTGGGC TCACTATGCTGCCAGTGGACTTGGAAATACAAT GTGTCAACTCTGACAGGGCTATTTATAGGCTCTTCT CTGGAATCTCTCATCATCCTCCTGACAATCGATAGGTA

10

20

30

40

50

【表 5 - 4】

		CCTGGCTGTGTCATGCTGTTGCTTAAAGCCAGG ACGGTCACCTTGGGTGGACAAGTGTGATCACTTGG GTGGTGGCTGTGTTGCGTCTCTCCAGGAATCATTTA CCAGATCTAAAAAGAAGGTCTCATTACACCTGCAGCT CTCATTTCCATACAGTCAGTATCAATTCTGGAAGAAATT CCAGACATTAAGATAGTCATCTGGGCTGGCCTGCC GCTGCTTGTATGGTCATCTGCTACTCGGAATCCTAAAA ACTCTGCTICGGTGTCAAATGAGAAGAAGAGGCACAGG GCTGTGAGGCTTATCTCACCATCATGATTGTTATTCT CTTCTGGCTCCCTACAACATTGTCTTCTCCTGAAC	10
27	Homo sapiens CCR5 遺伝子、 配列 3	ACCTTCCAGGAATTCTTGGCCTGAATAATTGCACTGAGCT CTAACAGGTTGGACCAAGCTATGCAGGTGA	
28	Homo sapiens CCR5 遺伝子、 配列 4	CAGAGACTCTGGGATGACGCACTGCTGCATCAACCCA TCATCTATGCCTTGTGGGGAGAAGTTCAGAAACTACCT CTTAGTCTTCTCCAAAAGCACATTGCCAACCGCTCTGC AAATGCTGTCTATTTCAG	
29	Homo sapiens CCR5 遺伝子、 配列 5	CAAGAGGCTCCGAGCGAGCAAGCTCAGTTACACCGA TCCACTGGGAGCAGGAAATATCTGTGGCTTGTA	20
30	CD4 プロモーター 配列	TGTTGGGTTCAAATTGAGCCCCAGCTGTTAGCCCCTTG CAAAGAAAAAAAAAAAAAGAACAAAGGGCTAG ATTCCCTCTGAGCCCACCTAAGATGAAGCCTCTCT TTCAAGGGAGTGGGTTGGGTGGAGGCGGATCCTGTCA GCTTGTCTCTGTGGCTGGCAGTTCTCAAAGGGTA ACAGGTGTAGCTGGCTGAGCCTAGGCTAACCTGAGA CATGCTACCTCTGTCTCATGGCTGGAGGCAGCCTTG TAAGTCACAGAAAGTAGCTGAGGGCTCTGGAAAAAG ACAGCCAGGGTGGAGGTAGATTGGTCTTGACTCCTGATT TAAGCCTGATTCTGCTTAACCTTTCCCTGACTTGGCAT TTCACTTGTACATGTTCCCTGAGAGCCTGGGGGGGG AACCCAGCTCCAGCTGGTACGTTGGGCCGGCCAGG CCTAGGGTGTGGAGGAGCCTTGCCATGGGCTCCTGTCT CTCTCATTAAGCACGACTCTGCAGA	30
31	miR30- CCR5/miR21- Vif/miR185 Tat マイクロ RNA クラ	AGGTATATTGCTGTGACAGTGAGGCACTGTAAGTGA CTTGCTCTACTGTGAAGCCACAGATGGTAGAGCAAGCA CAGTTACCGCTGCCTACTGCCTCGACTTCAGGGCTT CCGGGCATCCATGGCTGTACCACTTGTGGGGGATG TGTACTTCTGAACCTGTGTTGAATCTCATGGAGTTCAAGAA	40

【表 5 - 5】

	スター配列	GAACACATCCGCACTGACATTTGGTATCTTCATCTGAC CAGCTAGCGGGCCTGGCTCGAGCAGGGGGCGAGGGATT CGCTTCTTCCTGCCATAGCGTGGTCCCCTCCCTATGGCA GGCAGAAGCGGCACCTCCCTCCCAATGACCGCGTCTTC GTC	
32	長鎖 WPRE 配列	AATCAACCTCTGATTACAAAATTGTGAAAGATTGACTG GTATTCTTAACATATGTTGCTCCTTTACGCTATGTGGATAC GCTGCTTAATGCCTTGATCATGCTATTGCTCCCGTAT GGCTTTCATTTCCTCCCTTGATAAATCCTGGTTGCTGT CTCTTATGAGGAGTTGTCAGGCAACGTGG CGTGGTGTGCACTGTGTTGCTGACGCAACCCCCACTGGT TGGGGCATTGCCACCACCTGTCAGCTCCTTCGGGACTT TCGCTTCCCCCTCCATTGCCACGGCGGAACTCATCGC CGCCTGCCTGCCGCTGGACAGGGCTGGCTGTTG GGCACTGACAATTCCGTGGTGTGCGGGAAATCATCG TCCTTCCTGGCTGCTGCCGTGTTGACCTGGATTCT GCGCGGACGTCTCTGCTACGCCCTCGGCCCTCAAT CCAGCGGACCTCCTICCCGCGGCTGCTGCCGCTCTGC GGCCTTCCCGTCTCGCCTCGCCCTCAGACGAGTCG GATCTCCCTTGGCCGCTCCCCGCCT	10
33	伸長因子-1 アルフ ア(EF1-アルファ)ブ ロモータ ー;miR30CCR5;m iR21Vif;miR185 Tat	CCGGTGCCTAGAGAAGGTGGCGGGGTAAACTGGGAA AGTGATGTCGTGACTGGCTCGCCTTTCCCGAGGGTG GGGGAGAACCGTATATAAGTGCAGTAGTCGCCGTGAACG TCTCTTCGCAACGGGTTGCCGCCAGAACACAGGTAAG TGCCGTGTGGTTCCCGCGGGCTGGCCTTTACGGGT TATGCCCTTGCCTGCTGAATTACTCACGCCCTGG CTGCAGTACGTGATTCTGATCCGAGCTCAGGGTTGGAA GTGGGTGGGAGAGAGTCGAGGCCCTGCGCTTAAGGAGCCC CTTCGCCTCGTGTGCTTGAGTTGAGGCCCTGGCCTGGCGCTG GGGCCGCCGCGTGAATCTGGTGGCACCTCGCGCCTG TCTCGCTGTTCGATAAGTCTCTAGCCATTAAAATTTT GATGACCTGCTGCGACGCTTTCTGGCAAGATAGTCT TGAAATCGGGCCAAGATCTGCACACTGGTATTCGGTT TTGGGGCCGCGGGCGGCACGGGGCCCTGGCGTCCAG CGCACATGTTGGCGAGGCAGGGCCCTGCGAGCGCGGCA CCGAGAACGGACGGGGTAGTCTCAAGCTGCCGGCCT GCTCTGGTGCCTGGCCTCGCGCCCGTGTATGCCCGC CCTGGGCGGCAAGGCTGGCCCGTGGCACCAAGTTGCGT GAGCGGAAAGATGGCCGTTCCCGCCCTGCTGCAGGGAA	20 30 40

【表 5 - 6】

		GCTCAAAATGGAGGACCGCGCGCTCGGAGAGCGGGCG GGT GAGTCACCCACACAAAGAAAAGGGCCTTCGTCC TCAGCCGTCGCTCATGTGACTCCACGGAGTACCGGGCG CCGTCCAGGCACCTCGATTAGTTCTCGAGCTTGGAGTA CGTCGTCTTAGGTGGGGGAGGGGTTTATGCGATGG AGTTTCCCCACACTGAGTGGGTGGAGACTGAAGTTAGGC CAGCTTGGCACTTGATGTAATTCTCTTGAATTGCCCT TTT GAGTTGGATCTGGTCAATTCTCAAGCCTCAGACA GTGGTCAAAGTTTCTTCATTCAAGGTGTCGTGATG TACA <u>AGGTATATTGCTGTTGACAGTGAGCGACTGTAAACTGAG</u> <u>CTTGCTCTACTGTGAAGCCACAGATGGTAGAGCAAGCA</u> <u>CAGTTACCGCTGCCTACTGCCTCGACTCAAGGGGCTT</u> <u>CCCGGGCATCTCCATGGCTGTACCACCTTGTGGGGGATG</u> <u>TGACTTCTGAACTTGTGTTGAATCTCATGGAGTTCAAGAA</u> <u>GAACACATCCGCACTGACATTGGTATCTTCATCTGAC</u> <u>CAGCTAGCGGGCTGGCTCGAGCAGGGGGCGAGGGATT</u> <u>CGCTTCTCCTGCCATAGCGTGGTCCCCTCCCTATGGCA</u> <u>GGCAGAAGCGGCACCTCCCTCCAATGACCGCGTCTTC</u> <u>GTC</u>	10
34	ラウス肉腫ウイルス (RSV)プロモーター	GTAGTCTTATGCAATACTCTTGAGTCTTGAACATGGTA ACGATGAGTTAGCAACATGCCCTACAAGGAGAGAAAAAG CACCGTGATGCCATTGGTGAAGTAAGGTGGTACGAT CGTGCCTTATTAGGAAGGCAACAGACGGGTCTGACATGG ATTGGACGAACCACTGAATTGCCGATTGCAGAGATATT GTATTTAAGTGCCTAGCTCGATACAATAAACG	20
35	5'末端反復配列 (LTR)	GGTCTCTCTGGTTAGACCAAGATCTGAGCCTGGGAGCTCTC TGGCTAACTAGGAAACCCACTGCTTAAGCCTCAATAAG CTTGCCTTGAGTGCCTCAAGTAGTGTGCCCCGCTGTG TGTGACTCTGGTAACTAGAGATCCCTCAGACCCTTAGT CAGTGTGGAAAATCTCTAGCA	30
36	Psi パッケージング シグナル	TACGCCAAAAATTGACTAGCGGAGGCTAGAAGGAGAG AG	
37	Rev 応答エレメント(RRE)	AGGAGCTTGTCCCTGGTTCTGGGAGCAGCAGGAAG CACTATGGCGCAGCCTCAATGACGCTGACGGTACAGGC CAGACAAATTATTGTCTGGTATAGTGCAGCAGCAGAACAA TTGCTGAGGGCTATTGAGGCGAACAGCATCTGTGCA ACTCACAGTCTGGGCATCAAGCAGCTCCAGGCAAGAAT CCTGGCTGTGGAAAGATACTAAAGGATCAACAGCTCC	40

【表5-7】

38	中央ポリプリントラクト(cPPT)	TTTTAAAAGAAAAGGGGGGATTGGGGGGTACAGTGCAGG GGAAAGAATAGTAGACATAATAGAACAGACATACAAA CTAAAGAATTACAAAAACAAATTACAAAATTCAAAATT TA	
39, 102	3'デルタ LTR	TGGAAGGGCTAATTCACTCCAACGAAGATAAGATCTGC TTTTGCTTGTACTGGGCTCTCTGGTTAGACCAGATCTG AGCCTGGGAGCTCTGGCTAACTAGGGAACCCACTGCT TAAGCCTAATAAAGCTTGCTTGAGTGCTCAAGTAGTG TGTGCCGCTCTGGTGTGACTCTGGTAACTAGAGATCCC TCAGACCCTTTAGTCAGTGTGGAAAATCTCTAGCAGTAG TAGTTCATGTCA	10
40, 49	ヘルパー /Rev;CMV 初期 (CAG)エンハンサー; 転写を増強する	TAGTTATAATAGTAATCAATTACGGGTCTAGTTCAT AGCCCATATATGGAGITCCCGCTACATAACTACGGTAA ATGGCCCGCCTGGCTGACCGCCAAACGACCCCCGCCAT TGACGTCAATAATGACGTATGTTCCATAGTAACGCCAAT AGGGACTTCCATTGACGTCAATGGGTGGACTATTACGG TAAACTGCCACTTGGCAGTACATCAAGTGTATCATATGC CAAGTACGCCCTATTGACGTCAATGACGGTAAATGGC CCGCCTGGCATTATGCCAGTACATGACCTTATGGACTT TCCTACTTGGCAGTACATCTACGTATTAGTCATC	20
41, 50	ヘルパー/Rev;ニワ トリベータアクチン (CAG)プロモーター; 転写	GCTATTACCATGGGTGAGGTGAGCCCCACGTTCTGCTTC ACTCTCCCCATCTCCCCCCCCTCCCCACCCCCAATTTGTA TTTATTATTTTTAATTATTTGTGAGCGATGGGGCGG GGGGGGGGGGGGCGCGGCCAGGGGGGGGGGGGGGG CGAGGGGGGGGGCGGGCGAGGGGGAGAGGTGCGCG CAGCCAATCAGAGCGGCCGCTCCGAAAGTTCTTTAT GGCGAGGCGGCGGCGGCGGCGGCGCTATAAAAAGCGAA GCGCGCGGGCG 30	
42, 51	ヘルパー/Rev;ニワ トリベータアクチニ ントロン;遺伝子発 現を増強する	GGAGTCGCTGCGTTGCCTTCGCCCCGTGCCCCGCTCCGCG CCGCCTCGCGCCGCCCGCCCGGCTCTGACTGACCGCGTT ACTCCCACAGGTGAGCGGGCGGGACGGCCCTCTCC GGGCTGTAATTAGCGCTGGTTAATGACGGCTCGTTCT TTCTGTGGCTGCGTAAAGCCTAAAGGGCTCCGGGAG GGCCCTTGTGCGGGGGAGCGGCTCGGGGGTGC CGTGTGTGTGCGTGGGGAGCGCCGCGTGC CTGCCCCGGCGCTGTGAGCGCTGCGGCGCGCG CTTGCGCTCCGCGTGTGCGCAGGGGAGCGCG GGGGCGGTGCCCGCGGTGCGGGGGCTGCGAGGGGA ACAAAGGCTGCGTGCAGGGGTGTGCGTGGGGGGTGAG	40

【表 5 - 8】

		CAGGGGGTGTGGCGCGCGGTGGCTGTAACCCCCC CTGCACCCCCCTCCCCGAGTTGCTGAGCACGCCGGCTT CGGGTGCGGGGCTCCGTGCGGGGCTGGCGCGGGGCTCG CCGTGCCGGCGGGGGTGGCGGCAGGTGGGGTGC GGCGGGGCGGGGCCCTCGGGCGGGGAGGGCTCGG GGAGGGGCGGGCGGCCGGAGCGCCGGCTGCG AGGCAGGGCGAGCCATTGCCTTATGGTAATC GTGCGAGAGGGCGCAGGGACTTCCTTGTC GCGGAGCCGAAATCTGGGAGGC GCCGACCCCCCTCT ACGGGGCGGGCGAAGCGGTGC GGCGAGGAAG GAAATGGGCGGGGAGGGC CTCGCGTC CGTCCCCTCTCATCTCCAGCCTGGGCTGCC GGACGGCTGCC CTCGGGGGACGGG CAGGGCGGGTT CGGCTCTGGCGTGTGACCGGCGG
43, 52	ヘルパー/Rev;HIV Gag;ウイルスカプシ F	ATGGGTGCGAGAGCGTCAGTATTAAGCGGGGGAGAATT GATCGATGGAAAAAAATCGGTTAAGGCCAGGGGGAAA GAAAAAAATAAATTAAAACATATAGTATGGCAAGCAG GGAGCTAGAACGATTGCAGTTAACCTGGCTGTAGA AACATCAGAACGGCTGTAGACAAATACTGGGACAGCTACA ACCATCCCTCAGACAGGATCAGAAGAACTTAGATCATT ATATAATACAGTAGCAACCTCTATTGTGTGC ATCAAAG GATAGAGATAAAAGACACCAAGGAAGCTTAGACAAGA TAGAGGAAGAGCAAAACAAAGTAAGAAAAAGCACAG CAAGCAGCAGCTGACACAGGACACAGCAATCAGGT CAAATTACCTATAGTCAGAACATCCAGGGGCAAATG GTACATCAGGCCATATCACCTAGAACTTAAATGC ATGG ATACCCATGTTTCAGCATTATCAGAAGGAGCCACCC AAC AAGATTAAACACCATGCTAAACACAGTGGGGGACATC AAGCAGGCCATGCAAATGTTAAAGAGACC ATCAATGAGG AAGCTGAGAATGGGATAGAGTGC ATCCAGTGC CATGCAG GGCCTATTGCACCAGGCCAGATGAGAGAACCAAGGG AGTGC ACATAGCAGGA ACTACTAGTAC CCCTCAGGA ACAA ATAGGATGGATGACACATAATCCACCTATCCAGTAG GAAATCTATAAAAGATGGATAATCCTGGATTAA ATAGTAAGAATGTATAGCC TACCA GAG AGC AGA CGATTCTATAAA ACTCTAAGAGCG GAGCAAGCT CACAA GAGGTAAAAA ATTGGATGACAG AAAC CTTGTGGT CCAA

10

20

30

40

50

【表 5 - 9】

		AATGGAAACCCAGATTGAAGACTATTTAAAAGCATTG GGACCAGGAGCGACACTAGAAGAAATGATGACAGCATG TCAGGGAGTGGGGGGACCCGGCCATAAAGCAAGAGTTT GGCTGAAGCAATGAGCCAAGTAACAATCCAGCTACCAT AATGATACAGAAAGGCAATTAGGAACCAAAGAAAGA CTGTTAAGTGTTCATTGTGGCAAAGAAGGGCACATAG CCAAAAATTGCAGGGCCCCTAGGAAAAAGGGCTGTGGA AATGTGAAAGGAAGGACACCAATGAAAGATTGTACTG AGAGACAGGCTAATTAGGAAGATCTGGCCTTCCC ACAAGGGAAGGCCAGGGAATTCTTCAGAGCAGACCAG AGCCAACAGCCCCACCAGAACAGAGCTCAGGTTGGGG AAGAGACAACAACCTCCCTCTCAGAACAGCAGGAGCCGATAG ACAAGGAACGTATCCTTAGCTTCCCTCAGATCACTCTT TGGCAGCGACCCCTCGTCACAATAA
44, 53	ヘルパー/Rev; HIV Pol; プロテアーゼおよび逆転写酵素	ATGAATTGCCAGGAAGATGGAACCAAAATGATAGGG GGAATTGGAGGTTTATCAAAGTAGGACAGTATGATCAG ATACTCATAGAAATCTCGGGACATAAAGCTATAGGTACA GTATTAGTAGGACCTACACCTGTCAACATAATTGGAAGA AATCTGTTGACTCAGATTGGCTGCACTTAAATTTCCTA TTAGTCCTATTGAGACTGTACCAAGTAAATTAAAGCCAG GAATGGATGGCCAAAAGTTAACAAATGGCATTGACAG AAGAAAAATAAAAGCATTAGTAGAAATTGTACAGAAA TGGAAAAGGAAGGAAAATTCAAAATTGGCCTGAA AATCCATACAATACTCCAGTATTGCCATAAAGAAAAAA GACAGTACTAAATGGAGAAAATTAGTAGATTTCAGAGAA CTTAATAAGAGAACTCAAGATTCTGGGAAGTTCAATT GGAATACCACATCCTGCAGGGTTAAACAGAAAAATCA GTAACAGTACTGGATGTGGCGATGCATATTTCAGITTC CCTTAGATAAAGACTTCAGGAAGTACTGCATTACCAT ACCTAGTATAAACATGAGACACCAGGGATTAGATATCA GTACAATGTGCTTCCACAGGGATGGAAAGGATCACCAGC AATATTCCAGTGTAGCATGACAAAATCTAGAGCCTTT AGAAAACAAAATCCAGACATAGTCATCTATCAATACATG GATGATTGTATGTAGGATCTGACTTAGAAATAGGGCAG CATAGAACAAAATAGAGGAACGTGAGACAACATCTGTT AGGTGGGGATTACACACCAGACAAAAACATCAGAAA GAACCTCCATTCTTGATGGTTATGAACCTCCATCCTG ATAAATGGACAGTACAGCCTATAGTGTGCTGCCAGAAAAGG ACAGCTGGACTGTCAATGACATAACAGAAATTAGTGGGAA

10

20

30

40

50

【表 5 - 10】

		AATTGAATTGGGCAAGTCAGATTATGCAGGGATTAAAG TAAGGCAATTATGTAAACTCTTAGGGGAACCAAAGCAC TAACAGAAGTAGTACCACTAACAGAAGAAGCAGAGCTA GAACCTGGCAGAAAACAGGGAGATTCTAAAAGAACCGGT ACATGGAGTGTATTATGACCCATCAAAAGACTTAATAGC AGAAATACAGAAGCAGGGCAAGGCCAATGGACATATC AAATTATCAAGAGCCATTAAAATCTGAAAACAGGAA AATATGCAAGAATGAAGGGTGCACACTAATGATGTGA AACAACTAACAGAGGCAGTACAAAAATAGCCACAGAA AGCATAGTAATATGGGAAAGACTCCTAAATTAAATT CCCATAACAAAGGAAACATGGGAAGCATGGTGACAGA GTATTGGCAAGCCACCTGGATTCTGAGTGGAGTTGTC AATACCCCTCCCTAGTGAAGTTATGGTACCACTAGAGA AAGAACCCATAATAGGAGCAGAAACTTCTATGTAGATG GGCAGCCAATAGGGAAACTAAATTAGGAAAAGCAGGA TATGTAACTGACAGAGGAAGACAAAAAGTTGCCCCCTA ACGGACACAACAAATCAGAAGACTGAGTTACAAGCAATT CATCTAGCTTGCAGGATTGGGATTAGAAGTAAACATA GTGACAGACTCACAATATGCATTGGGAATCATTCAAGCA CAACCAGATAAGAGTGAATCAGAGTTAGTCAGTCAAATA ATAGAGCAGTTAATAAAAAAGGAAAAAGTCTACCTGGCA TGGGTACAGCACACAAAGGAATTGGAGGAAATGAACA AGTAGATGGGTTGGTCAGTGCTGGAATCAGGAAAGTACT A
45, 54	ヘルパー Rev;HIV インテグ ラーゼ;ウイルス RNA の組み込み	TTTTAGATGGAATAGATAAGGCCAAGAAGAACATGAG AAATATCACAGTAATTGGAGAGCAATGGCTAGTGATT AACCTACCACCTGTAGTAGCAAAAGAAATAGTAGCCAGC TGTGATAATGTCAGCTAAAAGGGGAAGCCATGCATGGA CAAGTAGACTGTAGCCCAGGAATATGGCAGCTAGATTGT ACACATTAGAAGGAAAAGTTATCTGGTAGCAGTICAT GTAGCCAGTGGATATAGAAGCAGAAGTAATTCCAGCA GAGACAGGGCAAGAACAGCATACTCCTTAAATT GCAGGAAGATGCCAGTAAAACAGTACATACAGACAA TGGCAGCAATTICACCACTACTACAGTTAAGGCCGCTGT TGGTGGCGGGGATCAAGCAGGAATTGGCATTCCCTAC AATCCCCAAAGTCAGGAGTAATAGAATCTATGAATAAA GAATTAAAGAAAATTATAGGACAGGTAAAGAGATCAGGCT GAACATCTTAAGACAGCAGTACAAATGGCAGTATTCTAC CACAATTAAAAGAAAAGGGGGATTGGGGGTACAGT
		10 20 30 40

【表 5 - 11】

		GCAGGGGAAAGAATAGTAGACATAATAGCAACAGACAT ACAAACTAAAGAATTACAAAAACAAATTACAAAAATTCA AAATTTCGGTTTATTACAGGGACAGCAGAGATCCAGT TTGGAAAGGACCAGCAAAGCTCCTCTGGAAAGGTGAAGG GGCAGTAGTAATACAAGATAATAGTGACATAAAAGTAGT GCCAAGAAGAAAAGCAAAGATCATCAGGGATTATGGAA AACAGATGGCAGGTGATGATTGTGGCAAGTAGACAGG ATGAGGATTAA	
46, 55	ヘルパー/Rev;HIV RRE;Rev エレメントに結合する	AGGAGCTTGTCTGGTTCTGGGAGCAGCAGGAAG CACTATGGCGCAGCGTCAATGACGCTGACGGTACAGGC CAGACAATTATTGTCTGGTATAGTCAGCAGCAGAACAA TTGCTGAGGGCTATTGAGGCAGAACAGCATCTGTC ACTCACAGCTGGGCATCAAGCAGCTCCAGGCAAGAAT CCTGGCTGTGAAAGATACTAAAGGATCAACAGCTCCT	10
47, 57, 58	ヘルパー/Rev;HIV Rev;核外輸送、およびウイルス mRNA を安定化する	ATGGCAGGAAGAAGCGGAGACAGCGACGAAGAACTCCT CAAGGCAGTCAGACTCATCAAGTTCTATCAAAGCAA CCCACCTCCAATCCCGAGGGGACCCGACAGGCCCGAAG GAATAGAAGAAGAAGGTGGAGAGAGAGACAGAGACAGA TCCATTGATTAGTGAACGGATCCTAGCACTTATCTGGG ACGATCTCGGGAGCCTGTGCCTTCAGCTACCACCGCTT GAGAGACTTACTCTGATTGTAACGAGGATTGTGAACTT CTGGGACGCAGGGGTGGAAAGCCTCAAATATTGGTGG AATCTCCTACAATATTGGAGTCAGGAGCTAAGAATAG	20
48, 56	ヘルパー/Rev;ウサギベータグロビンボリ A;RNA 安定性	AGATCTTTTCCCTCTGCCAAAAATTATGGGACATCATG AAGCCCTTGGCATCTGACTTCTGGCTAATAAAGGAAA TTTATTTTCAATTGCAATAGTGTGGAAATTGGTGTCT CTCACTCGGAAGGACATATGGGAGGGCAAATCATTAAA ACATCAGAATGAGTATTGGTTAGAGTTGGCAACATAT GCCATATGCTGGCTGCCATGAACAAAGGTGGCTATAAAG AGGTCACTAGTATATGAAACAGCCCCCTGCTGCCATTCC TTATTCATAGAAAAGCCTTGACTTGAGGTTAGATTTTT TTATATTTGTTGTGTTATTGGTCTTAAACATCCCTAA AATTTCTTACATGTTTACTAGCCAGATTTCCCTCCTC TCCTGACTACTCCCAGTCAGCTGCCCTCTCTTATG AAGATC	30
59, 63	Rev;ウサギベータグロビンボリ A;RNA 安定性	AGATCTTTTCCCTCTGCCAAAAATTATGGGACATCATG AAGCCCTTGGCATCTGACTTCTGGCTAATAAAGGAAA TTTATTTTCAATTGCAATAGTGTGGAAATTGGTGTCT CTCACTCGGAAGGACATATGGGAGGGCAAATCATTAAA	40

【表 5 - 1 2】

		ACATCAGAATGAGTATTGGTTAGAGTTGGCAACATAT GCCCATATGCTGGCTGCCATGAACAAAGGTTGGCTATAA AGAGGTCACTAGTATATGAAACAGCCCCCTGCTGTCCATT CCTTATTCCATAGAAAAGCCTGACTTGAGGTTAGATTT TTTATATTITGTTGTTATTTTCTTAACATCCCT AAAATTTCCTTACATGTTTACTAGCCAGATTTTCCTCC TCTCCTGACTACTCCCAGTCATAGCTGTCCCTCTCTTA TGGAGATC	
60	エンベロープ;CMV プロモーター;転写	ACATTGATTATTGACTAGTTATTAAATAGTAATCAATTACG GGGTCAATTAGTICATAGCCATATATGGAGTCCCGCGITA CATAACTTACGGTAAATGGCCCGCCTGGCTGACCGCCCA ACGACCCCCGCCATTGACGTCAATAATGACGTATGTTCC CATAGTAACGCCAATAGGGACTTCCATTGACGTCAATG GGTGGAGTATTACGGTAAACTGCCCATTGGCAGTACA TCAAGTGTATCATATGCCAAGTACGCCCCATTGACGTC AATGACGGTAAATGGCCCGCCTGGCATTATGCCAGTAC ATGACCTTATGGGACTTCCATTGGCAGTACATCTACG TATTAGTCATCGTATTACCATGGTATGCGGTTGGCA GTACATCAATGGCGTGGATAGCGGTTGACTCACGGGG ATTCCAAGTCTCCACCCCATTGACGTCAATGGGAGTTG TTTGGCACCAAAATCAACGGGACTTCCAAAATGTCGTA ACAACCTCCGCCATTGACGCAAATGGCGGTAGGCAGT TACGGTGGGAGGTCTATATAAGC	10
61	エンベロープ;ベータ グロビンイントロン; 遺伝子発現を増強する	GTGAGTTGGGACCCTGATTGTTCTTCTTTCGCTAT TGAAAATTATGTTATATGGAGGGGGCAAAGTTTCAG GGTGTGTTAGAATGGGAAGATGTCCTTGTATCACCAT GGACCTCATGATAATTGTTCTTCACTTCTACTCTG TTGACAACCATTGTCCTCTTATTTCATTTCATTCTGT AACTTTCTGTTAACTTAGCTGCATTGTAACGAATT TTAAATTCACTTTGTTATTGTCAGATTGTAAGTACTTT CTCTAACACTTTCTCAAGGCAATCAGGGTATATTAT ATTGTACTTCAGCACAGTTAGAGAACAAATTGTTATAAT TAAATGATAAGGTAGAATATTCTGCATATAAATTCTGGC TGGCGTGGAAATATTCTTATTGGTAGAAACAACACACC CTGGTCATCATCCTGCCTTCTCTTATGGTACAATGATA TACACTGTTGAGATGAGGATAAAACTCTGAGTCAA ACCGGGCCCCCTGCTAACCATGTTCATGCCTCTCTT TCCTACAG	20
62	エンベロープ;VSV-	ATGAAGTGCCTTTGACTTAGCCTTTATTCAATTGGGGT	30
			40

【表5-13】

G:糖タンパク質エ ンベロープ-細胞進 入	GAATTGCAAGTTACCATAGTTTTCACACAACCAAAAA AGGAAACTGGAAAATGTCTCTAATTACCATTATTGC CCGTCAAGCTCAGATTAAATTGGCATAATGACTTAATAG GCACAGCCTTACAAGTCAAATGCCAAGAGTCACAAGG CTATTCAAGCAGACGGTGGATGTCTATGCTCCAATG GGTCACTACTTGTGATTCCGCTGGTATGGACCGAAGTATG ATAACACATCCATCCGATCCTCACTCCATCTGTAGAAC AATGCAAGGAAAGCATTGAACAAACGAAACAAGGAAC TGGCTGAATCCAGGCTCCCTCTCAAAGTTGGATATG CAACTGTGACGGATGCCAAGCAGTGATTGTCCAGGTGA CTCCTCACCATGTGCTGGTGTGAATACACAGGAGAAT GGGTTGATTACAGTTACACGGAAATGCAGCAATT ACATATGCCCACTGTCCATAACTCTACAAACCTGGCATT TGACTATAAGGTCAAAGGGCTATGTGATTCTAACCTCATT TCCATGGACATCACCTCTCAGAGGACGGAGAGCTAT CATCCCTGGAAAGGAGGGCACAGGGTCAAGAGTAAC ACTTTGCTTATGAAACTGGAGGCAAGGCCTGCAAATGC AATACTGCAAGCATTGGGAGTCAGACTCCCACAGGTG TCTGGTCGAGATGGCTGATAAGGATCTTGTGCAGC CAGATTCCCTGAATGCCAAGGGTCAAGTATCTGCT CCATCTCAGACCTCAGTGGATGTAAGTCTAACCTCAGGAC GTTGAGAGGATCTGGATTATCCCTCTGCCAAGAACCT GGAGCAAAATCAGAGCGGGCTTCAATCTCCAGTGG ATCTCAGCTATCTGCTCTAAACCCAGGAACCGGTCC TGCTTTCACCATAATCAATGGTACCTAAAATCTTGAG ACCAGATACTCAGAGTCGATATTGCTGCTCAATCCTCT CAAGAATGGCGGAATGATCAGTGGAACTACCACAGAAA GGGAACTGTGGGATGACTGGCACCATATGAAGACGTGG AAATTGGACCAATGGAGTTCTGAGGACCAGTCAGGAT ATAAGTTCTTATACATGATTGGACATGGTATGG CTCCGATCTCATCTTAGCTCAAAGGCTCAGGTGTTGAA CATCCTCACATTCAAGACGCTGCTCGCAACTCCTGATG ATGAGAGTTATTTGGTGTAACTGGCTATCCAAAAAA TCCAATCGAGCTTGTAGAAGGTTGGTCAAGTGGAA AAGCTCTATTGCCTCTTTCTTATCATAGGGTAATCA TTGGACTATTCTGGTCTCCGAGTTGGTATCCATCTTG ATTAATTAAGCACACCAAGAAAAGACAGATTATA GACATAGAGATGA	10 20 30	
65	プロモーター;PGK	GGGGTTGGGGTTGCGCCTTTCCAAGGCAGCCCTGGGTTT	40

【表 5 - 1 4】

		GCGCAGGGACGCGGCTGCTCTGGCGTGGTCCGGAAA CGCAGCGGCCGACCCCTGGTCTCGCACATTTCACGT CCGTTCGCAGCGTACCCGGATCTCGCCGCTACCTTGT GGGCCCCCGGCACGCTCTGCTCCGCCCCTAAGTCGG GAAGGTTCTTGCCTCGGGCTGCGGGACGTGACAA ACGGAAGCCGACGTCACTAGTACCCCTCGCAGACGGA CAGGCCAGGGAGCAATGGCAGCGCCGACCGCGATG GGCTGTGCCAATAGCGGCTGCTCAGCAGGGCGGCCGA GAGCAGCGGCCGGAAAGGGCGGTGCGGGAGGCAGGGT GTGGGGCGGTAGTGTGGGCCCTGTTCTGCCGCGGGT GTTCCGCATTCTGCAAGCCTCCGAGCGCACGTCGGCAG TCGGCTCCCTCGTTGACCGAATACCGACCTCTCCCCA G
66	プロモーター;Ubc	GCGCGGGTTTGGCGCCTCCCAGGGCGCCCCCTCCTC ACGGCGAGCGCTGCCACGTAGACGAAGGGCGCAGGAG CGTCCGTATCCTCCGCCGGACGCTCAGGACAGCGGCC CGCTGCTCATAAAGACTCGGCCTAGAACCCAGTATCAG CAGAAGGACATTTAGGACGGACTTGGTGACTCTAGG GCACTGGTTTCTTCCAGAGAGCGGAACAGGGAGGAA AAAGTAGTCCCTCTCGCGATTCTCGGGAGGGATCTCCGT GGGGCGGTGAACGCCGATGATTATAAGGACGCGCCGG GTGTGGCACAGCTAGTCCGTCGAGCCGGATTGGGT CGCGGTTCTGTTGTGGATCGTGTGATCGTCACTGGT GAGTTGCGGGCTGCTGGCTGGCCGGGCTTCGTGGCC GCCGGGCCGCTCGGTGGACGGAAGCGTGTGGAGAGACC GCCAAGGGCTGTAGTCTGGTCCCGAGCAAGGTTGCC TGAACTGGGGTTGGGGGAGCGCACAAATGGCGGCTG TTCCCGAGTCTTGAATGGAAGACGCTTGTAAAGGCGGGCT GTGAGGTCGTTGAAACAAGGTGGGGGATGGTGGCGG CAAGAACCAAGGTCTGAGGCCTCGCTAATGCGGGAA AGCTCTTATTGGGTGAGATGGCTGGGCACCATCTGG GGACCTGACGTGAAGTTGTCACTGACTGGAGAACTCG GGTTGTCGTCGTTGCGGGGGCGGAGTATGCGGTGC CGTTGGGAGTGCACCGTACCTTGGGAGCGCGCGCT CGTCGTGTCGTCACGTACCCGTTCTGTTGGCTATAATG CAGGGTGGGGCACCTGCCGGTAGGTGTGCGGTAGGCTT TTCTCCGTCGAGGACGCAGGGTCTGGGCTAGGTAGG CTCTCCTGAATCGACAGGCGCCGGACCTCTGGTGGAGGG AGGGATAAGTGAGGCGTCAGTTCTTGGTGGTTATG

10

20

30

40

50

【表5-15】

		TACCTATCTCTTAAGTAGCTGAAGCTCCGGTTTGAACT ATGCGCTCGGGGTGGCGAGTGTGTTTGAAAGTTTTT AGGCACCTTTGAAATGAAATCATTTGGTCAATATGTAA TTTCAGTGTAGACTAGTAAA
67	ポリ A;SV40	GTTTATTGCGCTTATAATGGTACAAATAAAGCAATAGC ATCACAAATTTCACAAATAAAGCATTTCAGTGCATT CTAGITGTGGTTGICCAAACCTCATCAATGTATCTTATCA
68	ポリ A;bGH	GACTGTGCCTCTAGTTGCCAGCCATCTGTTGTTGCC TCCCCCGTGCCTTCCTTGACCTGGAGGTGCCACTCCC CTGTCTTCTTAATAAAATGAGGAATTGCATCGCATTG TCTGAGTAGGTGTCATTCTATTCTGGGGGTGGGGTGGG GCAGGACAGCAAGGGGAGGATTGGAAAGACAATAGCA GGCATGCTGGGATCGGTGGCTATGG
69	HIV Gag; Bal	ATGGGTGCGAGAGCGTCAGTATTAAAGCGGGGGAGATT GATAGGTGGGAAAAAATTGGTTAAGGCCAGGGGAAA GAAAAAAATAGATTAAAACATATAGTATGGCAAGCAG GGAACATAGAAAAGATTGCGAGTCATCCTGGCTGTTAGA AACATCAGAAGGCTGCAGACAAACTGGGACAGCTACA ACCATCCCTCAGACAGGATCAGAAGAACTTAGATCATT ATATAATACAGTAGCAACCTCTATTGTGTACATCAAAA GATAGAGGTAAAAGACACCAAGGAAGCTTAGACAAAAA TAGAGGAAGAGCAAAACAAATGTAAGAAAAAGGCACAG CAAGCAGCAGCTGACACAGGAAACAGCGGTAGGTAG CCAAAATTCCCTATAGTCAGAACCTCCAGGGCAAAT GGTACATCAGGCCATATCACCTAGAACCTTAAATGCATG GGTAAAAGTAATAGAAGAGAAAGCTTCAGCCAGAAGT AATACCCATTTTCAGCATTATCAGAAGGAGCCACCCC ACAAGATTAAACACCATGCTAAACACAGTGGGGGACA TCAAGCAGCCATGCAAATGTTAAAAGAACCCATCAATGA GGAAGCTGCAAGATGGGATAGATTGCATCCCGTGCAGGC AGGGCCTGTTGACCAGGCCAGATAAGAGATCCAAGGGG AAAGTACATAGCAGGAACCTACCAAGTACCCCTCAGGAACA AAATAGGATGGATGACAAGTAATCCACCTATCCCAGTAGG AGAAATCTATAAAAGATGGATAATCCTGGGATTAAATAA AATAGTAAGGATGTAGCCCTACCAAGCATTGGACAT AAAGACAAGGACCAAGGAACCCCTTAGAGACTATGTAGA CCGGTTCTATAAAACTCTAAGAGCCGAGCAAGCTTCACA GGAGGTAAAAATTGGATGACAGAAACCTTGTGGTCCA AAATGCGAACCCAGATTGTAAGACTATTTAAAGCATT

10

20

30

40

【表 5 - 16】

		GGGACCAAGCAGCTACACTAGAAGAAATGATGACAGCATG TCAGGGAGTGGGAGGCCAGCCATAAAGCAAGAATT GGCAGAACGAATGAGCCAAGTAACAAATTCTAGCTACCAT AATGATGCAGAAAGGCAATTCTAGGAACCAAGAAAGAT TGTTAAATGTTCAATTGTGGCAAAGAAGGGCACATAGC CAGAAACTGCAGGGCCCTAGGAAAAGGGCTGGAA ATGTGGAAAGGAAGGACACCAAATGAAAGACTGTACTG AGAGACAGGCTAATTCTAGGGAAAATCTGCCCTCCC ACAAAGGAAGGCCAGGGAAATTCTCAGAGCAGACCAG AGCCAACAGCCCCACCAGCCCCACCAGAAGAGAGCTTCA GGTTTGGGAAAGAGACAACAACTCCCTCTCAGAAGCAGG AGCTGATAGACAAGGAACTGTATCCTTAGCTCCCTCAG ATCACTCTTGCAACGACCCCTCGTCACAATAA
70	HIV Pol; Bal	ATGAATTGCCAGGAAGATGGAAACCAAAATGATAGGG GGAATTGGAGGTTTATCAAAGTAAGACAGTATGATCAG ATACTCATAGAAATCTGTGGACATAAAGCTATAGGTACA GTATTAATAGGACCTACACCTGTCAACATAATTGGAAGA AATCTGTTGACTCAGATTGGTGCACTTAAATTCCC TTAGTCCTATTGAAACTGTACCAAGTAAAATTAAAACCAG GAATGGATGGCCAAAAGTTAAACAATGCCACTGACAG AAGAAAAAATAAAAGCATTATGAAATCTGTACAGAA ATGGAAAAGGAAGGGAAAATTCAAAAATTGGCCTGA AAATCCATACAATACTCCAGTATTGCCATAAAGAAAAA AGACAGTACTAAATGGAGAAAATTAGTAGATTTCAGAGA ACTTAATAAGAAAACCAAGACTCTGGGAAGTACAATT AGGAATACACATCCCGCAGGGTTAAAAAGAAAAAAT CAGTAACAGTACTGGATGTGGGTGATGCATATTTCAGT TCCCTTAGATAAAGAATTCAAGGAGTACTGCATTAC ATACCTAGTATAAACATGAAACACCAGGGATCAGATAT CAGTACAATGTAATTCCACAGGGATGGAAAGGATCACCA GCAATATTCAAAGTAGCATGACAAGAATCTAGAGCCT TTAGAAAACAAATCCAGAAATAGTGTACTCAATAC ATGGATGATTGTATGTTAGGATCTGACTTAGAAATAGGG CAGCATAGAACAAAAATAGAGGAACCTGAGAACACATCT GTTGAGGTGGGATTACACACCAGACAAAAACATCA GAAAGAACCTCCATTCTTGGATGGTTATGAAACTCCAT CCTGATAATGGACAGTACAGCCTATAGTGTGCCAGAA AAAGACAGCTGGACTGTCAATGACATACAGAACAGTTAGTG GGAAAATTGAATTGGCAAGTCAGATTACCCAGGAATT

10

20

30

40

50

【表 5 - 17】

		AAAGTAAAGCAATTATGTAGGCTCCTAGGGAACCAAG GCATTAACAGAAGTAATACCACTAACAAAAGAACAGA GCTAGAACTGGCAGAGAACAGGGAAATTCTAAAAGAAC CAGTACATGGGTGTATTATGACCATCAAAAGACTTAA TAGCAGAAATACAGAACAGGGCAAGGCCATGGAC TATCAAATTATCAAGAGCCATTAAAAATCTGAAAACA GGAAAATATGCAAGAACATGAGGGTGCCCACACTAATGAT GTAAAACAATTAACAGAGGCAGTGCAAAAAATAACCAC AGAAAGCATAGTAATATGGGAAAGACTCCTAAATTAA ACTACCCATACAAAAGAACATGGAAACATGGTGGAC AGAGTATTGGCAAGCCACCTGGATTCTGAGTGGGAGTT TGTCAATACCCCTCCCTAGTGAATTATGGTACCAAGTTA GAGAAAGAACCCATAATAGGAGCAGAACATTCTATGTA GATGGAGCAGCTAACCGGGAGACTAAATTAGGAAAAGC AGGATATGTTACTAACAGAGGAAGACAAAAGTTGTCTC CCTAAGTACACAACAAATCAGAACAGACTGAGTTACAAGC AATTCACTAGCTTACAAGATTCAAGGATTAGAAGTAA CATAGTAACAGACTACAATATGCATTAGGAATCATTCA AGCACAACCAAGATAAAAGTGAATCAGAGTTAGTCAGTCA AATAATAGAACAGTTAATAAAAAGGAAAAGGTCTACCT GGCATGGTACCGCGCACAAAGGAATTGGAGGAAATG AACAAAGTAGATAAATTAGTCAGTACTGGAATCAGGAAAG TACTA
71	HIV インテグラー ゼ;Bal	TTTTAGATGGAATAGATATGCCAAGAACATGAG AAATATCACAGTAATTGGAGAGCAATGGCTAGTGATT AACCTGCCACCTGTGGTAGCAAAAGAACATTAGTACCGCAGC TGTGATAATGTCAGCTAAAGGAGAACGCCATGCATGGA CAAGTAGACTGTAGTCAGGAATATGCAACTAGATTGT ACACATTAGAAGGAAAAATTATCCTGGTAGCAGTTCAT GTAGCCAGTGGATATAGAACAGCAGTTATTCCAGCA GAGACAGGGCAGGAAACAGCATACTTCTCTAAATTAA GCAGGAAGATGGCAGTAAAACAATACATACAGACAA TGGCAGCAATTCACTAGTACTACAGTCAGGCCGCTGT TGGTGGCGGGGATCAAGCAGGAATTGGCATTCCCTAC AATCCCCAAAGTCAGGGAGTAGAGAATCTATAAATAAA GAATTAAAGAAAATTATAGGACAGGTAAAGAGATCAGGCT GAACATCTAAACAGCAGTACAATGGCAGTATTCA CACAATTAAAGAAAAGGGGGATTGGGGGTATAGT GCAGGGGAAAGAACATAGTAGACATAATAGCAACAGACAT

10

20

30

40

50

【表5-18】

		ACAAACTAAAGAATTACAAAAACAAATTACAAAAATTCA AAATTTCGGGTTTATTACAGGGACAGCAGAGATCCACTT TGGAAAGGACCAGCAAAGCTCTGGAAAGGTGAAGGG GCAGTAGTAATAAGATAATAGTGACATAAAAGTAGTA CCAAGAAGAAAAGCAAAGATCATTAGGGATTATGGAAA ACAGATGGCAGGTGATGATTGTGTGGCAAGTAGACAGGA TGAGGATTAG
72	エンベロ ープ:RD114	ATGAAACTCCAACAGGAATGGTCATTTATGTAGCCTA ATAATAGTCGGGCAGGGTTGACGACCCCCGCAAGGCT ATCGCATTAGTACAAAAACACATGGTAAACCATGCGAA TGCAGCGGAGGGCAGGTATCCGAGGCCACCAGAAGTCC ATCCAACAGGTAACCTGCCAGGCAAGACGGCTACTTA ATGACCAACCAAAATGGAATGCAGAGTCACCTCAAAA AATCTCACCCCTAGCGGGGAGAACTCCAGAAGTCCCC TGTAACACTTCCAGGACTCGATGCACAGTTCTGTATA CTGAATACCGGCAATGCAGGGCGAATAATAAGACACT ACACGGCCACCTTGCTAAAATACGGCTGGAGCCTCA ACGAGGTACAGATATTACAAACCCCAATCAGCTCCTAC AGTCCCCTGTAGGGCTCTATAAATCAGCCGTTGCTG GAGTGCCACAGCCCCATCCATATCTCGATGGTGGAGG ACCCCTCGATACTAAGAGAGTGTGGACAGTCAGGAAAG GCTAGAACAAATTCTACAAGGCTATGCATCCTGAACCTCA ATACCACCCCTAGCCCTGCCAAAGTCAGAGATGACCTT AGCCTTGATGCACGGACTTTGATATCCTGAATACCACTT TTAGGTTACTCCAGATGCTTAAATTAGCCTTGCCAAAGA TTGTTGGCTCTGTTAAAATAGGTACCCCTACCCCTCTT GCGATACCCACTCCCTTTAACCTACTCCCTAGCAGACT CCCTAGCGAATGCCCTGTCAAGATTATAACCTCCCCCTT GGITCAACCGATGCAGITCTCAACTCGCTGTTATCT TCCCTTCTTACCGATACGGAACAAATAGACTTAGGTG CAGTCACCTTACTAACTGCACCTCTGTAGCCAATGTCAG TAGTCCTTATGTGCCCTAACGGTCAGTCTCTCTGT GGAAATAACATGGCATAACACCTATTACCCAAAAGTGG ACAGGACTTIGCGTCAAGCCTCCCTCCCCGACATTG ACATCATCCGGGGATGAGCCAGTCCCCATTCTGCCAT TGATCATTATATACATAGACCTAACGAGCTGTACAGTTC ATCCCTTACTAGCTGGACTGGAAATACCGCAGCATTCA CCACCGGAGCTACAGGCCTAGGTGCTCCGTACCCAGT ATACAAAATTATCCCATCAGTTAATATCTGATGTCCAAGT

10

20

30

40

【表 5 - 19】

		CTTATCCGTACCATAAAGATTACAAGACCAAGGTAGA CTCGTTAGCTGAAGTAGTCTCCAAAATAGGAGGGACT GGACCTACTAACGGCAGAACAAAGGAGGAATTGTTAGC CTTACAAGAAAAATGCTTTTATGCTAACAGTCAGG AATTGTGAGAAACAAAATAAGAACCCCTACAAGAAGAATT ACAAAAAACGCAGGGAAAGCCTGGCATCCAACCTCTG GACCGGGCTGCAGGGCTTCTCCGTACCTCACCTCTC CTGGGACCCCTACTCACCCCTACTCTACATAACCATTG GCCATGCGTTCAATCGATTGGCCAATTGTTAAAGA CAGGATCTCAGTGGTCAGGCTGGTTTGACTCAGCAA TATCACCAGCTAAACCCATAGAGTACGAGCCATGA	10
73	エンペロー ブ;GALV	ATGCTTCTCACCTCAAGCCGCACCACTTCGGCACAGA TGAGTCCTGGGAGCTGAAAAGACTGATCATCCTCTTAA GCTCGTATTCGGAGACGGCAAACGAGTCTGCAGAATA AGAACCCCCACCAGCCTGTGACCTCACCTGGCAGGTAC TGTCCCAAACGGGACGTTGCTGGACAAAAAGGCAG TCCAGCCCCTTGGACTTGGTGGCCCTCTTACACCTGA TGTATGTGCCCTGGCGGCCGGTCTGAGTCCTGGATATC CCGGGATCCGATGTATCGCCTCTAAAGAGTTAGACCTC CTGATTCAACTATACTGCCGCTTATAAGCAAATCACCTG GGGAGCCATAGGGTGCAGCTACCTCGGGCTAGGACAG GATGGCAAATTCCCCCTCTACGTGTGCCCCGAGCTGGC CGAACCCATTAGAAGCTAGGAGGTGTGGGGCTAGAA TCCCTATACTGTAAAGAATGGAGTGTGAGACCACGGGT ACCGTTATTGGCAACCCAAGTCCTCATGGGACCTCATAA CTGAAAATGGACCAAAATGTGAAATGGGAGCAAAAT TTCAAAAGTGTGAACAAACCGGCTGGTGTAAACCCCCCTCA AGATAGACTCACAGAAAAAGGAAACTCTCCAGAGATT GGATAACGGAAAAAACCTGGGATTAAGGTCTATGTAT ATGGACACCCAGGCATACAGTTGACTATCCGCTTAGAGG TCACTAACATGCCGGTTGTGGCAGTGGGCCAGACCTG TCCTTGGAAACAGGGACCTCTAGCAAGCCCTCACTCT CCCTCTCTCCCCACGGAAAGGCCGCCCCACCCCTCTACCC CCGGCGGCTAGTGAGCAAACCCCTGCGGTGCATGGAGAA ACTGTTACCTAAACTCTCCGCCCTCCACCAGTGGCGACC GACTCTTGGCCTTGTGCAGGGGCCCTCTAACCTGAA TGCTACCAACCCAGGGCCACTAAGTCTGCTGGCTCTGT TTGGGCATGAGCCCCCTTATTATGAAGGGATAGCCTTT CAGGAGAGGTGCGTTATACCTCAACCATAACCGATGCC	20 30 40

【表5-20】

		ACTGGGGGCCAAGGAAAGCTAACCTCACTGAGGTCT CCGGACTCGGGTCATGCATAGGGAAGGTGCCTCTTACCC ATCAACATCTTGCAACCAGACCTACCCATCAATTCTC TAAAAACCATCAGTATCTGCTCCCCCAAACCATAGCTGG TGGGCCTGCAGCACTGGCCTACCCCCCTGCCTCTCACCT CAGTTTAATCAGTCTAAAGACTCTGTGTCCAGGTCCA GCTGATCCCCGCATCTATTACCATCTGAAGAACCTTG TTACAAGCCTATGACAAATCACCCCCCAGGTTAAAAGA GAGCCTGCCTCACTTACCCTAGCTGTCTCTGGGGTTAG GGATTGCGGCAGGTATAGGTACTGGCTAACCGCCCTAA TTAAAGGGCCCATAAGACCTCCAGCAAGGCCTAACAGCC TCAAATGCCATTGACGCTGACCTCCGGGCCCTCAGGA CTCAATCAGCAAGCTAGAGGACTCACTGACTTCCCTATCT GAGGTAGTACTCCAAAATAGGAGAGGCCTGACTTACTA TTCCTTAAAGAAGGAGGCCTGCGCGGCCCTAAAAGAA GAGTGCTTTTATGTAGACCACTCAGGTGCAGTACGAG ACTCCATAAAAACTAAAGAAAGACTAGATAAAAGAC AGTTAGAGGCCAGAAAAACCAAAACTGGTATGAAGGGT GGTTCAATAACTCCCCCTGGTTACTACCCACTATCAC CATCGCTGGGCCCTATTGCTCCCTTTGTACTCACTC TTGGGCCCTGCATCATCAATAAATTAAATCCAATTCAAA TGATAGGATAAGTGCAGTCAAATTAGTCCTTAGACA GAAATATCAGACCTAGATAACGAGGAAACCTTAA
74	エンベロープ;FUG	ATGGTTCCGCAGGTCTTTGTTGACTCCTCTGGGTT TTCGTTGTGTTGGGAAGTCCCCATTACACGATAACCA GACGAACTTGGTCCCTGGAGCCCTATTGACATACACCATC TCAGCTGTCCAATAACCTGGTTGAGGATGAAGGAT GTACCAACCTGTCCGAGTTCTCCTACATGAACTCAAAGT GGGATACATCTCAGCCATCAAAGTGAACGGGTTCACTTG CACAGGTGTTGACAGAGGCAGAGACCTACACCAACTT TGTGGTTATGTACAACCACATTCAAGAGAAAGCATTTC CGCCCCACCCAGACGCATGTAGAGCCCGTATAACTGG AAGATGGCCGGTACCCAGATATGAAGAGTCCCTACAC AATCCATACCCGACTACCACTGGCTCGAACTGTAAGA ACCACCAAAGAGTCCCTCATTATCATATCCCCAAGTGTGA CAGATTGGACCCATATGACAAATCCCTCACTCAAGGGT CTTCCCTGGCGAAAGTGCCTAGGAATAACGGTGTCCCT ACCTACTGCTCAACTAACCATGATTACACCATTGGATGC CCGAGAATCCGAGACCAAGGACACCTTGTGACATTITA
		10 20 30 40

【表 5 - 21】

		CCAATAGCAGAGGAAGAGAGCATCCAACGGAAACAAG ACTTGCAGCTTGATGAAAGAGGCCGTATAAGTCTC TAAAAGGAGCATGCAGGCTCAAGTTATGTGGAGTTCTG GACTTAGACTTATGGATGGAACATGGTCGCGATGCAA CATCAGATGAGACCAATGGTGCCTCCAGATCAGTGG TGAATTGACGACTTCGCTCAGACGAGATCGAGCATCT CGTTGTGGAGGAGTTAGTTAAGAAAAGAGAGAATGTCT GGATGCATTAGAGTCATCATGACCACCAAGTCAGTAAG TTTCAGACGTCTCAGTCACCTGAGAAAATTGTCCCAGGG TTTGGAAAAGCATATACCATATTCAACAAAACCTTGATG GAGGCTGATGCTCACTACAAGTCAGTCCGGACCTGGAAT GAGATCATCCCCTCAAAAGGGTGTGAAAGTTGGAGGA AGGTGCCATCCTCATGTGAACGGGGTGTGTTCAATGGTA TAATATTAGGGCTGACGACCATGCTTAATCCCAGAGA TGCAATCATCCCCTCCAGCAACATATGGAGTTGGAGA ATCTTCAGTTATCCCCCTGATGCACCCCTGGCAGACCC TCTACAGTTTCAAAGAAGGTGATGAGGCTGAGGATTT GTTGAAGTTCACCTCCCCGATGTGACAAACAGATCTCAG GGGTTGACCTGGGTCTCCGAACTGGGAAAGTATGTAT TGATGACTGCAGGGGCATGATTGGCCTGGTGTGATATT TTCCTTAATGACATGGTGCAGAGTTGGTATCCATCTTGC ATTAAATTAAAGCACACCAAGAAAAGACAGATTATACA GACATAGAGATGAACCGACTTGGAAAGTAA
75	エンベロー フ;LCMV	ATGGGTCAATTGTGACAATGTTGAGGCTCTGCCTCACA TCATCGATGAGGTGATCAACATTGCAATTATTGTGCTTAT CGTGATCACGGGTATCAAGGCTGCTACAATTGCCACC TGTGGATATTGCAATTGATCAGTTCTACTTCTGGCTG GCAGGTCCGTGGCATGTACGGCTTAAGGGACCCGACA TTTACAAAGGAGTTACCAATTAAAGTCAGTGGAGTTGA TATGTCACATCTGAACCTGACCATGCCAACGCATGTTCA GCCAACAACTCCCACCAATTACATCAGTATGGGACTTCTG GAUTAGAATTGACCTTCACCAATGATTCCATCATCAGTCA CAACTTTGCAATCTGACCTCTGCCTCAACAAAAAGACC TTGACCACACACTCATGAGTATAGTTGAGCCTACACC TCAGTATCAGAGGAACTCCAACATAAGGCAGTATCCT GCGACTTCAACAATGGCATAACCATCCAATACAACCTGA CATTCTCAGATCGACAAAGTGCTCAGAGCCAGTGTAGAA CCTTCAGAGGTAGAGTCCTAGATATGTTAGAACTGCCTT CGGGGGGAAATACATGAGGAGTGGCTGGGGCTGGACAG

10

20

30

40

50

【表 5 - 2 2】

		GCTCAGATGGCAAGACCACCTGGTGTAGCCAGACGAGTT ACCAATACCTGATTATAACAAATAGAACCTGGAAAACC ACTGCACATATGCAGGTCTTGGATGTCCAGGATTCT CCTTCCCAGAGAAGACTAAGTCTTCACTAGGAGACT AGCGGGCACATTCACCTGGACTTGTCACTCTCAGGG GTGGAGAATCCAGGTGGTATTGCCTGACCAAATGGATG ATTCTGCTGCAGAGCTTAAGTGTTCGGAACACAGCA GTTGCGAAATGCAATGAAATCATGATGCCAATTCTGT GACATGCTGCGACTAATTGACTACAACAAGGCTGCTTG AGTAAGTCAAAGAGGACGTAGAATCTGCCTGCACTTA TTCAAAACAAACAGTGAATTCTTGATTCAGATCAACTAC TGATGAGGAACCACTTGAGAGATCTGATGGGGTGCAT ATTGCAATTACTCAAAGTTGGTACCTAGAACATGCAA GACCGGCAGAAACTAGTGTCCCCAAGTGCTGGCTGTCAC CAATGGTTCTTACTTAAATGAGACCCACTCAGTGTCAA ATCGAACAGGAAGGCCATAACATGATTACAGAGATGTG AGGAAGGATTACATAAAGAGGCAGGGAGTACCCCCCTA GCATTGATGGACCTCTGATGTTCCACATCTGCATATC TAGTCAGCATCTCCTGCACCTGTCAAATACCAACACA CAGGCACATAAAAGGTGGCTATGTCAAAGGCCACACCG ATTAACCAACAAAGGAATTGTAGTTGTGGTGCATTAA GGTGCCTGGTGTAAAACCGTCTGGAAAAGACGCTGA
76	エンベロープ;FPV	ATGAACACTCAAATCCTGGTTTCGCCCTGTGGCAGTC TCCCCACAAATGCAGACAAAATTGTCTGGACATCATGC TGTATCAAATGGCACCAAAGTAAACACACTCACTGAGAG AGGAGTAGAAGTTGTCATGCAACGGAAACAGTGGAGC GGACAAACATCCCCAAATTGCTCAAAGGGAAAAGAA CCACTGATCTGGCAATGCGGACTGTTAGGGACCATTAC CGGACCACCTCAATGCGACCAATTCTAGAATTTCAGCT GATCTAATAATCGAGAGACGAGAAGGAAATGATGTTGT TACCCGGGAAGTTGTAATGAAGAGGCATTGCGACAA ATCCTCAGAGGATCAGGTGGATTGACAAAGAAACAATG GGATTACATATAGTGAATAAGGACCAACGGAACAACT AGTGCATGTAGAAGATCAGGGCTTCATTCTATGCAGAA ATGGAGTGGCTCTGTCAAATACAGACAATGCTGCTTCC CACAAATGACAAAATCATAACAAACACAAGGAGAGAA TCAGCTCTGATAGTCTGGGAATCCACCATTCAGGATCA ACCACCGAACAGACCAAACATATGGAGTGGAAATAAA CTGATAACAGTCGGGAGTTCCAATATCATCAATCTTTG
		10 20 30 40

【表 5 - 2 3】

		TGCCGAGTC CAGGAACACGACCGCAGATAAATGGCCAGT CCGGACGGATTGATTTCATTGGTTGATCTTGGATCCC TGATACAGTTACTTTAGTTCAATGGGGCTTCATAGCT CCAAATCGGCCAGCTCTTGAGGGAAAGTCCATGGGG ATCCAGAGCGATGTGCAGGTTGATGCCAATTGCGAAGGG GAATGCTACCACAGTGGAGGGACTATAACAAGCAGATTG CCTTTCAAAACATCAATAGCAGAGCAGTGCAAATGC CCAAGATATGTAACACAGGAAAGTTATTATGGCAACT GGGATGAAGAACGTTCCGAACCTCCAAAAAAAGGAAA AAAAGAGGCCCTGTTGGCGCTATAGCAGGGTTATTGAA AATGGTTGGGAAGGTCTGGTCGACGGGTGGTACGGTTTC AGGCATCAGAATGCACAAGGAGAAGGAAGTGCAGCAGA CTACAAAAGCACCAATCGGCAATTGATCAGATAACCGG AAAGTTAAATAGACTCATTGAGAAAACCAACCAGCAATT TGAGCTAATAGATAATGAATTCACTGAGGTGGAAAAGCA GATTGGCAATTAAATTAACTGGACCAAAGACTCCATCAC AGAAGTATGGTCTTACAATGCTGAACCTCTGTGGCAATG GAAAACCAGCACACTATTGATTGGCTGATTAGAGATG ACAAGCTGTATGAGCGAGTGAGGAAACAATTAAGGGA AAATGCTGAAGAGGGATGGCACTGGTTGCTTGAATTTT CATAAATGTGACGATGATTGTATGGCTAGTATAAGGAAC AATACTTATGATCACAGCAAATACAGAGAAGAAGCGATG CAAATAGAATACAAATTGACCCAGTCAAATTGAGTAGT GGCTACAAAGATGTGATACTTGGTTAGCTTCGGGCAT CATGCTTTTGCTTGCATTGCAATGGGCTTGTITTC ATATGTGTGAAGAACGGAAACATGCGGTGCACTATTGT ATATAA
77, 78	エンベローブ;RRV	AGTGTAAACAGAGCACTTAATGTGTATAAGGCTACTAGA CCATACCTAGCACATTGCGCCGATTGCGGGACGGGTAC TTCCTGCTATAGCCCAGTTGCTATCGAGGAGATCCGAGATG AGGCGTCTGATGGCATGCTTAAGATCCAAGTCTCCGCC AAATAGGTCTGGACAAGGCAGGCACCCACGCCACACGA AGCTCCGATATATGGCTGGTCATGATGTTCAAGGAATCTAA GAGAGATTCTTGAGGGTGTACACGTCGCAGCGTGCTC CATACATGGGACGATGGACACTTCATCGTCGCACACTG TCCACCAGGGCACTACCTCAAGGTTCTGTCAGGACGC AGATTGCACTGAAGGCATGTAAGGTCCAATACAAGCA CAATCCATTGCCGGTGGGTAGAGAGAAGTCGTGGTAG ACCACACTTTGGCGTAGAGCTGCCATGCAACCTCATAACCA
		10 20 30 40

【表 5 - 2 4】

		GCTGACAACGGCTCCACCACCGACGAGGGAGATTGACATGCA TACACCGCCAGATATAACCGGATCGCACCCCTGCTATCACA GACGGCGGCAACGTAAAATAACAGCAGGGGGCAGGA CTATCAGGTACAACGTACCTGCCGCGGTGACAACGTAG GCACTACCAGTACTGACAAGACCATCAACACATGCAAGA TTGACCAATGCCATGCTGCCGTACCGCCATGACAAAT GGCAATTACCTCTCCATTGTCAGGGCTGATCAGAC AGCTAGGAAAGGCAAGGTACACGTTCCGTTCCCTGAC TAACGTCACCTGCCGAGTGCCGTTGGCTCGAGCGCCGGA TGCCACCTATGTAAGAAGGAGGTGACCCCTGAGATTACA CCCAGATCATCCGACGCTTCTCTATAGGAGTTAGGA GCCGAACCGCACCGTACGAGGAATGGGTGACAAGTTC TCTGAGCGCATCATCCCAGTGACCGAAGAAGGGATTGAG TACCACTGGGCAACAACCCGCCGTGCCTGTGGCG CAACTGACGACCGAGGGCAAACCCATGGCTGCCACAT GAAATCATTCACTACTATTATGGACTATACCCGCCCA CTATTGCCGAGTATCCGGGGCGAGTCTGATGGCCCTCCT AACTCTGGCGGCCACATGCTGCATGCTGCCACCGCAG GAGAAAGTGCCTAACACCGTACGCCGTGACGCCAGGAGC GGTGGTACCGTTGACACTGGGCTGTTGCTGCGCACCG AGGGCGAATGCA 10	
79	エンベロープ;エボラ	ATGGGTGTTACAGGAATATTGAGTTACCTCGTGATCGAT TCAAGAGGACATCATTCTTCTGGTAATTATCCTTTC CAAAGAACATTTCCATCCCACITGGAGTCATCCACAATA GCACATTACAGGTTAGTGATGTGACAAACTGGTTGCC GTGACAAACTGTATCCACAAATCAATTGAGATCAGTTG GACTGAATCTGAAGGGAATGGAGTGGCAACTGACGTGC CATCTGCAACTAAAGATGGGGCTTCAGGTCCGGTGTCC CACCAAAGGTGGTCAATTATGAAGCTGGTGAATGGCTG AAAATGCTACAATCTGAAATAAAAACCTGACGGGA GTGAGTGTCTACCAGCGGCCAGACGGGATTGGGGCT TCCCCCGGTGCCGGTATGTGCACAAAGTATCAGGAACGG GACCGTGTGCCGGAGACTTGCCTCCACAAAGAGGGTG CTTCTCTCTGTATGACCGACTTGCCTCCACAGTTATCTAC CGAGGAACGACTTGCCTGAAGGTGTCGTTGCATTCTGA TACTGCCCAAGCTAAGAAGGACTTCTCAGCTCACACCC CTTGAGAGAGCCGGTCAATGCAACGGAGGACCGTCTAG TGGCTACTATTCTACCAACAAATTAGATATCAAGCTACCGGT TTTGGAAACCAATGAGACAGAGTATTGTCGAGGTGAC 30	30

【表 5 - 25】

		AATTTGACCTACGTCCAACTTGAATCAAGATTACACACCAC AGTTTCTGCTCCAGCTGAATGAGACAATATATACTAAGTG GGAAAAGGAGCAATACCAACGGGAAACTAATTGGAAG GTCAACCCCCGAAATTGATAACAACATCGGGAGTGGGCC TTCTGGGAAACTAAAAAAACCTCACTAGAAAATTGCA GTGAAGAGTGTCTTCACAGCTGTATCAAACAGAGCCA AAAACATCAGTGGTCAGAGTCCGGCGGAACCTCTCCG ACCCAGGGACCAACACAACACTGAAGACCACAAAATC ATGGCTTCAGAAAATTCTCTGCAATGGTCAAGTGCACA GTCAAGGAAGGGAAAGCTGCAGTGTGCATCTGACAACCC TTGCCACAATCTCCACGAGTCCTCAACCCCCACAACCAA ACCAGGTCCGGACAACAGCACCCACAATACACCCGTGTA TAAACTTGACATCTGAGGCACTCAAGTTGAACAACA TCACCGCAGAACAGACAACGACAGCACAGCCTCCGACAC TCCCCCCGCCACGACCGCAGCCGGACCCCTAAAAGCAGA GAACACCAACACGAGCAAGGGTACCGACCTCTGGACCC CGCCACCACAACAAGTCCCCAAACACAGCGAGACCAC TGGCAACAACAACACTCATCACCAAGATAACGGAGAAGA GAGTGCCAGCAGCGGGAAAGCTAGGCTTAATTACCAATAC TATTGCTGGAGTCGAGGACTGATCACAGGGGGAGGAG AGCTCGAAGAGAAGCAATTGTCATGCTCAACCCAAATG CAACCTAATTACATTACTGGACTACTCAGGATGAAGGT GCTGCAATCGGACTGGCTGGATACCATAATTGGCCA GCAGCCGAGGGAAATTACATAGAGGGGCTGATGCACAAT CAAGATGGTTAATCTGGGGTTGAGACAGCTGGCCAAC GAGACGACTCAAGCTTCAACTGTCCTGAGAGCCACA ACCGAGCTACGCACCTTCAATCCTCAACCGTAAGGCA ATTGATTCTTGCTGCAGCGATGGGGCGGCACATGCCAC ATTTGGGACCGGACTGCTGTATCGAACCATGATTGG ACCAAGAACATAACAGACAAAATTGATCAGATTATTGAT GATTTGGTGTATAAAACCTTCCGGACCAGGGGACAAT GACAATTGGTGGACAGGATGGAGACAATGGATACCGCA GGTATTGGAGTTACAGCGTTATAATTGAGTTATCGCTT TATTCTGTATATGCAAATTGCTTTAG
80	短鎖 WPRI 配列	AATCAACCTCTGGATTACAAAATTGTGAAAGATTGACT GATATTCTTAACACTATGTGCTCCTTTACGCTGTGTGGATA TGCTGCTTAATGCCTCTGTATCATGCTATTGCTCCCGTA CGGCTTCTGTTCTCCTCCTGTATAATCTGGTTGCTG TCTCTTATGAGGAGTTGTGGCCCCITGTCCGTCAACGTG
		10 20 30 40

【表5-26】

		GGGTGGTGTGCTCTGTGTTGCTGACGCAACCCCCACTGG CTGGGGCATTGCCACCACCTGTCAACTCCTTCTGGACT TCGCTTCCCCCTCCCGATGCCACGGCAGAACTCATCG CCGCCTGCCTTGCCCGCTGCTGGACAGGGGCTAGGTGCT GGGCACTGATAATTCCGTGGTGTGTC
81	プライマー	TAAGCAGAATTC ATGAATTGCCAGGAAGAT
82	プライマー	CCATACAATGAATGGACACTAGGCGGCCACGAAT
83	Gag、Pol、インテグ ラーゼ断片	GAATTCATGAATTGCCAGGAAGATGGAAACCAAAATG ATAGGGGAATTGGAGGTTTATCAAAGTAAGACAGTAT GATCAGATACTCATAGAAAATCTGGACATAAAGCTATA GGTACAGTATTAGTAGGACCTACACCTGTCAACATAATT GGAAGAAATCTGTTGACTCAGATTGGCTGCACTTAAATT TTCCCATAGCCTATTGAGACTGTACAGTAAAATTAAA GCCAGGAATGGATGGCCAAAAGTTAACATGGCATT GACAGAAGAAAAAATAAAAGCATTAGTAGAAATTGTAC AGAAATGGAAAAGGAAGGAAAAATTCAAAAATTGGGC CTGAAAATCCATACAATACTCCAGTATTGCCATAAAGA AAAAAGACAGTACTAAATGGAGAAAATTAGTAGATTCA GAGAACTTAATAAGAGAACTCAAGATTCTGGGAAGTTC AATTAGGAATACCACATCCTGCAGGGTAAACAGAAAA AATCAGTAACAGTACTGGATGTGGCGATGCATATTTC AGTCCCTAGATAAAGACTTCAGGAAGTATACTGCATT ACCACCTAGTATAAACATGAGACACCAGGGATTAGA TATCAGTACAATGTGCTCCACAGGGATGGAAAGGATCA CCAGCAATATTCCAGTGTAGCATGACAAAATCTAGAG CCTTTAGAAAACAAATCCAGACATAGTCATCTATCAAT ACATGGATGATTGTATGTAGGATCTGACTTAGAAATAG GGCAGCATAGAACAAAATAGAGGAACGTGAGACACAT CTGTTGAGGTGGGATTACCACACCAGACAAAAACAT CAGAAAGAACCTCATTCTTGGATGGTTATGAACCTCC ATCCTGATAATGGACAGTACAGCCTATAGTGTGCCAG AAAAGGACAGCTGGACTGTCAATGACATACAGAAATTAG TGGGAAAATTGAATTGGCAAGTCAGATTATGCAGGG TTAAAGTAAGGCAATTATGAAACTCTTAGGGAACCA AAGCACTAACAGAAGTAGTACCAACTAACAGAAGAAGCA GAGCTAGAACTGGCAGAAAACAGGGAGATTCTAAAAGA ACCGGTACATGGAGTGTATTATGACCCATAAAAGACTT AATAGCAGAAATACAGAAGCAGGGCAAGGCCATGG CATATCAAATTATCAAGAGCCATTAAAAACTGAAAA

10

20

30

40

50

【表 5 - 27】

	CAGGAAAGTATGCAAGAATGAAGGGTGCCACACTAATG ATGTGAAACAATTAACAGAGGCAGTACAAAAATAGCCA CAGAAAGCATAGTAATATGGGGAAAGACTCCTAAATTAA AATTACCCATACAAAAGGAAACATGGGAAGCATGGTGG CAGAGTATTGGCAAGCCACCTGGATTCTGAGTGGGAGT TTGTCAATACCCCTCCCTTAGTGAAGTTATGGTACAGTT AGAGAAAGAACCCATAATAGGAGCAGAAACTTCTATGT AGATGGGGCAGCCAATAGGGAAACTAAATTAGGAAAAG CAGGATATGTAACTGACAGAGGAAGACAAAAAGTTGTCC CCCTAACGGACACAACAAATCAGAAGACTGAGTTACAAG CAATTCACTCTAGCTTGAGGATTGGGATTAGAAGTAA ACATAGTGACAGACTCACAAATATGCATTGGAATCATTIC AAGCACAACCAGATAAGAGTGAATCAGAGTTAGTCAGTC AAATAATAGAGCAGTTAATAAAAAGGAAAAGTCTACC TGGCATGGGTACCAAGCACACAAAGGAATTGGAGGAAATG AACAAAGTAGATAAATTGGTCAGTGCTGGAATCAGGAAAG TACTATTTTAGATGGAATAGATAAGGCCAAGAAGAAC ATGAGAAATATCACAGTAATTGGAGAGCAATGGCTAGTG ATTTAACCTACCACCTGTAGTAGCAAAGAAATAGTAG CCAGCTGTGATAAATGTCAGCTAAAGGGGAAGGCCATGC ATGGACAAGTAGACTGTAGCCCAGGAATATGGCAGCTAG ATTGTACACATTAGAAGAAAAGTTATCTGGTAGCAG TTCATGTAGCCAGTGGATATAGAAGCAGAAGTAATTIC CAGCAGAGACAGGGCAAGAACAGCATACTCCCTTAA AATTAGCAGGAAGATGCCAGTAAAAACAGTACATACAG ACAATGGCAGCAATTIACCAGTACTACAGTTAAGGCCG CCTGTTGGTGGCGGGGATCAAGCAGGAATTGGCATTIC CCTACAATCCCCAAAGTCAGGAGTAATAGAATCTATGA ATAAAGAATTAAGAAAATTATAGGACAGGTAAGAGATC AGGCTGAACATCTAACAGACAGCAGTACAAATGGCAGTAT TCATCCACAATTAAAAGAAAAGGGGGGATTGGGGGT ACAGTGCAGGGAAAGAATAGTAGACATAATAGCAACA GACATACAAACTAAAGAATTACAAAACAAATTACAAA ATTCAAATTTGGGTTATTACAGGGACAGCAGAGAT CCAGTTGGAAAGGACCAGCAAAGCTCCTCTGGAAAGGT GAAGGGGCAGTAGTAATACAAGATAATAGTACATACAG AGTAGTGCCAAGAAGAAAAGCAAAGATCATCAGGGATT ATGGAAAACAGATGGCAGGTGATGATTGTGTGGCAAGTA GACAGGATGAGGATTAA	10
		20
		30

【表 5 - 28】

84	Rev、RRE および ウサギベータグロビ ンポリ A を含む DNA 断片	TCTAGAATGGCAGGAAGAACGGAGACAGCGACGA AGAGCTCATCAGAACAGTCAGACTCATCAAGCTTCT CTATCAAAGCAACCCACCTCCCAATCCGAGGGGAC CCGACAGGCCCGAAGGAATAGAAGAAGAAGGTGGA GAGAGAGACAGAGACAGATCCATTGATTAGTGAA CGGATCCTGGCACTTATCTGGACGATCTGCGGAG CCTGTGCCTCTTCAGCTACCACCGTTGAGAGACTTA CTCTTGATTGTAACGAGGATTGTTGAACTTCTGGGA CGCAGGGGGTGGGAAGCCCTCAAATATTGGTGGAAAT CTCCTACAATATTGGAGTCAGGAGCTAAAGAATAGA GGAGCTTGTCTGGTCTTGGAGCAGCAGGA AGCACTATGGCGCAGCGTCAATGACGCTGACGGTA CAGGCCAGACAATTATTGTCTGGTATAGTGCAGCAG CAGAACAAATTGCTGAGGGCTATTGAGGCGAACAG CATCTGTCACACTCACAGTCTGGGCATCAAGCAG CTCCAGGCAAGAACCTGGCTGGAAAGATAACCTA AAGGATCAACAGCTCTAGATCTTCCCTGCCA AAAATTATGGGACATCATGAAGCCCTTGAGCATC TGACTTCTGGCTAATAAAGGAAATTATTTTATTGC AATAGTGTGTTGAATTGGTCTCTCACTCGGA AGGACATATGGGAGGGCAAATCATTTAAACATCA GAATGAGTATTGGTTAGAGTTGGCAACATATGC CATATGCTGGCTGCCATGAACAAAGGTGGCTATAAA GAGGTCACTAGTATGAAACAGCCCCCTGCTGTCC ATTCCCTATTCCATAGAAAAGCCTGACTTGAGGTTA GATTTTTTATATTTGTTGTGTTATTTTCTT AACATCCCTAAAATTTCCTTACATGTTTACTAGCC AGATTTTCCTCCTCTCTGACTACTCCCAGTCATAG CTGTCCTCTCTTATGAAGATCCCTGACCTGCA GCCCAAGCTTGGCGTAATCATGGTCATAGCTGTT CTGTGTGAAATTGTTATCGCTCACATTCCACACA ACATACGAGCCGGAAGCATAAAGTGTAAAGCCTGG GGTGCCTAATGAGTGAGCTAACTCACATTAATTGCG TTGCGCTCACTGCCCGCTTCCAGTCGGGAAACCTGT CGTGCCAGCGGATCCGATCTCAATTAGTCAGCAAC CATAGCCCCCCCCCTAACCTCCGCCCCATCCGCCCCCTA
		10
		20
		30
		40

【表 5 - 29】

		ACTCCGCCAGTCCGCCCATCTCCGCCCATGGCT GACTAATTTTTTATTTATGCAGAGGCCAGGCCGC CTCGCCTCTGAGCTATTCCAGAAAGTAGTGAGGAGG CTTTTGAGGCCCTAGGCTTTGCAAAAGCTAACT TGTTTATTGCAGCTTATAATGGTTACAAATAAGCA ATAGCATCACAAATTACAAATAAGCATTTC ACTGCATTCTAGTTGTGGTTGTCCAACACTCATCAAT GTATCTTATCAGCGGCCGCCCGGG	10
85	CAG エンハンサー/ プロモーター/イント ロン配列を含む DNA 断片	ACGCGTTAGTTATTAAATAGTAATCAATTACGGGGTC ATTAGTTCATAGCCCATAATGGAGITCCCGCGTAC ATAACTTACGGTAAATGGCCCGCTGGCTGACCGCC CAACGACCCCCGCCATTGACGTCAATAATGACGTA TGTCCCCATAGTAACCCAATAGGGACTTTCCATTG ACGTCAATGGGTGGACTATTACGGTAAACTGCCCA CTTGGCAGTACATCAAGTGTATCATATGCCAAGTAC GCCCTATTGACGTCAATGACGGTAAATGGCCCGC CTGGCATTATGCCAGTACATGACCTTATGGACTTT CCTACTTGGCAGTACATCTACGTATTAGTCATCGCTA TTACCATGGGTCGAGGTGAGCCCCACGTTCTGCTTC ACTCTCCCCATCTCCCCCCCCTCCCCACCCCCAATT TGTATTATTATTATTAAATTATTTGTGCAGCGATG GGGGCGGGGGGGGGGGGGGGCGCGGCCAGGCAGGG CGGGGCGGGCGAGGGCGGGCGAGGCAGGCGCT AGAGGTGCGCGGCAGCCAATCAGAGCGCGCGCT CCGAAAGTTCTTTATGGCGAGGCAGGCAGGCAGG GCAGGCCTATAAAAGCGAAGCGCGCGCGCG GAGTCGCTCGCTTGCCTCGCCCCGTGCCCCGCTCCG CGCCGCCTCGCGCCGCCGCCGCTCTGACTGAC CGCGTTACTCCCACAGGTGAGCGGGCGGGACGGCCC TTCTCCTCCGGCTGTAATTAGCGCTGGTTAATGA CGGCTCGTTCTTCTGTGGCTGCGTGAAAGCCTTA AAGGGCTCGGGAGGGCCCTTGTGCGGGGGGAG CGGCTCGGGGGTGCCTGCGTGCGTGTGCGTGG GAGCGCCCGTGCAGGGCGCGCGCGGGCTTGTGCG GAGCGCTGCAGGGCGCGCGCGGGCTTGTGCGCTC CGCGTGTGCGCGAGGGAGCGCGCGGGCGGGCGGT	20 30 40

【表 5 - 30】

		CCCCCGCGGTGCGGGGGGGCTGCGAGGGGAACAAA GGCTGCGTGC GG GTGTGCGTGGGGGGTGAGC AGGGGGTGTGGCGCGGCGGTGGCTGTAACCCCC CCCTGCACCCCCCTCCCCGAGTTGCTGAGCACGCC CGGCTTCGGGTGCGGGGCTCCGTGCGGGCGTGGCG CGGGGCTCGCGTGC CGGGCGGGGGTGGCGCAG GTGGGGGTGCGGGCGGGCGGGGCCCTCGGGC CGGGGAGGGCTCGGGGGAGGGGCGCGGCGGCCCG GAGCGCCGGCGGCTGTCGAGGCGCGAGCCGCA GCCATTGCCTTTATGTAATCGTGCAGAGGGCGC AGGGACTCCTTGTCCAAATCTGGCGAGCCGAA ATCTGGGAGGC GCGCCGCCGACCCCTCTAGCGGGCG CGGGCGAAGCGGTGCGGCGCCGGCAGGAAGGAAAT GGCGGGGAGGGCCTCGTGCCTGCCGCCGCC TCCCCTCTCCATCTCCAGCCTCGGGCTGCCGCAGG GGGACGGCTGCCTCGGGGGACGGGGCAGGGCG GGGTTGGCTCTGGCGTGTGACCGGCGGGAATT
86	VSV-G を含む DNA 断片	GAATTCATGAAGTGCCTTTGTAATTAGCCTTTTATTAT TGGGGTGAATTGCAAGTTCAACCATAAGTTTCCACACAAC CAAAAAGGAAACTGGAAAAATGTTCTCTAATTACCAT TATTGCCGTCAAGCTCAGATTAAATTGGCATAATGACT TAATAGGCACAGCCTACAAGTCAAATGCCAAGAGTC ACAAGGCTATTCAAGCAGACGGTTGGATGTGTCATGCTT CCAATGGGTCACTACTGTGATTCCGCTGGATGGACC GAAGTATATAACACATTCCATCCGATCCTCCTCCATCT GTAGAACATGCAAGGAAAGCATTGAACAAACGAAACA AGGAACATTGGCTGAATCCAGGCTCCCTCCTCAAAGTTGT GGATATGCAACTGTGACGGATGCCAAGCAGTGATTGTC CAGGTGACTCCTCACCATGTGCTGGTGTGAATAACACA GGAGAATGGGTGATTICACAGTCATCAACGGAAAATGC AGCAATTACATATGCCCACTGTCCATAACTCTACACCT GGCATTCTGACTATAAGGTCAAAGGGCTATGTGATTCTA ACCTCATTCCATGGACATCACCTCTTCAGAGGACGG AGAGCTATCATCCCTGGAAAGGAGGGCACAGGGTTCA AAGTAACTACTITGCTTATGAAACTGGAGGCAAGGCCTG CAAATGCAACTGCAAGCATTGGGAGTCAGACTCCC ATCAGGTGCTGGITCGAGATGGCTGATAAGGATCTTT GCTGCAGCCAGATTCCCTGAATGCCAGAAGGGTCAAGT

10

20

30

40

50

【表5-31】

		ATCTCTGCTCCATCTCAGACCTCAGTGGATGTAAGTCTAA TTCAAGGACGTTGAGAGGATCTTGGATTATTCCTCTGCCA AGAAACCTGGAGCAAATCAGAGCGGGCTTCCAATCTC TCCAGTGGATCTCAGTATCTTGCCTCTAAAACCCAGGA ACCGGTCTGCTTCAACCATATAATCAATGGTACCCCTAAAT ACTTTGAGACCAGATACATCAGAGTCGATATTGCTGCTCC AATCCTCTCAAGAATGGTCGGAATGATCAGTGGAACTAC CACAGAAAGGAACTGTGGGATGACTGGGACCCATATGA AGACGTGGAAATTGGACCCATGGAGTTCTGAGGACAG TTCAGGATATAAGTTCCCTTATACATGATTGACATGGT ATGTTGGACTCCGATCTCATCTTAGCTCAAAGGCTCAGG TGTTCGAACATCCTCACATTCAAGACGCTGCTCGCAACT TCCTGATGATGAGAGTTATTTTGGTATACTGGGCTA TCCAAAAATCCAATCGAGCTGTAGAAGGTTGGTCACT AGTTGGAAAAGCTCTATTGCCTCTTTCTTATCATAGG GTTAATCATTGGACTATTCTGGTCTCCGAGTTGGTATC CATCTTGCAATTAAAGCACACCAAGAAAAGACAG ATTITATACAGACATAGAGATGAGAATT	10
87	RRE およびウサギ ベータグロビンポリ A を含むヘルパー プラスミド	TCTAGAAGGAGCTTGTCCCTGGGTTCTGGGAGCAGCA GGAAGCACTATGGCGCAGCGTCATGACGCTGACGGTA CAGGCCAGACAATTATTGTCTGGTATAGTCAGCAGCAG AACAAATTGCTGAGGGTATTGAGGCAGAACAGCATCTG TTGCAACTCACAGTCTGGGCATCAAGCAGCTCCAGGCA AGAATCCTGGCTGTGGAAAGATACTAAAGGATCAACAG CTCCTAGATCTTTCCCTCTGCCAAAAATTATGGGACA TCATGAAGCCCCTTGAGCATCTGACTCTGGCTAATAAG GAAATTTATTTCATTGCAATAGTGTGTTGAAATTITGT GTCTCTCACTCGGAAGGACATATGGGAGGGCAAATCATT TAAAACATCAGAATGAGTATTGGTTAGAGTTGGCAA CATATGCCATATGCTGGCTGCCATGAACAAAGGTGGCTA TAAAGAGGTCACTAGTATATGAAACAGCCCCCTGCTGTC CATTCCTTATTCCATAGAAAAGCCTGACTTGAGGTAGA TTTTTTTATATTGTTGTGTATTCTTCTTAAACAT CCCTAAAATTTCCTTACATGTTACTAGCCAGATTTC CTCCTCTCTGACTACTCCAGTCATAGCTGCTCCCTTCT CTTATGAAGATCCCCTGACCTGCAGCCCCAAGCTTGGCGTA ATCATGGTCATAGCTGTTCTGTGAAATTGTTATCCG CTCACAATTCCACACACATACGAGCCGGAAGCATAAAAG TGTAAAGCCTGGGGTGCCTAATGAGTGAGCTAACTCACA	20 30 40

【表 5 - 3 2】

		TTAATTGCGITGCGCTCACTGCCCGCTTCCAGTCGGAA ACCTGTCGTGCCAGCGGATCCGCATCTCAATTAGTCAGCA ACCATAGTCCC GCCCCTAAC TCCGCCATCCGCCCTAA CTCCGCCAGTTCCGCCATTCTCCGCCATGGCTGACT AATTTTTTATTATGCAGAGGCCGAGGCCCTCGGCC TCTGAGCTATTCCAGAA GTAGT GAGGAGGTTTTGGAG GCCTAGGCTTTGCAAAAAGCTAAC TTGTTATTGCAGCT TATAATGGTTACAAATAAAGCAATAGCATCACAAATTTC ACAAATAAAGCATTTTCACTGCATTCTAGTTGTGGTT TGTC CCAA ACTCATCAATGTATCTTATCACCCGGG	10
88	RSV プロモーター および HIV Rev	CAATTGCGATGTACGGGCCAGATATACCGTATCTGAGG GGACTAGGGTGTGTTAGGC GAAAAGCGGGGCTCGGTT GTACCGGTTAGGAGTCCCTCAGGATATAGTAGTTTCGC TTTGCATAGGGAGGGGAAATGTA GTCTTATGCAATAC ACTTGTAGTCTGCAACATGGTAACGATGAGTTAGCAAC ATGCCCTACAAGGAGAGAAAAAGCACCGTGCATGCCGAT TGGT GGAAGTAAGGTGGTACGATCGTGCCTTATTAGGAA GGCAACAGACAGGTCTGACATGGATTGGACGAACCACTG AATTCCGCATTG CAGAGATAATTGATT TAAGTGCCTAGC TCGATACAATAAACGCCATTGACCATT CACCACATTGGT GTGCACCTCCAAGCTCGAGCTCGTTAGTGAACCGTCAG ATCGCCTGGAGACGCCATCCACGCTGTTGACCTCCATA GAAGACACCGGGACCGATCCAGCCTCCCTCGAAGCTAG CGATTAGGCATCTCTATGGCAGGAAGAAGCGGAGACAG CGACGAAGAACTCCTCAAGGCAGTCAGACTCATCAAGTT TCTCTATCAAAGCAACCCACCTCCAATCCGAGGGGAC CCGACAGGCCGAAGGAATAGAAGAAGAAGGTGGAGAG AGAGACAGAGACAGATCCATTGATTAGTGAACGGATCC TTAGCACTTATCTGGGACGATCTCGGAGCCTGTCCT TCAGCTACCACCGCTGAGAGACTTACTCTTGATTGTAAC GAGGATTGTGGAACTCTGGGACGCGAGGGGTGGGAAGC CCTCAAATATTGGTGGAACTCCTACAATATTGGAGTCAG GAGCTAAAGAATAGTCTAGA	20
89	標的配列	ATGGCAGGAAGAAGCGGAG	30
90	shRNA 配列	ATGGCAGGAAGAAGCGGAGTTCAAGAGACTCCGCTTCTT CCTGCCATTTC	
91	H1 プロモーターお よび shRT 配列	GAACGCTGACGTCAACCCGCTCCAAGGAATCGCGGG CCCAGTGTCACTAGGCGGGAACACCCAGCGCGCGTGC CCTGGCAGGAAGATGGCTGTGAGGGACAGGGAGTGGC	40

【表 5 - 3 3】

		GCCCTGCAATATTGCATGTCGCTATGTGTTCTGGAAAT CACCATAAACGTGAAATGTCTTGATTTGGAAATCTTAT AAGTTCTGTATGAGACCACTTGGATCCCGGGAGACAGCG ACGAAGAGCTCAAGAGAGCTCTCGTCGCTGCTCCGCT TTT	
92	H1 CCR5 配列	GAACGCTGACGTCAACCCGCTCCAAGGAATCGCGGG CCCAGTGTCACTAGGCAGGAACACCCAGCGCGCGTGC CCTGGCAGGAAGATGGCTGTGAGGGACAGGGGAGTGGC GCCCTGCAATATTGCATGTCGCTATGTGTTCTGGAAAT CACCATAAACGTGAAATGTCTTGATTTGGAAATCTTAT AAGTTCTGTATGAGACCACTTGGATCCGTGTCAAGTCAA TCTATGTTCAAGAGACATAGATTGGACTTGACACTTTT	10
93	CCR5 フォワードプローブ ライマー	AGGAATTGATGGCGAGAAGG	
94	CCR5 リバースプローブ ライマー	CCCCAAAGAAGGTCAAGGTAATCA	
95	アクチノンフォワードプローブ ライマー	AGCGCGGCTACAGCTTCA	20
96	アクチノンリバースプローブ ライマー	GGCGACGTAGCACAGCTTCT	
97	AGT103 CCR5 miR30	TGTAAACTGAGCTTGCTCTA	
98	AGT103-R5-1	TGTAAACTGAGCTTGCTCGC	
99	AGT103-R5-2	CATAGATTGGACTTGACAC	
100	CAG プロモーター	TAGTTATTAATAGTAATCAATTACGGGGTCATTAGTTCAT AGCCCATATATGGAGTTCCCGCGTTACATAACTACGGTAA ATGGCCCGCCTGGCTGACCGCCCAACGACCCCCGCCCCAT TGACGTCAATAATGACGTATGTTCCCATAGTAACGCCAAT AGGGACTTCCATTGACGTCAATGGGTGGACTATTACGG TAAACTGCCACTTGGCAGTACATCAAGTGTATCATATGC CAAGTACGCCCTATTGACGTCAATGACGGTAAATGGC CCGCCTGGCATTATGCCAGTACATGACCTTATGGGACTT TCCTACTTGGCAGTACATCTACGTATTAGTCATCGCTATT ACCATGGGTGAGGTGAGCCCCACGTTCTGCTCAGTCTC CCCATCTCCCCCCCCCTCCCCACCCCCAATTTGTATTTATT TATTITTAATTATTTGTGCAGCGATGGGGCGGGGGGG GGGGGGGCGCGCGCCAGGCAGGGGGCGGGGGCGAGGG GGCGGGGGCGGGCGAGGGCGAGAGGTGCGGGCGGCAGCC	30
			40

【表 5 - 3 4】

		AATCAGAGCGCGCGCTCGAAAGTTCCCTTATGGCG AGGCAGCGCGCGCGCGCGCCCTATAAAAAGCGAAGCGC GCGCGGGCG	
101	H1 エレメント	GAACGCTGACGTCAACCCGCTCCAAGGAATCGCGGG CCCAGTGTCACTAGGCAGGAACACCCAGCGCGCGTGC CCTGGCAGGAAGATGGCTGTGAGGGACAGGGAGTGGC GCCCTGCAATATTGATGTCGCTATGTGTTCTGGAAAT CACCATAACGTGAAATGTCTTGGATTGGAAATCTTAT AAGTTCTGTATGAGACCACCT	10
103	7SK プロモーター	CTGCAGTATTTAGCATGCCACCCATCTGCAAGGCATT TGGATAGTGTAAAACAGCCGGAAATCAAGTCCGTTAT CTCAAACTTAGCATTGGAAATAATGATATTGCTAT GCTGGTAAATTAGATTTAGTTAAATTCTGCTGAAGC TCTAGTACGATAAGCAACTTGACCTAAGTGTAAAGTTGA GATTTCCTTCAGGTTATATAGCTTGTGCGCCGCCTGGCT ACCTC	20
104	miR155 Tat	CTGGAGGCTTGCTGAAGGCTGTATGCTGTCCGCTTCT TGCCATAGGGTTTGGCCACTGACTGACCCATGGGAA GAAGCGGACAGGACACAAGGCCTGTTACTAGCACTCACA TGGAACAAATGGCC	30
105	伸長因子-1アルファ (EF1-アルファ) プロモーター	CCGGTGCCTAGAGAAGGTGGCGCGGGTAAACTGG GAAAGTGTGCGTGTACTGGCTCCGCCTTTCCC GAGGGTGGGGAGAACCGTATATAAGTGCAGTAGT CGCCGTGAACGTTCTTTCGCAACGGTTGCCGC CAGAACACAGGTAAGTGCCGTGTGGTCCC GGCCTGGCCTCTTACGGTTATGCCCTGCGTGC CTTGAATTACTCCACGCCCTGGCTGCAGTACGTG ATTCTTGATCCCGAGCTCGGGTGGAAAGTGGTGG GAGAGTTGAGGCCCTGCGCTTAAGGAGCCCCTCG CCTCGTGCCTGAGTTGAGGCCCTGGCGCTGG GGCCGCCCGTGCAGTGGTGGCACCTCGCGCC TGTCTCGCTGCTTCGATAAGTCTAGCCATTAAA ATTTTGATGACCTGCTGCGACGCTTTCTGGCA	40

【表 5 - 3 5】

		AGATAGTCTTGTAAATGCGGGCCAAGATCTGCACAC TGGTATTTCGGTTTGCGGGCCGCGGGCGGCACGG GGCCCGTGCCTCCCAGCGCACATGTTGGCGAGGC GGGCCTGCGAGCGCGGCCACCGAGAATCGGACGG GGGTAGTCTCAAGCTGGCCGGCCTGCTCTGGTGCCT GGCCTCGCGCCCGCGTGTATGCCCGCCCTGGCG GCAAGGCTGGCCCGGTGGCACCAAGTTGCGTGAGC GGAAAGATGGCCGCTTCCCAGGCCTGCTGCAGGG GCTCAAAATGGAGGACGCGCGCTCGGGAGAGCGG GCGGGTGAGTCACCCACACAAAGGAAAAGGGCCTT TCCGTCTCAGCCGTCGCTTCATGTGACTCCACGGA GTACCGGGCGCCGTCCAGGCACCTCGATTAGTTCTC GAGCTTTGGAGTACGTGCTTTAGGTTGGGGGA GGGGTTTATGCGATGGAGTTCCCCACACTGAGTG GGTGGAGACTGAAGTTAGGCCAGCTTGGCACTTGAT GTAATTCTCCTTGGATTGCCCTTTGAGTTGG TCTTGGTTCAATTCTCAAGCCTCAGACAGTGGTCAA AGTTTTTCTCCATTCAAGGTGTCGTGATGTACA	10
106	5'制限認識部位を伴うmiR21 Vif コーディング配列	CCCGGGCATCTCCATGGCTGTACCACCTTGTGGGG GATGTGTACTTCTGAACCTGTGTTGAATCTCATGG GTTCAGAACACATCCGCACTGACATTGGTAT CTTCATCTGACCA	20
107	5'制限認識部位を伴うmiR185 Tat コーディング配列	GCTAGCGGGCCTGGCTCGAGCAGGGGGCGAGGGAT TCCGCTTCTTCCTGCCATAGCGTGGTCCCCTCCCCTA TGGCAGGCAGAACAGCGGCACCTCCCTCCCAATGACC GCGTCTCGTC	30
108	miR185 Tat コーディング配列	GGGCCTGGCTCGAGCAGGGGGCGAGGGATTCCGCT TCTTCCTGCCATAGCGTGGTCCCCTCCCCTATGGCA GGCAGAACAGCGGCACCTCCCTCCCAATGACCGCGTC TTCGTC	40

【0343】

上に本発明の好ましい実施形態についていくつか説明し、具体的に例示してきたが、本発明はそのような実施形態に限定されることを意図していない。本発明の範囲および精神から逸脱することなく、様々な改変をそこに施してもよい。

特定の実施形態では、例えば以下の項目が提供される。

(項目1)

HIVに感染した細胞を処置する方法であって、

(a) HIVに感染した対象から単離された末梢血単核細胞(PBMC)を、治療有効量の刺激性作用剤と接触させるステップであって、前記接触がex vivoで実施され

るステップ；

(b) ex vivoにおいて、少なくとも1つの遺伝子エレメントをコードするウイルス送達システムを用いて前記PBM Cに形質導入するステップ；および

(c) 前記形質導入されたPBM Cを、少なくとも1日間培養するステップを含む方法。

(項目2)

前記形質導入されたPBM Cが、約1～約35日間培養される、項目1に記載の方法。

(項目3)

前記形質導入されたPBM Cを対象に注入するステップをさらに含む、項目1に記載の方法。

10

(項目4)

前記対象がヒトである、項目3に記載の方法。

(項目5)

前記刺激性作用剤がペプチドを含む、項目1に記載の方法。

(項目6)

前記ペプチドが、gagペプチドを含む、項目5に記載の方法。

(項目7)

前記刺激性作用剤がワクチンを含む、項目1に記載の方法。

(項目8)

前記ワクチンが、HIVワクチンを含む、項目7に記載の方法。

20

(項目9)

前記HIVワクチンが、MVA/HIV62Bワクチンまたはそのバリアントを含む、項目8に記載の方法。

(項目10)

前記ウイルス送達システムが、レンチウイルス粒子を含む、項目1に記載の方法。

(項目11)

前記少なくとも1つの遺伝子エレメントが、ケモカイン受容体CCR5の産生を阻害することができるスマールRNA、またはHIV RNA配列を標的とすることができる少なくとも1つのスマールRNAを含む、項目1に記載の方法。

30

(項目12)

前記少なくとも1つの遺伝子エレメントが、ケモカイン受容体CCR5の産生を阻害することができるスマールRNA、およびHIV RNA配列を標的とすることができる少なくとも1つのスマールRNAを含む、項目1に記載の方法。

(項目13)

前記HIV RNA配列が、HIV_Vif配列、HIV_Tat配列、またはそれらのバリアントを含む、項目11または12に記載の方法。

(項目14)

前記少なくとも1つの遺伝子エレメントが、マイクロRNAまたはshRNAを含む、項目11または12に記載の方法。

(項目15)

前記少なくとも1つの遺伝子エレメントが、マイクロRNAクラスターを含む、項目14に記載の方法。

40

(項目16)

前記少なくとも1つの遺伝子エレメントが、

【化55】

AGGTATATTGCTGTTGACAGTGAGCGACTGTAAACTGAGCTTGCTACTGT

GAAGCCACAGATGGGTAGAGCAAGCACAGTTACCGCTGCCTACTGCCTCG

GACTTCAAGGGGCTT(配列番号 1)

50

と少なくとも 8 0 %、または少なくとも 8 5 %、または少なくとも 9 0 %、または少なくとも 9 5 % の同一性パーセントを有するマイクロ RNA を含む、項目 1 4 に記載の方法。
(項目 1 7)

前記少なくとも 1 つの遺伝子エレメントが、

【化 5 6】

```
AGGTATATTGCTGTTGACAGTGAGCGACTGTAAACTGAGCTTGCTCTACTGT  

GAAGCCACAGATGGGTAGAGCAAGCACAGTTACCGCTGCCTACTGCCTCG  

GACTTCAAGGGGCTT ( 配列番号 1 )
```

10

を含む、項目 1 4 に記載の方法。

(項目 1 8)

前記少なくとも 1 つの遺伝子エレメントが、

a.

【化 5 7】

```
CATCTCCATGGCTGTACCACCTTGTGGGGGATGTGTACTTCTGAAC  

TTGTGTTGAATCTCATGGAGTTAGAAGAACACATCCGCACTGACAT  

TTTGGTATCTTCATCTGACCA ( 配列番号 2 )
```

20

:

と少なくとも 8 0 %、もしくは少なくとも 8 5 %、もしくは少なくとも 9 0 %、もしくは
少なくとも 9 5 % の同一性パーセントを有するか、または

b.

【化 5 8】

```
GGGCCTGGCTCGAGCAGGGGGCGAGGGATTCCGCTTCTCCTGCCAT  

AGCGTGGTCCCCTCCCTATGGCAGGCAGAACGCGGACCTCCCTCC  

CAATGACCGCGTCTCGTCG ( 配列番号 3 )
```

30

と少なくとも 8 0 %、もしくは少なくとも 8 5 %、もしくは少なくとも 9 0 %、もしくは
少なくとも 9 5 % の同一性パーセントを有する
マイクロ RNA を含む、項目 1 4 に記載の方法。

(項目 1 9)

前記少なくとも 1 つの遺伝子エレメントが、

a.

【化 5 9】

```
CATCTCCATGGCTGTACCACCTTGTGGGGGATGTGTACTTCTGAAC  

TTGTGTTGAATCTCATGGAGTTAGAAGAACACATCCGCACTGACAT  

TTTGGTATCTTCATCTGACCA ( 配列番号 2 )
```

40

: または

b.

【化 6 0】

```
GGGCCTGGCTCGAGCAGGGGGCGAGGGATTCCGCTTCTCCTGCCAT  

AGCGTGGTCCCCTCCCTATGGCAGGCAGAACGCGGACCTCCCTCC  

CAATGACCGCGTCTCGTCG ( 配列番号 3 )
```

50

を含む、項目 1 4 に記載の方法。

(項目 2 0)

前記マイクロ RNA クラスターが、

【化 6 1】

```
AGGTATATTGCTGTTGACAGTGAGCGACTGTAAACTGAGCTTGCTCTACTGT
GAAGCCACAGATGGGTAGAGCAAGCACAGTTACCGCTGCCTACTGCCTCG
GACTTCAAGGGGCTTCCCGGGCATCTCCATGGCTGTACCACCTGTCGGGG
GATGTGTACTTCTGAACTTGTGTTGAATCTCATGGAGTTCAGAAGAACACA
TCCGCACTGACATTTGGTATCTTCATCTGACCAGCTAGCGGGCCTGGCTC
GAGCAGGGGGCGAGGGATTCCGCTTCCCTGCCATAGCGTGGTCCCCTCC
CCTATGGCAGGCAGAACGGCACCTCCCTCCAATGACCGCGTCTCGTC
```

(配列番号 31)

10

と少なくとも 8 0 %、または少なくとも 8 5 %、または少なくとも 9 0 %、または少なくとも 9 5 % の同一性パーセントを有する配列を含む、項目 1 5 に記載の方法。

(項目 2 1)

前記マイクロ RNA クラスターが、

【化 6 2】

```
AGGTATATTGCTGTTGACAGTGAGCGACTGTAAACTGAGCTTGCTCTACTGT
GAAGCCACAGATGGGTAGAGCAAGCACAGTTACCGCTGCCTACTGCCTCG
GACTTCAAGGGGCTTCCCGGGCATCTCCATGGCTGTACCACCTGTCGGGG
GATGTGTACTTCTGAACTTGTGTTGAATCTCATGGAGTTCAGAAGAACACA
TCCGCACTGACATTTGGTATCTTCATCTGACCAGCTAGCGGGCCTGGCTC
GAGCAGGGGGCGAGGGATTCCGCTTCCCTGCCATAGCGTGGTCCCCTCC
CCTATGGCAGGCAGAACGGCACCTCCCTCCAATGACCGCGTCTCGTC
```

(配列番号 31)

20

を含む、項目 1 5 に記載の方法。

(項目 2 2)

対象の H I V 感染を処置する方法であつて、

(a) 前記対象から白血球を取り出し、末梢血単核細胞 (P B M C) を精製するステップ；

(b) e x v i v o において、前記 P B M C を治療有効量の刺激性作用剤と接触させるステップ；

(c) e x v i v o において、少なくとも 1 つの遺伝子エレメントをコードするウイルス送達システムを用いて前記 P B M C に形質導入するステップ；および

(d) 前記形質導入された P B M C を、少なくとも 1 日間培養するステップを含む方法。

(項目 2 3)

前記形質導入された P B M C が、約 1 ~ 約 3 5 日間培養される、項目 2 2 に記載の方法。

(項目 2 4)

前記形質導入された P B M C を前記対象に注入するステップをさらに含む、項目 2 2 に記載の方法。

(項目 2 5)

前記対象がヒトである、項目 2 2 から 2 4 のいずれか一項に記載の方法。

(項目 2 6)

30

40

50

前記刺激性作用剤がペプチドを含む、項目 2 2 に記載の方法。

(項目 2 7)

前記刺激性作用剤が、g a g ペプチドを含む、項目 2 6 に記載の方法。

(項目 2 8)

前記刺激性作用剤がワクチンを含む、項目 2 2 に記載の方法。

(項目 2 9)

前記ワクチンが、H I V ワクチンを含む、項目 2 8 に記載の方法。

(項目 3 0)

前記H I V ワクチンが、M V A / H I V 6 2 B ワクチンまたはそのバリアントを含む、項目 2 9 に記載の方法。

10

(項目 3 1)

前記ウイルス送達システムが、レンチウイルス粒子を含む、項目 2 2 に記載の方法。

(項目 3 2)

前記少なくとも 1 つの遺伝子エレメントが、ケモカイン受容体 C C R 5 の産生を阻害することができるスマール R N A 、または H I V R N A 配列を標的とすることができる少なくとも 1 つのスマール R N A を含む、項目 2 2 に記載の方法。

(項目 3 3)

前記少なくとも 1 つの遺伝子エレメントが、ケモカイン受容体 C C R 5 の産生を阻害することができるスマール R N A 、および H I V R N A 配列を標的とすることができる少なくとも 1 つのスマール R N A を含む、項目 2 2 に記載の方法。

20

(項目 3 4)

前記 H I V R N A 配列が、H I V V i f 配列、H I V T a t 配列、またはそれらのバリアントを含む、項目 3 2 または 3 3 に記載の方法。

(項目 3 5)

前記少なくとも 1 つの遺伝子エレメントが、マイクロ R N A または s h R N A を含む、項目 3 2 または 3 3 に記載の方法。

(項目 3 6)

前記少なくとも 1 つの遺伝子エレメントが、マイクロ R N A クラスターを含む、項目 3 5 に記載の方法。

(項目 3 7)

30

前記少なくとも 1 つの遺伝子エレメントが、

a .

【化 6 3 】

AGGTATATTGCTGTTGACAGTGAGCGACTGTAAACTGAGCTTGCTCT

ACTGTGAAGCCACAGATGGGTAGAGCAAGCACAGTTACCGCTGCC

TACTGCCTCGGACTTCAAGGGGCTT (配列番号 1)

と少なくとも 8 0 % 、または少なくとも 8 5 % 、または少なくとも 9 0 % 、または少なくとも 9 5 % の同一性パーセントを有するマイクロ R N A を含む、項目 3 5 に記載の方法。

40

(項目 3 8)

前記少なくとも 1 つの遺伝子エレメントが、

【化 6 4 】

AGGTATATTGCTGTTGACAGTGAGCGACTGTAAACTGAGCTTGCTACTGT

GAAGCCACAGATGGGTAGAGCAAGCACAGTTACCGCTGCCACTGCCTCG

GACTTCAAGGGGCTT (配列番号 1)

を含む、項目 3 5 に記載の方法。

(項目 3 9)

50

前記少なくとも1つの遺伝子エレメントが、

a.

【化65】

CATCTCCATGGCTGTACCACCTTGTGGGGGATGTGTACTTCTGAAC
TTGTGTTGAATCTCATGGAGTTCAGAAGAACACATCCGCACTGACAT
TTTGGTATCTTCATCTGACCA (配列番号 2)

:

と少なくとも80%、もしくは少なくとも85%、もしくは少なくとも90%、もしくは
少なくとも95%の同一性パーセントを有するか、または

10

b.

【化66】

GGGCCTGGCTCGAGCAGGGGGCGAGGGATTCCGCTTCTGCCAT
AGCGTGGTCCCCCTCCCTATGGCAGGCAGAAGCGGCACCTTCCCTCC
CAATGACCGCGTCTCGTCG (配列番号 3)

と少なくとも80%、もしくは少なくとも85%、もしくは少なくとも90%、もしくは
少なくとも95%の同一性パーセントを有する
マイクロRNAを含む、項目35に記載の方法。

20

(項目40)

前記少なくとも1つの遺伝子エレメントが、

a.

【化67】

CATCTCCATGGCTGTACCACCTTGTGGGGGATGTGTACTTCTGAAC
TTGTGTTGAATCTCATGGAGTTCAGAAGAACACATCCGCACTGACAT
TTTGGTATCTTCATCTGACCA (配列番号 2)

30

:または

b.

【化68】

GGGCCTGGCTCGAGCAGGGGGCGAGGGATTCCGCTTCTGCCAT
AGCGTGGTCCCCCTCCCTATGGCAGGCAGAAGCGGCACCTTCCCTCC
CAATGACCGCGTCTCGTCG (配列番号 3)

を含む、項目35に記載の方法。

(項目41)

40

前記マイクロRNAクラスターが、

50

【化 6 9】

AGGTATATTGCTGTTGACAGTGAGCGACTGTAAACTGAGCTTGCCTACTGT
 GAAGCCACAGATGGGTAGAGCAAGCACAGTTACCGCTGCCTACTGCCTCG
 GACTTCAAGGGGCTCCCGGGCATCTCCATGGCTGTACCACCTGTCGGGG
 GATGTGTACTTCTGAACTTGTGTTGAATCTCATGGAGTTCAGAAGAACACA
 TCCGCACTGACATTTGGTATCTTCATCTGACCAGCTAGCGGGCCTGGCTC
 GAGCAGGGGGCGAGGGATTCCGCTTCCCTGCCATAGCGTGGTCCCCTCC
 CCTATGGCAGGCAGAACCGGCACCTCCCTCCAATGACCGCGTCTCGTC

(配列番号 31)

10

と少なくとも 8 0 %、または少なくとも 8 5 %、または少なくとも 9 0 %、または少なくとも 9 5 % の同一性パーセントを有する配列を含む、項目 3 6 に記載の方法。

(項目 4 2)

前記マイクロ RNA クラスターが、

【化 7 0】

AGGTATATTGCTGTTGACAGTGAGCGACTGTAAACTGAGCTTGCCTACTGT
 GAAGCCACAGATGGGTAGAGCAAGCACAGTTACCGCTGCCTACTGCCTCG
 GACTTCAAGGGGCTCCCGGGCATCTCCATGGCTGTACCACCTGTCGGGG
 GATGTGTACTTCTGAACTTGTGTTGAATCTCATGGAGTTCAGAAGAACACA
 TCCGCACTGACATTTGGTATCTTCATCTGACCAGCTAGCGGGCCTGGCTC
 GAGCAGGGGGCGAGGGATTCCGCTTCCCTGCCATAGCGTGGTCCCCTCC
 CCTATGGCAGGCAGAACCGGCACCTCCCTCCAATGACCGCGTCTCGTC

(配列番号 31)

20

を含む、項目 3 6 に記載の方法。

(項目 4 3)

30

少なくとも 1 つのコードされた遺伝子エレメントを含むレンチウイルスベクターであつて、前記少なくとも 1 つのコードされた遺伝子エレメントが、ケモカイン受容体 CCR5 の産生を阻害することができるスモール RNA、または HIV RNA 配列を標的とすることができる少なくとも 1 つのスモール RNA を含み、前記 HIV RNA 配列が、HIV Vif 配列、HIV Tat 配列、またはそれらのバリアントを含む、レンチウイルスベクター。

(項目 4 4)

40

少なくとも 1 つのコードされた遺伝子エレメントを含むレンチウイルスベクターであつて、前記少なくとも 1 つのコードされた遺伝子エレメントが、ケモカイン受容体 CCR5 の産生を阻害することができるスモール RNA、および HIV RNA 配列を標的とすることができる少なくとも 1 つのスモール RNA を含み、前記 HIV RNA 配列が、HIV Vif 配列、HIV Tat 配列、またはそれらのバリアントを含む、レンチウイルスベクター。

(項目 4 5)

前記少なくとも 1 つのコードされた遺伝子エレメントが、マイクロ RNA または shRNA を含む、項目 4 3 または 4 4 に記載のレンチウイルスベクター。

(項目 4 6)

前記少なくとも 1 つのコードされた遺伝子エレメントが、マイクロ RNA クラスターを含む、項目 4 5 に記載のレンチウイルスベクター。

(項目 4 7)

50

前記少なくとも1つのコードされた遺伝子エレメントが、

a.

【化71】

AGGTATATTGCTGTTGACAGTGAGCGACTGTAAACTGAGCTTGCTCT
ACTGTGAAGCCACAGATGGTAGAGCAAGCACAGTTACCGCTGCC
TACTGCCTCGGACTTCAAGGGGCTT(配列番号 1)

と少なくとも80%、または少なくとも85%、または少なくとも90%、または少なくとも95%の同一性パーセントを有するマイクロRNAを含む、項目45に記載のレンチウイルスベクター。

10

(項目48)

前記少なくとも1つのコードされた遺伝子エレメントが、

【化72】

AGGTATATTGCTGTTGACAGTGAGCGACTGTAAACTGAGCTTGCTCTACTGT
GAAGCCACAGATGGTAGAGCAAGCACAGTTACCGCTGCCACTGCCTCG
GACTTCAAGGGGCTT(配列番号 1)

を含む、項目47に記載のレンチウイルスベクター。

20

(項目49)

前記少なくとも1つのコードされた遺伝子エレメントが、

a.

【化73】

CATCTCCATGGCTGTACCACCTTGTGGGGGATGTGTACTTCTGAAC
TTGTGTTGAATCTCATGGAGTTCAGAAGAACACATCCGCACTGACAT
TTGGTATTTCATCTGACCA(配列番号 2)

.

30

と少なくとも80%、もしくは少なくとも85%、もしくは少なくとも90%、もしくは少なくとも95%の同一性パーセントを有するか、または

b.

【化74】

GGGCCTGGCTCGAGCAGGGGGCGAGGGATTCCGCTTCTCCTGCCAT
AGCGTGGTCCCCTCCCTATGGCAGGCAGAACGGCACCTCCCTCC
CAATGACCGCGTCTCGTCG(配列番号 3)

と少なくとも80%、もしくは少なくとも85%、もしくは少なくとも90%、もしくは少なくとも95%の同一性パーセントを有する

40

マイクロRNAを含む、項目45に記載のレンチウイルスベクター。

(項目50)

前記少なくとも1つのコードされた遺伝子エレメントが、

a.

【化75】

CATCTCCATGGCTGTACCACCTTGTGGGGGATGTGTACTTCTGAAC
TTGTGTTGAATCTCATGGAGTTCAGAAGAACACATCCGCACTGACAT
TTGGTATTTCATCTGACCA(配列番号 2)

50

：または

b.

【化76】

GGGCCTGGCTCGAGCAGGGGGCGAGGGATTCCGCTTCTCCTGCCAT
AGCGTGGTCCCCTCCCTATGGCAGGCAGAAGCGGCACCTCCCTCC
CAATGACCGCGTCTCGTCG (配列番号 3)

を含む、項目45に記載のレンチウイルスベクター。

(項目51)

10

前記マイクロRNAクラスターが、

【化77】

AGGTATATTGCTGTTGACAGTGAGCGACTGTAAACTGAGCTTGCTACTGT
GAAGCCACAGATGGTAGAGCAAGCACAGTTACCGCTGCCTACTGCCTCG
GACTTCAAGGGCTTCCCGGGCATCTCCATGGCTGTACCACCTGTCGGGG
GATGTGTACTTCTGAACTTGTGTTGAATCTCATGGAGTTAGAAGAACACA
TCCGCACTGACATTTGGTATCTTCATCTGACCAGCTAGCGGGCCTGGCTC
GAGCAGGGGGCGAGGGATTCCGCTTCTGCCATAGCGTGGTCCCTCC
CCTATGGCAGGCAGAAGCGGCACCTCCCTCCAATGACCGCGTCTCGTC

(配列番号 31)

20

と少なくとも80%、または少なくとも85%、または少なくとも90%、または少なくとも95%の同一性パーセントを有する配列を含む、項目46に記載のレンチウイルスベクター。

(項目52)

前記マイクロRNAクラスターが、

【化78】

AGGTATATTGCTGTTGACAGTGAGCGACTGTAAACTGAGCTTGCTACTGT
GAAGCCACAGATGGTAGAGCAAGCACAGTTACCGCTGCCTACTGCCTCG
GACTTCAAGGGCTTCCCGGGCATCTCCATGGCTGTACCACCTGTCGGGG
GATGTGTACTTCTGAACTTGTGTTGAATCTCATGGAGTTAGAAGAACACA
TCCGCACTGACATTTGGTATCTTCATCTGACCAGCTAGCGGGCCTGGCTC
GAGCAGGGGGCGAGGGATTCCGCTTCTGCCATAGCGTGGTCCCTCC
CCTATGGCAGGCAGAAGCGGCACCTCCCTCCAATGACCGCGTCTCGTC

(配列番号 31)

30

を含む、項目46に記載のレンチウイルスベクター。

(項目53)

40

レンチウイルス粒子を発現するためのレンチウイルスベクターシステムであって、

a. 項目43から52のいずれか一項に記載のレンチウイルスベクター；

b. 細胞への感染が最適化されているエンベロープタンパク質を発現するためのエンベローププラスミド；ならびに

c. g a g , p o l 、および r e v 遺伝子を発現するための少なくとも1つのヘルパープラスミド

を含み、前記レンチウイルスベクター、前記エンベローププラスミド、および前記少なくとも1つのヘルパープラスミドがパッケージング細胞株にトランスフェクトされると、前

50

記パッケージング細胞株によってレンチウイルス粒子が産生され、前記レンチウイルス粒子が、ケモカイン受容体 CCR5 の産生を阻害することができるかまたは HIV RNA 配列を標的とすることができる、レンチウイルスベクターシステム。

(項目 54)

前記 gag および pol 遺伝子を発現するための第 1 のヘルパープラスミド、ならびに前記 rev 遺伝子を発現するための第 2 のプラスミドを含む、項目 53 に記載のレンチウイルスベクターシステム。

(項目 55)

細胞に感染することができるレンチウイルス粒子であって、細胞への感染が最適化されたエンベロープタンパク質、および項目 43 から 52 のいずれか一項に記載のレンチウイルスベクターを含むレンチウイルス粒子。

10

(項目 56)

前記エンベロープタンパク質が、T 細胞への感染のために最適化されている、項目 55 に記載のレンチウイルス粒子。

(項目 57)

前記エンベロープタンパク質が、CD4+ T 細胞への感染のために最適化されている、項目 56 に記載のレンチウイルス粒子。

(項目 58)

CD4+ T 細胞を含む変形細胞であって、前記 CD4+ T 細胞が、項目 55 から 57 のいずれか一項に記載のレンチウイルス粒子に感染している、変形細胞。

20

(項目 59)

前記 CD4+ T 細胞が、HIV 抗原もまた認識する、項目 58 に記載の変形細胞。

(項目 60)

前記 HIV 抗原が、gag 抗原を含む、項目 59 に記載の変形細胞。

(項目 61)

前記 CD4+ T 細胞が、前記レンチウイルス粒子による感染後に、減少したレベルの CCR5 を発現する、項目 58 に記載の変形細胞。

(項目 62)

治療処置のために対象を選択する方法であって、

(a) 前記対象から白血球を取り出し、末梢血単核細胞 (PBMC) を精製し、前記 PBMC に関連する少なくとも 1 つの因子に関連する第 1 の定量化可能な測定値を決定するステップ；および

30

(b) ex vivo において、前記 PBMC を、治療有効量の第 2 の刺激性作用剤と接触させ、前記 PBMC に関連する前記少なくとも 1 つの因子に関連する第 2 の測定値を決定するステップ

を含み、前記第 2 の定量化可能な測定値が、前記第 1 の定量化可能な測定値よりも高い場合、前記対象が、前記処置レジメンのために選択される、方法。

(項目 63)

前記 PBMC に関連する前記少なくとも 1 つの因子が T 細胞増殖である、項目 62 に記載の方法。

40

(項目 64)

前記少なくとも 1 つの因子が INF ガンマ産生である、項目 62 に記載の方法。

(項目 65)

前記 PBMC から細胞の少なくとも 1 つのサブセットを枯渇させるステップをさらに含み、細胞の前記少なくとも 1 つのサブセットが、CD8+ T 細胞、細胞、NK 細胞、B 細胞、好中球、好塩基球、好酸球、調節性 T 細胞、NK T 細胞、および赤血球の任意の 1 つまたは複数を含む、項目 1 に記載の方法。

(項目 66)

前記枯渇させるステップが、白血球を取り出した後に行われる、項目 65 に記載の方法。

(項目 67)

50

前記枯渇させるステップが、白血球を取り出すのと同時に行われる、項目 6 5 に記載の方法。

(項目 6 8)

前記 P B M C から細胞の少なくとも 1 つのサブセットを枯渇させるステップをさらに含み、細胞の前記少なくとも 1 つのサブセットが、C D 8 + T 細胞、細胞、N K 細胞、B 細胞、好中球、好塩基球、好酸球、調節性 T 細胞、N K T 細胞、および赤血球の任意の 1 つまたは複数を含む、項目 2 2 に記載の方法。

(項目 6 9)

前記枯渇させるステップが、前記白血球を取り出した後に行われる、項目 6 8 に記載の方法。

10

(項目 7 0)

前記枯渇させるステップが、前記白血球を取り出すのと同時に行われる、項目 6 8 に記載の方法。

(項目 7 1)

前記 P B M C から細胞の少なくとも 1 つのサブセットを枯渇させるステップをさらに含み、細胞の前記少なくとも 1 つのサブセットが、C D 8 + T 細胞、細胞、N K 細胞、B 細胞、好中球、好塩基球、好酸球、調節性 T 細胞、N K T 細胞、および赤血球の任意の 1 つまたは複数を含む、項目 6 2 に記載の方法。

(項目 7 2)

前記枯渇させるステップが、前記白血球を取り出した後に行われる、項目 7 1 に記載の方法。

20

(項目 7 3)

前記枯渇させるステップが、前記白血球を取り出すのと同時に行われる、項目 7 1 に記載の方法。

【図面】

【図 1】

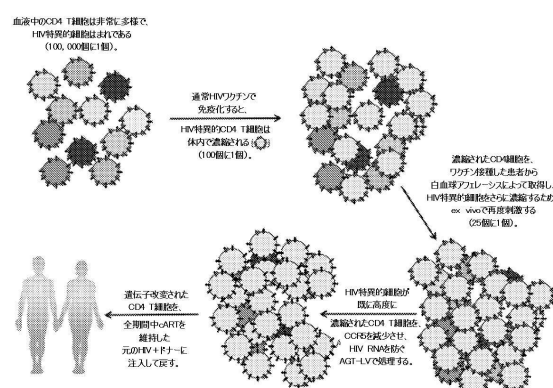


Figure 1

【図 2】

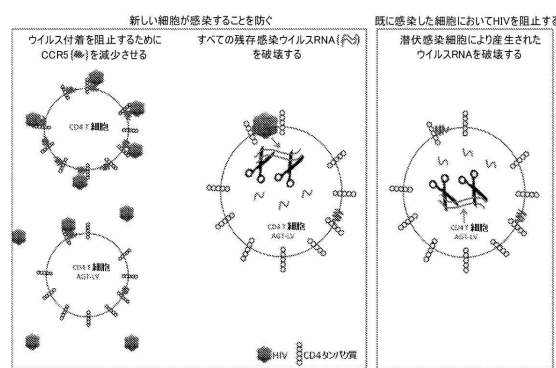


Figure 2

30

40

50

【図3】

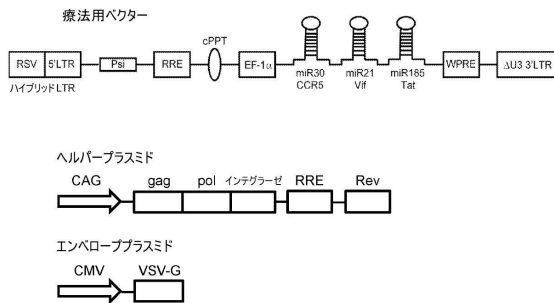


Figure 3

【四 4】

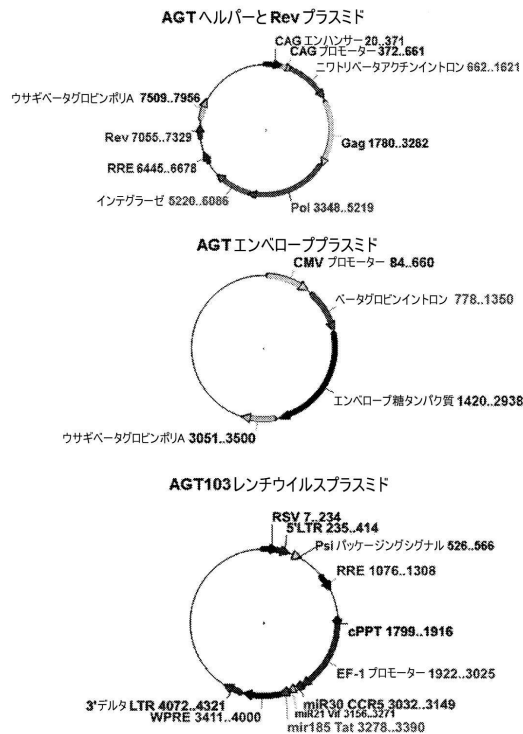


Figure 4

〔 5 〕

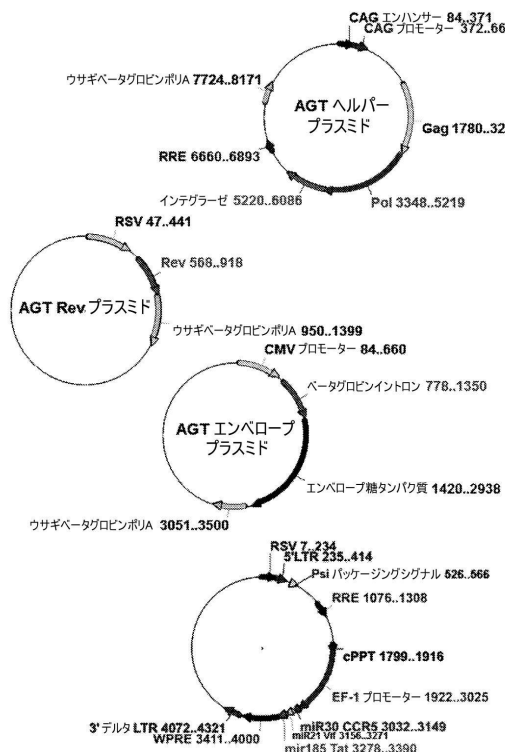


Figure 5

(6)

伸長因子-1 アルファ (EF1-アルファ) プロモーター (配列番号105)

miR30 CCR5 (配列番号1)
AGGTATATTCTGCTTGAAGCAGTGAGCGACTGTAAACTGAGCTTGCCTACTGTGAAGGCCACAGATG
GGTAGGCAAGCAACAGTTCTGGCTGCCTACTGCCTCGGACTTCAGGGCTT

miR21 Vif (配列番号106)
CCCCGGGACTCTCCATTGGCTGTACCCACCTTGTGCGGGGGATGTGTACTTCTGAACCTGTGTTGAATC
TCATGCACTTCACAAACACGATCCCCAACGACATTTTCCATACTTTCAGCTCACCGA

miR185 Tat (配列番号107;配列番号108(下線部分))
GCTAGCGGGGCTGGCTGAGGAGGGGGCGAGGGATTCGCCTTCCCTGCCATAGCGTGGTCCC

Figure 6

【図 7】

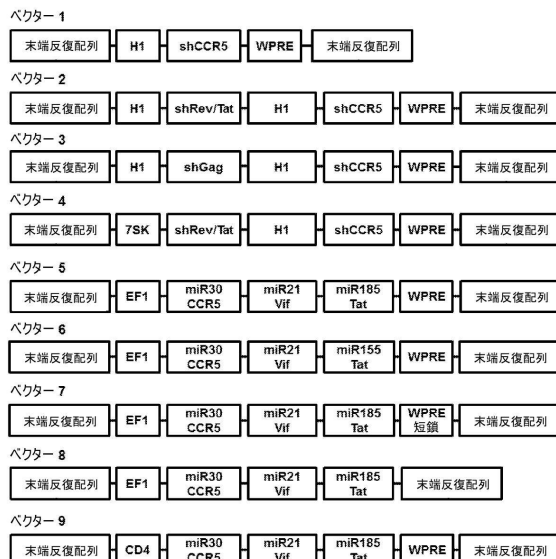


Figure 7

【図 8】

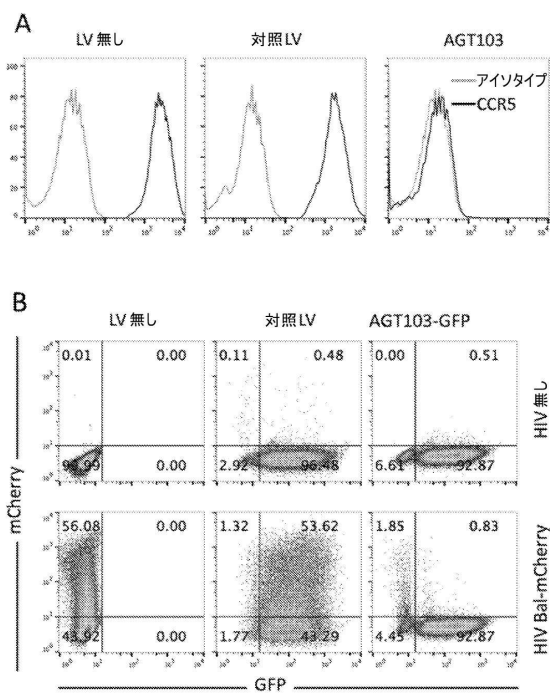
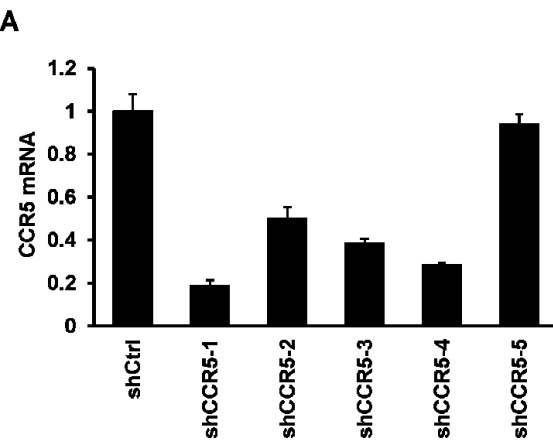
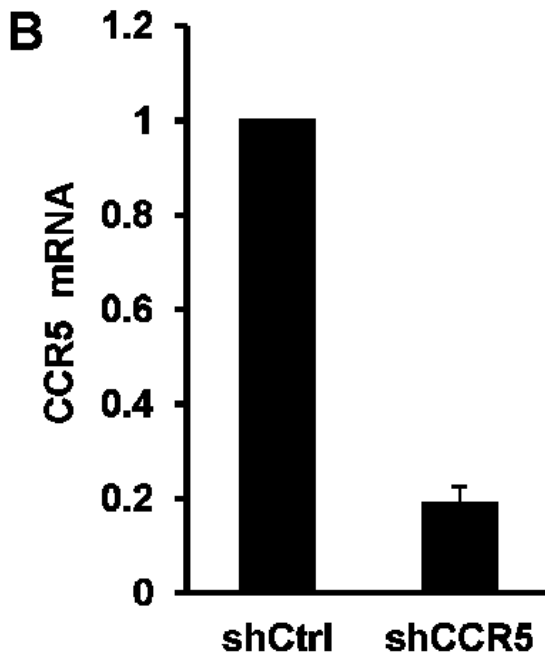


Figure 8

【図 9 A】



【図 9 B】



10

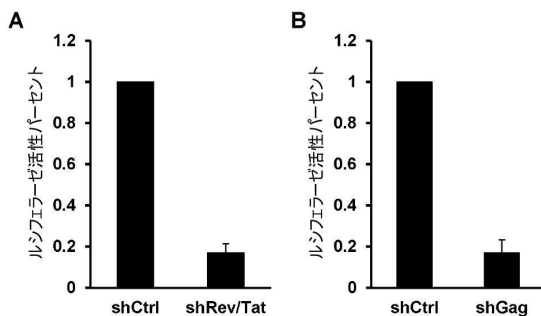
20

30

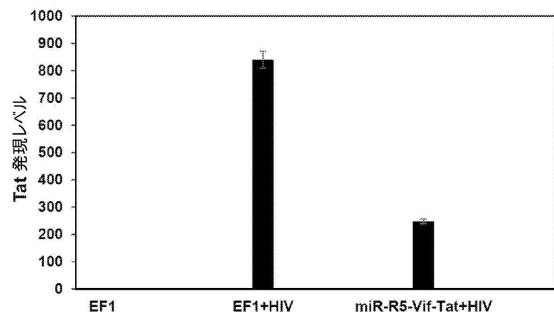
40

50

【図 10】



【図 11】



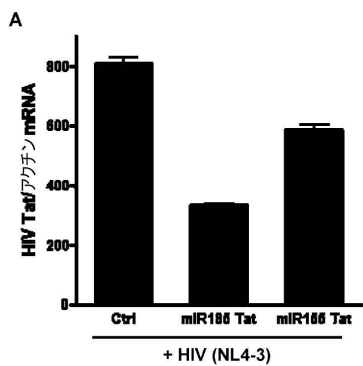
10

Figure 10

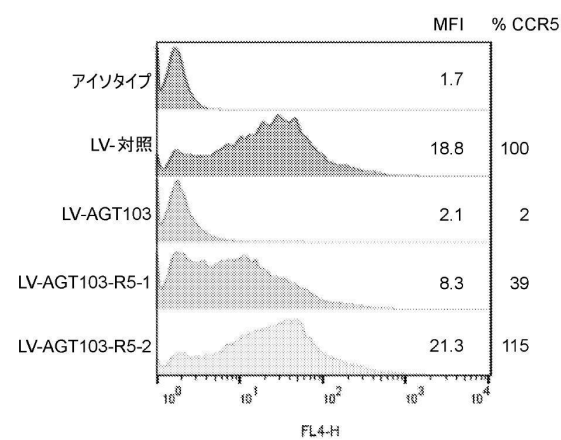
Figure 11

20

【図 12】



【図 13】



30

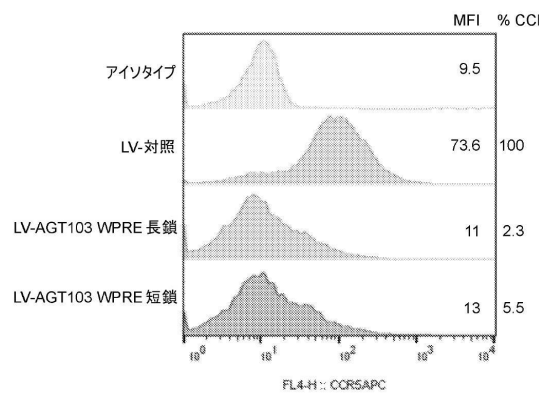
40

Figure 12

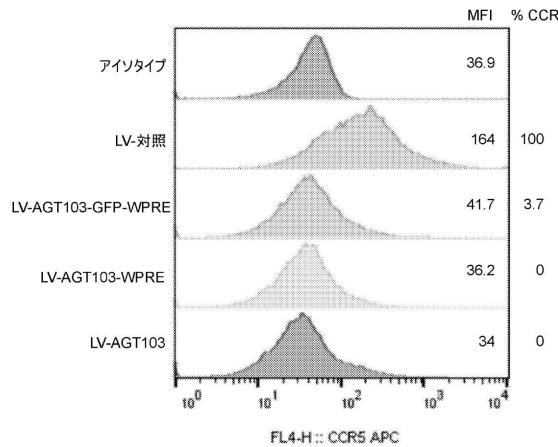
Figure 13

50

【図 1 4】



【図 1 5】



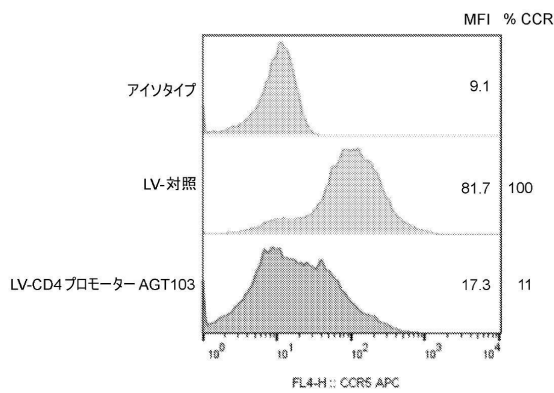
10

20

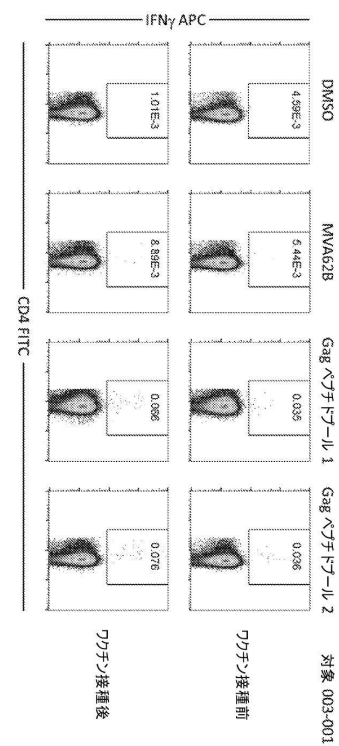
Figure 14

Figure 15

【図 1 6】



【図 1 7】



30

40

Figure 16

Figure 17

50

【図 18】

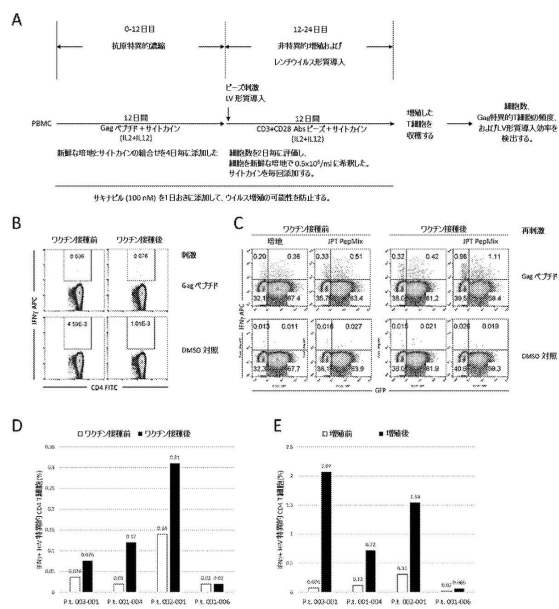


Figure 18

【図 19】

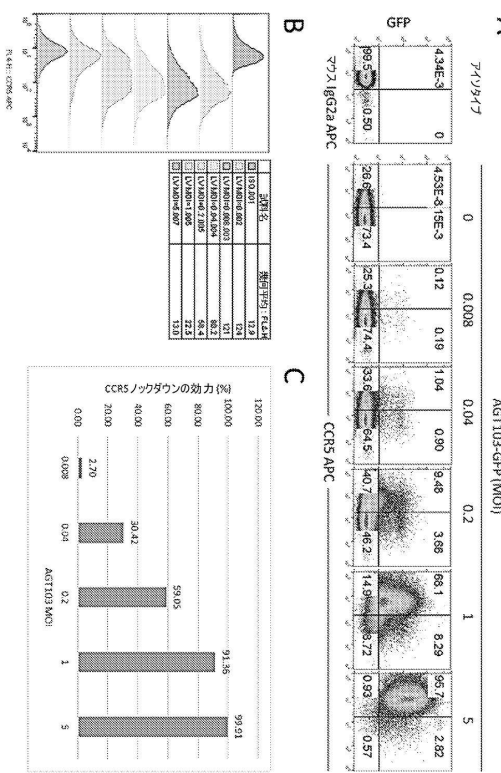


Figure 19

【図 20】

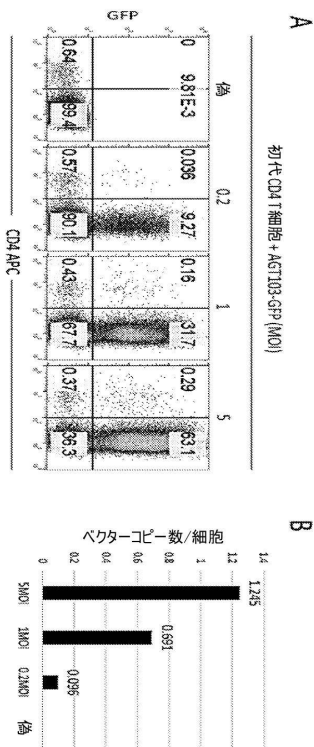


Figure 20

【図 21】

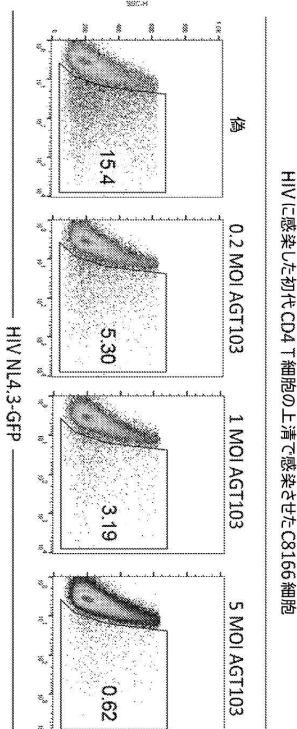


Figure 21

10

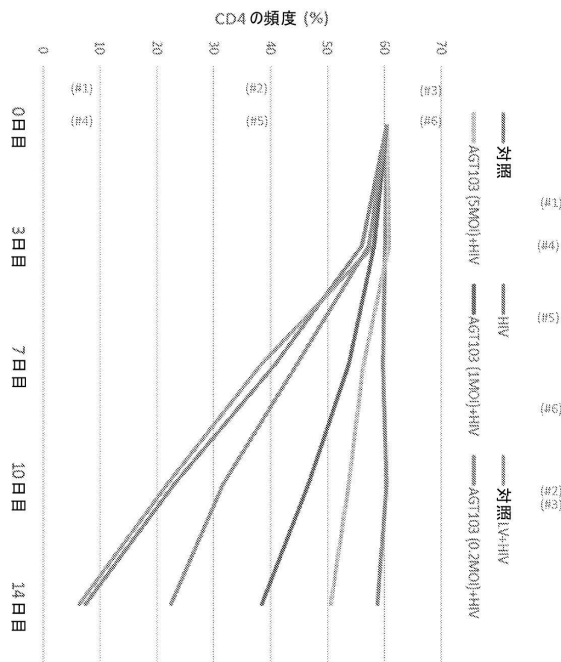
20

30

40

50

【図 2 2】



【図 2 3 - 1】

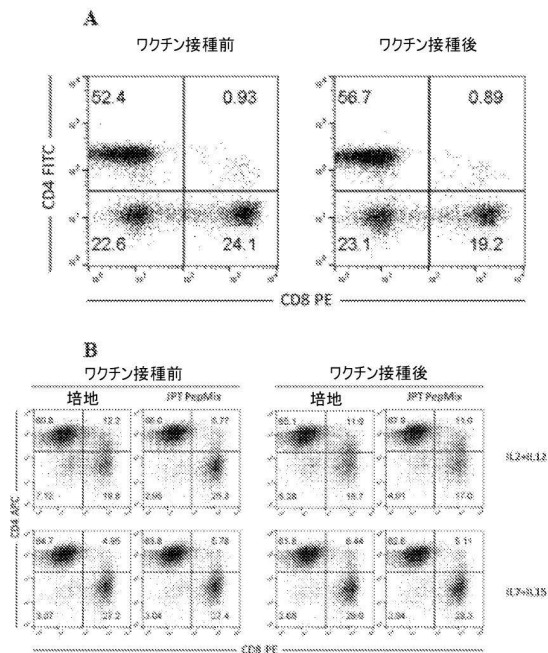
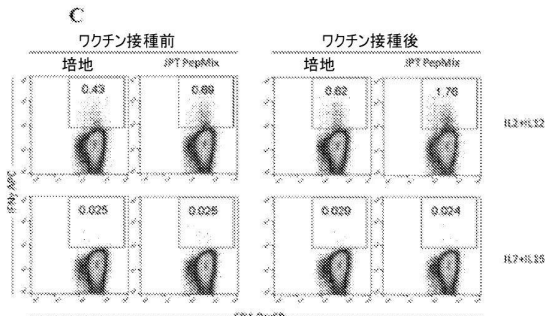


Figure 22

Figure 23

【図 2 3 - 2】



【図 2 4】

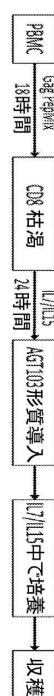


Figure 23 続き

Figure 24

10

20

30

40

50

【図 25 - 1】

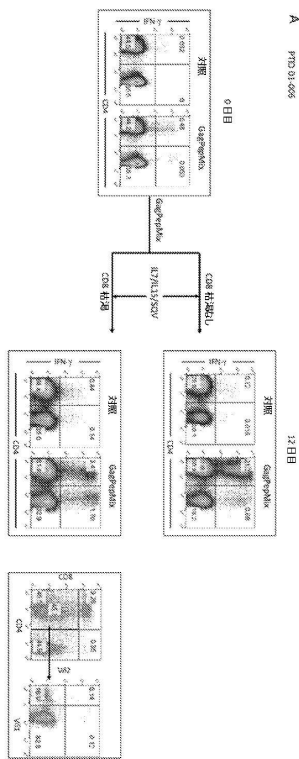


Figure 25

【図 25 - 2】

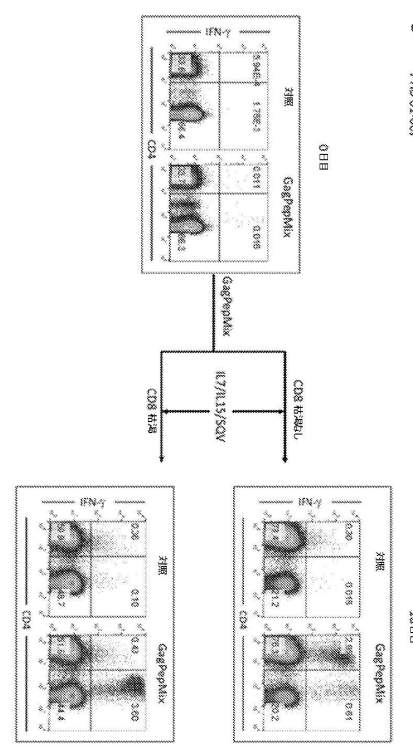


Figure 25 続き

【図 25 - 3】

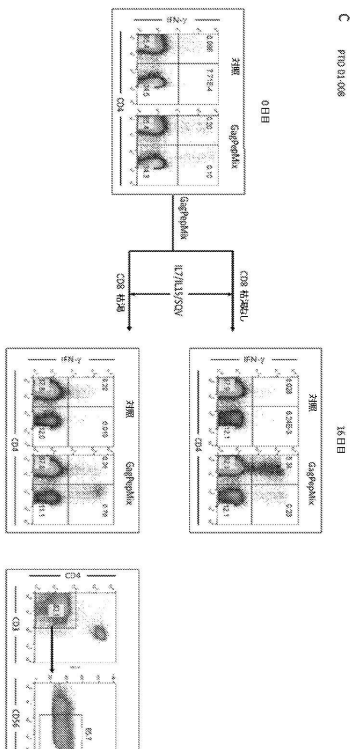


Figure 25 続き

【図 26】

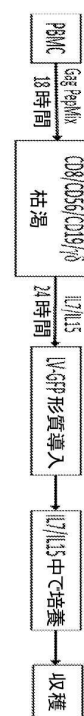


Figure 26

10

20

30

40

50

【図 27 - 1】

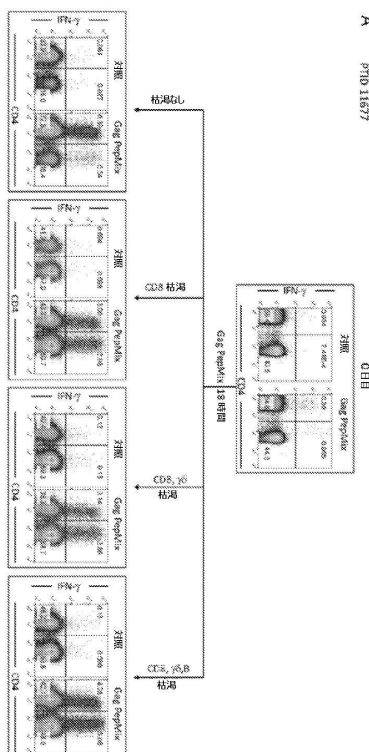


Figure 27

【図 27 - 2】

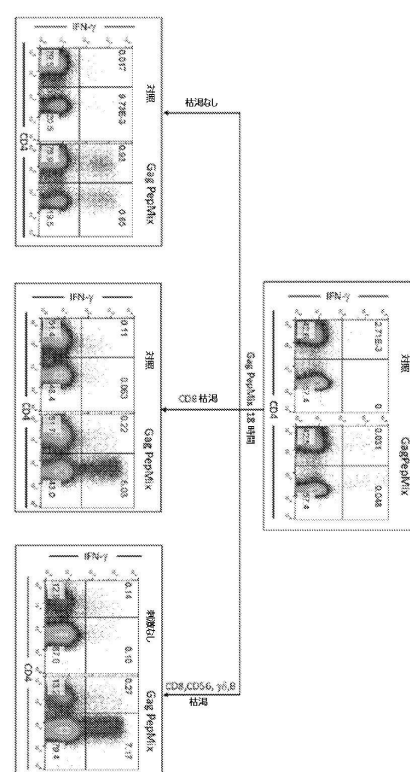


Figure 27 続き

10

20

30

40

【図 28】

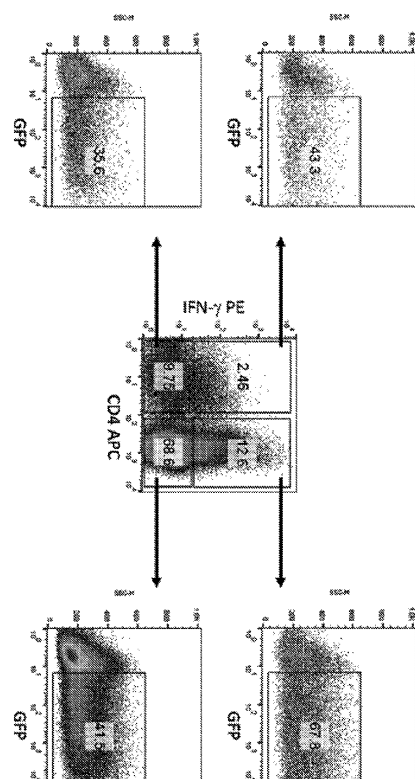


Figure 28

【図 29】

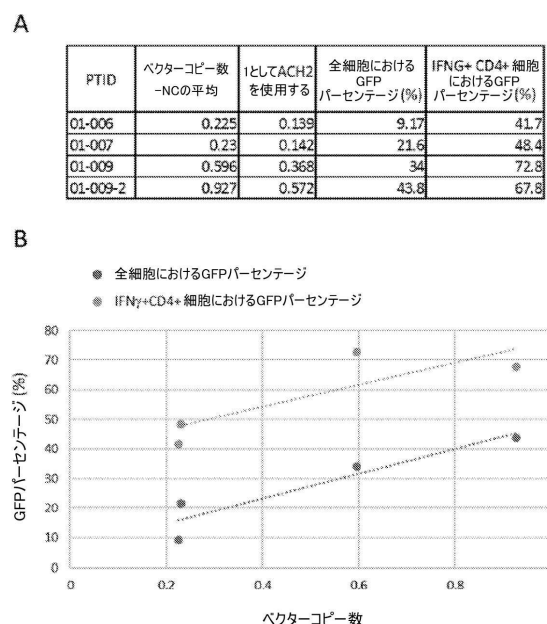


Figure 29

50

【配列表】

0007260170000001.app

10

20

30

40

50

フロントページの続き

(51)国際特許分類

	F I		
A 6 1 K 35/15 (2015.01)	C 1 2 N	5/078	Z N A
A 6 1 K 35/17 (2015.01)	A 6 1 K	35/15	
A 6 1 P 31/18 (2006.01)	A 6 1 K	35/17	
	A 6 1 P	31/18	

弁護士 山本 健策

(72)発明者

リ , ハイシャン

アメリカ合衆国 メリーランド 20850 , ロックビル , メディカル センター ドライブ 9640

(72)発明者

ラフーゼン , テイラー

アメリカ合衆国 メリーランド 20850 , ロックビル , メディカル センター ドライブ 9640

(72)発明者

シャオ , リンジ

アメリカ合衆国 メリーランド 20850 , ロックビル , メディカル センター ドライブ 9640

(72)発明者

パウザ , チャールズ デイビッド

アメリカ合衆国 メリーランド 20850 , ロックビル , メディカル センター ドライブ 9640

審査官

西 賢二

(56)参考文献

特表 2012 - 533299 (JP , A)

国際公開第 2010 / 127166 (WO , A2)

国際公開第 2016 / 061232 (WO , A2)

Molecular Therapy , Vol. 23 , 2015年 , pp. 310-320, Supplementary materials

AIDS Res Hum Retroviruses , 2000年 , Vol. 16, No. 3 , pp. 259-271

CLINICAL AND VACCINE IMMUNOLOGY , 2007年 , Vol. 14, No. 9 , pp. 1196-1202

The Journal of Infectious Diseases , 2014年 , Vol. 210 , pp. 99-110

(58)調査した分野 (Int.Cl. , D B名)

C 1 2 N 1 5 / 0 0 - 1 5 / 9 0

C 1 2 N 1 / 0 0 - 7 / 0 8

A 6 1 K 3 5 / 0 0 - 3 5 / 7 6 8

C A p l u s / M E D L I N E / E M B A S E / B I O S I S (S T N)

G e n B a n k / E M B L / D D B J / G e n e S e q